

## Interaction between oxygen carriers and ash components in a CLC process

Syrebärares interaktion med askkomponenter i en CLC process

Kandidatarbete inom Kemiteknik och Kemiteknik med fysik.

Rikard Edland, Anna Högberg, Tove Karlsson, Robert Larsén, Anna Östberg, Martin Östergren

Institutionen för Kemi- och Bioteknik

Handledare: Henrik Leion, Mehdi Arjmand och Martin Keller

CHALMERS TEKNISKA HÖGSKOLA

Göteborg, Sverige 2012

Kandidatarbete KBTX01-12-12

## **Abstract**

One of the main reasons for the Earth's increasing temperature is the amount of carbon dioxide emissions, it is therefore imperative to reduce these. The emissions are mainly derived from combustion processes. An important method for reducing the emissions is to separate carbon dioxide from the exhaust, in order to store the carbon dioxide in the ground. A way to avoid emissions from combustion is a method called Chemical Looping Combustion (CLC). The method uses metal oxides (oxygen carriers) to transport oxygen to a fuel reactor where the fuel is oxidized and the metal oxide is reduced. The oxygen carrier is then regenerated with air in a separate reactor. The flue gas from the fuel reactor consists almost entirely of carbon dioxide and water, where the water may be condensed and pure carbon dioxide collected.

Some oxygen carriers are mixed with a carrier material, which improves the stability and thermal properties of the oxygen carrier. Both gaseous and solid fuels may be used in a CLC process. As a result of higher ash content of solid fuels, this study focus on whether ash components associated with different ashes react or agglomerate with the oxygen carriers. It is also important to study whether the ash affects the carrier material or not.

The study includes four oxygen carriers and how they behave with ten ash components and a lignite ash. Samples with carrier and specific ash components are heated in an oven to 900°C or 750°C, to simulate the temperature of a CLC process. The oxidizing environment is simulated by atmospheric conditions and the fuel reactor with a mixture of 5% hydrogen and 95% argon. The samples are analyzed by X-Ray Diffraction (XRD), some samples are also studied in a Scanning Electron Microscope (SEM).

This method gives basic understanding of the interactions between oxygen carriers and ash components. The study shows that ilmenite is the oxygen carrier which is best suited for fuel conversion of carbon fuel in a CLC process. It also indicates that CuO/MgAl<sub>2</sub>O<sub>4</sub> is the oxygen carrier that is best suited for fuel conversion of biomass. The most expensive oxygen carrier, CuO/MgAl<sub>2</sub>O<sub>4</sub> has to do better than the other oxygen carriers in respect of reaction and agglomeration with ash components, to be economic viable. According to the results, copper oxide is not the most appropriate oxygen carrier for all ash components. The study shows that the carrier materials are not always inert. Also, the results show that the ash components silica and montmorillonite do not react with any oxygen carrier.

## **Sammanfattning**

En av orsakerna till att temperaturen ökar på jorden är koldioxidutsläppen, därfor är det av största vikt att försöka reducera dessa utsläpp. Stor del av dagens utsläpp kommer från förbränningprocesser. En viktig metod för att minska utsläppen är att separera koldioxiden från andra avgaser, för att därefter lagra denna i berggrunden. Ett sätt att separera koldioxiden är en metod som kallas kemcyklisk förbränning (Chemical Looping Combustion, CLC). Denna metod går ut på att låta metaller, så kallade syrebärare, oxideras i luft för att därefter transportera syre in i en bränslereaktor, där bränslet oxideras och syrebäraren reduceras. Syrebäraren återoxideras därefter i luft. Vid bränsleomvandlingen bildas nästan enbart koldioxid och vatten, där ren koldioxid kan samlas upp.

Vissa syrebärare blandas med ett bärarmaterial, vilka ökar syrebärarens egenskaper i form av stabilitet och termiska egenskaper. Både gasformiga och fasta bränslen går att använda i en CLC-process. Då fasta bränslen har en större askhalt undersöks det i denna studie huruvida olika askor och tillhörande askkomponenter påverkar syrebärarna. Det är också av vikt att studera om askan påverkar bärarmaterialet.

I denna studie undersöks hur fyra olika syrebärare reagerar med tio olika askkomponenter, samt en brunkolsaska. Proverna med syrebärare och specifika askkomponenter värmes upp i en ugn till 900°C, alternativt 750°C, för att efterlikna temperaturen i en riktig CLC-reaktor. Den oxiderande delen simuleras med luft och den reducerande med en blandning av 5 % vätgas och 95 % argon. Proverna analyseras med hjälp av röntgendiffraktion (X-Ray Diffraction, XRD), vissa prover studeras även med svepelektronmikroskop (SEM).

Denna metod ger en grundlig förståelse för hur komponenter reagerar med syrebärare. Studien visar att ilmenit är den syrebärare som är bäst lämpad för bränsleomvandling av kolbränsle i en CLC-process. Den indikerar även att CuO/MgAl<sub>2</sub>O<sub>4</sub> är den syrebärare som lämpar sig bäst för bränsleomvandling av biobränsle. Då CuO/MgAl<sub>2</sub>O<sub>4</sub> är den dyraste syrebäraren innebär det att denna, med avseende på reaktion och agglomeration, måste prestera bättre än de andra syrebärarna för att vara ekonomisk hållbar. Enligt resultatet från studien är så ej fallet för CuO/MgAl<sub>2</sub>O<sub>4</sub>, i kombination med alla askkomponenter. I studien visade det sig också att bärarmaterialet inte är inerta. Resultat visar även att askkomponenterna kvarts och montmorillonit inte reagerar med någon syrebärare.

# Innehåll

<b>1. Inledning .....</b>	1
1.1. Syfte .....	1
<b>2. Bakgrund .....</b>	2
2.1 Lagring och infångning av koldioxid.....	2
2.2 Olika metoder för koldioxidseparation .....	2
2.2.1 Avgasseparation .....	2
2.2.2 Oxy-fuel förbränning.....	2
2.2.3 Pre-combustion separation.....	3
2.3 Chemical Looping Combustion.....	3
2.4 Syrebärare .....	4
2.5 Bärarmaterial .....	5
2.6 Askor .....	5
2.6.1 Brunkol/stenkol.....	6
2.6.2 Bioaska.....	6
2.6.3 Kvarts .....	7
2.6.4 Kaolinit .....	7
2.6.5 Illit.....	7
2.6.6 Pyrit.....	7
2.6.7 Kalcit.....	7
2.6.8 Siderit.....	7
2.6.9 Montmorillonit .....	7
2.6.10 Kaliumklorid.....	8
2.6.11 Kaliumsulfat.....	8
2.6.12 Kaliumkarbonat.....	8
<b>3. Utförande .....</b>	9
3.1 Metod .....	9
3.2 Material.....	10
<b>4. Resultat .....</b>	11
4.1 Askkomponenter.....	13
4.2 Brunkolsaska .....	17
4.3 Övriga resultat .....	17
<b>5. Diskussion .....</b>	18
5.1 Metodval .....	18

5.2 Material .....	18
<b>6. Slutsatser .....</b>	<b>21</b>
<b>Källförteckning.....</b>	<b>22</b>

**Bilaga A - Resultattabeller över syrebärare**

**Bilaga B - Diffraktogram**

**Bilaga C - SEM-bilder**

# 1. Inledning

Att temperaturen på jorden stiger är idag ett allmänt accepterat faktum, där den största orsaken till detta är den ökade mängden koldioxid som släpps ut i atmosfären [1]. En viktig metod för att minska koldioxidutsläppen är att separera koldioxiden som bildas vid förbränning och ta tillvara på den, då främst genom att lagra den i berggrunden [2].

Det existerar idag tekniker för avskiljning av koldioxid, men de flesta av dem är dyra, vilket leder till att utveckling av nya och alternativa metoder är av stort intresse. En av dessa nya tekniker är kemcyklisk förbränning (Chemical Looping Combustion, CLC) [3].

CLC är bränsleomvandling med hjälp av metalloxider, där koldioxid och vatten genereras som rökgas. Metalloxiden som används kallas syrebärare, då den förflyttar syret från luften till bränslereaktorn [3]. I vissa fall kan metallen som ska förflytta syret ha otillräckliga fysikaliska egenskaper och behöver då blandas ut med andra ämnen, vilka betecknas bärarmaterial [3]. CLC är en relativt ny teknik under utveckling, där flera områden ännu ej är undersökta. Exempelvis är det inte säkert fastställt vilken effekt förbränningsaska har på processen, vilket kan vara väldigt viktigt och kanske avgörande för dess framtida användning.

## 1.1. Syfte

Syftet med projektet är att undersöka hur askor, som erhålls vid bränsleomvandling i en CLC-reaktor interagerar med syrebärare och bärarmaterial, samt att utveckla en metod för att undersöka detta. Frågeställningar projektet hoppas kunna besvara är:

- *Mellan vilka kombinationer av askkomponenter och syrebärare förekommer starka respektive svaga interaktioner?*
- *Vilka av de utvärderade enskilda komponenterna i askan interagerar med bärarmaterialet?*
- *Finns det några kombinationer av askkomponenter och syrebärare som agglomererar eller på annat sätt kan störa processen?*

## 2. Bakgrund

För att få en djupare förståelse för studien följer här ett kapitel innehållande metoder för koldioxidavskiljning, fakta om syrebärare samt askkomponenter.

### 2.1 Lagring och infångning av koldioxid

För att minska koldioxidutsläppen till atmosfären kan koldioxiden avskiljas och lagras i berggrunden. Denna teknik kallas Carbon Capture and Storage (CCS), vilken består av tre steg: avskiljning, transport och lagring av koldioxid [4]. Vid lagring av koldioxid används exempelvis tömda gas- och oljekällor, djupa kollager och saltvattenakvifärer, ofta på mer än 800 meters djup [4][5].

Hur länge koldioxid kan lagras i berget beror på flera olika faktorer. En är bergarten i vilken slutförvaringen sker, där sedimentära bergarter är att föredra. Detta beror på att dessa typer av bergarter består av porösa sandstenar, där koldioxiden kan lagras i de små utrymmena i porerna [4]. Tiden som koldioxiden kan förvaras är väldigt svår att bedöma, det handlar om tusentals år [6].

### 2.2 Olika metoder för koldioxidseparation

Det finns tre huvudsakliga sätt att separera koldioxid [7], *avgasseparation* (post-combustion separation), där separationen sker via absorption av föreningar i rökgasen. *Oxy-fuel förbränning*, där förbränningen sker med ren syrgas. *Pre-combustion separation*, där bränslet först förgasas till syntesgas, för att därefter skiftas med ånga till vätgas [7].

#### 2.2.1 Avgasseparation

Avgasseparation sker genom absorption av koldioxid till ett vätskemedium. Det vanligaste vätskemediet som används idag är monoetanolamin (MEA) [2]. Denna process är mycket energikrävande, då förångning och kylnings krävs av olika medier, för att få ut ren koldioxid [2][7].

Fördelen med avgasseparation gentemot andra tekniker är att apparaturen går att montera direkt på den befintliga anläggningen [2]. En stor nackdel är att separationen är dyr [7]. Mycket forskning sker kring denna process från både ett tekniskt och ekonomiskt perspektiv [2]. En viktig del av forskningen är att utveckla membran som kan skilja koldioxiden från vätskemediet [8].

#### 2.2.2 Oxy-fuel förbränning

Oxy-fuel förbränning innebär förbränning med ren syrgas eller syrgas i recirkulerade rökgaser [2]. I en vanlig förbränning tillsätts ett överskott av luft, som består av ca 21 % syrgas. Detta ger 3-15 % koldioxid i avgaserna [2]. Vid förbränning med ren syrgas minskas volymerna av gas och avgaserna består till största delen av koldioxid och vatten.

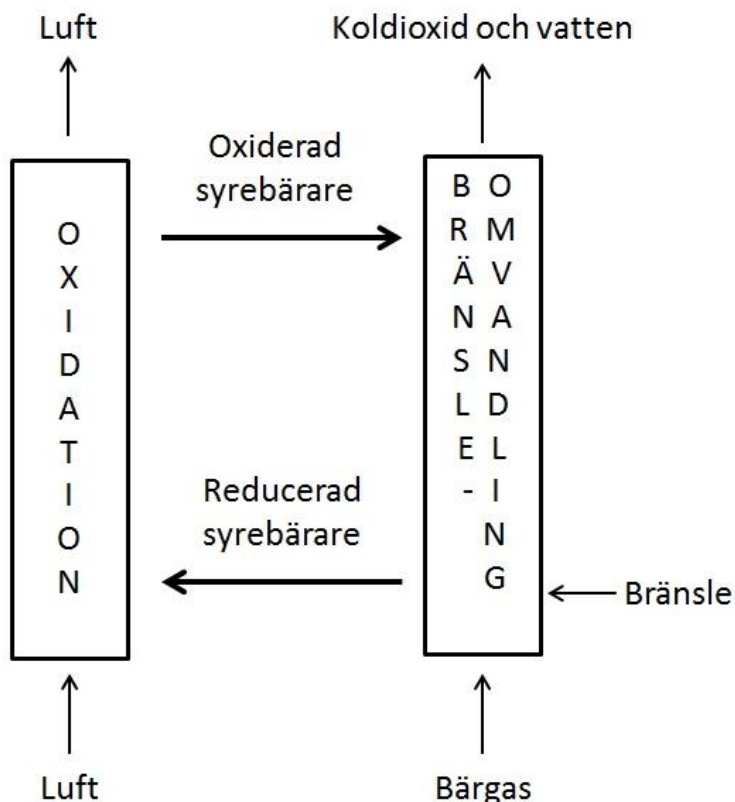
Problemet med processen är att det finns risk för kraftig överhettning i pannan och en återcirkulation av rökgas är därför ofta nödvändig [2]. De avgaser som inte återcirkuleras kyls så att vattnet kondenserar ut och koldioxid kan därefter tas tillvara. Även om kostnaderna minskar med mindre volymflöden är den största kostnaden framställningen av syrgas, vilken är mycket energikrävande [2].

### 2.2.3 Pre-combustion separation

I en pre-combustion separation förgassas först bränslet till en syntesgas, bestående av vätgas och kolmonoxid [9]. Kolmonoxiden reagerar därefter vidare med vatten och bildar koldioxid och vätgas. Vätgasen och koldioxiden separeras därefter och ren koldioxid erhålls. Fördelar med processen är att det redan finns fungerande teknik för produktionsskala, för kraftanläggningar krävs dock ytterligare uppskalning. Infångningsfaktorn för koldioxidutsläppen ligger mellan 90-95% och en ren vätgasström kan erhållas. Höga investeringskostnader, hög energiförbrukning och utsläpp av kväveoxider är tydliga nackdelar [7].

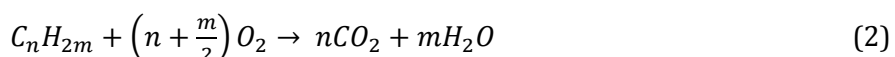
## 2.3 Chemical Looping Combustion

CLC är bränsleomvandling med hjälp av metalloxid eller metallsulfater, som i teorin endast genererar rökgas bestående av koldioxid och vatten. Vanligast är att metalloxid används, vilken benämns syrebärare, då den förflyttar syret från luften till bränslereaktorn. Processen sker i två steg, se **Figur 1**.



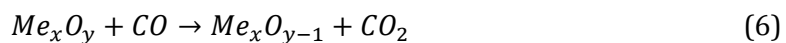
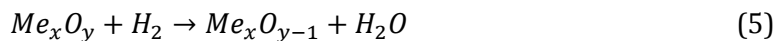
**FIGUR 1 SCHEMATISK BILD ÖVER EN CLC-PROCESS**

Först oxideras syrebärarna enligt reaktion (1) i en ström av luft. Den oxiderade syrebäraren skickas därefter in i bränslereaktorn, där omvandlingen av bränslet sker, genom att syrebärarna reduceras och bränslet oxideras [11]. Omvandlingen sker enligt reaktion (2).



Då syrebärarna och bränslet reagerar bildas nästan uteslutande koldioxid och vatten, där vatten kondenseras och ren koldioxid kan samlas upp. I och med att syre binds till syrebäraren och transporteras till bränsleomvandlingen undviks dyra gasseparationer [3].

Ett problem med bränsleomvandling i CLC är att då ett fast bränsle används måste det ske en reaktion mellan två fasta faser, syrebärare och bränsle. Reaktionen är generellt sett längsammare än den mellan en fast fas och en gas. Det är därför vanligt att först förgasa bränslet enligt reaktion (3) och (4). Detta förgasade bränsle kan därefter oxideras med hjälp av syrebärarna, enligt reaktion (5) och (6) [10].



Ett annat sätt att undvika reaktionen mellan två fasta faser är att använda ett koncept kallad Chemical Looping with Oxygen Uncoupling (CLOU). Tekniken går ut på att syrebäraren släpper ifrån sig syrgas i bränslereaktorn, syrgasen kan i sin tur kan reagera i en gas- och fastfasreaktion. Detta kräver dock syrebärare med speciella termodynamiska egenskaper [10], vilka beskrivs i avsnitt 2.4.

Ett vanligt sätt att realisera CLC är att använda fluidiserade bäddar. Vid användning av bränsle i fast fas krävs en bärgas för att upprätthålla fluidisationen. Då ett gasformigt bränsle används kan detta utnyttjas som fluidiserande gas, dock krävs ofta även i detta fall en viss mängd annan bärgas, till exempel recirkulerande koldioxid eller vattenånga [10].

## 2.4 Syrebärare

Vid val av syrebärare är bland annat reaktionshastigheter, syrebärarens smältpunkt och kapacitet att transportera syre viktiga egenskaper att ta hänsyn till [11]. Det är också av högsta vikt att syrebäraren är motståndskraftig mot såväl fysisk som kemisk förslitning. Fysisk förslitning innebär till exempel att syrebäraren nöts sönder, medan kemisk förslitning kan innebära att syrebäraren deaktiveras. Det senare problemet kan till exempel ske på grund av förroreningar, så som aska, i bränslet [12].

Vissa syrebärare kan av termodynamiska orsaker inte omvandla bränslet fullständigt, till exempel nickel [11]. Detta resulterar i att det bildas en viss mängd kolmonoxid och vätgas, istället för koldioxid och vatten. Bildas det höga halter av kolmonoxid och vätgas vid bränsleomvandlingen går en stor del av energin ut som gas istället för värme. Om för höga halter av kolmonoxid och vätgas bildas är syrebäraren alltså ej att föredra [11].

Tester har utförts på en rad syrebärare. Vanligt förekommande metallföreningar är kopparoxid, järnoxid, manganoxid, koboltoxid, nickeloxid med flera [11]. Dessa oxider är mer eller mindre lämpade för användning inom industrin. Kobolt används generellt inte då den är relativt dyr [13] och likt vissa andra syrebärare, till exempel nickel, kan uteslutas på grund av miljö- och

hälsorisker [14][15]. Även kostanden för syrebäraren är givetvis av stor vikt, vilket också är relaterat till syrebärarens livslängd [3].

$\text{Fe}_2\text{O}_3$  är en billig och väl beprövad syrebärare för CLC [11][16][17].  $\text{Mn}_3\text{O}_4$  är något dyrare men har bättre reaktivitet [18]. Ett alternativ till industriellt förfädlade syrebärare är användning av naturligt förekommande malmer. Ilmenit är ett billigt naturmineral bestående av  $\text{FeTiO}_3$ , som fungerar bra som syrebärare till CLC [3][19]. Den oxiderade formen av ilmenit har formeln  $\text{Fe}_2\text{TiO}_5 + \text{TiO}_2$  [20]. Syrebärare med termodynamiska egenskaper för CLOU är:  $\text{CuO}/\text{Cu}_2\text{O}$ ,  $\text{Mn}_2\text{O}_3/\text{Mn}_3\text{O}_4$  och  $\text{Co}_3\text{O}_4/\text{CoO}$  [10].  $\text{CuO}/\text{Cu}_2\text{O}$  är dock den enda syrebäraren som visat sig fungera.

Det är termodynamiskt önskvärt att en CLC-process körs vid så höga temperaturer som möjligt. Några metaller som av denna anledning inte passar för CLC är till exempel Cd, Zn, Ce och  $\text{MoO}_3$ , då dessa har för låga smälttemperaturer. Även koppar har en låg smälttemperatur på  $1085^\circ\text{C}$ , vilket gör att processer där koppar ingår måste arbeta vid en något lägre temperatur [21].

Kostnaden för de olika syrebärarna skiljer sig mycket åt. Exempelvis ligger kostnaden på 0.03 \$/kg för  $\text{Fe}_2\text{O}_3$  och 2.9 \$/kg för Cu. Kostnaden för att tillverka syrebärare ligger på ca 1 \$/kg syrebärare, för det inerta bärarmaterialet  $\text{Al}_2\text{O}_3$  runt 0.5 \$/kg [22]. Enligt *Consensus Economics* ligger priset på ilmenit runt 0.2 \$/kg, år 2011 [23]. Kostnaden för CLC processen beror dock mycket på syrebärarens livslängd. Bärarmaterial beskrivs mer utförligt i avsnitt 2.5.

## 2.5 Bärarmaterial

För att få stabila syrebärare kan syrebärarmaterialet blandas med ett inert material, ett så kallat bärarmaterial, vilka tillsammans utgör den slutliga syrebärarpartikeln. Det inerta materialet är tänkt att öka livslängden, jonledningsförmågan och prestandan hos syrebäraren, samt hjälpa till att bevara strukturen hos partikeln. Även porositeten ökar, vilket i sin tur kan leda till att reaktiviteten mellan bränsle och syre i CLC-processen tilltar. De inerta materialen som visat sig fungera bäst är ofta baserade på aluminium eller zirkonium [18].

## 2.6 Askor

Vid förbränning av i stort sett alla bränslen erhålls slaggprodukter i form av aska, där gasformiga bränslen producerar förhållandevis lite aska jämfört med fasta bränslen. I askan finns en stor mängd olika komponenter som kan reagera med syrebäraren. Beroende på var i reaktorn bränsleomvandlingen sker och vilket bränsle man använder erhålls olika askor. Alla askor har olika sammansättning och egenskaper, vilket kan vara en viktig aspekt i valet av syrebärare [24].

En preliminär studie visade att ett lager av aska kan bildas runt syrebäraren [12]. Enligt denna studie påverkade detta lager dock inte syrebärarens förmåga att oxideras/reduceras negativt, vid låga till medelhöga koncentrationer av aska. Studien visade tvärtom att den ökade porositeten till följd av asklagret underlättade utbytet mellan gaser och syrebärare. Huruvida en eller flera av dessa komponenter var aktiva i interaktionen mellan aska och syrebärare är ej utrett. Studien var dock mycket begränsad, bland annat på grund av att den ej utfördes i en fluidiserad bäddreaktor. Vidare undersökte studien enbart interaktionen mellan en kolaska och två järnoxid-syrebärare,  $\text{FeO}$  och bränt järn.

## 2.6.1 Brunkol/stenkol

Fast kolbränsle innehåller en blandning av organiskt material och mineraler som bildas under anaeroba förhållanden, höga tryck och höga temperaturer [25]. Kolbränsle kan innehålla upp till 76 av de 92 ämnena i det periodiska systemet, där de flesta ämnena återfinns i så liten mängd att de räknas som spårämnen. I vissa kolbränslen finns stora mängder värdefulla ämnen så som silver, zink eller germanium, vilka kan utvinnas ur kolet. Ämnen som kan finnas i kol och som anses hälsofarliga är exempelvis arsenik, beryllium, kadmium, kobolt, bly, selen, torium och uran. Kol från olika platser på jorden innehåller olika ämnen, där de vanligaste mineralerna är [25]:

- Kvarts ( $\text{SiO}_2$ )
- Kaolinit ( $\text{Al}_2\text{Si}_2\text{O}_5(\text{OH})_4$ )
- Illit ( $\text{KAl}_4(\text{AlSi}_7\text{O}_{20})(\text{OH})_4$ )
- Pyrit ( $\text{FeS}_2$ )
- Kalcit ( $\text{CaCO}_3$ )
- Siderit ( $\text{FeCO}_3$ )
- Montmorillonit ( $(\text{Na,Ca})_{0,3}(\text{Al,Mg})_2\text{Si}_4\text{O}_{10}(\text{OH})_2 \cdot n(\text{H}_2\text{O})$ )

Enligt studier på sydafrikanskt kol kan mängden CaO som uppkommer vid förbränning ge en indikation om hur mycket syre askan kommer ta upp under förbränningsprocessen, alltså hur mycket mineralena kommer öka i massa på grund av oxidation [26].

Mineralerna i kol uppvisar olika fysikaliska egenskaper vid uppvärmning. Kolaska med hög halt av järnmineraler har ofta låga smälttemperaturer, medan kol med mycket aluminium generellt har högre smältpunkter [25].

## 2.6.2 Bioaska

Förbränning av biobränslen genererar askor med varierat innehåll, beroende på vad för typ av biobränsle som används [27]. Vilket biobränsle som används beror oftast på var i världen processen är belägen, då det som används är det som finns nära till hands. I Asien utgörs en stor del av biobränslepotentialen av restprodukter från risproduktion, så som risblast och risstjälkar [28]. I Nordamerika utgörs biobränslet nästan uteslutande av restprodukter från skogsindustrin. Afrika producerar en stor mängd energigrödor, som utgör huvuddelen av regionens biobränsle [27].

Till skillnad från kolbränslen innehåller biobränslen relativt höga halter syre, i förhållandet till andelen kol. Detta faktum avspeglar sig i vilka föreningar som återfinns i askan, där kolaskan innehåller högre halter av aluminium, titan och järn, gentemot aska från biobränslen [27]. Vanliga askkomponenter från bioaska är  $\text{CaO}$ ,  $\text{K}_2\text{O}$ ,  $\text{P}_2\text{O}_5$ ,  $\text{SO}_3$ ,  $\text{Na}_2\text{O}$ ,  $\text{MgO}$ ,  $\text{MnO}$  och  $\text{Fe}_2\text{O}_3$  [29]. Även  $\text{SiO}_2$  är vanligt förekommande och utgör tillsammans med  $\text{K}_2\text{O}$  och  $\text{CaO}$  huvuddelen av askan [29][30][31]. Komponenterna i askorna är liknande i de flesta fall, men mängden varierar [32].

Agglomeration av askkomponenter associeras med bränslen innehållandet alkali- och alkaliska jordartsmetaller. Vid höga temperaturer och i kombination med framförallt silikater och svavelföreningar bildar metallerna slaggprodukter, på grund av ämnenas låga smältpunkter [33]. Även den jämförelsevis höga klorhalten i viss biomassa innebär ökad risk för agglomeration [27].

Likt kolaska innehåller även bioaska spårämnen av miljö- och hälsofarlig karaktär, som kadmium, bly och kvicksilver [27].

### **2.6.3 Kvarts**

Kvart är den näst vanligaste komponenten i jordskorpan, med den kemiska sammansättningen  $\text{SiO}_2$ . Mineralet förekommer i två olika varianter,  $\alpha$ -kvarts (lågkvarts) och  $\beta$ -kvarts (högkvarts). Dessa olika varianter är stabila vid olika temperaturer, lågkarts vid  $573^\circ\text{C}$  och högkvarts mellan  $573$  och  $867^\circ\text{C}$  [34].

### **2.6.4 Kaolinit**

Kaolinit är ett lermineral, som oftast förekommer i hexagonalformade kristaller. Kristallerna är uppbyggda av kisel och aluminiumlager, vilka hålls samman av hydroxylgrupper [35]. Den kemiska formeln för kaolinit är  $\text{Al}_2\text{Si}_2\text{O}_5(\text{OH})_4$  [25]. Då kaolinit värmes upp till  $500$ - $600^\circ\text{C}$  avgår en del av vattnet och kaoliniten genomgår en endoterm omvandling till meta-kaolinit [36]. När meta-kaoliniten därefter värmes upp ytterligare övergår den till mullit, via en exotermisk reaktion. Mullit kan i sin tur också sönderfalla, vilket dock sker först vid närmare  $1650^\circ\text{C}$  [37]. Denna temperatur är mycket högre än vad en CLC-reaktor kommer att arbeta vid.

### **2.6.5 Illit**

Illit är en glimmerliknande mineral som återfinns i lerhaltiga sediment [38]. Illit är en vanlig komponent i kolbränsle och har en kristallin struktur med en dioktaedrisk form [39][40]. Den exakta sammansättningen av illit varierar, beroende på vilket ursprung kolbränslet har, men den allmänna sammansättningen är  $(\text{K},\text{H}_3\text{O})(\text{Al},\text{Mg},\text{Fe})_2(\text{Si},\text{Al})_4\text{O}_{10}[(\text{OH})_2,\text{H}_2\text{O}]$  [38]. Vid temperaturer över  $1127^\circ\text{C}$  förlorar illit sin kristallstruktur, där reaktionen är endotermisk, på grund av att illit förlorar sina hydroxylgrupper. Då föroreningar förekommer smälter illiten till en glasaktig form [39].

### **2.6.6 Pyrit**

Pyrit är ett mineral beståendes av järn och svavel ( $\text{FeS}_2$ ), med en smältpunkt på  $1444^\circ\text{C}$  [41]. Beroende på omgivande miljö och temperatur sönderfaller pyrit till olika föreningar. I en oxiderande miljö oxideras pyritten till hematit ( $\alpha\text{-Fe}_2\text{O}_3$ ) eller magnetit ( $\text{Fe}_3\text{O}_4$ ), medan pyrrhotit ( $\text{Fe}_{1-x}\text{S}$ ,  $x \leq 0.125$ ) är den vanligast förekommande produkten i en icke-oxiderande miljö [42].

### **2.6.7 Kalcit**

Kalcit, kalkspat, är ett mineral beståendes av kalciumkarbonat ( $\text{CaCO}_3$ ). Mineralet sönderfaller vid högre temperaturer till kalciumoxid och koldioxid. Temperaturen då detta börjar ske beror på en mängd olika faktorer, däribland tryck och koncentration av koldioxid i omgivningen. Generellt ligger denna temperatur mellan  $740^\circ\text{C}$  och  $777^\circ\text{C}$  [43].

### **2.6.8 Siderit**

Siderit är ett mineral bestående av järnkarbonat ( $\text{FeCO}_3$ ). Vid en atmosfärtryck och temperaturen  $459^\circ\text{C}$  är siderit i jämvikt med wustit ( $\text{FeO}$ ) [44]. Vid högre temperaturer, runt  $500^\circ\text{C}$ , kan  $\text{FeO}$  antingen reagera vidare med syrgas, där järnoxid ( $\text{Fe}_2\text{O}_3$ ) bildas. Alternativt kan reaktion ske med koldioxid, vilket resulterar i bildandet av magnetit ( $\text{Fe}_3\text{O}_4$ ) [44].

### **2.6.9 Montmorillonit**

Montmorillonit är ett lermineral tillhörandes smektitgruppen, med den allmänna formen  $(\text{Na};\text{Ca})_{0.3}(\text{Al};\text{Mg})_2\text{Si}_4\text{O}_{10}(\text{OH})_2\cdot\text{nH}_2\text{O}$  [45]. Montmorillonit har en vattenabsorberande förmåga, vilket kan leda till svällning. Mineralet kan även absorbera vissa organiska vätskor, till exempel aminer, glyceroler och glykoler [46]. Montmorillonit faller sönder vid högre temperaturer och kan återbildas vid nedkyllning, där även reaktion med andra ämnen kan ske [25].

## **2.6.10 Kaliumpotatisulfat**

Kaliumpotatisulfat (K<sub>2</sub>SO<sub>4</sub>) är vid normala förhållanden ett stabilt salt, med en smältpunkt på 771°C [47]. Jämfört med andra för studien relevanta mineraler innebär denna relativt låga smältpunkt att risk för agglomeration finns, inom temperaturintervallet för en CLC-reaktor. Kokpunkten för kaliumpotatisulfat är 1500 °C [47], vilket är en högre temperatur än vad en CLC-reaktor normalt arbetar vid. Det föreligger därför ingen risk för förångning av kaliumpotatisulfaten.

## **2.6.11 Kaliumpotatisulfat**

Kaliumpotatisulfat (K<sub>2</sub>SO<sub>4</sub>) är ett vitt salt med en romboedrisk struktur. Saltet smälter vid 1069°C och har relativt hög löslighet i vatten. Kaliumpotatisulfat finns naturligt i olika salta sjöar och kan även hittas i viss vulkanisk lava [48]. Kaliumpotatisulfat genomgår olika fasförändringar inom temperaturintervallet 25°C till 660°C [49]. Under biomassförbränning sker ofta en avlagring av kaliumpotatisulfat, vilket är en anledning till att partiklar i flygaska agglomererar [50].

## **2.6.12 Kaliumpotatisulfat**

Kaliumpotatisulfat (K<sub>2</sub>CO<sub>3</sub>) är ett vitt salt som löst i vatten bildar kaliumoxid (K<sub>2</sub>O) [51][52]. Kaliumpotatisulfat har en smältpunkt på 891-896°C, vilket eventuellt innebär risk för agglomeration, då temperaturen överstiger smältpunkten [53]. Vid temperaturer runt 900°C börjar kaliumpotatisulfat att sönderfalla till koldioxid och kaliumoxid. Löst i vatten kan kaliumpotatisulfat reagera med vissa metaller, så som aluminium och zink, där vätgas avgår [54].

### 3. Utförande

Projektet omfattar fyra av de vanligaste syrebärarna och tio askkomponenter, vilka testas mot varandra. De fyra valda syrebärarna är: CuO/MgAl<sub>2</sub>O<sub>4</sub>, Fe<sub>2</sub>O<sub>3</sub>/MgAl<sub>2</sub>O<sub>4</sub>, Mn<sub>3</sub>O<sub>4</sub>/MgO-ZrO<sub>2</sub> och ilmenit. Nämnda material har alla tidigare används inom forskning på Chalmers Tekniska Högskola [10][55][56]. CuO väljs på grund av dess CLOU-egenskaper, medan Mn<sub>3</sub>O<sub>4</sub>, ilmenit och Fe<sub>2</sub>O<sub>3</sub> väjs då de är vanligt förekommande och billiga syrebärare med bra egenskaper för CLC, se avsnitt 2.4.

De undersökta askkomponenterna studerades på grund av återkommande närvaro i kolaska och bioaska, samt att de överlag utgör största delen av de askkomponenter som finns i de flesta bränslen, enligt avsnitt 2.6. De komponenter i kolaska som inkluderas är: kvarts, kaolinit, illit, pyrit, kalcit, siderit samt montmorillonit. Trots komplexiteten ingår även en fullständig brunkolsaska i provserien för att komma en riktig CLC-process så nära som möjligt. Kvarts, kalciumoxid och kaliumoxid utgör tillsammans den största delen av vanliga bioaskor. Vid upphettning sönderfaller kalcit och kaliumkarbonat till kalciumoxid respektive kaliumoxid, varför karbonaterna används vid testerna. Även kaliumklorid och kaliumsulfat inkluderas, på grund av förekomst i bioaskan och den risk för agglomeration som dessa utgör. Många andra ämnen som återfinns i askorna innefattas ej i denna studie, då endast ett begränsat antal kan testas. De reaktioner som ligger i fokus är interaktioner mellan askkomponenter och syrebärare eller bärarmaterial. Studien tar ej hänsyn till huruvida askkomponenterna oxideras eller reduceras.

Processen i ett CLC-system innebär att syrebäraren både reduceras och oxideras, därför utförs tester både i reducerande miljö och under oxiderande förhållanden. För att simulera den reducerande miljön används en blandning beståendes av 5 % vätgas och 95 % argon. Den oxiderande miljön utgörs av luft, öppen mot atmosfären.

#### 3.1 Metod

För att simulera hur syrebärare och askor interagerar i en fluidiserad bäddreaktor blandas dessa och hettas upp i en ugn. Eftersom partiklarna ligger stilla i ugnen erhålls mer kontaktyta än i en fluidiserad bädd, vilket ökar reaktionshastigheten mellan syrebärare och askkomponenter. Om reaktion uteblir vid detta test uteblir den troligen i en fluidiserad bädd, där kontaktytan och kontakttiden är mindre.

Det laborativa arbetet utförs enligt angivelser nedan:

1. Askkomponenten mortlas.
2. Den mortlade askkomponenten blandas med önskad syrebärare, med ett viktförhållande på 1:1.
3. Blandning förs in i en ugn som värmes upp till 900°C, där temperaturen hålls konstant i 9 timmar. Då komponenter har en smältpunkt under angiven temperatur justeras denna till en lämplig nivå.
4. Blandningen får svalna och undersöks därefter med hjälp av pulver röntgendiffraktion (X-ray Diffraction, XRD).
5. Diffraktogrammen som erhålls från XRD-undersökningen analyseras och komponenterna i provet identifieras.

Referensprov erhålls från rena komponenter. Intressanta prover studeras även med svepelektronmikroskop (SEM), för att på detta sätt studera den fysiska påverkan på provet.

Mellan testerna i ugn tvättas provbehållarna i syrabad under värmning. Då tillgången på syra varierar i laboratoriet används periodvis salpetersyra respektive saltsyra.

### 3.2 Material

De valda syrebärarna är alla syntetiskt framställda genom frysgranulering och har en partikelstorlek på 125-180 µm. I frysgranulering mals en vattenbaserad blandning av syrebärare och bärarmaterial, för att därpå sprayas ner i flytande kväve där en momentan frysning av dropparna sker. Därefter värmes behandlas materialet vid en temperatur under dess smältpunkt och slutligen siktas partiklarna, för att erhålla rätt storlek [21]. CuO/MgAl<sub>2</sub>O<sub>4</sub> är värmes behandlad vid 950°C och innehåller 40 % CuO och 60 % MgAl<sub>2</sub>O<sub>4</sub>. Fe<sub>2</sub>O<sub>3</sub>/MgAl<sub>2</sub>O<sub>4</sub> är syntetiseras av 60 % Fe<sub>2</sub>O<sub>3</sub> och 40 % MgAl<sub>2</sub>O<sub>4</sub> samt värmes behandlad vid 1150°C. Mn<sub>3</sub>O<sub>4</sub>/MgO-ZrO<sub>2</sub> är värmes behandlad vid 1150°C och innehåller 40 % Mn<sub>3</sub>O<sub>4</sub> och 60 % MgO-ZrO<sub>2</sub>. Ilmeniten är tillverkad från 47.4 % Fe<sub>2</sub>O<sub>3</sub> och 52.6 % TiO<sub>2</sub> och är värmes behandlad vid 1100°C.

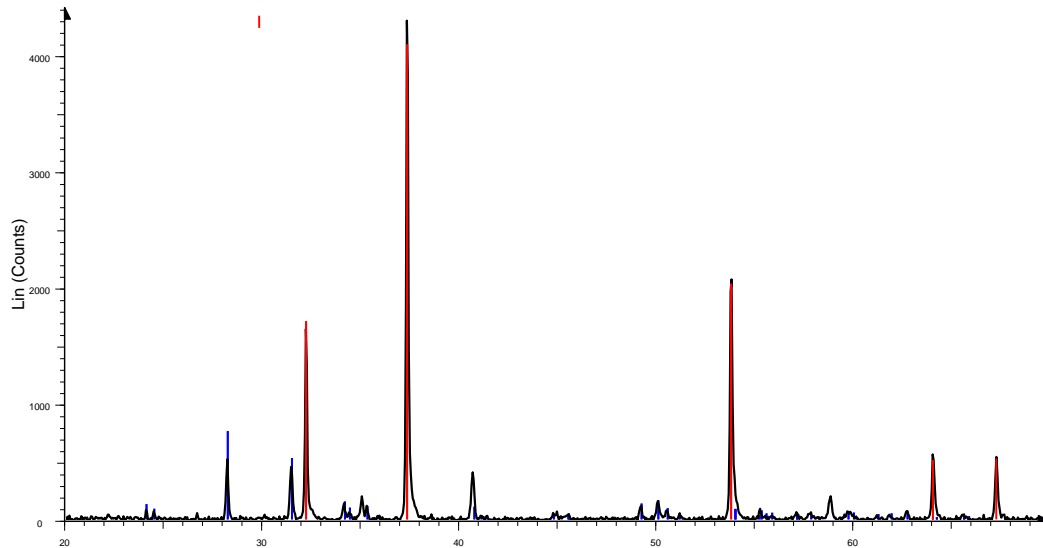
Syrebärarna upphettas både i luft och i reducerande gas, därefter analyseras det i sin rena form, för att erhålla referensprov. Varje askkomponent analyseras var för sig med XRD. Vissa askkomponenterna visade sig innehålla flera föreningar, se **Tabell 1**. Brunkolsaskan som används i projektet är i pulverform och kommer från Welzow, Tyskland.

**TABELL 1. ASKKOMPONENTERNAS INNEHÅLL VID XRD-ANALYS**

Askkomponenter	XRD resultat	Tillverkare	Ursprungsform
Illit	Kvarts (SiO <sub>2</sub> ), Ferrogredit (Fe <sub>5</sub> Al <sub>4</sub> Si <sub>6</sub> O <sub>22</sub> (OH) <sub>2</sub> ), Illit (KAl <sub>2</sub> (Si <sub>3</sub> Al)O <sub>10</sub> (OH) <sub>2</sub> ), Magnesiumsilikathydroxid (Mg <sub>3</sub> Si <sub>2</sub> O <sub>5</sub> (OH) <sub>4</sub> ), K,Mg,Al-silikathydroxid (K(Mg,Al) <sub>2.04</sub> (Si <sub>3.34</sub> Al <sub>0.66</sub> )O <sub>10</sub> (OH) <sub>2</sub> )	Argiletz Laboratorie, Frankrike	Ansiktmask, pulverform
Kalcit	CaCO <sub>3</sub>	Imerys, Frankrike	Pulverform
Kaliumkarbonat	K <sub>2</sub> CO <sub>3</sub>	Sigma Aldrich, USA	Pulverform
Kaliumklorid	KCl	Merck, Tyskland	Pulverform
Kaliumsulfat	K <sub>2</sub> SO <sub>4</sub>	Merck, Tyskland	Pulverform
Kaolinit	Al <sub>2</sub> Si <sub>2</sub> O <sub>5</sub> (OH) <sub>4</sub>	Merck, Tyskland	Pulverform
Kvarts	SiO <sub>2</sub>	Merck, Tyskland	Pulverform
Montmorillonit	Kvarts(SiO <sub>2</sub> ), Anortit (Ca <sub>0.8</sub> Na <sub>0.2</sub> Al <sub>1.77</sub> Si <sub>2.23</sub> O <sub>8</sub> ) Kordierit (Mg <sub>2</sub> Al <sub>4</sub> Si <sub>5</sub> O <sub>18</sub> (H <sub>2</sub> O) <sub>0.75</sub> ), Montmorillonit (Na <sub>0.3</sub> (Al,Mg) <sub>2</sub> Si <sub>4</sub> O <sub>10</sub> (OH) <sub>2</sub> *8H <sub>2</sub> O)	Alfa Aezar, Tyskland	Pulverform
Pyrit	FeS <sub>2</sub> samt S	N.N.	Solitt mineral
Siderit	FeCO <sub>3</sub>	Iourien Mine, Marocko (Akka)	Solitt mineral

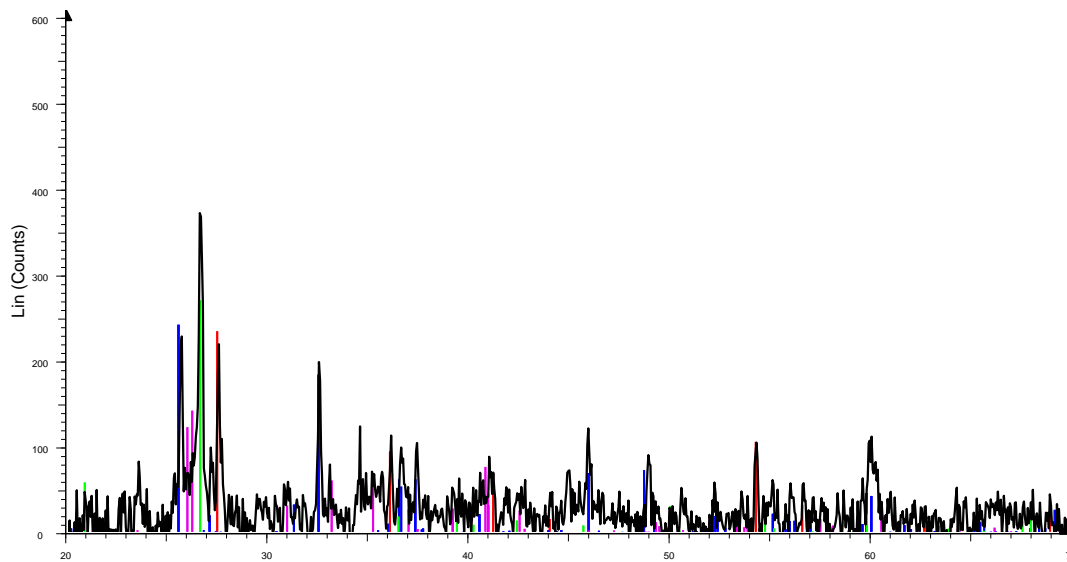
## 4. Resultat

Vid analys med XRD erhålls diffraktogram, se **Figur 2** och **3** nedan. Dessa utvärderas med hjälp av olika databaser för att identifiera topparna, samt för att undersöka vilka ämnen som finns i provet.



**FIGUR 2. LÄTTAVLÄST DIFFRAKTOGRAM**

Olika prov ger olika bra diffraktogram. Vissa är lättavlästa, som i **Figur 2**, däremot finns prov med mycket brus vilket kan ses i **Figur 3**. Problem med brus kan generera problem vid tolkning av resultatet. Vissa ämnen har toppar på samma ställen och kan då lätt förväxlas, exempelvis har järnaluminumoxid exakt samma toppar som järnoxid. En bedömning över vilken förening som är rimligast utförs genom antagandet att så lite som möjligt reagerar.

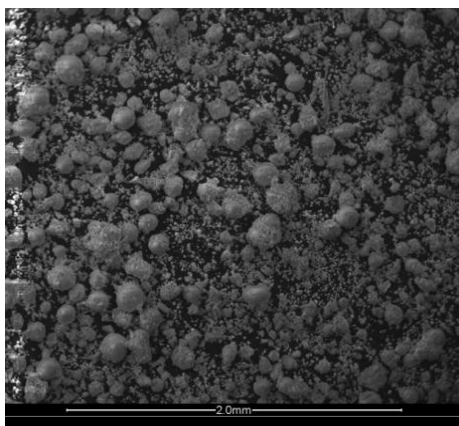


**FIGUR 3. SVÅRAVLÄST DIFFRAKTOGRAM**

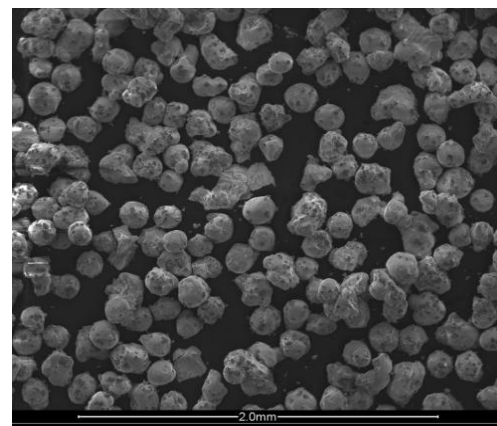
Vid svåravlästa och anmärkningsvärda resultat jämförs diffraktogrammet även med diffraktogram för askkomponenten, samt för den rena syrebäraren. Referensprovet för syrebäraren har genomgått samma uppvärmningsförhållanden som provet. På detta sätt kan toppar som bildas av enbart syrebäraren eller askkomponenten uteslutas.

På några av proven utförs SEM, detta för att studera agglomerationen mellan partiklar och syrebärare på närmare håll. Proven delas in i fyra olika typer - ingen agglomeration, lätt agglomeration, stark agglomeration och förstörd syrebärare. Se **Figur 4**.

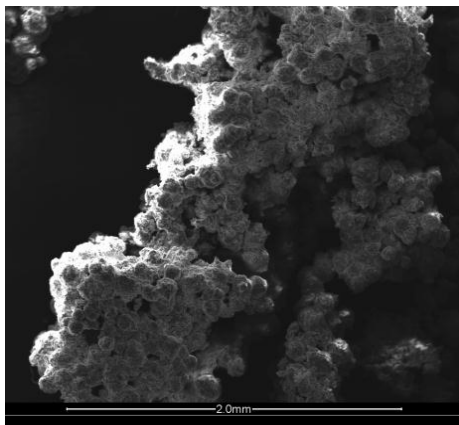
I **Figur 4A** visas ett prov där ingen agglomeration sker. Syrebärarpartiklarna är mer eller mindre separerade från varandra och askkomponenten ligger som ett tunt lager över hela provet. **Figur 4B** demonstrerar hur ett prov med lätt agglomeration kan se ut, där ett flertal syrebärare sitter ihop med varandra och bildar enstaka kluster. **Figur 4C** visar ett prov med stark agglomeration. Det går att urskilja syrebärarpartiklarna, dock har provet smält samman till ett stort kluster. I **Figur 4D** illustreras ett exempel på en fullständigt förstörd syrebärare, där ingen syrebärarpartikel längre går att observera.



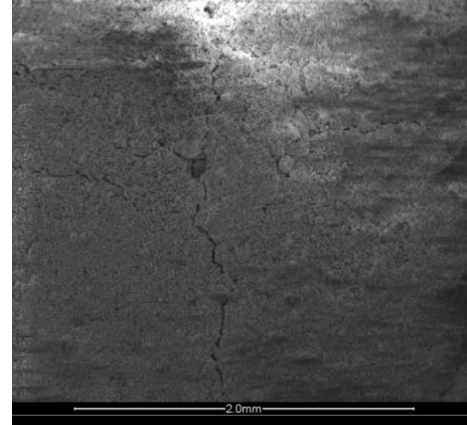
**FIGUR 4A. INGEN AGGLOMERATION**



**FIGUR 4B. LÄTT AGGLOMERATION**



**FIGUR 4C. STARK AGGLOMERATION**



**FIGUR 4D. FÖRSTÖRD SYREBÄRARE**

Resultattabellerna, **Tabell 2-10** visar enbart vad som bildas när syrebäraren eller bärarmaterialet reagerar med askkomponenten. De fall där dessa reaktioner uteblir betecknas "Inget reagerar". Vid studie med SEM är ingen agglomeration beskriven med **A**, lätt agglomeration med **B**, stark agglomeration med **C** och förstörd syrebärare med **D**, se i **Figur 4A-D**. Prov där SEM ej är utfört beskrivs med **N**. I de fall där agglomeration observeras efter ugnen anges detta i form av \* (lätt agglomeration) och \*\* (hög grad av agglomeration). Låg grad av agglomeration innebär att provet lätt mortlas sönder och hög agglomeration när provet får mejslas ut ur provhållaren.

Resultaten från projektet finns i tabeller i Bilaga A, vilka är uppdelade efter vad som händer för varje syrebärare. I Bilaga B återfinns alla diffraktogram och Bilaga C innehåller de erhållna SEM-bilderna.

## 4.1 Askkomponenter

De sex första resultattabellerna som följer är provkombinationer med askkomponenter från kolaska (**Tabell 2-7**). Därefter kommer tre tabeller med bioaskakomponenter (**Tabell 8-10**) och slutligen en resultattabell över prov mellan syrebärare och en fullständig kolaska (**Tabell 11**).

Eftersom KCl och K<sub>2</sub>CO<sub>3</sub> har smälttemperaturer under den generella ugnstemperaturen sänks den till lämplig nivå. Därför tillkommer en extra kolumn i **Tabell 8-10**, vilken betecknar temperaturen som provet uppvärms till. Värdet är angivet i grader Celsius.

TABELL 2. KOMBINATIONER MELLAN KAOLINIT OCH SYREBÄRARE

Kaolinit	Luft		Reducerande miljö	
CuO/MgAl <sub>2</sub> O <sub>4</sub>	Inget reagerar	N	Inget reagerar	A
Fe <sub>2</sub> O <sub>3</sub> /MgAl <sub>2</sub> O <sub>4</sub>	Inget reagerar	N	Fe <sub>2</sub> SiO <sub>4</sub>	N
Mn <sub>3</sub> O <sub>4</sub> /MgO-ZrO <sub>2</sub>	Inget reagerar	N	Inget reagerar	N
Ilmenit	Inget reagerar	N	Inget reagerar	N

Kaolinit reagerar bara med Fe<sub>2</sub>O<sub>3</sub>/MgAl<sub>2</sub>O<sub>4</sub> i reducerande miljö (**Tabell 2**).

TABELL 3. KOMBINATIONER MELLAN ILLIT OCH SYREBÄRARE

Illit	Luft		Reducerande miljö	
CuO/MgAl <sub>2</sub> O <sub>4</sub>	Inget reagerar	* N	Inget reagerar	* N
Fe <sub>2</sub> O <sub>3</sub> /MgAl <sub>2</sub> O <sub>4</sub>	Inget reagerar	N	Al <sub>0.7</sub> Fe <sub>3</sub> Si <sub>0.3</sub>	D
Mn <sub>3</sub> O <sub>4</sub> /MgO-ZrO <sub>2</sub>	Inget reagerar	* N	Mn <sub>2</sub> (SiO <sub>4</sub> )	C
Ilmenit	Inget reagerar	* D	Inget reagerar	* N

Enligt **Tabell 3** reagerar, i reducerad miljö illiten med Fe<sub>2</sub>O<sub>3</sub>/MgAl<sub>2</sub>O<sub>4</sub> och Mn<sub>3</sub>O<sub>4</sub>/MgO-ZrO<sub>2</sub>, där agglomeration sker i den sistnämnda blandningen. Vid undersökning med SEM av Fe<sub>2</sub>O<sub>3</sub>/MgAl<sub>2</sub>O<sub>4</sub> har illiten förstört hela syrebäraren, vilket också är fallet med ilmenit i luft. Anmärkningsvärt är att för ilmenit i luft tycks ingen reaktion ske, trots förstört syrebärare.

TABELL 4. KOMBINATIONER MELLAN PYRIT OCH SYREBÄRARE

Pyrit	Luft		Reducerande miljö	
CuO/MgAl <sub>2</sub> O <sub>4</sub>	Cu <sub>0.94</sub> Fe <sub>2.06</sub> O <sub>4</sub> , CuFe <sub>2</sub> O <sub>3.954</sub>	N	Cu <sub>5</sub> FeS <sub>4</sub> , CuS <sub>2</sub>	N
Fe <sub>2</sub> O <sub>3</sub> /MgAl <sub>2</sub> O <sub>4</sub>	Inget reagerar	N	Inget reagerar	N
Mn <sub>3</sub> O <sub>4</sub> /MgO-ZrO <sub>2</sub>	Inget reagerar	A	Mn <sub>0.59</sub> Fe <sub>0.41</sub> S, Zr <sub>0.75</sub> S	N
Ilmenit	Inget reagerar	N	Inget reagerar	N

**Tabell 4** visar att i både luft och reducerande miljö reagerar pyrit med CuO/MgAl<sub>2</sub>O<sub>4</sub>. Mn<sub>3</sub>O<sub>4</sub>/MgO-ZrO<sub>2</sub> reagerar med pyrit i reducerad miljö, där både syrebäraren och bärarmaterialet reagerar.

TABELL 5. KOMBINATIONER MELLAN KALCIT OCH SYREBÄRARE

Kalcit	Luft		Reducerande miljö	
CuO/MgAl <sub>2</sub> O <sub>4</sub>	Ca <sub>2</sub> (CuO <sub>3</sub> )	* A	Inget reagerar	N
Fe <sub>2</sub> O <sub>3</sub> /MgAl <sub>2</sub> O <sub>4</sub>	Inget reagerar	N	Inget reagerar	N
Mn <sub>3</sub> O <sub>4</sub> /MgO-ZrO <sub>2</sub>	Inget reagerar	N	Inget reagerar	N
Ilmenit	Inget reagerar	N	Inget reagerar	N

**Tabell 5** påvisar att kalcit endast reagerar med CuO/MgAl<sub>2</sub>O<sub>4</sub> i luft. När provet med kalcit och CuO/MgAl<sub>2</sub>O<sub>4</sub> tas ur ugnen observeras agglomeration, dock kan detta ej styrkas vid analys med SEM. Agglomerationen var troligen så lätt att den föll sönder.

TABELL 6. KOMBINATIONER MELLAN SIDERIT OCH SYREBÄRARE

Siderit	Luft		Reducerande miljö	
CuO/MgAl <sub>2</sub> O <sub>4</sub>	Inget reagerar	N	Inget reagerar	N
Fe <sub>2</sub> O <sub>3</sub> /MgAl <sub>2</sub> O <sub>4</sub>	Inget reagerar	N	Inget reagerar	N
Mn <sub>3</sub> O <sub>4</sub> /MgO-ZrO <sub>2</sub>	Mn <sub>0.176</sub> Fe <sub>1.824</sub> O <sub>3</sub> , Mn <sub>2.7</sub> Fe <sub>0.3</sub> O <sub>4</sub>	A	Inget reagerar	N
Ilmenit	Inget reagerar	N	Inget reagerar	N

Siderit reagerar med syrebäraren Mn<sub>3</sub>O<sub>4</sub>/MgO-ZrO<sub>2</sub> i luft, däremot uteblir reaktion i den reducerade miljön för alla syrebärare (Tabell 6).

TABELL 7. KOMBINATIONER MELLAN MONTMORILLONIT OCH SYREBÄRARE

Montmorillonit	Luft		Reducerande miljö	
CuO/MgAl <sub>2</sub> O <sub>4</sub>	Inget reagerar	N	Inget reagerar	N
Fe <sub>2</sub> O <sub>3</sub> /MgAl <sub>2</sub> O <sub>4</sub>	Inget reagerar	N	Inget reagerar	N
Mn <sub>3</sub> O <sub>4</sub> /MgO-ZrO <sub>2</sub>	Inget reagerar	N	Inget reagerar	N
Ilmenit	Inget reagerar	B	Inget reagerar	N

Tabell 7 visar att ingen reaktion mellan montmorillonit och syrebärare sker, dock inträffar viss agglomeration i fallet med ilmenit.

TABELL 8. KOMBINATIONER MELLAN KALIUMKLORID OCH SYREBÄRARE

Kaliumklorid	Luft			Reducerande miljö		
CuO/MgAl <sub>2</sub> O <sub>4</sub>	Inget reagerar	N	750	Inget reagerar	* A	750
Fe <sub>2</sub> O <sub>3</sub> /MgAl <sub>2</sub> O <sub>4</sub>	Inget reagerar	** C	750	Inget reagerar	N	750
Mn <sub>3</sub> O <sub>4</sub> /MgO-ZrO <sub>2</sub>	Inget reagerar	** N	750	Inget reagerar	* B	750
Ilmenit	K <sub>1.46</sub> Ti <sub>7.2</sub> Fe <sub>0.8</sub> O <sub>16</sub>	** N	750	Inget reagerar	N	750

I Tabell 8 påvisas det att kaliumklorid endast reagerar med ilmenit i luft. Tre av fyra syrebärare ger hög agglomeration i luft, endast CuO/MgAl<sub>2</sub>O<sub>4</sub> agglomererar ej. Anmärkningsvärt är att syrebärarna och kaliumklorid agglomererar utan att reagera, i fallen med Fe<sub>2</sub>O<sub>3</sub>/MgAl<sub>2</sub>O<sub>4</sub> och Mn<sub>3</sub>O<sub>4</sub>/MgO-ZrO<sub>2</sub>. Vid undersökning av prover i reducerande miljö med SEM observeras i fallet med CuO/MgAl<sub>2</sub>O<sub>4</sub> små partiklar av kaliumklorid på ytan av syrebäraren. På ytan av Mn<sub>3</sub>O<sub>4</sub>/MgO-ZrO<sub>2</sub> finns dock ett lager av kaliumklorid.

TABELL 9. KOMBINATIONER MELLAN KALIUMSULFAT OCH SYREBÄRARE

Kaliumsulfat	Luft			Reducerande miljö		
CuO/MgAl <sub>2</sub> O <sub>4</sub>	Inget reagerar	N	900	KAlO <sub>2</sub> , KAl(SO <sub>4</sub> ) <sub>2</sub>	N	900
Fe <sub>2</sub> O <sub>3</sub> /MgAl <sub>2</sub> O <sub>4</sub>	Inget reagerar	N	900	KAlO <sub>2</sub>	N	900
Mn <sub>3</sub> O <sub>4</sub> /MgO-ZrO <sub>2</sub>	Inget reagerar	N	900	Inget reagerar	A	900
Ilmenit	Inget reagerar	N	900	K <sub>2</sub> Ti <sub>2</sub> O <sub>5</sub>	N	900

Enligt **Tabell 9** reagerar kaliumsulfat inte med syrebärarna i luft, däremot sker reaktion i reducerad miljö med CuO/MgAl<sub>2</sub>O<sub>4</sub>, Fe<sub>2</sub>O<sub>3</sub>/MgAl<sub>2</sub>O<sub>4</sub> och ilmenit. Kaliumsulfat reagerar med ilmenit, samt bärarmaterialen i CuO/MgAl<sub>2</sub>O<sub>4</sub> och Fe<sub>2</sub>O<sub>3</sub>/MgAl<sub>2</sub>O<sub>4</sub>. Efter ugn är provet med Mn<sub>3</sub>O<sub>4</sub>/MgO-ZrO<sub>2</sub> i reducerande miljö tydligt tvåfärgat, vilket kan bero på den kraftiga temperaturgradienten.

TABELL 10. KOMBINATIONER MELLAN KALIUMKARBONAT OCH SYREBÄRARE

Kaliumkarbonat	Luft			Reducerande miljö		
CuO/MgAl <sub>2</sub> O <sub>4</sub>	KAlO <sub>2</sub>	* C	900	Inget reagerar	N	850
Fe <sub>2</sub> O <sub>3</sub> /MgAl <sub>2</sub> O <sub>4</sub>	KFeO <sub>2</sub>	B	900	MgAl <sub>2</sub> C <sub>2</sub>	A	850
Mn <sub>3</sub> O <sub>4</sub> /MgO-ZrO <sub>2</sub>	K <sub>2</sub> (MnO <sub>4</sub> ), K <sub>3</sub> (MnO <sub>4</sub> )	* C	900	K <sub>2</sub> ZrO <sub>3</sub>	* N	900
Ilmenit	K <sub>2</sub> Ti <sub>2</sub> O <sub>5</sub> , KFeO <sub>2</sub>	** N	900	Inget reagerar	** D	850

**Tabell 10** påvisar att i luft reagerar kaliumkarbonat med ilmenit, Mn<sub>3</sub>O<sub>4</sub>/MgO-ZrO<sub>2</sub> och Fe<sub>2</sub>O<sub>3</sub>/MgAl<sub>2</sub>O<sub>4</sub>, samt bärarmaterialen i CuO/MgAl<sub>2</sub>O<sub>4</sub>. I SEM är det inte möjligt att urskilja syrebärarna i provet med Mn<sub>3</sub>O<sub>4</sub>/MgO-ZrO<sub>2</sub>, vilka är strakt agglomererade och helt täckta med mineral. I reducerande miljö reagerar kaliumkarbonat endast med bärarmaterialet i Mn<sub>3</sub>O<sub>4</sub>/MgO-ZrO<sub>2</sub> och i Fe<sub>2</sub>O<sub>3</sub>/MgAl<sub>2</sub>O<sub>4</sub>. Provet med ilmenit och kaliumkarbonat har hög grad av agglomeration i både oxiderande och reducerande miljö, vilket även bekräftas i SEM för den reducerande miljön, där syrebäraren inte kan urskiljas. Provet med CuO/MgAl<sub>2</sub>O<sub>4</sub> i luft är tydligt tvåfärgat efter ugn, vilket även i detta fall antas bero på kraftig temperaturgradient.

Kvarts reagerar inte med någon av syrebärarna eller bärarmaterialen, varken i luft eller reducerande miljö och agglomeration sker ej. Se tabeller i Bilaga A.

## 4.2 Brunkolsaska

En mindre analys görs på syrebärare och brunkolaska, vilket illustreras i **Tabell 11**.

Brunkolaska har många toppar i diffraktogrammet och innehållet i brunkolaskan är svåridentifierat, jämförs endast diffraktogram för rena syrebärare med diffraktogram för brunkolaskan.

TABELL 11. KOMBINATION MELLAN SYREBÄRARE OCH BRUNKOLASKA

Brunkolsaska	Luft	Reducerande miljö		
CuO/MgAl <sub>2</sub> O <sub>4</sub>	Ingen förändring	N	Ingen förändring	N
Fe <sub>2</sub> O <sub>3</sub> /MgAl <sub>2</sub> O <sub>4</sub>	Ingen förändring	N	Förändring	N
Mn <sub>3</sub> O <sub>4</sub> /MgO-ZrO <sub>2</sub>	Förändring	N	Ingen förändring	N
Ilmenit	Ingen förändring	A	Förändring	N

Resultatet visar endast på om det är någon synlig förändring i diffraktogrammen som sker, inte vilken förening som bildas eller förbrukas under testet. **Tabell 11** visar att ingen förändring kan iakttas för CuO/MgAl<sub>2</sub>O<sub>4</sub> och Mn<sub>3</sub>O<sub>4</sub>/MgO-ZrO<sub>2</sub> i reducerande miljö, för de andra två syrebärarna uppstår dock en förändring vars orsak ej går att klargöra. Även i luft inträffar förändring i ett av fallen, Mn<sub>3</sub>O<sub>4</sub>/MgO-ZrO<sub>2</sub>.

## 4.3 Övriga resultat

Tre prover med syrebärare mortlas innan de placeras i ugnen, för att senare studeras med XRD. Syrebäraren som används är CuO/MgAl<sub>2</sub>O<sub>4</sub> kombinerat med kalcit, kvarts samt kaolinit. Endast provet med kalcit reagerar och bildar ett flertal olika föreningar med både syrebäraren och bärarmaterialet, exempelvis bildas samma förening som i det omalda fallet, Ca<sub>2</sub>(CuO<sub>3</sub>).

## 5. Diskussion

Studiens syfte är att undersöka interaktionerna mellan askkomponenter och syrebärare, samt bärarmaterial i en CLC-process. I diskussionen berörs endast de interaktioner vilka anses relevanta för att besvara frågeställningarna i syftesformuleringen. Mer grundlig information om vilka kombinationer som reagerar visas i resultatavsnittet ovan. Diskussionen är uppdelad i två separata delar med avseende på metodval och materialval.

### 5.1 Metodval

Metoden som valts simulerar svåra förhållanden för syrebärarna i ett CLC-system, eftersom partiklarna ligger stilla och därmed får de en stor kontaktyta och lång kontakttid. Förhållandena gynnar eventuella reaktioner, samt agglomeration mellan de två fasta faserna, vilket ej är önskvärt. För att illustrera förloppet då syrebärarna slits kan syrebärarna mortlas. Studien fokuserar dock på hela syrebärare, varför endast ett fåtal fall av mortlad syrebärare undersöks. De undersökta fallen tyder inte på att fler reaktioner sker med mortlad syrebärare. Metoden som valts är lätt att genomföra med få delsteg och kräver inga stora mängder material. För att få en mer realistisk bild av förloppet i en CLC-reaktor skulle en fluidiserad bädd kunna användas under uppvärmning av blandningen. Detta skulle medföra mindre kontaktyta, som i sin tur bör leda till färre reaktioner mellan de fasta partiklarna. Dock krävs grundläggande kunskap om interaktioner mellan askkomponenter och syrebärare för att vidarutveckla metoden med en fluidiserad bädd, då denna har fler variabler och aspekter att ta hänsyn till vid analys av resultat.

I studien tas det ej hänsyn till interaktion mellan askkomponenterna, vilket kan inträffa vid reaktion med syrebärare och en fullständig aska. Dessa interaktioner behandlas endast i ett fall, på grund av svårigheter med XRD-analys av en fullständig aska, då det blir mycket brus i diffraktogrammen.

Under studiens gång har metoden utvecklats, vilket medför att anteckningar om provens agglomeration efter ugn har tillkommit efter hand. I ett fåtal fall har provet varit tydligt tvåfärgat efter ugn, vilket antas tyda på att reaktion har skett endast i ena delen av provbehållaren. Innan analys med XRD blandas därför dessa provdelar. Då metoden att jämföra diffraktogram tillämpas kan analysen på så sätt underlättas, i och med att fokus läggs på nyttillkomna toppar. Denna metod används vid undersökning av ett fåtal prov i projektet senare del.

### 5.2 Material

Syrebärarna som används i detta projekt är alla syntetiskt framställda, vilket innebär att den fullständiga sammansättningen av startmaterialen är känd. I en verlig CLC-process används antagligen den naturliga formen av ilmenit, vilket medför att dess sammansättning kan variera. Om den naturliga formen av ilmenit hade används skulle resultatet blivit mer svåranalyserat, då fler komponenter kan delta vid reaktion.

Askkomponenternas renhet varierar kraftigt. Ett exempel på detta är illit, vilken i denna studie erhålls från en ansiktmask. Orsaken till variationen av kvalité är tillgängligheten på mineraler, då dessa kan vara svåra att hitta i sin rena form. Variationen i renhet gör att resultatets kvalité och tillförlitlighet påverkas. Flera föreningar tillsammans med askkomponenten gör det svårare

att veta vilka interaktioner som sker med syrebäraren, därfor är en ren askkomponent att föredra för att säkerställa resultat. Om det går att säkerställa att ingen reaktion sker mellan syrebärare och askkomponent, beståendes av flera föreningar, är detta ett positivt resultat. Detta på grund av att i en verlig CLC-process återfinns många olika komponenter, där det är önskvärt att syrebäraren reagerar med så få som möjligt.

I CLC-processen återfinns större delen av askan i den reduceraden delen, då det är där bränslet tillförs. Någon form av separation mellan askan och syrebäraren måste ske för att undvika ett ackumulerande system. Separationen bör ligga innan syrebäraren återgår till den oxiderande miljön. På grund av detta är resultat från den reducerande miljön av störst intresse i denna studie.

I kolaska reagerar flertalet askkomponenter kemiskt med syrebärarna  $\text{Fe}_2\text{O}_3/\text{MgAl}_2\text{O}_4$ ,  $\text{CuO}/\text{MgAl}_2\text{O}_4$  och  $\text{Mn}_3\text{O}_4/\text{MgO-ZrO}_2$ . Den enda askkomponenten som påverkar dessa fysiskt är illit.  $\text{Mn}_3\text{O}_4/\text{MgO-ZrO}_2$  och illit agglomererar i både reducerande miljö och i luft, med olika grad av agglomeration.  $\text{Fe}_2\text{O}_3/\text{MgAl}_2\text{O}_4$  agglomererar ej vid blandning av illit, vid undersökning med SEM uppfattas dock syrebären vara förstörd i den reducerade miljön. Däremot bör kvalitén på resultatet för reaktioner med illit uppmärksamas, vilket diskuteras ovan. Ilmenit reagerar inte med någon komponent i kolaska, varken i luft eller reducerad miljö. Ett intressant resultat är att ilmenit agglomererar med illit och montmorillonit, trots utebliven reaktion vid undersökning med XRD. Dessa askkomponenter visade sig innehålla flertalet föroreningar, vilka kan ha bidragit till resultatet. Den syrebärare som lämpar sig bäst för att användas med kolbränsle är ilmenit, då syrebärarpartikeln ej reagerat med någon askkomponent. Agglomerationen med illit och montmorillonit anses inte vara av samma betydelse, då kvalitén på resultatet kan diskuteras.

Bioaskkomponenterna har överlag lägre smältpunkter än kolaskkomponenterna, vilket medför att temperaturen i ugnarna regleras till en lägre nivå för bioaskkomponenterna i vissa fall. För att få en välfungerande CLC-process är det dock önskvärt att köra denna vid högre temperatur än de som valts för vissa av bioaskkomponenterna. Det kan alltså bli problematiskt att använda biomassa i en CLC-process då askkomponenternas låga smältpunkter kan leda till agglomeration och i vissa fall helt förstöra syrebäraren. Detta medför kort livslängd för syrebäraren och ett billigt alternativ bör användas, då syrebäraren förmodligen kommer behöva bytas ut mer frekvent.

Vid reaktion med komponenter från bioaska sker både fysiska och kemiska reaktioner med syrebärarna. Ilmenit är den syrebärare där själva syrebärarpartikeln reagerar flest gånger med de tre komponenterna, alltså lämpar sig ilmenit ej för en process med biomassa. Ett intressant resultat är att ilmenitpartiklarna är förstörda vid interaktion med kaliumkarbonat i den reducerande miljön, trots utebliven reaktion enligt XRD-analys. Att ilmenitpartiklarna förstörs kan vara relaterat till kaliumkarbonatets smältpunkt, som ligger strax under temperaturen i ugnen. Förmodligen har kaliumkarbonatet smält och på så vis skadat syrebäraren.

$\text{Fe}_2\text{O}_3/\text{MgAl}_2\text{O}_4$  och  $\text{Mn}_3\text{O}_4/\text{MgO-ZrO}_2$  reagerar vid tre tester vardera och de agglomererar kraftig vid flera tillfällen. I reducerad miljö reagerar bärarmaterialet hos  $\text{CuO}/\text{MgAl}_2\text{O}_4$  med kaliumsulfat, samt med kaliumkarbonat i luft. Enda agglomerationen som sker med  $\text{CuO}/\text{MgAl}_2\text{O}_4$  är i oxiderande miljö med kaliumkarbonat, vilket innebär att  $\text{CuO}/\text{MgAl}_2\text{O}_4$  förmodligen är den syrebärare som lämpar sig bäst för användning i en CLC-process med biobränsle.

Flera föreningar innehållande järn har bildats under tester utförda på syrebärarna  $\text{Fe}_2\text{O}_3/\text{MgAl}_2\text{O}_4$  och ilmenit, tillsammans med askkomponenterna pyrit och siderit, vilka innehåller järn. Det är i dessa fall svårt att säkerställa varifrån järnet har sitt ursprung och då också om reaktionen mellan syrebäraren och askkomponenten sker. Ett möjligt sätt att lösa denna problematik kan vara att märka de olika järföreningarna, genom exempelvis någon form av isotopmärkning, för att kunna erhålla ett mer exakt resultat.

Bärarmaterialet reagerar i flertalet tester med askkomponenter, trots tidigare antaganden om deras inerta egenskaper. Detta beteende sker relativt frekvent genom studien, med olika askkomponenter och syrebärare. Vid reaktion med bärarmaterial  $\text{MgAl}_2\text{O}_4$  och kalium bildas i tre prov föreningen  $\text{KAlO}_2$ . Vid förbränning med material innehållandes höga halter kalium kan det vara bra att byta ut bärarmaterialet för att undvika reaktionen.

Kostnad är en viktig aspekt vid valet av syrebärare, då en CLC-process måste vara ekonomiskt hållbar. De olika syrebärarmaterialen skiljer sig avsevärt i pris, där ilmenit är det billigaste alternativet och  $\text{CuO}/\text{MgAl}_2\text{O}_4$  är det dyraste. Detta innebär att  $\text{CuO}/\text{MgAl}_2\text{O}_4$  måste prestera mycket bättre än de övriga syrbärarna för att kunna appliceras i en verlig process. I resultat från denna studie håller ilmenit samma, om inte högre, standard som  $\text{CuO}/\text{MgAl}_2\text{O}_4$ , åtminstone för kolaskorna.

## 6. Slutsatser

Metoden i studien är ett bra val för att få en grundlig förståelse för hur komponenter reagerar med syrebärare. Metoden simulerar ett scenario med stor kontaktyta och lång kontaktid för syrebärare och askkomponenter. Det som generellt kan sägas om resultatet i denna studie är:

- Ilmenit är den syrebärare som är lämpar sig bäst för bränsleomvandling av kolbränsle i en CLC-process.
- CuO/MgAl<sub>2</sub>O<sub>4</sub> är den syrebärare som lämpar sig bäst för bränsleomvandling av biobränsle i en CLC-process.
- Den reducerande miljön anses vara av större vikt än fallet med luft, då merparten av askkomponenterna troligtvis separeras bort innan oxidationsprocess i en CLC.
- Kvarts och montmorillonit reagerar inte med någon syrebärare.
- Enligt resultatet i studien är inte bärarmaterialen inerta.
- I de fall där syrebäraren mortlas observeras ingen ökning i reaktionsbenägenhet, vilket tyder på att försöken med intakta syrebärare illustrerar mycket svåra förhållande ur reaktionssynpunkt.
- Då en CLC-process körs på biobränsle måste arbetstemperaturen sänkas jämfört mot i de fall då kolbränslen används. Detta för att undvika risker för agglomeration av askkomponenter, främst från kalium.
- Enligt studien presterar inte CuO/MgAl<sub>2</sub>O<sub>4</sub> bättre än andra syrebärare med kolaska, trots högre pris.

## Källförteckning

---

<sup>1</sup>Mitchell, J.F. B. (1989) The “greenhouse” effect and climate change. Meteorological Office, Vol.27, nr.1, ss.115-139

<sup>2</sup>Herzog, H. Golomb, D. (2004) *Carbon Capture and Storage from Fossil Fuel Use*. Encyclopedia of Energy. Vol.1, ss.1-11

<sup>3</sup>Berguerand, N. Lyngfelt, Al (2007). *The use of petroleum coke as fuel in a 10kWth chemical-looping combustor*. International journal of greenhouse gas control. Vol.2, nr 2. ss. 169-179

<sup>4</sup>Sveriges geologiska undersökning, M. *Koldioxidlagring*.

<http://www.sgu.se/sgu/sv/geologi/koldioxidlagring.html> (hämtat 2012-02-03)

<sup>5</sup>Orr, F.M. (2004) *Storage of Carbon Dioxide in Geologic Formations*. Journal of Petroleum Technology. Vol. 56, nr. 9, s.90

<sup>6</sup>Szulczewski, M.L. MacMinn, C.W. Herzog, H.J. and Juanes, R. (2012), *Lifetime of carbon capture and storage as a climate-change mitigation technology*, Proceedings of National academy of Sciences of the United States of America, Vol.109, nr.14, ss. 5185-5189

<sup>7</sup>Gibbins, J. Chalmers, H. (2008) *Carbon capture and storage*. Energy Policy, volume 36, issue 12, ss. 4317-432. <http://www.sciencedirect.com/science/article/pii/S0301421508004436>, (hämtat 2012-04-25)

<sup>8</sup>Scholes, C.A. Kentish, S.E. and Stevens, G.W. (2008) *Carbon Dioxide Separation through Polymeric Membrane Systems for Flue Gas Applications*. Recent Patents on Chemical Engineering, vol. 1, nr. 1 ss. 52-66.

<sup>9</sup>Scottish Carbon Capture and Storage, *Pre-Combustion Capture*

<http://www.geos.ed.ac.uk/sccs/capture/precombustion.html> (hämtat 2012-02-09)

<sup>10</sup>Mattisson, T. Lyngfelt, A. Leion, H. (2009) *Chemical-looping with oxygen uncoupling for combustion of solid fuels*. International Journal of Greenhouse Gas Control, Vol. 3, nr. 1, ss. 11-19

<sup>11</sup>Jerndal, E. Mattisson, T. Lyngfelt, A. (2006) *Thermal Analysis of Chemical-Looping Combustion*. Chemical Engineering Research and Design, Vol. 84, nr. 9, ss. 795-806

<sup>12</sup>Rubel A et al. (2011) *Effect of Ash on Oxygen Carriers for the Application of Chemical Looping Combustion to a High Carbon Char*. Oil & Gas Science and Technology – Rev. IFP Energies nouvelles, Vol. 66, nr. 2, ss. 291-300

<sup>13</sup>Consensus Economics, [http://www.consensuseconomics.com/Cobalt\\_Price\\_Forecasts.htm](http://www.consensuseconomics.com/Cobalt_Price_Forecasts.htm) (hämtat 2012-05-16)

<sup>14</sup>Cempel, M. Nikel, G. (2006) *Nickel: A Review of Its Sources and Environmental Toxicology*. Polish J. of Environ. Stud. Vol. 15, nr. 3, ss. 375-382

<sup>15</sup>Lauwerys, R. Lison, D. (1994) *Health risks associated with cobalt exposure - an overview*, Science of The Total Environment, Vol. 150, nr. 1-3, ss. 1-6

<sup>16</sup>Mattisson, T. Lyngfelt, A. Cho, P. (2001), *The use of iron oxide as an oxygen carrier in chemical-looping combustion of methane with inherent separation of CO<sub>2</sub>*, Fuel, Vol. 80, nr. 13, ss. 1953-1962

<sup>17</sup>Abad, A. Adámez, J.Cuadrat, A. García-Labiano, F. Gayán, P. Diego, L.F (2010) *Kinetics of redox reactions of ilmenite for chemical-looping combustion*. Chemical Engineering Science. Vol. 66, nr. 4, ss. 689-702

---

<sup>18</sup>Johansson, M.(2007) *Screening of oxygen-carrier particles based on iron-, manganese-,copper- and nickel oxides for use in chemical-looping technologies.* Göteborg: Chalmers Tekniska Högskola

<sup>19</sup>Cuadrat, A. Abad, A. Adánez, J. Diego, L.F. Gracia-Labiano, F. Gayán, P. (2011) *Behavior of ilmenite as oxygen carrier in chemical-looping combustion.* Fuel Processing Technology, Vol. 94, nr. 1, ss. 101-112

<sup>20</sup>Leion, L. Lyngfelt, A. Johansson, M. Jerndal, E. Mattisson, T. (2008) *The use of ilmenite as an oxygen carrier in chemical-looping combustion.* Chemical engineering research and design, Vol. 89, nr. 9, ss. 1017-1026

<sup>21</sup>Arjmand, M. Azad, A. Leion, H. Lyngfelt, A. Mattisson, T. (2011) *Prospects of Al<sub>2</sub>O<sub>3</sub> and MgAl<sub>2</sub>O<sub>4</sub>-Supported CuO Oxygen Carriers in Chemical-Looping Combustion (CLC) and Chemical-Looping with Oxygen Uncoupling (CLOU),* Energy and Fuels, Vol. 25, nr. 11, ss. 5493-5502

<sup>22</sup> Abad, A. Adánez, J. García-Labiano, F. Diego, L.F. Gayán, P., Celaya, J., (2006) *Mapping of the range of operational conditions for Cu-, Fe-, and Ni-based oxygen carriers in chemical-looping combustion,* Chemical Engineering Science, Vol. 62, nr. 1, ss. 533-549

<sup>23</sup> Consensus Economics, [http://www.consensuseconomics.com/Ilmenite\\_Price\\_Forecasts.htm](http://www.consensuseconomics.com/Ilmenite_Price_Forecasts.htm) (hämtat 2012-05-07)

<sup>24</sup>TortosaMasiá, A.A. Buhre, B.J.P. Gupta, R.P. Wall, T.F (2007) *Characterising ash of biomass and waste.* Fuel Processing Technology, Vol. 88, nr. 11, ss. 1071-1081

<sup>25</sup>Schweinfurth, S.P. (2003) *Coal-a complex natural resource, an overview of factors affecting coal quality and use in the United States.* Washington: United States Government Printing Office

<sup>26</sup>Dyke, J.C. Waandersb, F.B. Heerden, J.H.P. (2008) *Quantification of oxygen capture in mineral matter during gasification.* Science direct. Vol. 87, nr. 12, ss. 2735-2744

<sup>27</sup>A.Demirbas (2005). *Potential applications of renewable energy sources, biomass combustion problems in boiler power systems and combustion related environmental issues.* Progress in Energy and Combustion Science, Vol. 31, nr. 2, ss. 171-192

<sup>28</sup>Binod, P. Sindhu, R. Singhania, R.R. Vikram, S. Devi, L. Nagalakshmi, S. Kurien, N. Sukumaran, R. K. Pandey, A. (2010). *Bioethanol production from rice straw: An overview.* Bioresource Technology, Vol. 101, nr. 13, ss. 4767-4774

<sup>29</sup>Liao,C. Wu,C. Yan,Y. (2007) *The characteristics of inorganic elements in ashes from a 1 MW CFB biomass gasification power generation plant,* Vol. 88, nr. 2, ss. 149-156

<sup>30</sup>Capablo, J. Arendt Jensen, P. Hougaard Pedersen, K. Hjuler, K. Nikolaisen, L. Backman, R. Frandsen, F. (2009) *Ash Properties of Alternative Biomass.* Energy & Fuels Vol. 23. nr. 11, ss. 1965-1976

<sup>31</sup>Wang, G. Shen, L. Sheng, C. (2012) *Characterization of Biomass Ashes from Power Plants Firing Agricultural Residues.* Energy Fuels Vol. 26, nr.1, ss. 102-111

<sup>32</sup>Obernberger, I. Brunner, T. Bärnthaler, G. (2006) *Chemical properties of solid biofuels—significance and impact.* Biomass and Bioenergy Vol. 30, nr. 11, ss. 973-982

<sup>33</sup>Scala, F. Chirone, R. (2008) *An SEM/EDX study of bed agglomerates formed during bed combustion of three biomass fuels.* Science direct, Vol. 32, nr. 3, ss. 252-266

<sup>34</sup> Loberg, B.L. Kvarts. Nationalencyklopedin <http://www.ne.se/lang/kvarts> (hämtat 2012-03-29)

<sup>35</sup> Schroeder, P.A. (2003) *Kaolin.* The New Georgia Encyclopedia. <http://www.georgiaencyclopedia.org/nge/Article.jsp?id=h-1178> (hämtat 2012-04-19)

---

<sup>36</sup>Srikrishna, K. Thomas, G. Martinez, R. Corral, M.P. De Aza, S. Moya, J.S. (1990) *Kaolinite-mullite reaction series: a TEM study*. Journal of Materials Science, Vol. 25, nr. 1B, ss. 607-612

<sup>37</sup> Davis, R.F. Aksay, I.A. Pask, J.A. (1972) *Decomposition of mullite*. Journal of the American Ceramic Society, Vol. 55, nr. 2, ss. 98-101

<sup>38</sup> Nationalencyklopedin, *illit*, <http://www.ne.se/illit> (hämtat 2012-05-11)

<sup>39</sup> Helble, J.J. Boni, A.A. Shah, N. Huffman, G.P. Huggins, F.E. (1990) *Mineral behavior during coal combustion2. Illite transformations*, Progress in Energy and Combustion Science, Vol. 16, nr. 4, ss. 293-302

<sup>40</sup> de Araújo, J.H. da Silva, N.F. Acchar, W. Gomes, U.U (2004) *Thermal decomposition of Illite*, Materials of Science, Vol. 7, nr. 2, ss. 359-261

<sup>41</sup> R. Boehler. (1992) *Melting of the Fe-FeO and the FeS systems at high pressure*. Earth and Planetary Science Letters, Vol. 111, nr. 2-4, ss. 217-227

<sup>42</sup> Bhargava, S.K. Garg, A. Subasinghe, N.D. (2009) *In situ high-temperature phase transformation studies on pyrite*. Fuel, Vol. 88, nr 6, ss. 988-993

<sup>43</sup> Black & Veatch Corporation (2002), *Furnace adapted to produce lime for use in downstream flue gas desulfurization process*, 6146607

<sup>44</sup> Kissinger, H.E. McMuride, H.F. Simpson, B.S. (2006), *Thermal Decomposition of Manganese and Ferrous Carbonates*, Journal of The American Ceramic Society, Vol. 39, No. 5, ss. 168-172

<sup>45</sup> RRUFF Project Database(2001), *Montmorillonit*, <http://rruff.geo.arizona.edu/doclib/hom/montmorillonite.pdf> (hämtat 2012-04-19)

<sup>46</sup> Encyclopedia Britannica, *Montmorillonit*, <http://www.britannica.com/EBchecked/topic/391037/montmorillonite> (hämtat 2012-04-16)

<sup>47</sup> PubChem, *Potassium Chloride*, [http://pubchem.ncbi.nlm.nih.gov/summary/summary.cgi?cid=4873&loc=ec\\_rcs#x27](http://pubchem.ncbi.nlm.nih.gov/summary/summary.cgi?cid=4873&loc=ec_rcs#x27) (hämtat 2012-04-11)

<sup>48</sup> Patnaik, P (2003), *Handbook of inorganic chemicals*, McGraw-Hill, s. 774

<sup>49</sup> Miyake, M. Minato, I and Iwai, S (1979). *Thermal phase transition of potassium sulfate, K<sub>2</sub>SO<sub>4</sub>*. Physics and Chemistry of Minerals, Vol. 4, nr. 4, ss. 307-315

<sup>50</sup> Nielsen, H.P. Baxter, L.L. Sclippab, G. Morey, C. Frandsena, F.J. Dam-Johansen, K (2000), *Deposition of potassium salts on heat transfer surfaces in straw-fired boilers: a pilot-scale study*. Fuel, Vol. 79, nr. 2, ss. 131-139

<sup>51</sup> Chemistry Daily (2005) *Potassium Carbonate*, [http://www.chemistrydaily.com/chemistry/Potassium\\_carbonate](http://www.chemistrydaily.com/chemistry/Potassium_carbonate) (hämtat 2012-03-20)

<sup>52</sup> Burke, R.A. (2002), *Hazardous Materials Chemistry for emergency Responders, Second Edition*. ss. 37-112 Lewis Publishers

<sup>53</sup> Lehman, R.L. Gentry, J.S. Glumac, N.G. (1998) *Thermal stability of potassium carbonate near its melting point*. Thermochimica Acta, Vol. 316, nr. 1, ss. 1-9

<sup>54</sup> Chemical Book (2010), *Potassium Carbonate*, [http://www.chemicalbook.com/ChemicalProductProperty\\_EN\\_cb4853879.htm](http://www.chemicalbook.com/ChemicalProductProperty_EN_cb4853879.htm) (hämtat 2012-03-21)

---

<sup>55</sup> Moldenhauer, P, Rydén, M. Lyngfelt, A.(2012) *Testing of minerals and industrial by-products as oxygen carriers for chemical-looping combustion in a circulating fluidized-bed 300W laboratory reactor.* Fuel, Vol. 93, ss. 351–363

<sup>56</sup> Johansson, M. Mattisson, T. Lyngfelt, A. (2004) *Investigation of Fe<sub>2</sub>O<sub>3</sub> with MgAl<sub>2</sub>O<sub>4</sub> for Chemical-Looping Combustion,* Industrial & Engineering Chemistry Research, Vol. 43, nr. 22, ss. 6978-6987

## Bilaga A – Resultattabeller över syrebärare

**TABELL 1. ILMENIT MED KOMPONENTER DEL 1 AV 2**

Syrebärare	FeTiO <sub>3</sub> - Ilmenit				
Förening	Kvarts - (SiO <sub>2</sub> )	Kaolinit - (Al <sub>2</sub> Si <sub>2</sub> O <sub>5</sub> (OH)4)	Illit	Pyrit - (FeS <sub>2</sub> samt S)	Kalcit - (CaCO <sub>3</sub> )
Fanns i provet efter ugn (luft)	Kvarts (SiO <sub>2</sub> ), Järntitanoxid (Fe <sub>3</sub> Ti <sub>3</sub> O <sub>10</sub> )	Rutile (Ti <sub>0.92</sub> 4O <sub>2</sub> ), Järntitanoxid (Fe <sub>2</sub> (TiO <sub>5</sub> )) Mullit (Al <sub>4.64</sub> Si <sub>1.36</sub> O <sub>9.68</sub> ), Kvarts (SiO <sub>2</sub> )	Kvarts alfa, syn (SiO <sub>2</sub> ), Pseudobrookite, syn (Fe <sub>2</sub> TiO <sub>5</sub> ), Armalcolite, syn (MgTi <sub>2</sub> O <sub>5</sub> ), Muscovite (2M1 KAl <sub>2</sub> (Si <sub>3</sub> Al) <sub>1</sub> O <sub>10</sub> (OH) <sub>2</sub> ), Protoenstatite (MgSiO <sub>3</sub> )	Järntitanoxid (Fe <sub>9</sub> TiO <sub>15</sub> ), Pseudobrookite (TiFe <sub>2</sub> O <sub>5</sub> ), Titanoxid (TiO <sub>2</sub> ), Järnsulfid (FeS), Järntitanoxid (Fe <sub>3</sub> Ti <sub>3</sub> O <sub>10</sub> )	Kalciumpxid (CaO), Kalciumentanoxid (CaTi <sub>4</sub> O <sub>9</sub> ), Järntitanoxid (Fe <sub>2</sub> (TiO <sub>5</sub> ))
Fanns i provet efter ugn (reducerad omgivning)	Kvarts (SiO <sub>2</sub> ), Hongquiite (TiO <sub>1.27</sub> ) <sub>0.79</sub> , Järnoxid (FeO), Titan (Ti), Rutile (TiO <sub>2</sub> )	Rutile (TiO <sub>2</sub> ), Ilmenit (Fe <sub>2+</sub> TiO <sub>3</sub> ), Maghemite (Fe <sub>2</sub> O <sub>3</sub> ), Mullit (Al <sub>2.4</sub> Si <sub>0.6</sub> O <sub>4</sub> ), Kvarts (SiO <sub>2</sub> )	Kvarts (SiO <sub>2</sub> ), Ilmenit, syn (Fe <sub>2+</sub> TiO <sub>3</sub> ), Microcline (KAlSi <sub>3</sub> O <sub>8</sub> ), Sapphirine II (Mg <sub>3.8</sub> Al <sub>8.4</sub> Si <sub>1.8</sub> O <sub>20</sub> ), Hydrosodalite (K-exchange) (K <sub>6</sub> (Al <sub>6</sub> Si <sub>6</sub> O <sub>24</sub> )(H <sub>2</sub> O) <sub>8</sub> ), Oerthoenstatite (Mg(SiO <sub>3</sub> ))	Ilmenit (Fe <sub>2+</sub> TiO <sub>3</sub> ), Järnsulfid (FeS)	Kalciumpxid (CaO), Ilmenit (Fe <sub>2+</sub> TiO <sub>3</sub> )
Observation (luft) (reducerande miljö)			Proverna var hårdare kakor både i reducerad miljö och i luft.		

**TABELL 2. ILMENIT MED KOMPONENTER DEL 2 AV 2**

Syrebärare	FeTiO <sub>3</sub> - Ilmenit				
Förening	Siderit - (FeCO <sub>3</sub> )	Montmorillonit - (Kvarts (SiO <sub>2</sub> ), Anorthite (Ca0.8Na0.2Al1.77Si2.23O <sub>8</sub> ) Cordierite (Mg2Al4Si5O <sub>18</sub> (H <sub>2</sub> O)0.75), Montmorillonit (Na0.3(Al,Mg)2Si4O <sub>10</sub> (OH)2*8H <sub>2</sub> O))	Kaliumklorid - (KCl)	Kaliumsulfat - (K <sub>2</sub> SO <sub>4</sub> )	Kaliumkarbonat - (K <sub>2</sub> CO <sub>3</sub> )
Fanns i provet efter ugn (luft)	Järnoxid (Fe <sub>2</sub> O <sub>3</sub> ), Magnetite (Fe <sub>3</sub> O <sub>4</sub> ), Ilmenit (TiFeO <sub>3</sub> )	Armalcolite ((MgFe)(TiFe)O <sub>10</sub> ), Rutile (TiO <sub>2</sub> ), Järntitanoxid (Fe <sub>3</sub> Ti <sub>3</sub> O <sub>10</sub> ), Anorthite ((Ca, Na)(Al, Si) <sub>2</sub> Si <sub>2</sub> O <sub>8</sub> ), Gismondine (CaAl <sub>2</sub> Si <sub>2</sub> O <sub>8</sub> ·4H <sub>2</sub> O), Järntitanoxid (Fe <sub>3</sub> Ti <sub>3</sub> O <sub>10</sub> ), Spinell (Mg <sub>0.41</sub> Al <sub>2.4</sub> O <sub>4</sub> )	Kaliumklorid (KCl), Järntitanoxid (Fe <sub>2</sub> TiO <sub>5</sub> ), Pridelite (K <sub>1.46</sub> Ti <sub>7.2</sub> Fe <sub>0.80</sub> O <sub>16</sub> ), Titaniumoxid (TiO <sub>2</sub> )	Kaliumsulfat (K <sub>2</sub> SO <sub>4</sub> ), Rutile (Ti <sub>0.93</sub> Fe <sub>0.07</sub> O <sub>2</sub> ), Ilmenit (TiFeO <sub>3</sub> )	Kaliumtitanoxid (K <sub>2</sub> Ti <sub>2</sub> O <sub>5</sub> ), Kaliumjärnoxid (KFeO <sub>2</sub> ), Titanjärn (Ti <sub>0.65</sub> Fe <sub>0.35</sub> )
Fanns i provet efter ugn (reducerad omgivning)	Järnoxid, syn (Fe <sub>0.94</sub> Fe <sub>0.06</sub> O), Ilmenit, syn (Fe <sub>+</sub> TiO <sub>3</sub> ), Titanjärn (Ti <sub>0.023</sub> Fe <sub>0.977</sub> )	Ilmenit (TiFeO <sub>3</sub> ), Magnesiumaluminumsilikat (Mg <sub>2</sub> Al <sub>4</sub> Si <sub>5</sub> O <sub>18</sub> ), Kiseloxide (SiO <sub>2</sub> ), Mullit (Al <sub>4.68</sub> Si <sub>1.32</sub> O <sub>12</sub> )	Magnetit, syn (Fe <sup>2+</sup> Fe <sup>3+</sup> O <sub>4</sub> ), Rutile (TiO <sub>2</sub> ), Kaliumoxid (K <sub>2</sub> O), Järn (Fe)	Kaliumsulfat (K <sub>2</sub> SO <sub>4</sub> ), järntitanoxid ((Fe <sub>2.5</sub> Ti <sub>0.5</sub> ) <sub>1.04</sub> O <sub>4</sub> ), Kaliumtitanoxid (K <sub>2</sub> Ti <sub>2</sub> O <sub>5</sub> )	Titanjärn (Ti <sub>0.023</sub> Fe <sub>0.977</sub> ), Kaliumkarbonat (K <sub>2</sub> CO <sub>3</sub> ), Titaniumjärnoxid (TiFe <sub>2</sub> O <sub>5</sub> ), Kaliumkarbonat (K <sub>2</sub> CO <sub>3</sub> )
Observation (luft) (reducerande miljö)			Provet i luft var hårt och fick huggas ut med hammare och mejsel.		I luft smälte provet och blev en hård kaka som var svart på ytan och gul under. Fick skrapas ut med mejsel. I reducerande miljö evaperade nästan hela provet och kvar var en liten del "gegga" som bara gav brus vid XRD. Provet luktade även bränt järn.

**TABELL 3. Mn3O4/MgO-ZrO2 MED KOMPONENTER DEL 1 AV 2**

Syrebärare	Mn3O4/MgO-ZrO2		(Hausmannite (Mn3O4), Baddeleyite (ZrO2))		
Förening	Kvarts - (SiO2)	Kaolinit - (Al2Si2O5(OH)4 )	Illit	Pyrit - (FeS2 samt S)	Kalcit - (CaCO3)
Fanns i provet efter ugn (luft)	Kvarts (SiO2), Baddeleyite (ZrO2), Hausmannit (Mn3O4)	Hausmannit (Mn3O4), Zirkonium Oxid (ZrO2), Kvarts (SiO2), Mullit (Al4.68Si1.32O9.66)	Kaliummagnesiumsilikat (K2Mg(SiO4)), Kvarts (SiO2), Zirkoniumoxid (ZrO2), Sapphirine II (Mg3.8Al8.4Si1.8O20), Clinoenstatite (MgSiO3), Magnesiummanganoxid (MgMn2O4)	Magnesiumjärnoxid (Mg0.16Fe1.903), Magnesiummanganoxid (Mg0.4Mn2.6O3), Zirkoniumsulfid (Zr3S4), Baddeleyit (ZrO2)	Kalciumoxid (CaO), Hausmannit (Mn3O4), Baddeleyit (ZrO2), Magnesium manganoxid (Mg0.4Mn2.6O4)
Fanns i provet efter ugn (reducerad omgivning)	Kvarts (SiO2), Baddeleyite, syn (ZrO2), Manganosite (Mn0.950), Mangammagnesiumoxid ((MgO)0.305(MnO)0.695)	Zirkoniumoxid (ZrO2), Tephroite, syn (Mn2(SiO4)), Mullite, syn (Al2.25Si0.75O4.88), Donpeacorite (Mg0.7Mn0.3SiO3), Kvarts(SiO2)	Zirkonium Oxid (ZrO2), Kvarts (SiO2), Tephroite, syn (Mn2(SiO4)), Wadsleyite, syn (Mg2(SiO4)), Järnmanganoxid, syn ((FeO)0.198(MnO)0.802), Kaliummagnesiumsilikat (K1.14Mg0.57Si1.43O4), Kaliumkiselaluminiumoxid (K41.6K96(Si96.96Al9.04O384)), Kaliummanganhydrid (K3(MnH4)H)	Baddeleyit (ZrO2), Alabandite-ferroan (Mn0.59Fe0.41S), Zirkoniumsulfid (Zr0.75S), Magnesiumoxid (Mg6Mn08), Iron (Fe)	Kalciumoxid (CaO), Zirkoniumoxid (ZrO2), Manganoxid (MnO), Magnesiumoxide (MgO)
Observation (luft) (reducerande miljö)			I luft blev provet en kaka som ej var särskilt hård.		

**TABELL 4. Mn3O4/MgO-ZrO2 MED KOMPONENTER DEL 2 AV 2**

Syrebärare	Mn3O4/MgO-ZrO2			(Hausmannite (Mn3O4), Baddeleyite (ZrO2))	
Förening	Siderit - (FeCO3)	Montmorillonit - (Kvarts (SiO2), Anorthite (Ca0.8Na0.2Al1.77Si2.23O8) Cordierite (Mg2Al4Si5O18(H2O)0.75), Montmorillonit (Na0.3(Al,Mg)2Si4O10(OH)2*8H2O))	Kaliumklorid - (KCl)	Kaliumsulfat - (K2SO4)	Kaliumkarbonat - (K2CO3)
Fanns i provet efter ugn (luft)	Zirkoniumoxid (ZrO2), Magnetit (Fe3O4), Manganjärnoxid (Mn0.176Fe1.824O3), Manganjärnoxid (Mn2.7Fe0.304)	Baddeleyit (ZrO2), Hausmannit (Mn3O4), Suolunit (CaSiO3(H2O)), Manganoxid (Mn3O4), Spinell, manganian, syn (Mg0.887Mn0.302Al1.808O4)	Baddeleyite (ZrO2), Kaliumklorid (KCl), Magnesiummanganoxid (Mg0.4Mn2.6O4), Hausmannite (Mn3O4)	Kaliumsulfat (K2SO4), Baddeleyite (ZrO2), Bixbyite-C (Mn2O3), Zirkonium (Zr)	Baddeleyite, syn (ZrO2), Kaliummanganoxid (K2(MnO4)), Hausmannite, syn (Mn2.907O4), Kaliummanganoxide (K3(MnO4)), Magnesiumoxid (MgO)
Fanns i provet efter ugn (reducerad omgivning)	Baddeleyite (ZrO2), Manganoxid (Mn2O3), Wuestite (FeO)	Baddeleyit, syn (ZrO2), Magnesiumaluminiumsilikat (MgAl2Si4O12), Manganoxid (Mn0.950), Natriumaluminiumhydrid (NaAlH4), Gismondine (CaAl2Si2O8*4H2O)	Baddeleyite (ZrO2), Kaliumklorid (KCl), Manganosite (Mn0.950)	Kaliumsulfat (K2SO4), Zirkoniumoxid (ZrO2), Mangan (Mn), Mangansulfid (MnS), Manganmagnesiumoxid ((MgO)0.165(MnO)0.835), Kaliumsulfid (K2S)	Baddeleyite, syn (ZrO2), Manganosite (MnO), Kaliumkarbonat (K2CO3), Magnesiumzirkoniumoxid (Mg2Zr5O12), Kaliumkarbonat (K2CO3), Kaliumzirkoniumoxid (K2ZrO3)
Observation (luft) (reducerande miljö)			I luft var provet hårt och fick huggas ut med hammare och mejsel. Reducerande miljö var en halvhård kaka som mortlades lätt.	Provet i reducerad miljö var tväfärgat, gröngrått samt brunrött.	I luft och reducerande miljö var proven hårdta kakor som gick att mortla till pulver innan XRD.

**TABELL 5. FE2O3/MgAl2O4 MED KOMPONENTER DEL 1 AV 2**

Syrebärare	Fe2O3/MgAl2O4		(Järnoxid (Fe2O3), Spinell (MgAl1.53Fe0.47O4))		
Förening	Kvarts - (SiO2)	Kaolinit - (Al2Si2O5(OH)4 )	Illit	Pyrit - (FeS2 samt S)	Kalcit - (CaCO3)
Fanns i provet efter ugn (luft)	Kvarts (SiO2), Järnoxid (Fe2O3), Spinell (MgFe0.6Al1.404)	Järnoxid (Fe2O3), Ringwoodite (Mg2SiO4), Hercynite, magnesian (Fe0.75Mg0.29Al1.8804) Kvarts (SiO2)	Kvarts (SiO2), Järnoxid (Fe <sub>2</sub> O <sub>3</sub> ), Sapphirine (1A Al3.8Mg3.15Fe1.05(Si1.75Al4.250 20)), Spinell, ferrian syn (MgFe0.6Al1.404), Ensttite, ferroan (MgFeSi2O6), Orthoenstatite (Mg(SiO3))	Järnoxid (Fe2O3), Pyrit (FeS2) Hercynite-magnesian (Fe0.75Mg0.29Al1.9204)	Kalciumoxid (CaO), Järnaluiniumoxid (Fe1.84Al0.1603), Hercynite- magnesian (Fe.75Mg.29Al1.9204)
Fanns i provet efter ugn (reducerad omgivning)	Kvarts alfa, syn (SiO2), Spinel, ferrian, syn (MgAl1.53Fe0.47O4), Wustite, syn (FeO), Järn (Fe)	Spinell (MgAl1.41Fe0.5904), Järnoxid (FeO), Dickite-2M1 (Al2Si2O5(OH)4), Fayalite, syn (Fe2SiO4), Mullite (Al4.64Si1.36O9.68)	Spinell-ferrian (MgAl1.53Fe0.47O4, MgFe0.2Al1.804), Kvarts (SiO2), Aluminium Järn Kisels (Al0.7Fe3Si0.3), Microcline (KAlSi3O8)	Spinell, Troilite, Pyrrhotite	Kalciumoxid (CaO), Spinel-ferrian (MgAl1.53Fe0.47O4), Aluminumjärn (Al2Fe), Wustit (Fe0.902O), Spinell-ferrian (MgFe0.4Al1.604)
Observation (luft) (reducerande miljö)					

**TABELL 6. FE2O3/MgAl2O4 MED KOMPONENTER DEL 2 AV 2**

Syrebärare	Fe2O3/MgAl2O4 (Järnoxid (Fe2O3), Spinell (MgAl1.53Fe0.47O4))				
Förening	Siderit - (FeCO3)	Montmorillonit - (Kvarts (SiO2), Anorthite (Ca0.8Na0.2Al1.77Si2.23O8) Cordierite (Mg2Al4Si5O18(H2O)0.75), Montmorillonit (Na0.3(Al,Mg)2Si4O10(OH)2*8H2O))	Kaliumklorid - (KCl)	Kaliumsulfat - (K2SO4)	Kaliumkarbonat - (K2CO3)
Fanns i provet efter ugn (luft)	Hematite, syn (Fe2O3), Järnaluminumoxid (Fe1.78Al0.22O3), Järnoxidkarbonat (Fe2O2CO3), Magnesiumjärnoxid (Mg1.5Fe1.503.75), Magnesiumaluminum (Mg1.2Al1.8), Hercynite, magnesian, syn (Fe.77Mg.29Al1.94O4), Magnesiumoxid (MgO), Siderit (Fe(CO3))	Järnoxid (Fe2O3), Ringwoodite (Mg2SiO4), Stellerite (Ca2Al4Si14O36(H2O)19), Natriumaluminiumsilikat (NaAl(SiO4))	Kaliumklorid (KCl), Kaliumaluminumkloroxid (K0.5Al0.5Cl00.5), Järnoxid (Fe2O3) Spinell, ferrian (MgFe0.6Al1.404)	Kaliumsulfat (K2SO4), Järnoxid (Fe2O3), Spinell, ferrian (MgFe0.6Al1.404)	Kaliumjärnoxid (KFeO2), Aluminiumoxid (Al2O3), Järnoxid (Fe11O12), Periclase, syn (MgO), Magnesiumaluminumoxid (MgAl26O40)
Fanns i provet efter ugn (reducerad omgivning)	Wustit, syn (Fe0.950), Magnesia, syn (MgO), Hercynite, syn ((Fe0.867Al0.133)(Fe0.235Al1.765)O4), Järn, syn (Fe)	Spinell Ferrian (MgFe0.2Al1.804), Wustite (Fe0.950), Magnesia (MgO), Magnesiumaluminumsilikat (MgAl2Si4O12), Albite ((Na, Ca)Al(Si, Al)3O8), Mullit (Al4.44Si1.56O9.78), Magnesuimaluminumoxide (MgAl2O4), Natriumaluminosilikathydrat ((Na5.7Al5.7Si10.3)*12H2O)	Kaliumklorid (KCl), Järn (Fe), Magnesiumaluminumoxid (MgAl2O4)	Kaliumaluminumoxid (KAlO2), Magnesiumjärnoxid (Mg1-xFexO), Kaliumsulfat (K2SO4), Kaliumaluminumoxid (KAlO2), Bartonite (K5.68Fe20.368S26.925), Kaliumsulfid (K2S5), Järn (Fe), Corundum (Al2O3)	Järn, syn (Fe), Kaliumkarbonat (K2CO3), Järnoxid (Fe2O3), Magnesiumoxid (MgO), Magnesiumaluminumkarbid (MgAl2C2), Spinel, syn (Mg0.80Al0.18)(Al1.86Mg0.14)O4
Observation (luft) (reducerande miljö)			I luft var det en mycket hård kaka.		Provet i luft var grönfärgat och påminde lite om mossan.

**TABELL 7. CuO/MgAl2O4 MED KOMPONENTER DEL 1 AV 2**

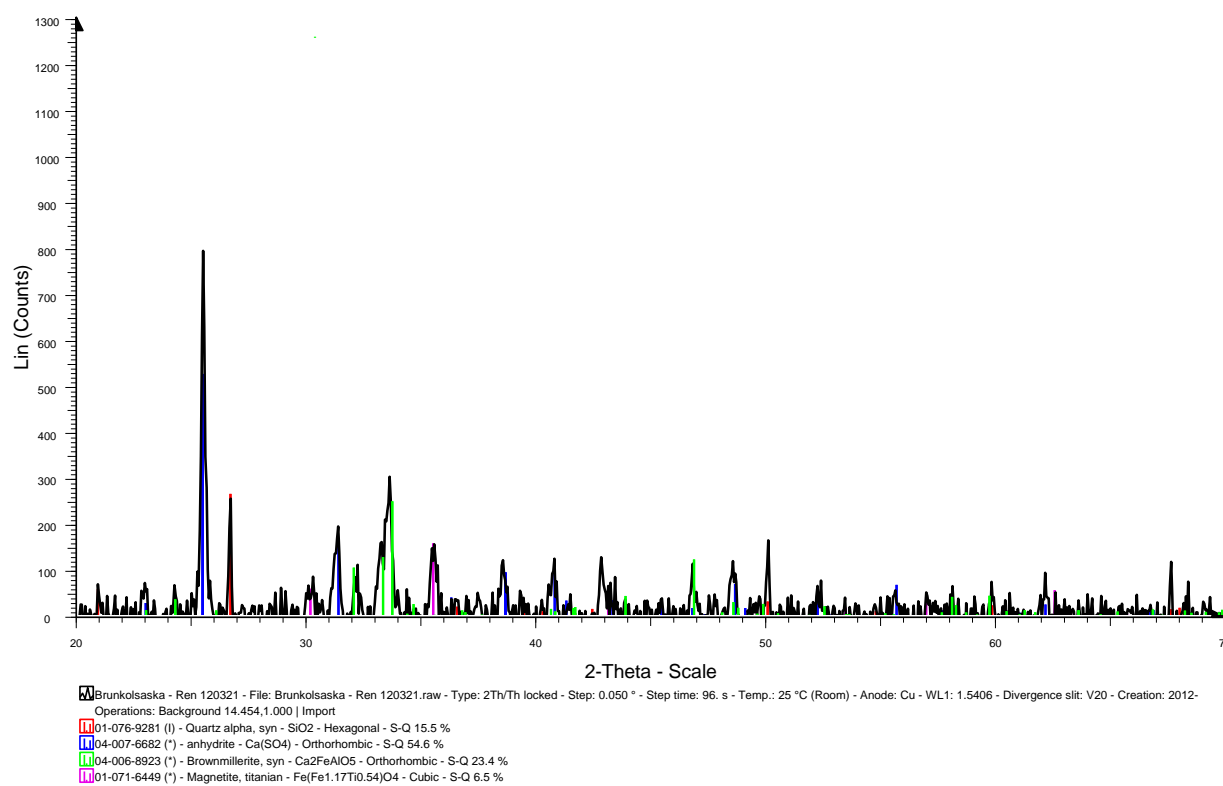
Syrebärare	CuO/MgAl2O4				
Förening	Kvarts - (SiO2)	Kaolinit - (Al2Si2O5(OH)4 )	Illit Kvarts (SiO2), Ferrogredrite (Fe5Al4Si6O22(OH)2), Illit (KAl2(Si3Al)O10(OH)2), Magnesiumsilikathydroxid (Mg3Si2O5(OH)4), K,Mg,Al-silikathydroxid (K(Mg,Al)2,04(Si3.34Al0.66)O10(OH)2)	Pyrit - (FeS2 samt S)	Kalcit - (CaCO3)
Fanns i provet efter ugn (luft)	Kvarts (SiO2), Kopparoxid (CuO), Spinell (MgAl2O4)	Kopparoxid (CuO), Spinell (MgAl2O4), Mullit (Al4.64Si1.36O9.68), Kvarts (SiO2)	Kopparoxid (CuO), Spinell (MgAl1.98Fe0.04O4), Kvarts (SiO2), Ferrosilite, magnesian (Mg0.47Fe1.54)Si2O6, Micrlcline (KAlSi3O8)	Spinell (MgAl2O4), Kopparjärnoxid (Cu0.94(1)Fe2.06(2)O4(3.954))	Kaliumoxid (CaO), Kopparoxid (CuO), Spinell (MgAl2O4), Kalciumkopparoxid (Ca2(CuO3))
Fanns i provet efter ugn (reducerad omgivning)	Koppar (Cu0.99), Kvarts (SiO2), Spinell ((Mg0.8Al0.18)(Al1.86Mg0.14)O4)	Koppar, syn (Cu0.99), Spinell, syn (MgAl2O4), Kvarts (SiO2)	Koppar (Cu0.99), Magnesiumkopparaluminumoxid (Mg0.6Cu0.4Al2O4), Kvarts (SiO2), Illit ((K,H3O)Al2Si3Al010(OH)2), Kaliumkisel (K3.5Si23)	Bornite(Cu5FeS4), Chalcocite (Cu2S), Troilite (Fe0,985S), Spinell (MgAl2O4)	Koppar, syn (Cu0.99), Kalciumoxid (CaO), Spinel, syn ((Mg0.725Al0.272)(Al1.727Mg0.271)O4)
Observation (luft) (reducerande miljö)		Provet i luft var en hård kaka.	Provet i luft och reducerande miljö var hård kaka som mortlades innan XRD.		Provet i luft var en mjuk kaka som mortlades lätt.

**TABELL 8. CuO/MgAl2O4 MED KOMPONENTER DEL 2 AV 2**

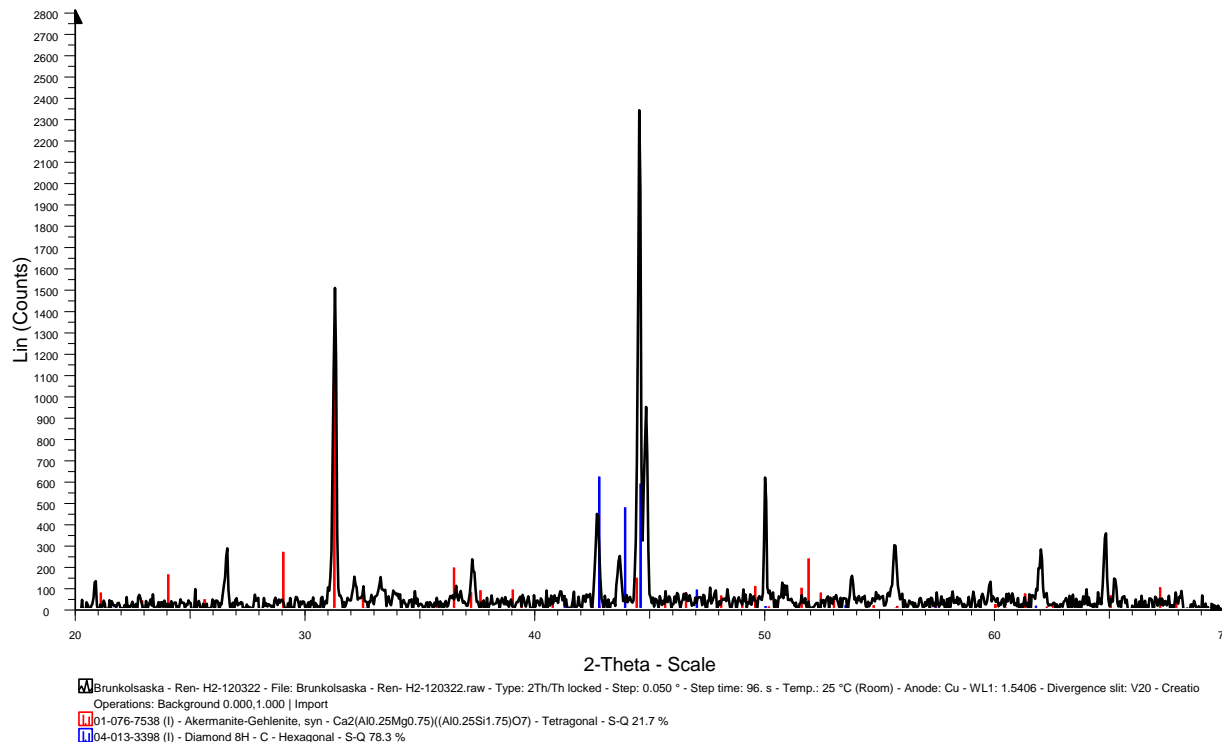
Syrebärare	CuO/MgAl2O4				
Förening	Siderit - (FeCO3)	Montmorillonit - (Kvarts (SiO2), Anorthite (Ca0.8Na0.2Al1.77Si2.23O8) Cordierite (Mg2Al4Si5O18(H2O)0.75), Montmorillonit (Na0.3(Al,Mg)2Si4O10(OH)2*8H2O))	Kaliumklorid - (KCl)	Kaliumsulfat - (K2SO4)	Kaliumkarbonat - (K2CO3)
Fanns i provet efter ugn (luft)	Spinell ((Mg0.85Al0.145)(Al1.853Mg0.145)04), Kopparoxid, syn (CuO), Järnoxid (Fe3O3.75)	Tenorit (CuO), Magnesiumaluminomoxid (Mg0.4Al2.4O4), Kopparaluminomoxid (CuAl2O4, Cu2Al4O7), Magnesiumaluminumsilikat (Mg2Al4Si5O18), Albite ((Na,Ca)Al(Si,Al)3O8)	Kopparoxid (CuO), Kaliumklorid (KCl), Magnesiumaluminomoxid (Mg0.4Al2O4)	Kopparoxid (CuO), Spinell ((Mg0.725Al0.272)(Al1.727Mg0.271)04), Kaliumsulfat (K2SO4)	Kaliumaluminomoxid (KAlO2), Kopparoxid (CuO), Magnesiumoxid (MgO), Kaliumkarbonat (K2CO3), Spinell, syn (Mg0.409Al2.394O4)
Fanns i provet efter ugn (reducerad omgivning)	Spinell, syn ((Mg0.588Fe0.188Al0.224)(Mg0.227Al1.766Fe0.0007)04), Koppar, syn (Cu0.99), Järnoxid, syn (Fe0.950)	Kopparaluminium (Cu0.96Al0.04), Spinell ((Mg0.851Al0.145)(Al1.853Mg0.145)04), Kalciumnatriumaluminumsilikath ydrat (Ca2.5Na2Al7Si41O96 * 24H2O)	Kaliumklorid (KCl), Aluminiummagnesium (Al14Mg13), Kaliumkopparklorid (K2CuCl3), Magnesiumaluminomulklorid (MgAl2Cl8), Aluminiumkoppar (Cu11.2Al8.88)	Spinell ((Mg0.851Al0.145)(Al1.853Mg0.145)04), Kaliumaluminomoxid (KAlO2), Magnesiumoxid (MgO), Magnesiumaluminomoxid (MgAl2O4), Koppar (Cu), Kaliumaluminumsulfat (Kal(SO4)2), Kopparsulfid (CuS), Aluminiumoxid (Al2O3), Kopparoxid (Cu64O)	Koppar(Cu0.99), Kaliumkarbonat (K2CO3), Magnesiumaluminomoxid (MgAl2O4), Kaliumaluminiumoxid (KAlO2), Magnesiumkopparoxid (Mg0.80Cu0.20)
Observation (luft) (reducerande miljö)			I reducerande miljö satt provet fast vid provhållaren men behövde ej malas inför XRD.		I luft hade provet agglomererat men kunde lätt separeras. Provet var svart med inslag av grön men längst från mitten av ugnen var blandningen vit.

## Bilaga B - Diffraktogram

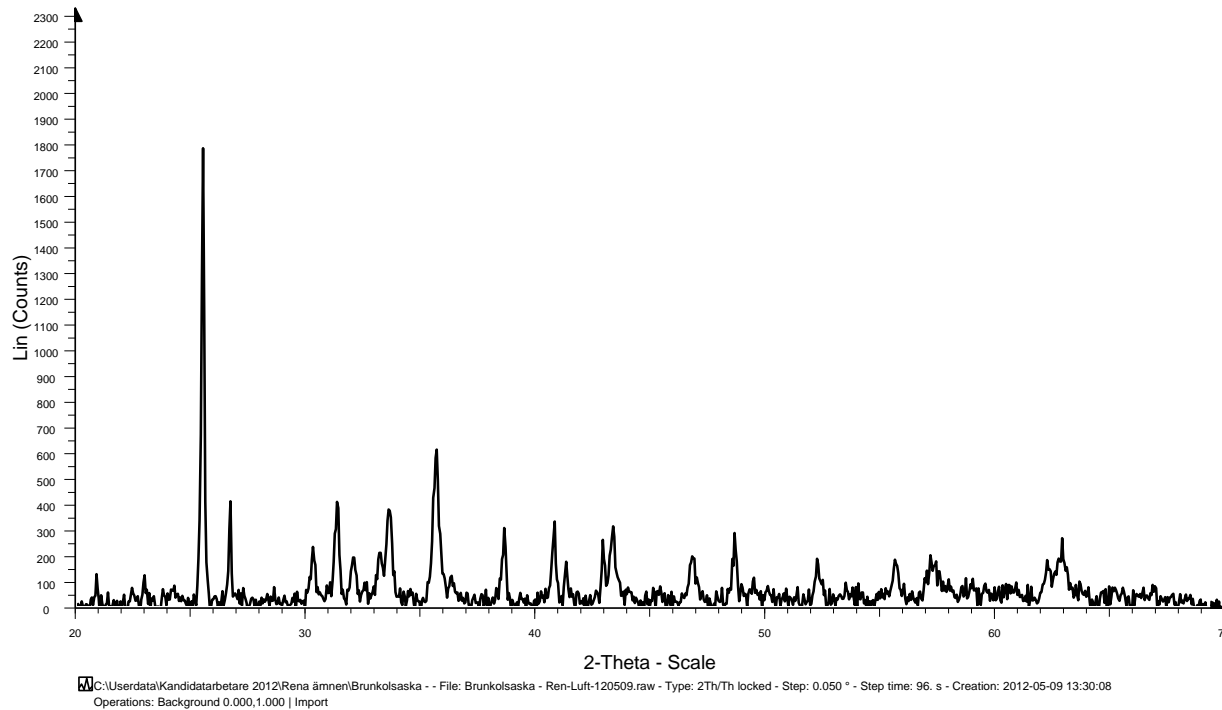
### Diffraktogram för aska samt askkomponenter



**Figur 1. Brunkolsaska – Ren**

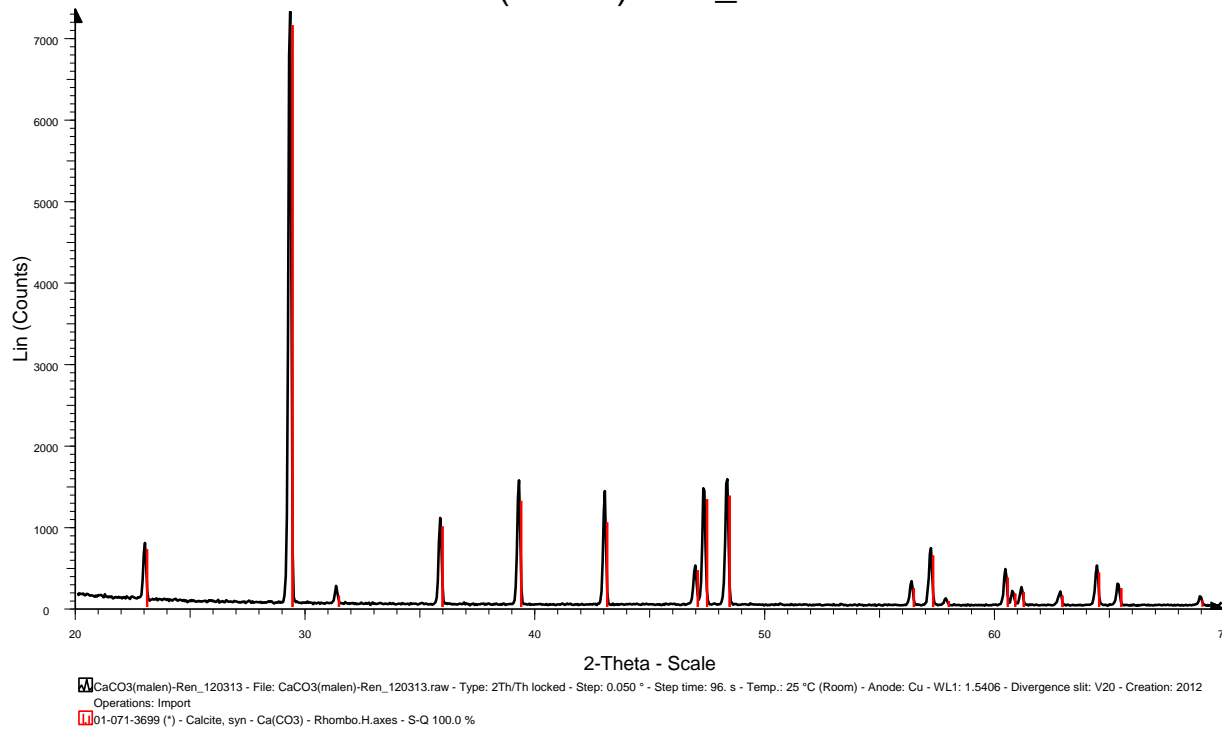


**FIGUR 2. BRUNKOLSASKA - REN- H2**

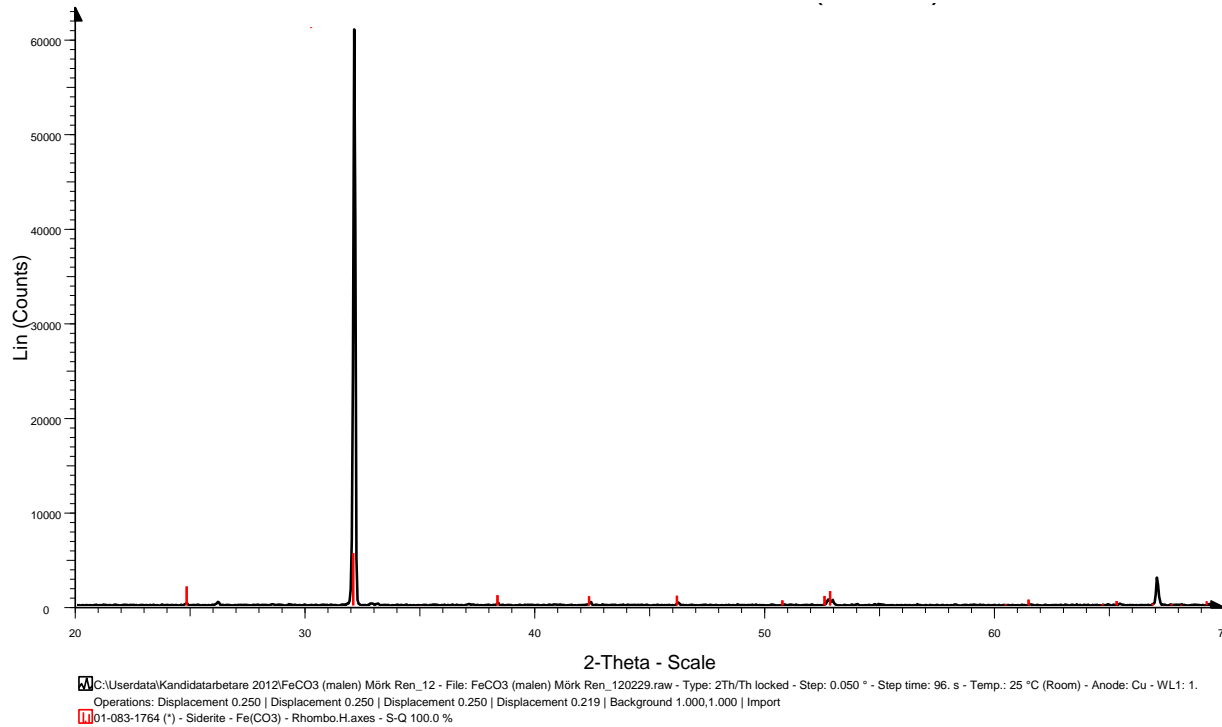


**FIGUR 3. BRUNKOLSASKA - REN-LUFT**

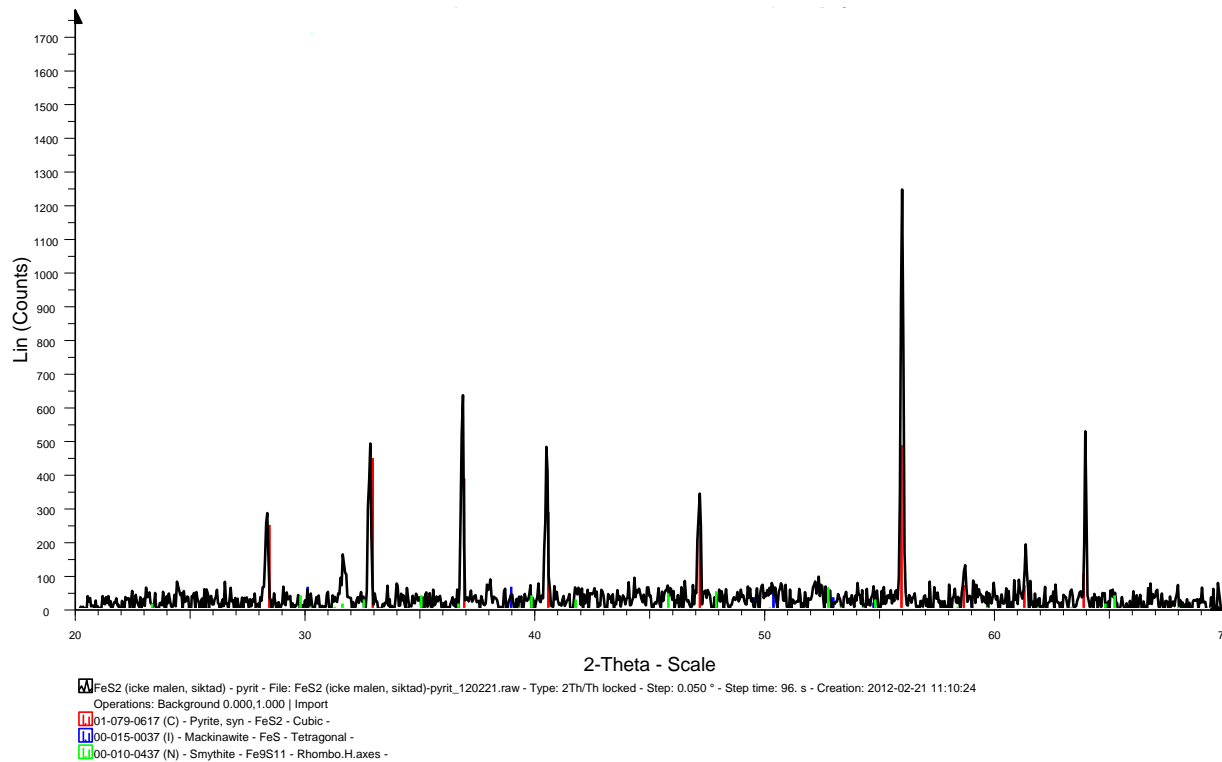
CaCO<sub>3</sub>(malen)-Ren\_120313



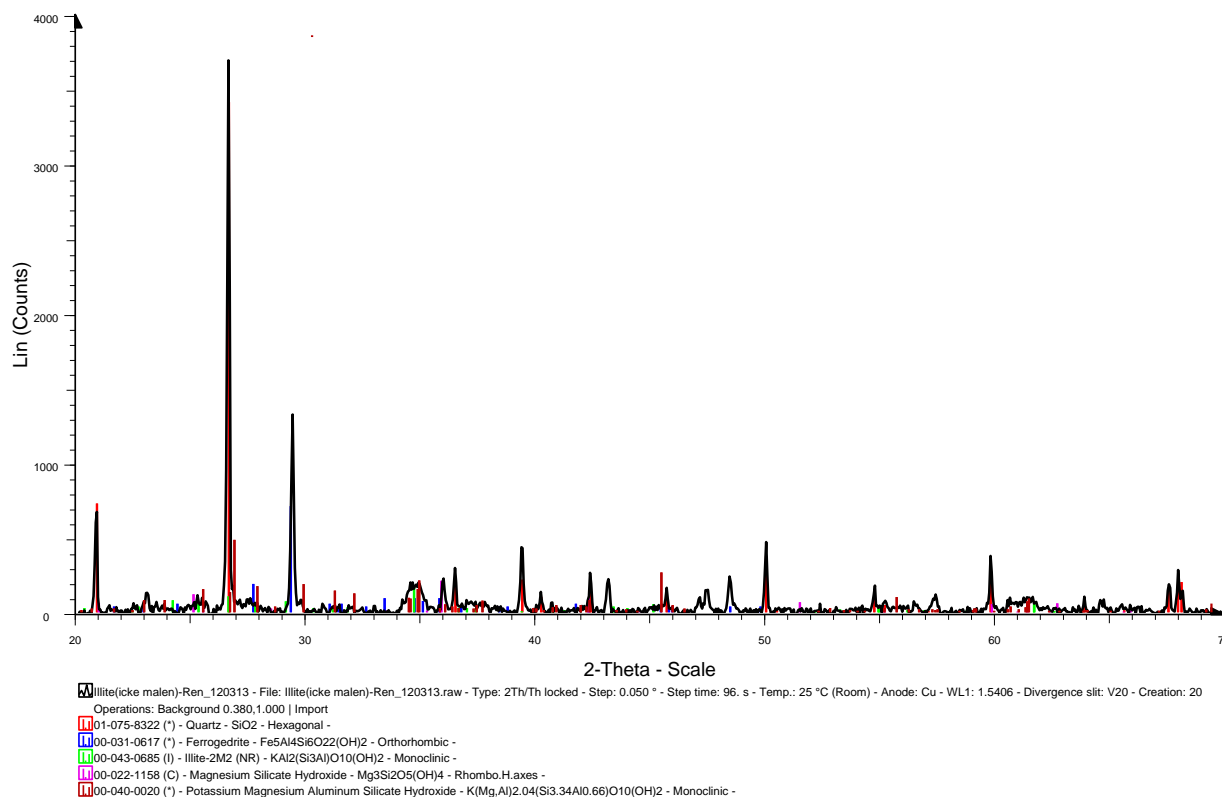
FIGUR 4. CACO<sub>3</sub>-REN



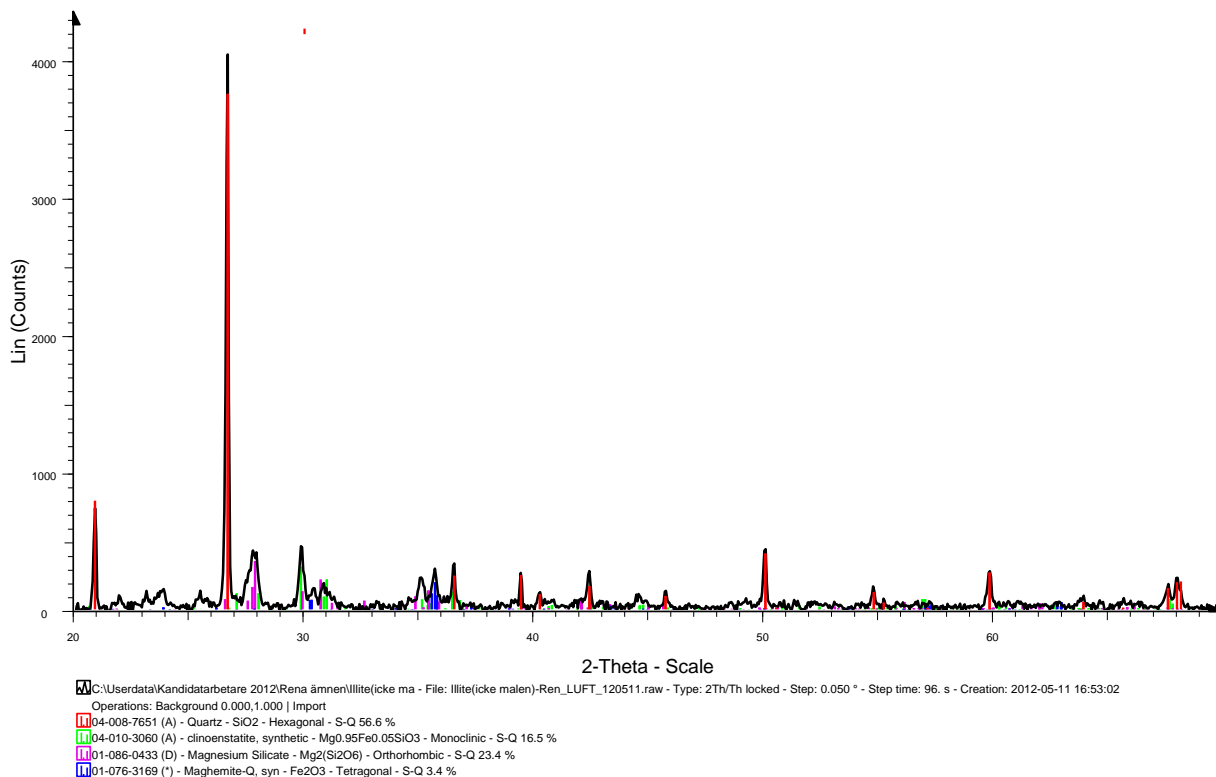
FIGUR 5. FECO<sub>3</sub>-REN



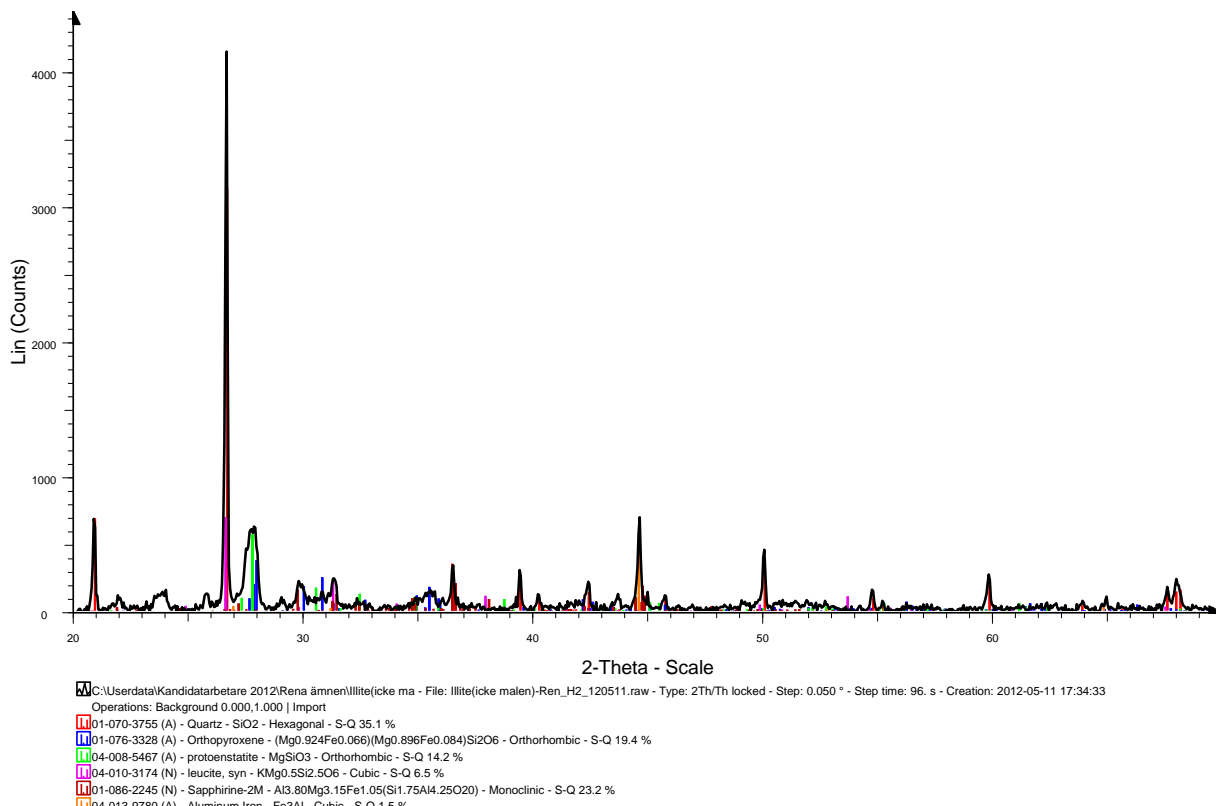
**FIGUR 6. FE<sub>2</sub>S-(PYRIT) – REN**



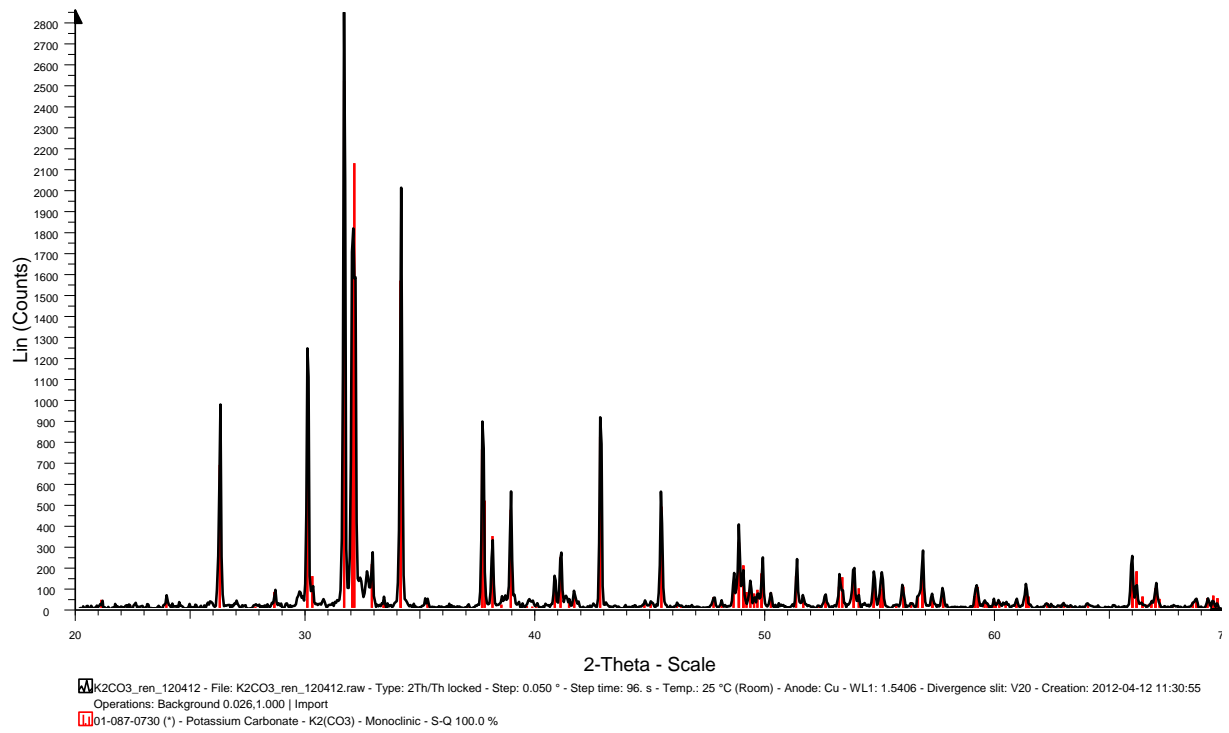
**FIGUR 7. ILLIT-REN**



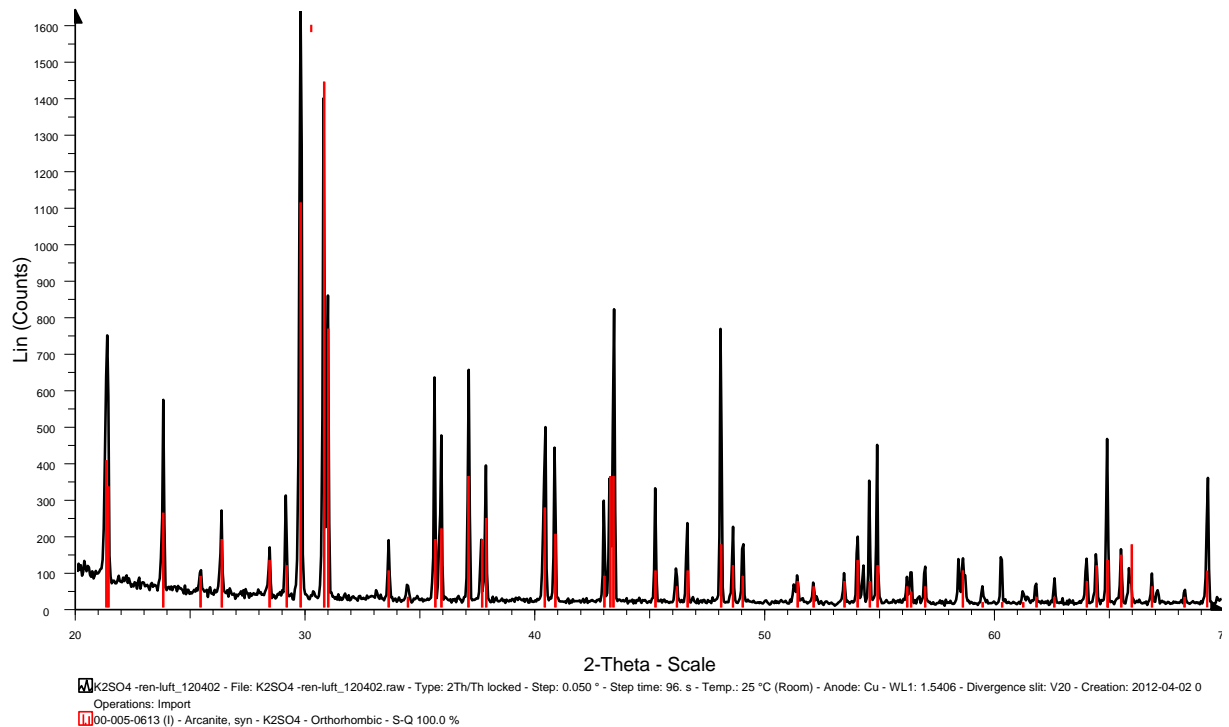
**FIGUR 8. ILLIT - REN - LUFT**



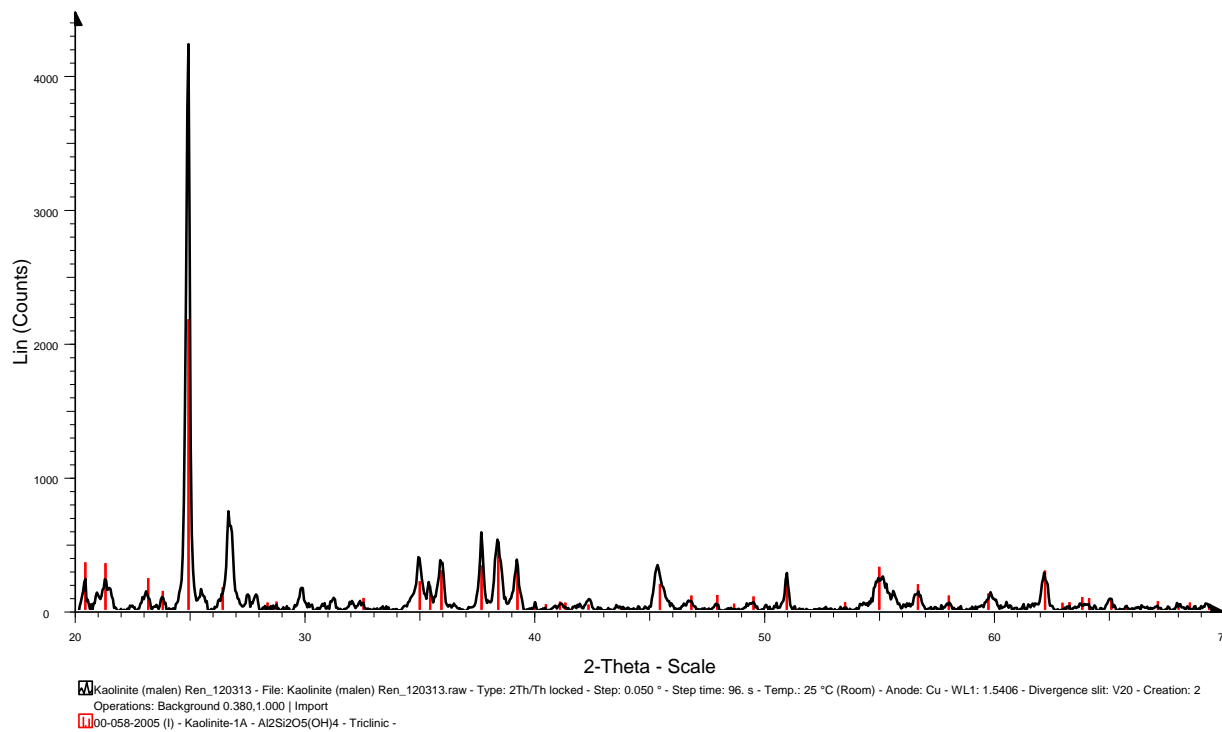
**FIGUR 9. ILLIT - REN - H2**



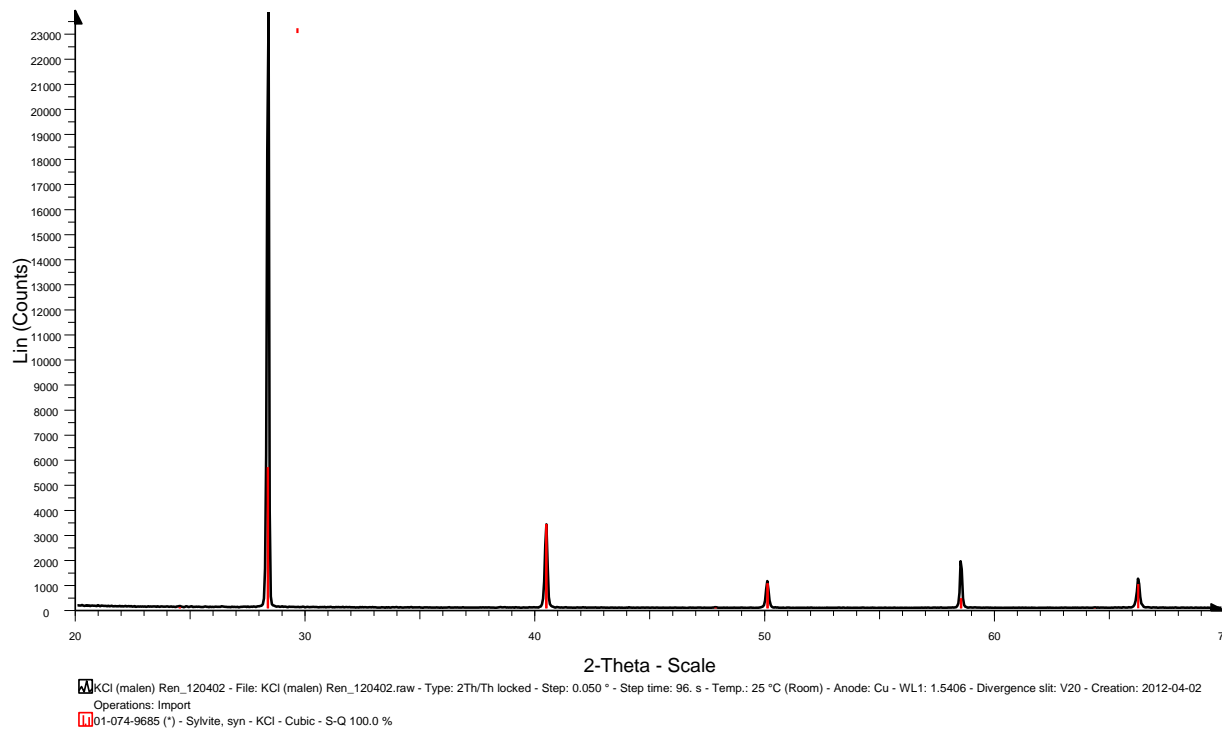
**FIGUR 10. K<sub>2</sub>CO<sub>3</sub>-REN**



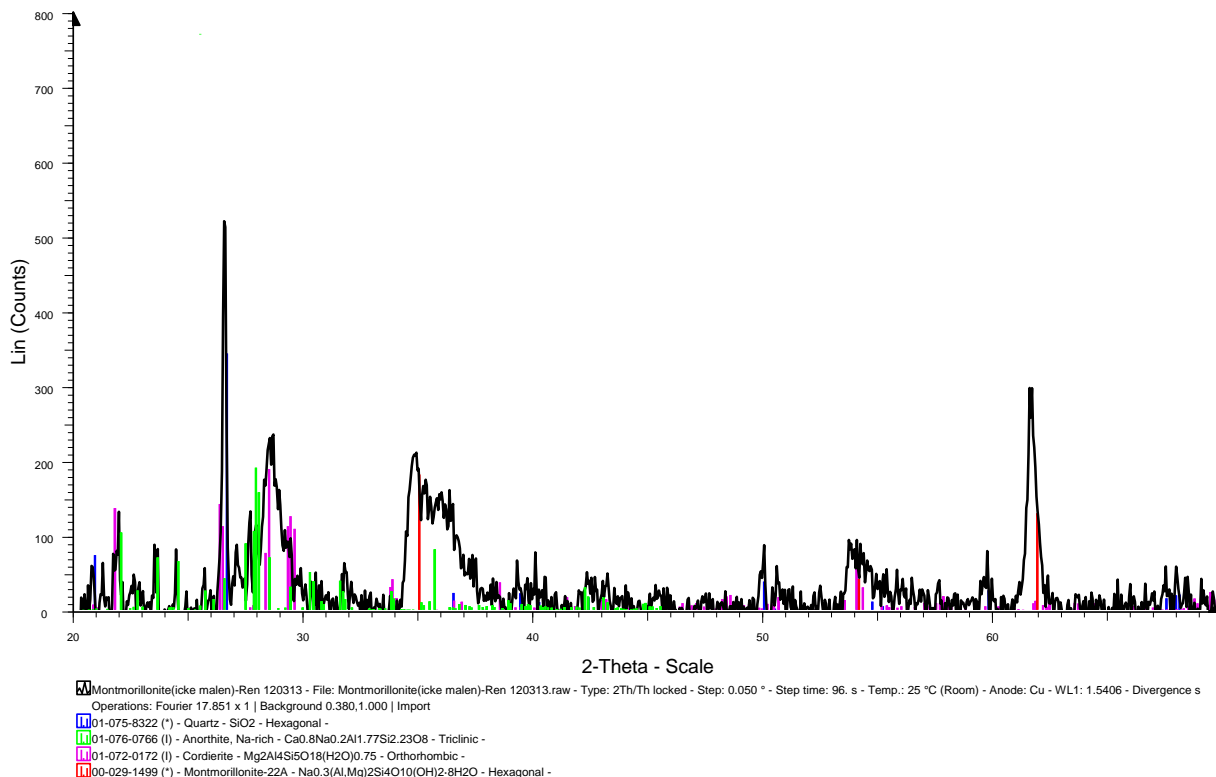
**FIGUR 11. K<sub>2</sub>SO<sub>4</sub> - REN**



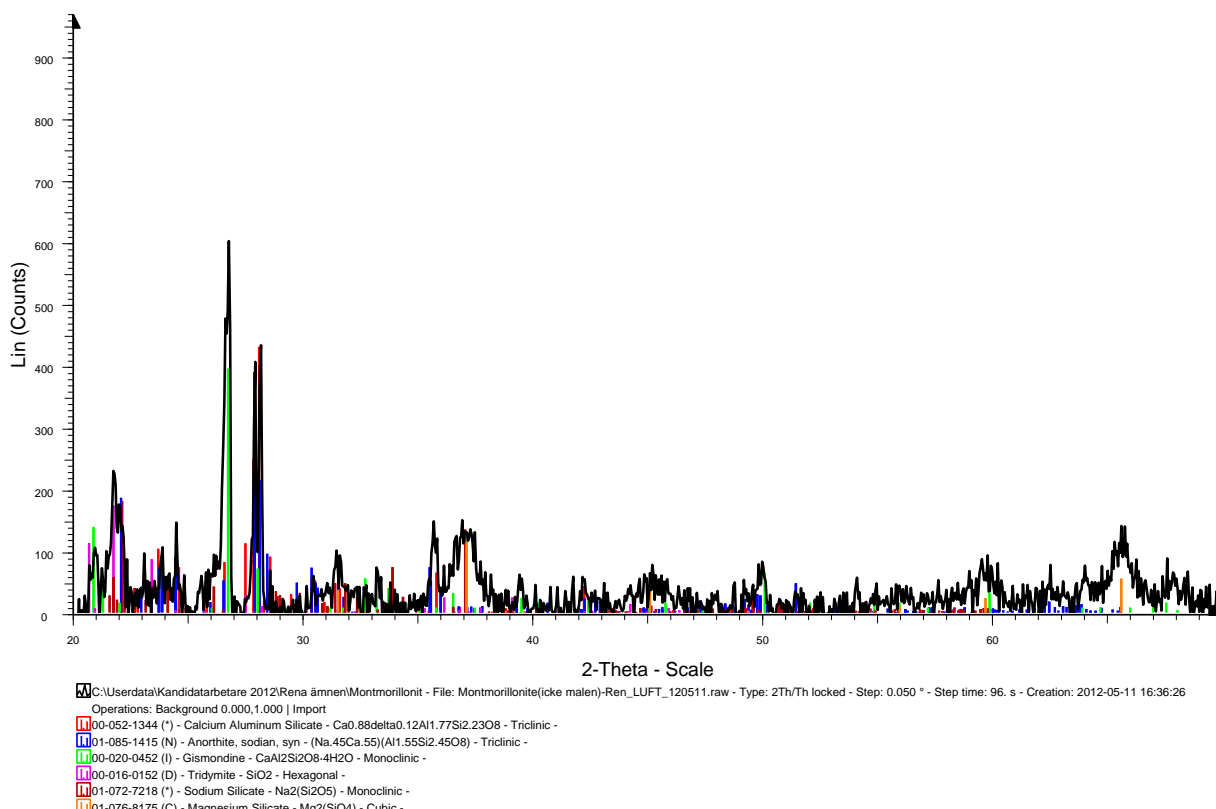
**FIGUR 12. KAOLINIT – REN**



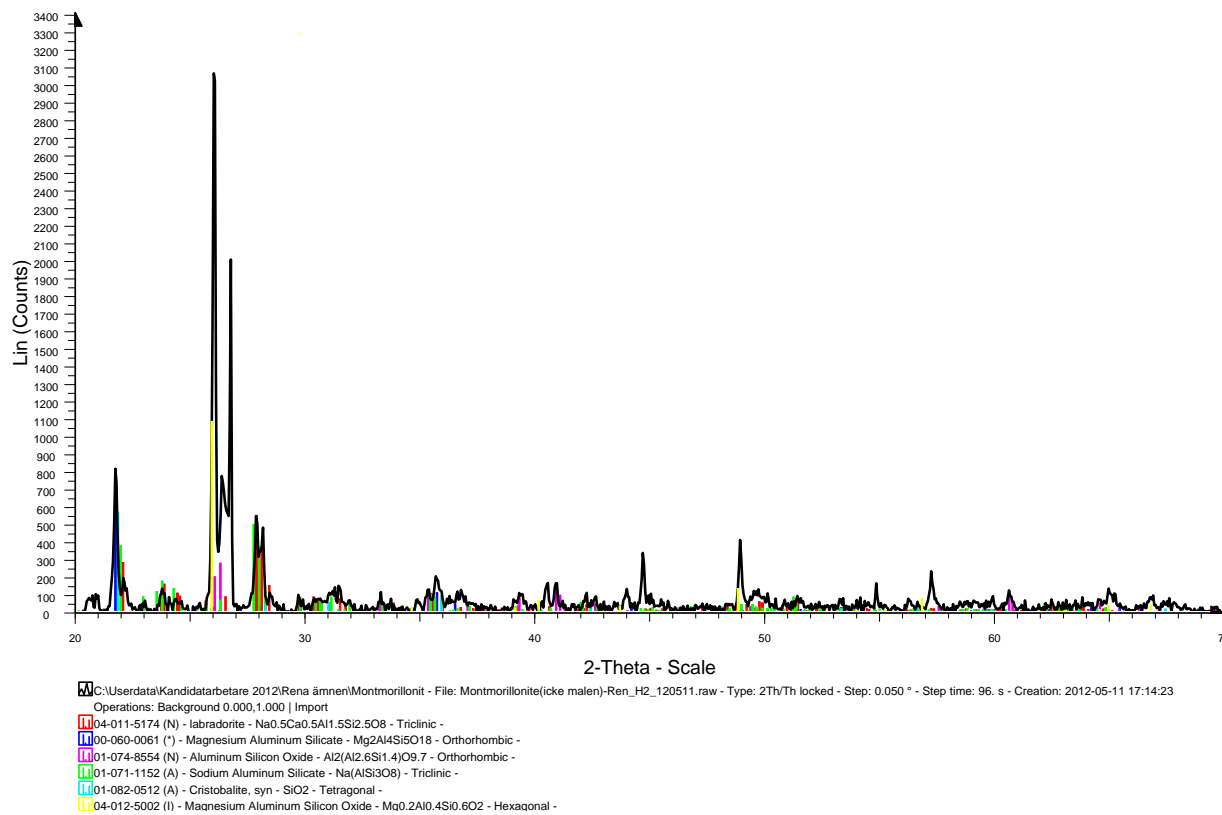
**FIGUR 13. KCl – REN**



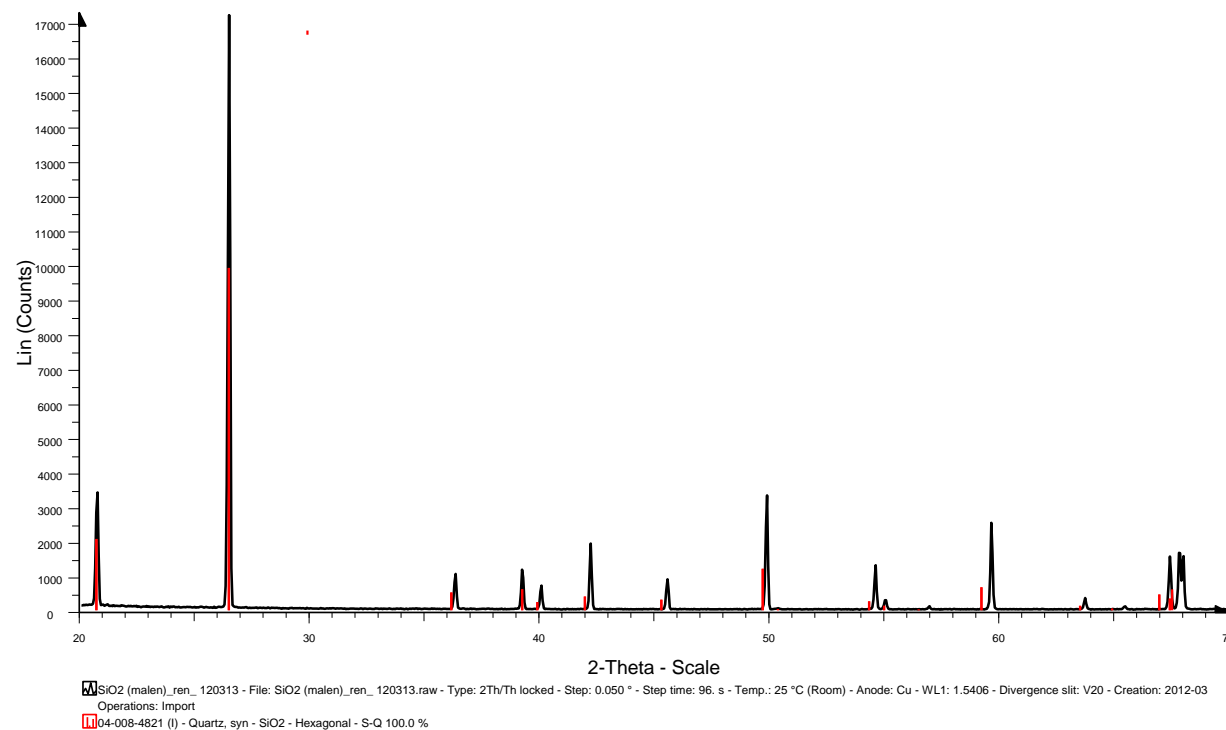
**FIGUR 14. MONTMORILLONIT-REN**



**FIGUR 15. MONTMORILLONIT - REN - LUFT**

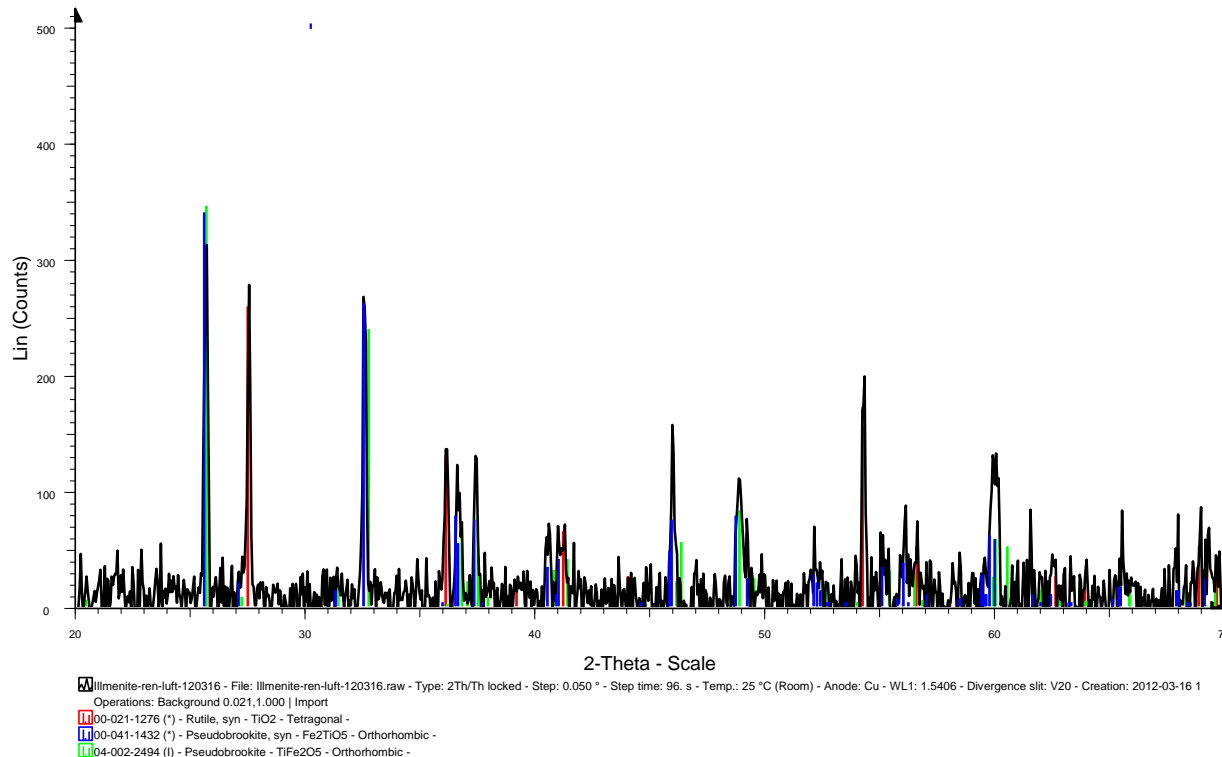


**FIGUR 16. MONTMORILLONIT - REN - H2**

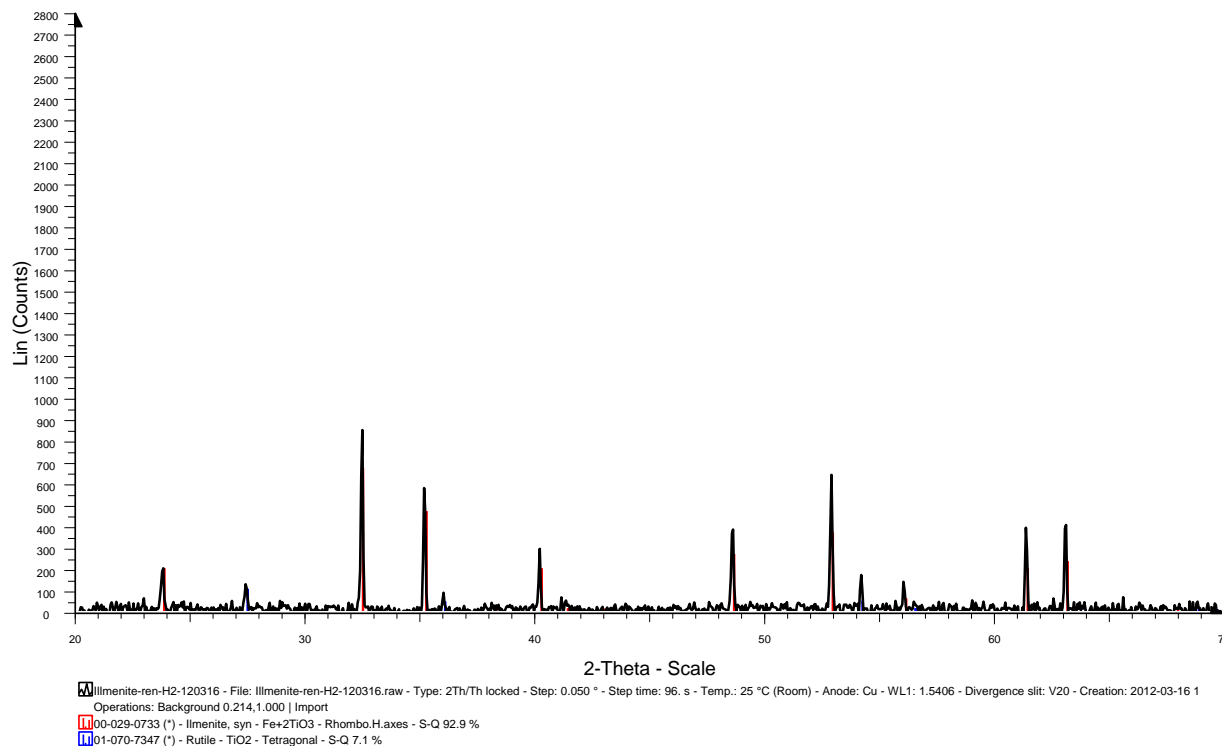


**FIGUR 17. SiO<sub>2</sub> - REN**

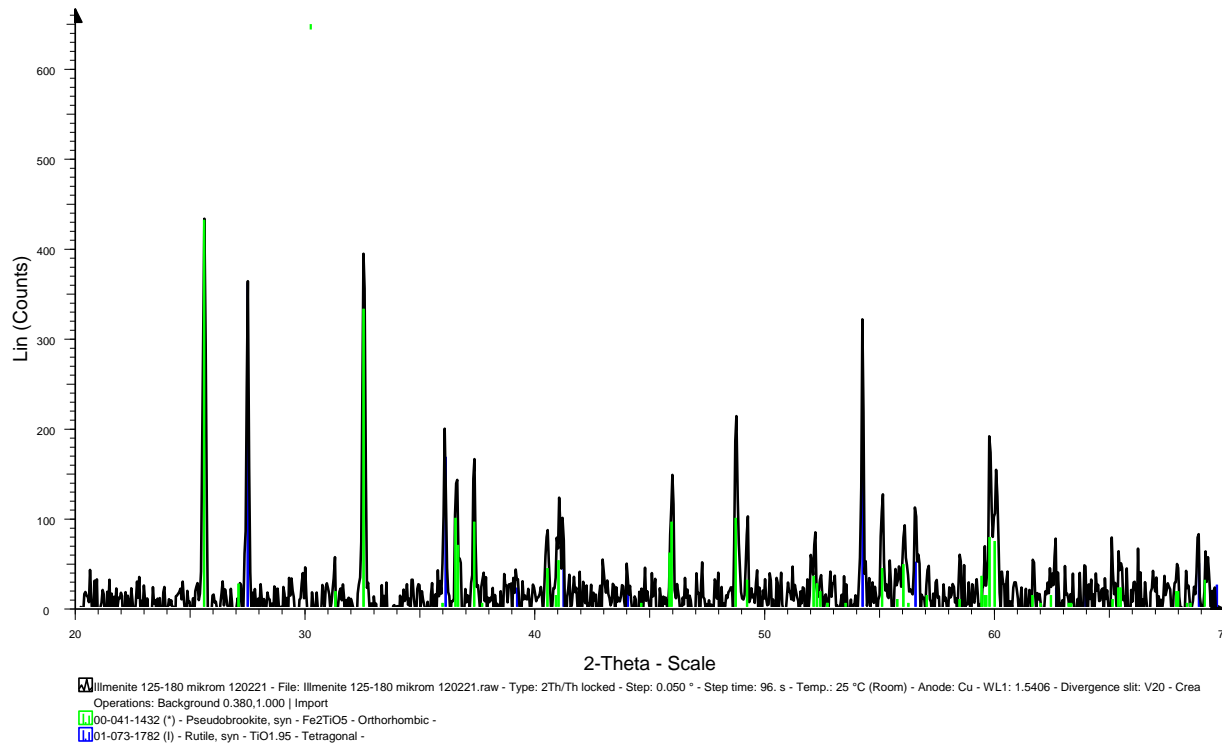
## Diffraktogram för ilmenit dels ren och dels blandningar



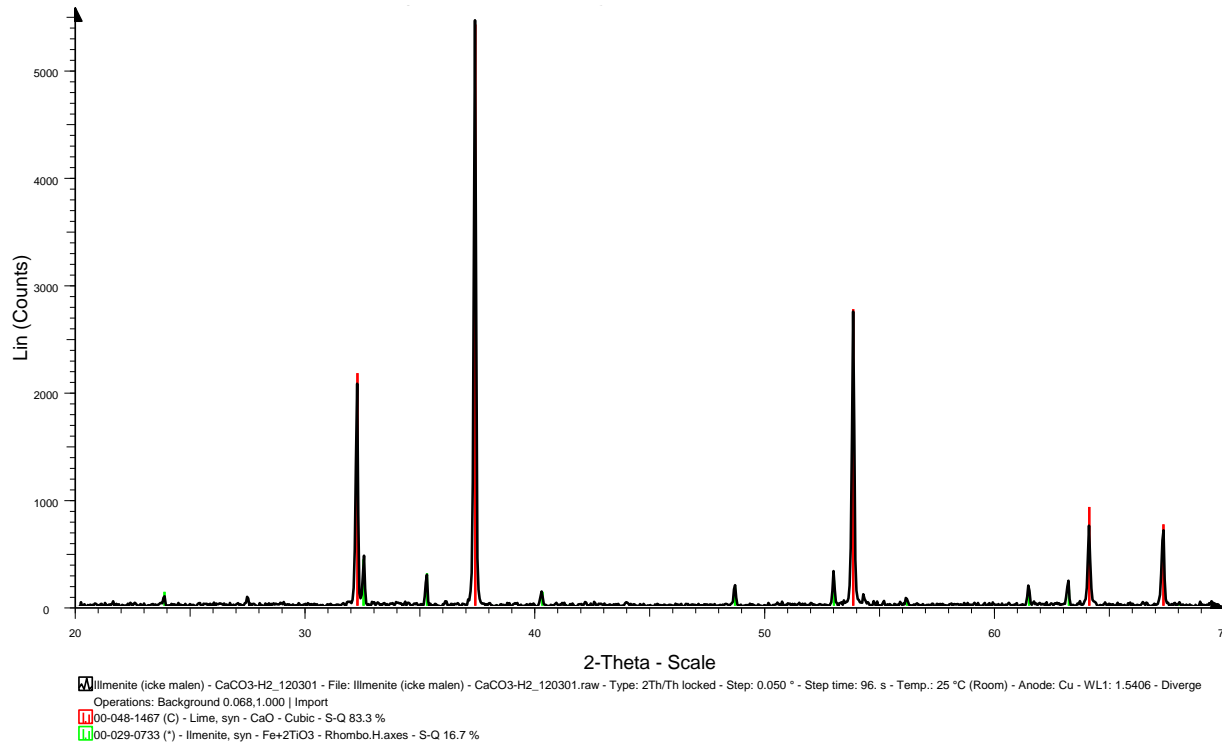
**FIGUR 18. ILMENIT - REN – LUFT**



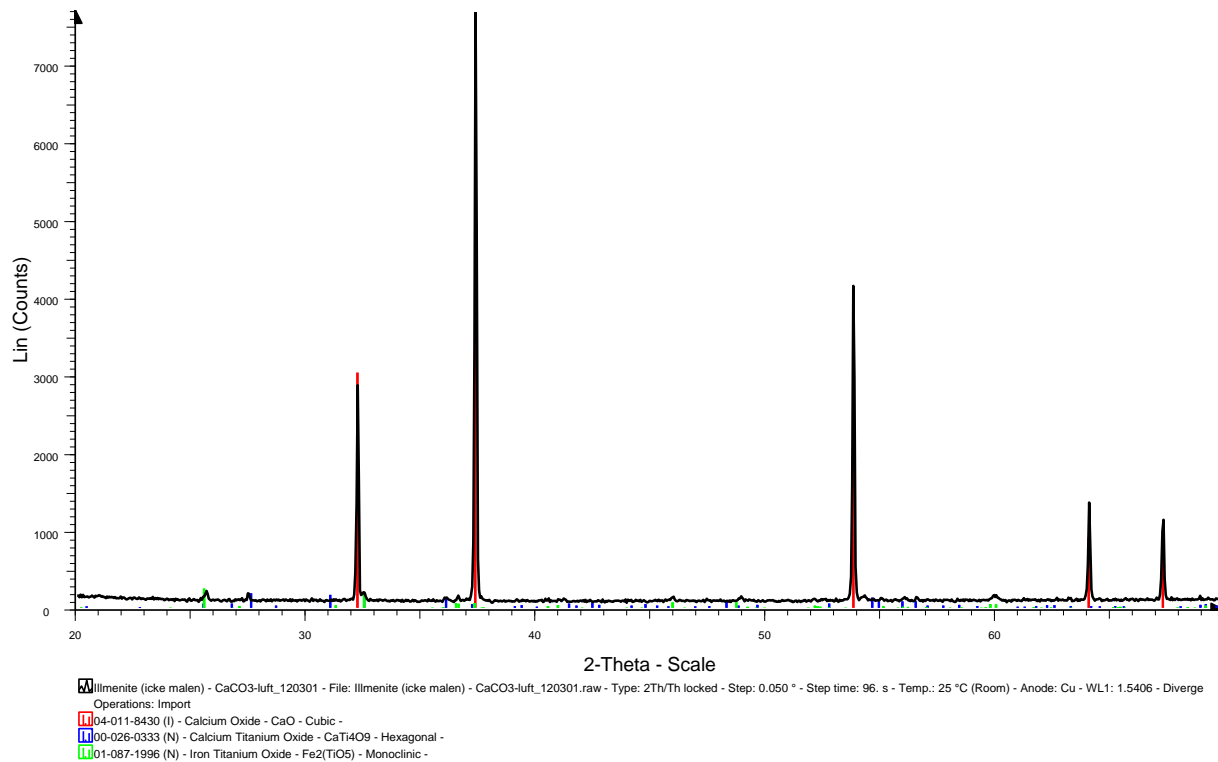
**FIGUR 19. ILMENIT - REN - H2**



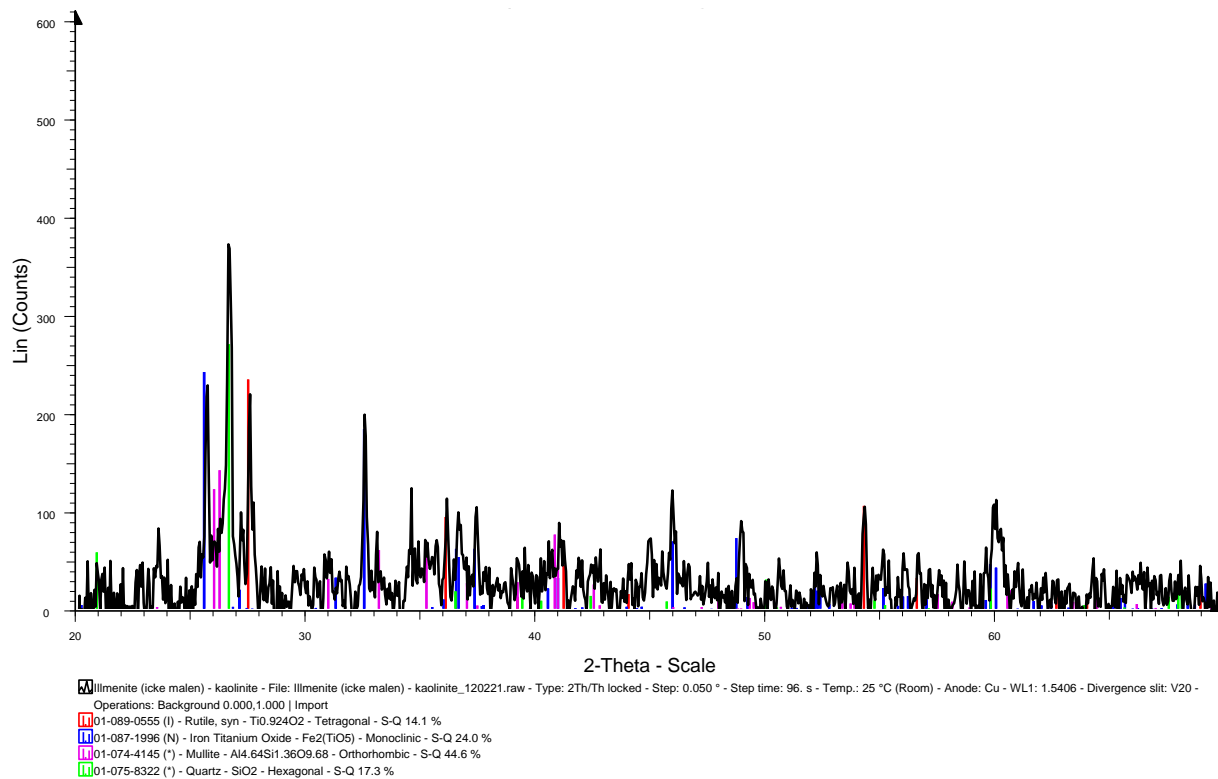
**FIGUR 20. ILMENIT – REN**



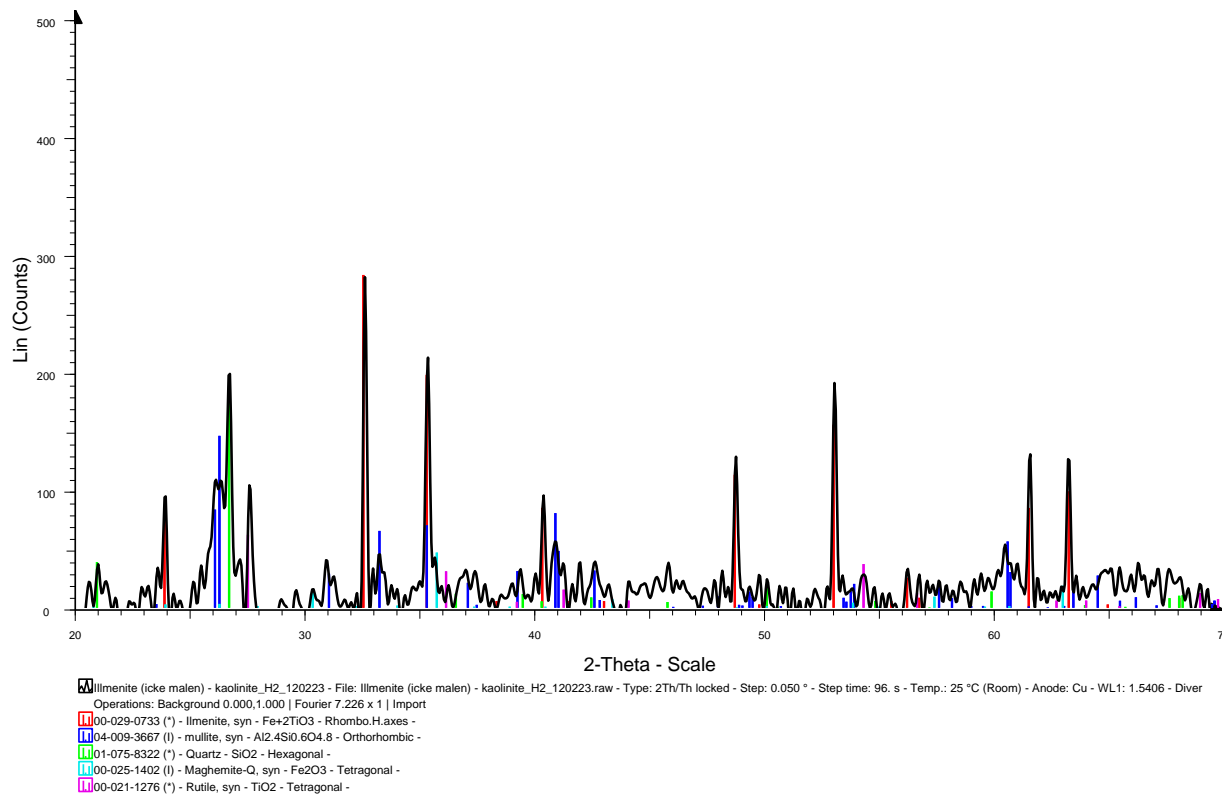
**FIGUR 21. ILMENIT - CACO<sub>3</sub> - H<sub>2</sub>**



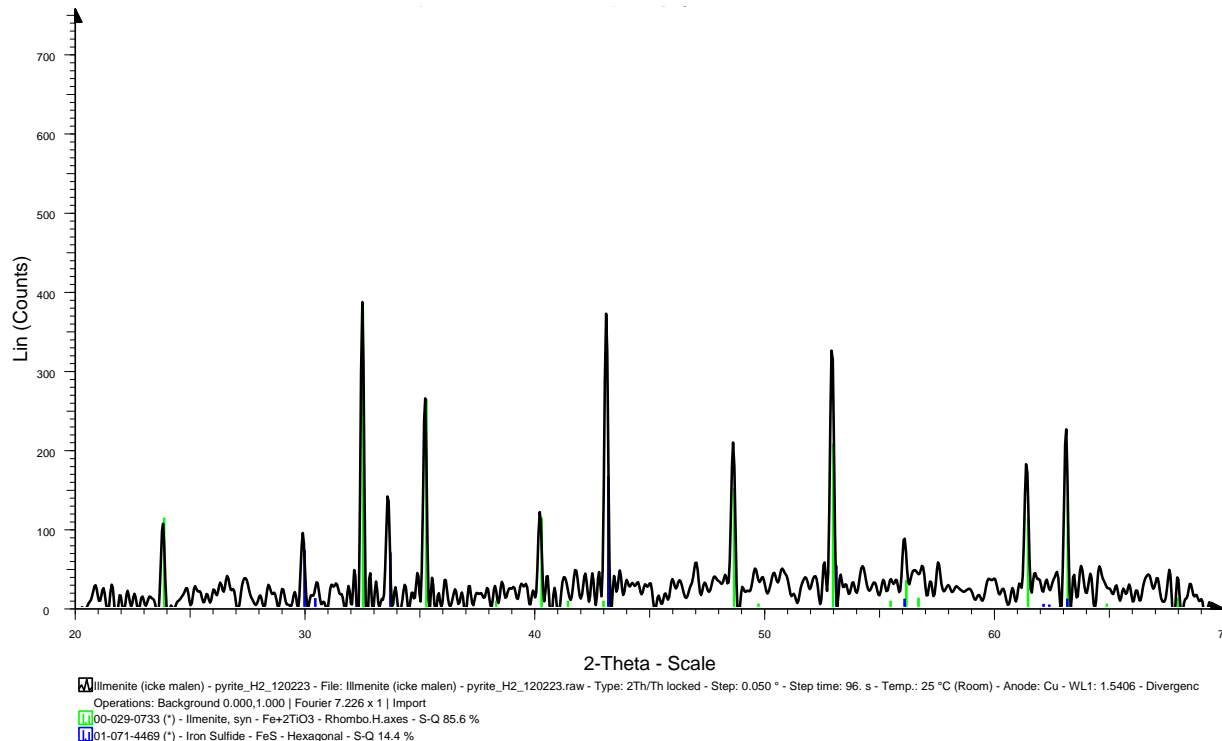
**FIGUR 22. ILMENIT - CACO<sub>3</sub> – LUFT**



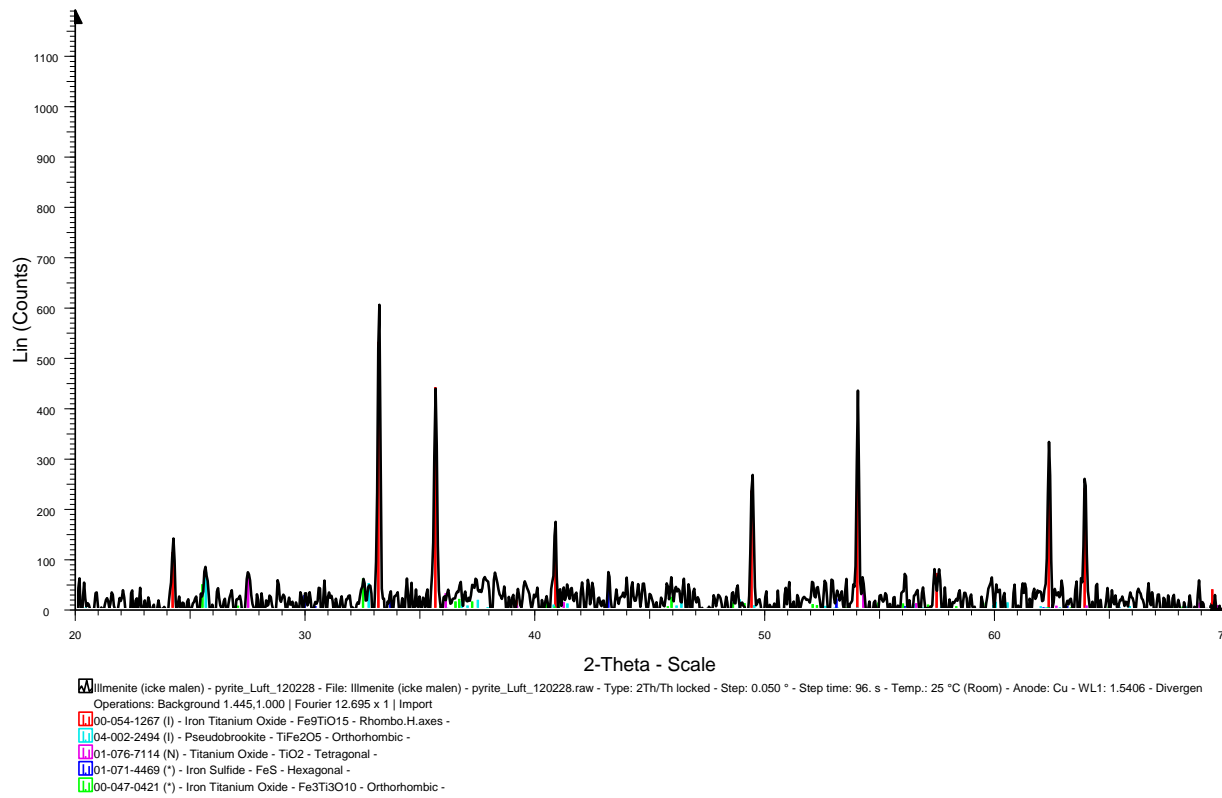
**FIGUR 23. ILMENIT- KAOINIT – LUFT**



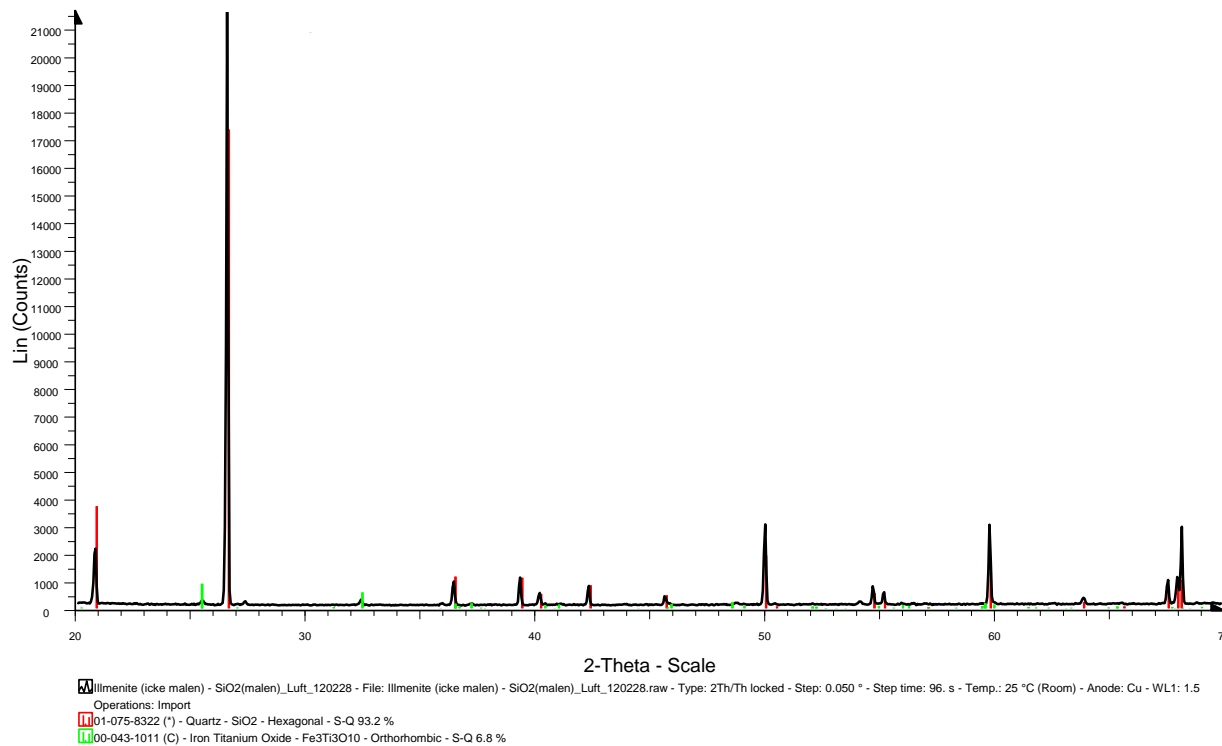
**FIGUR 24. ILMENIT - KAOINIT - H2**



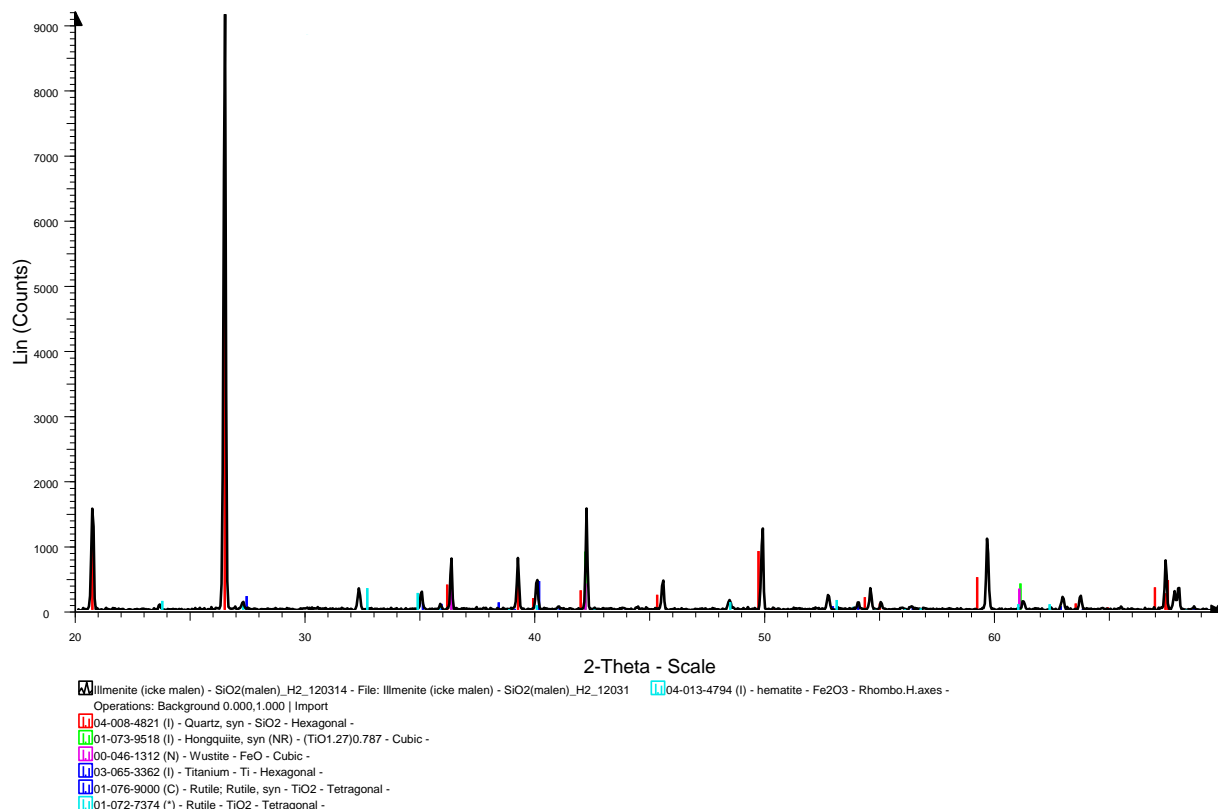
**FIGUR 25. ILMENIT - PYRIT - H2**



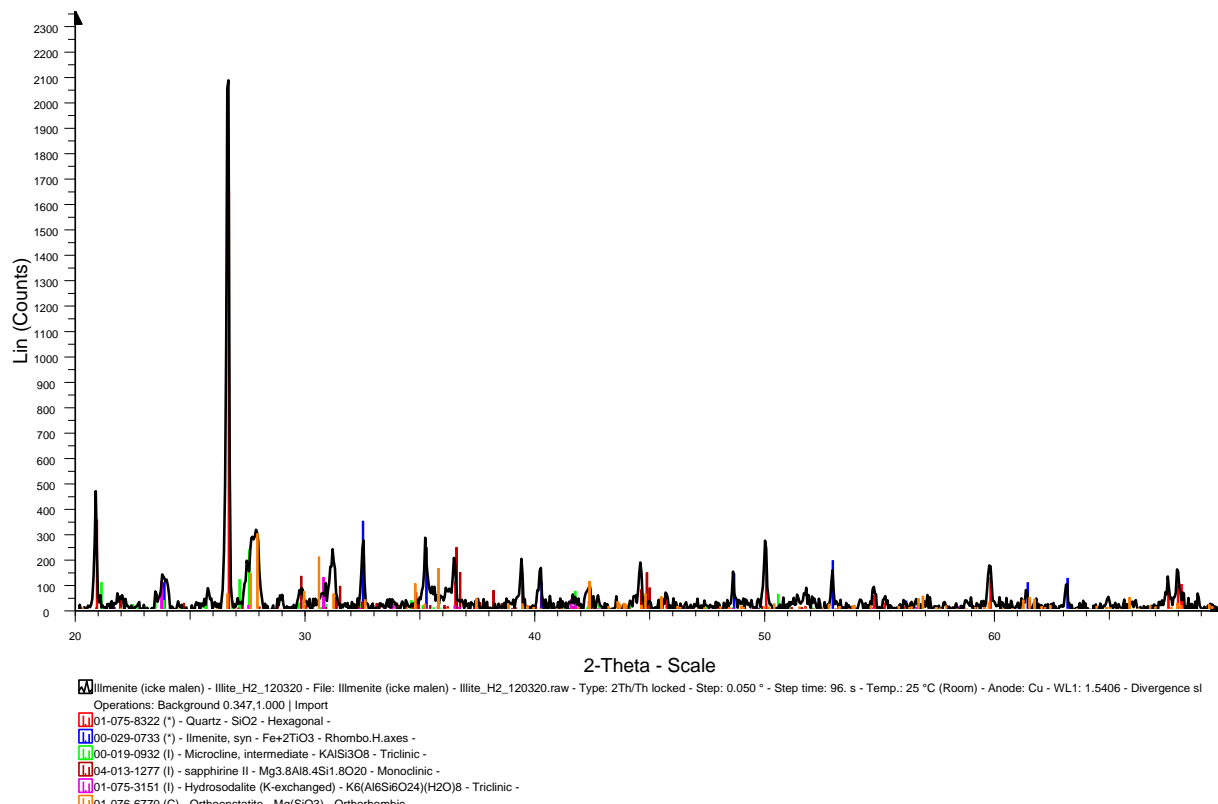
**FIGUR 26. ILMENIT – PYRIT – LUFT**



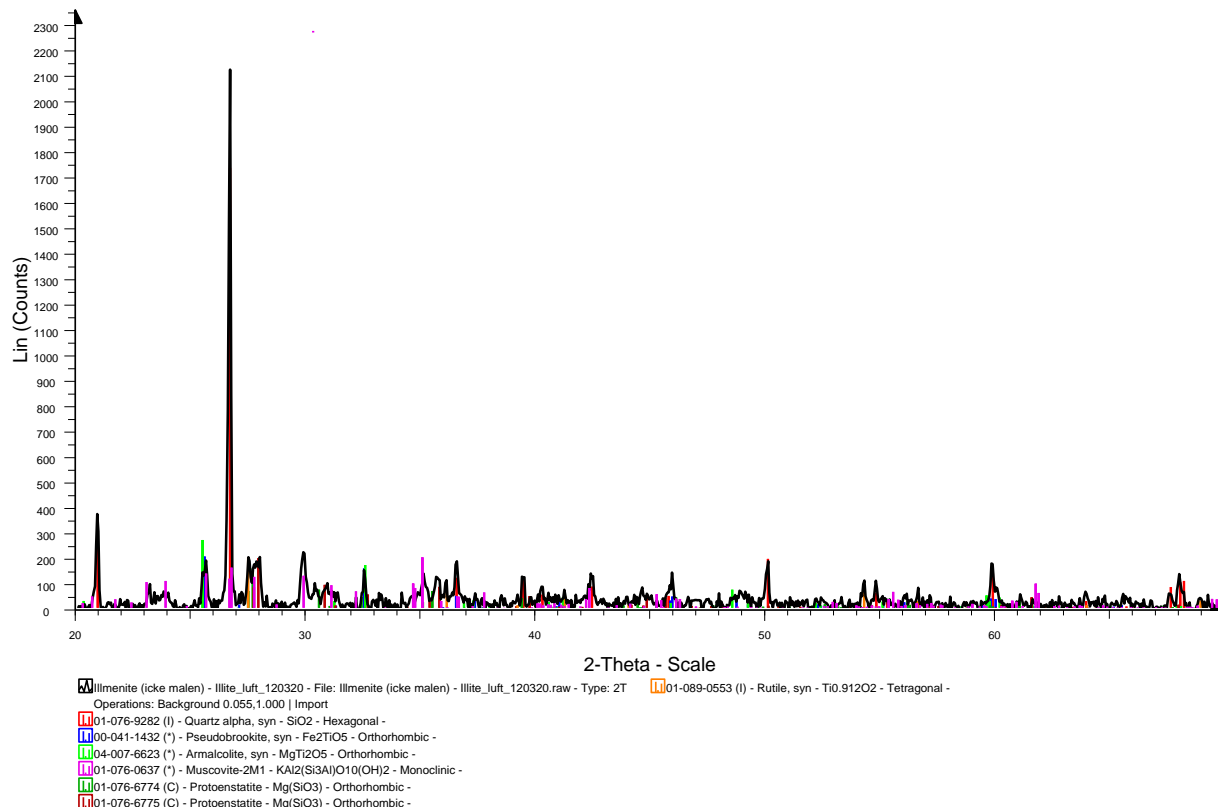
**FIGUR 27. ILMENIT - SiO<sub>2</sub> - LUFT**



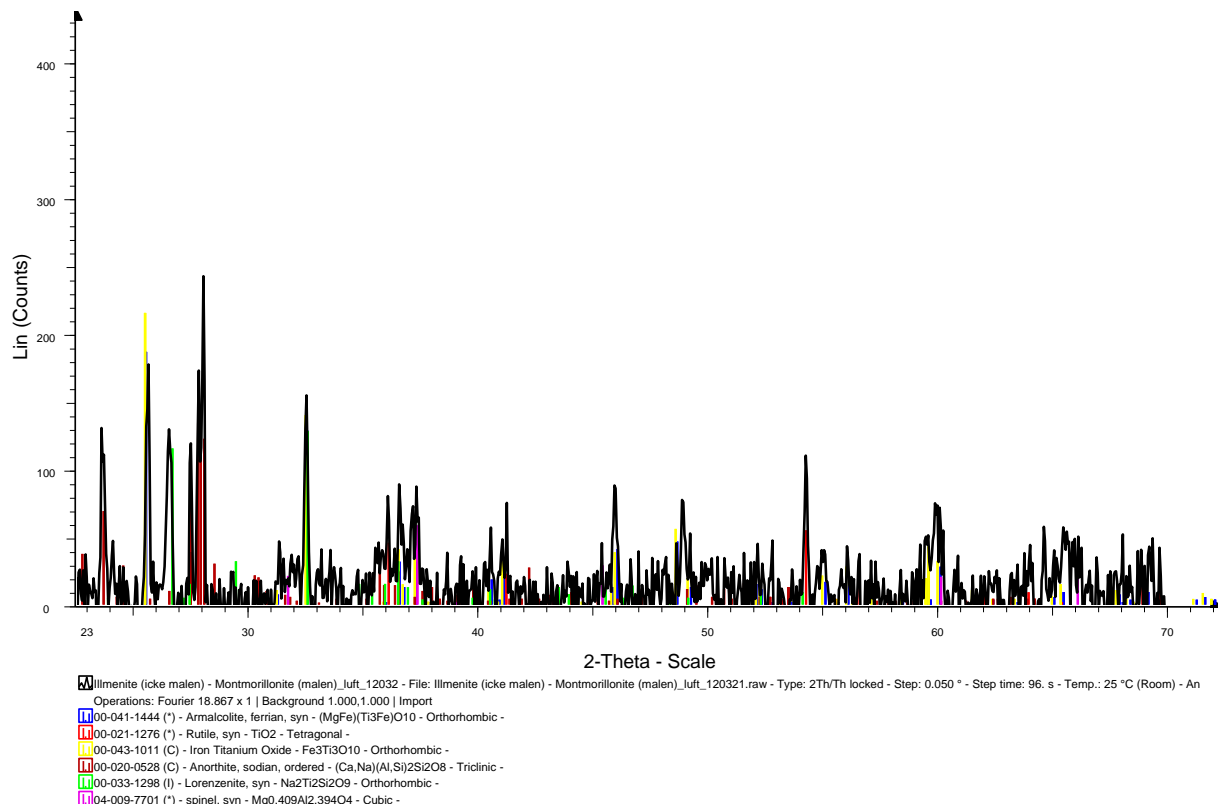
**FIGUR 28. ILMENIT - SiO<sub>2</sub> - H<sub>2</sub>**



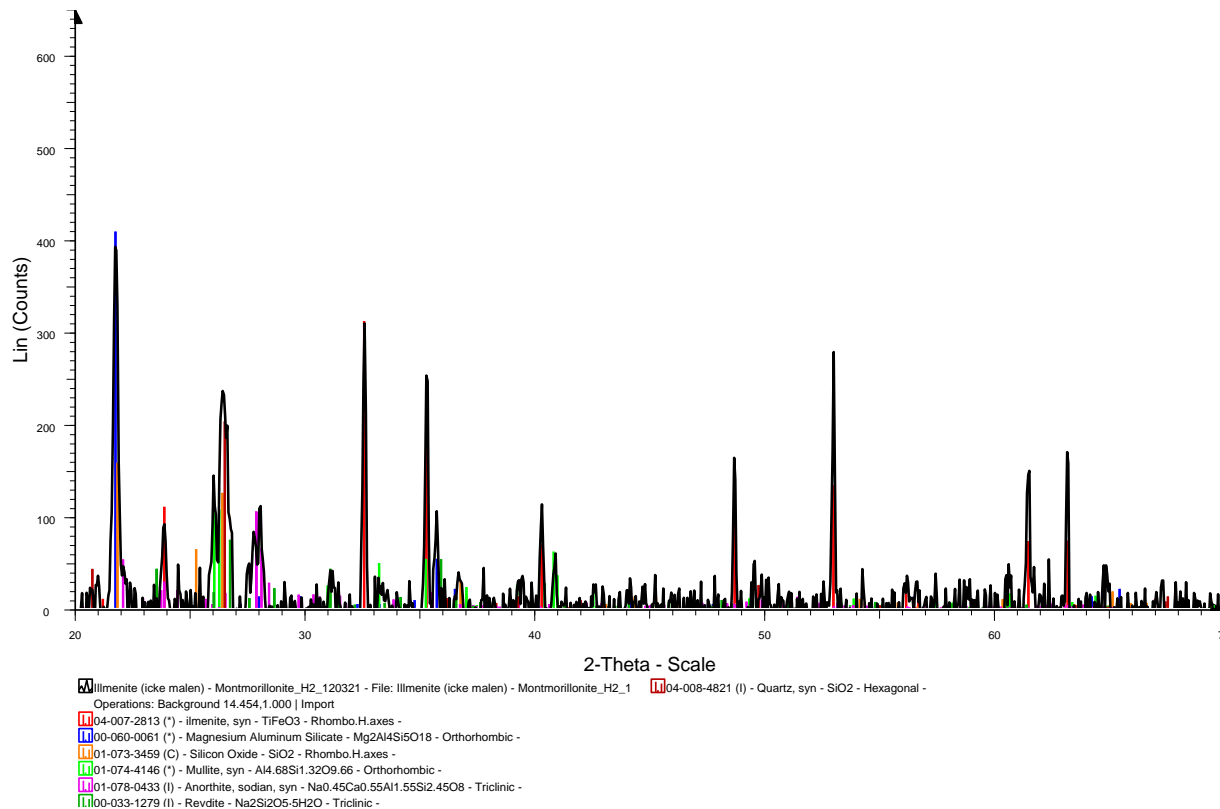
**FIGUR 29. ILMENIT - ILLIT - H<sub>2</sub>**



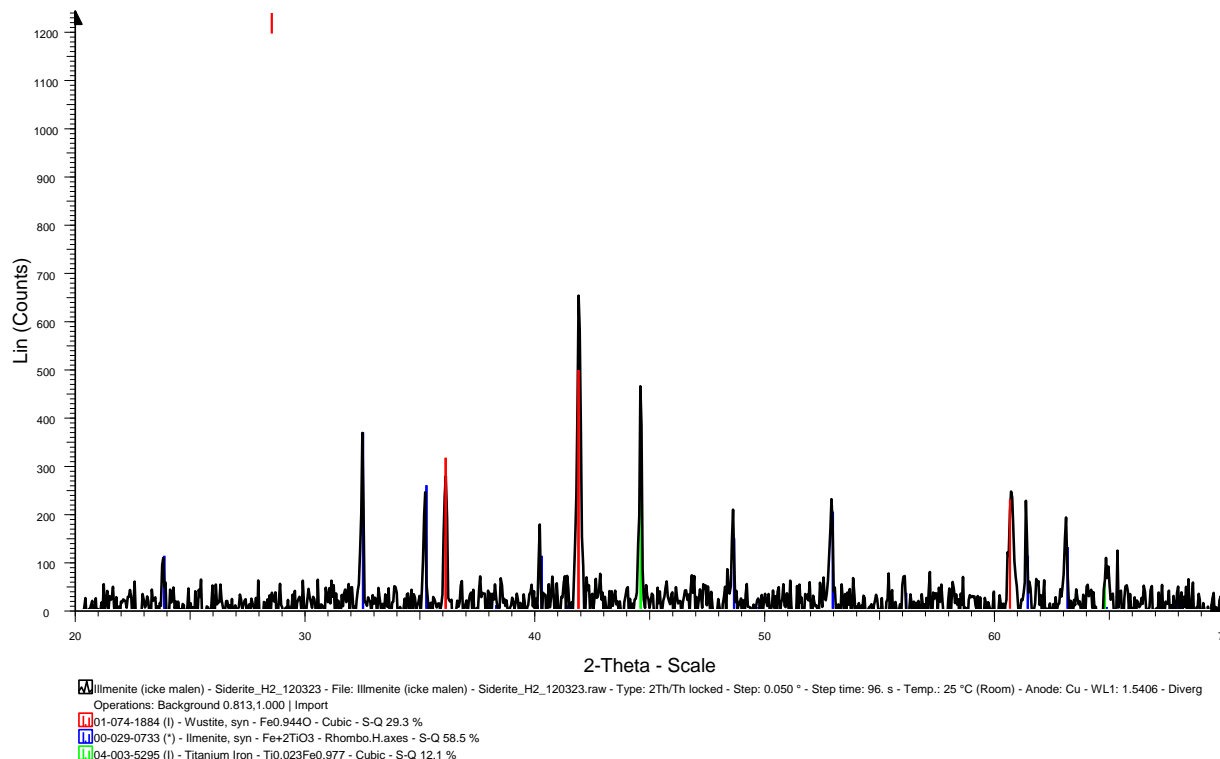
**FIGUR 30. ILMENIT - ILLIT - LUFT**



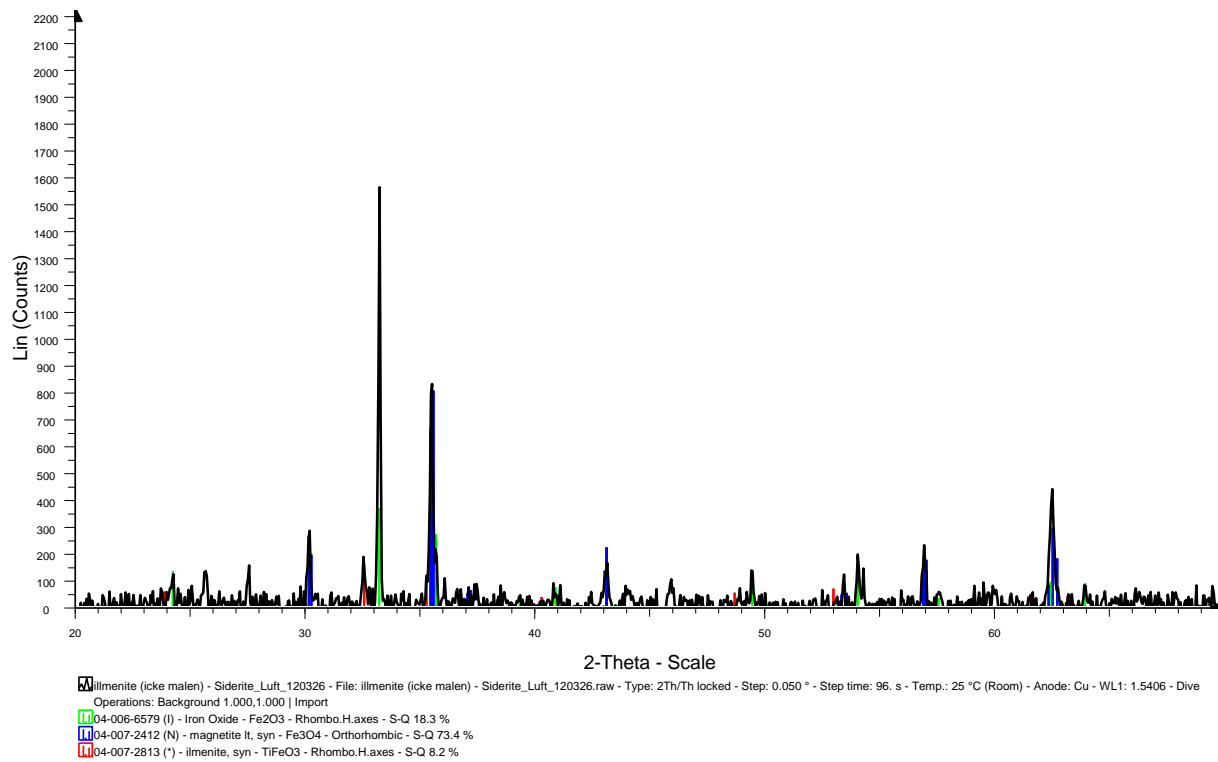
**FIGUR 31. ILMENIT - MONTMORILLONIT - LUFT**



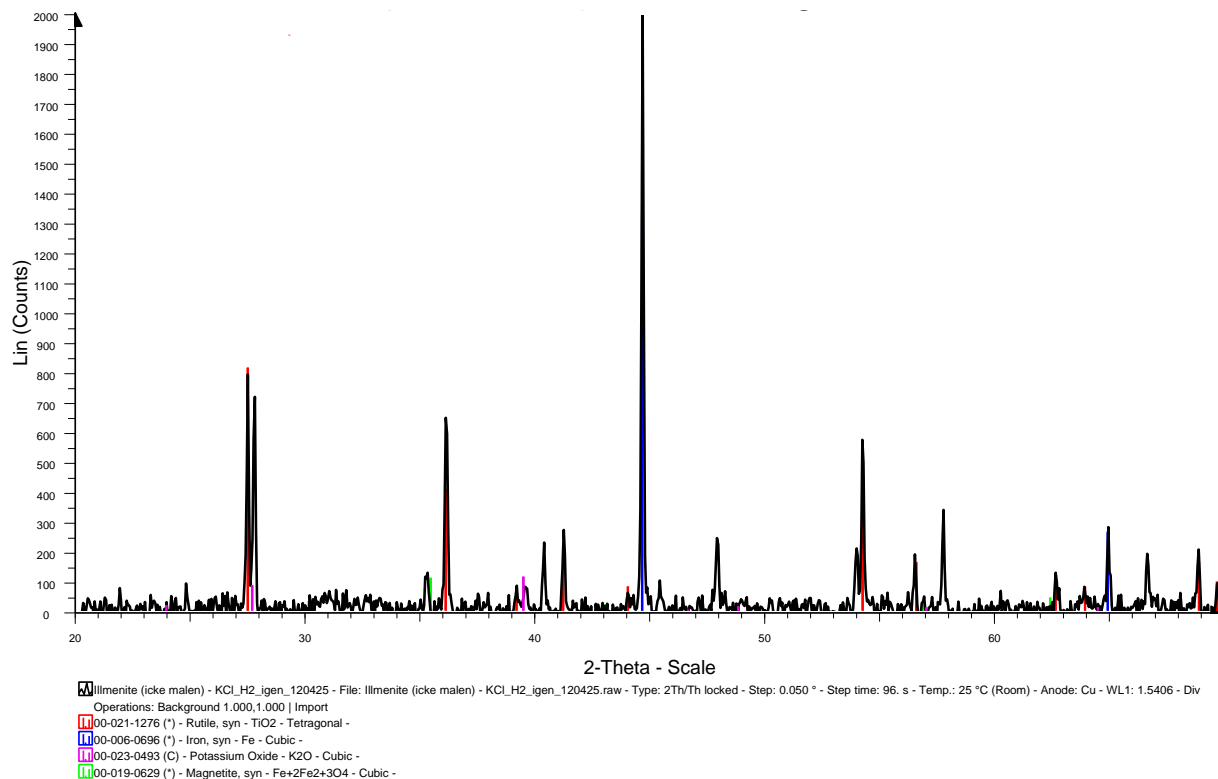
**FIGUR 32. ILMENIT - MONTMORILLONIT - H2**



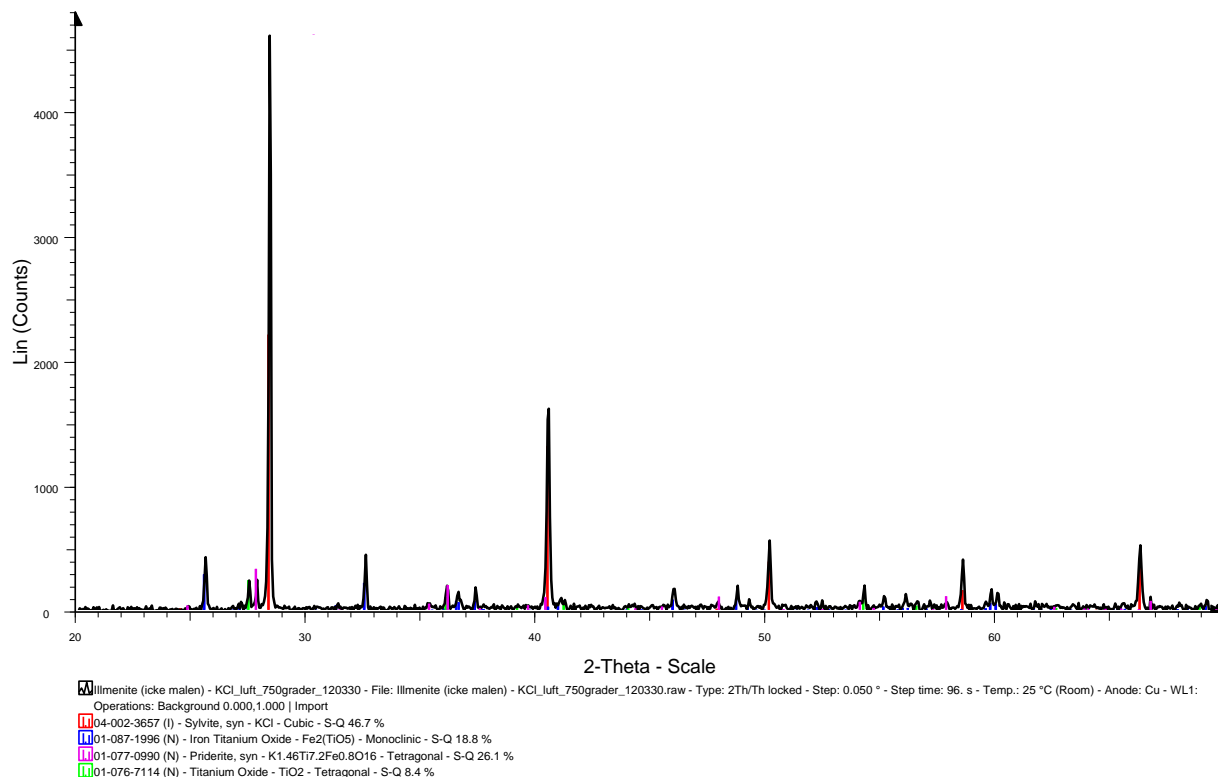
**FIGUR 33. ILMENIT - SIDERIT - H2**



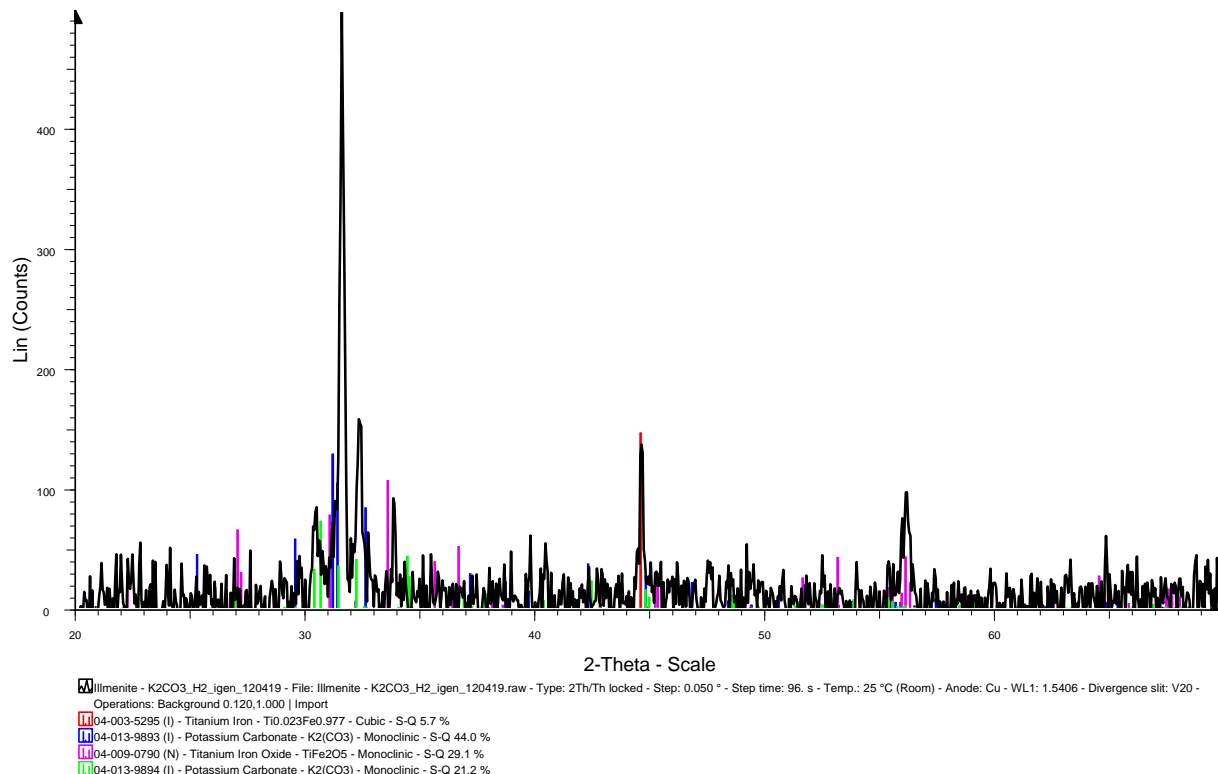
**FIGUR 34. ILMENIT - SIDERIT – LUFT**



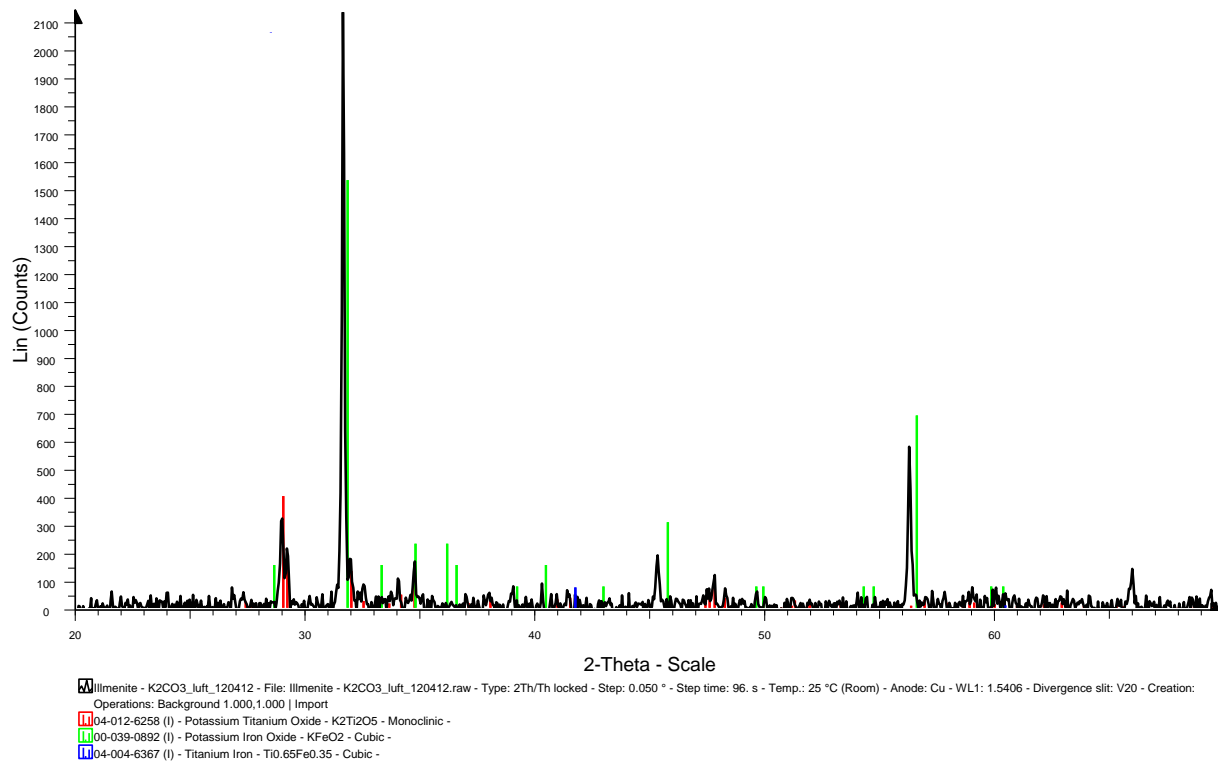
**FIGUR 35. ILMENIT - KCl - H2**



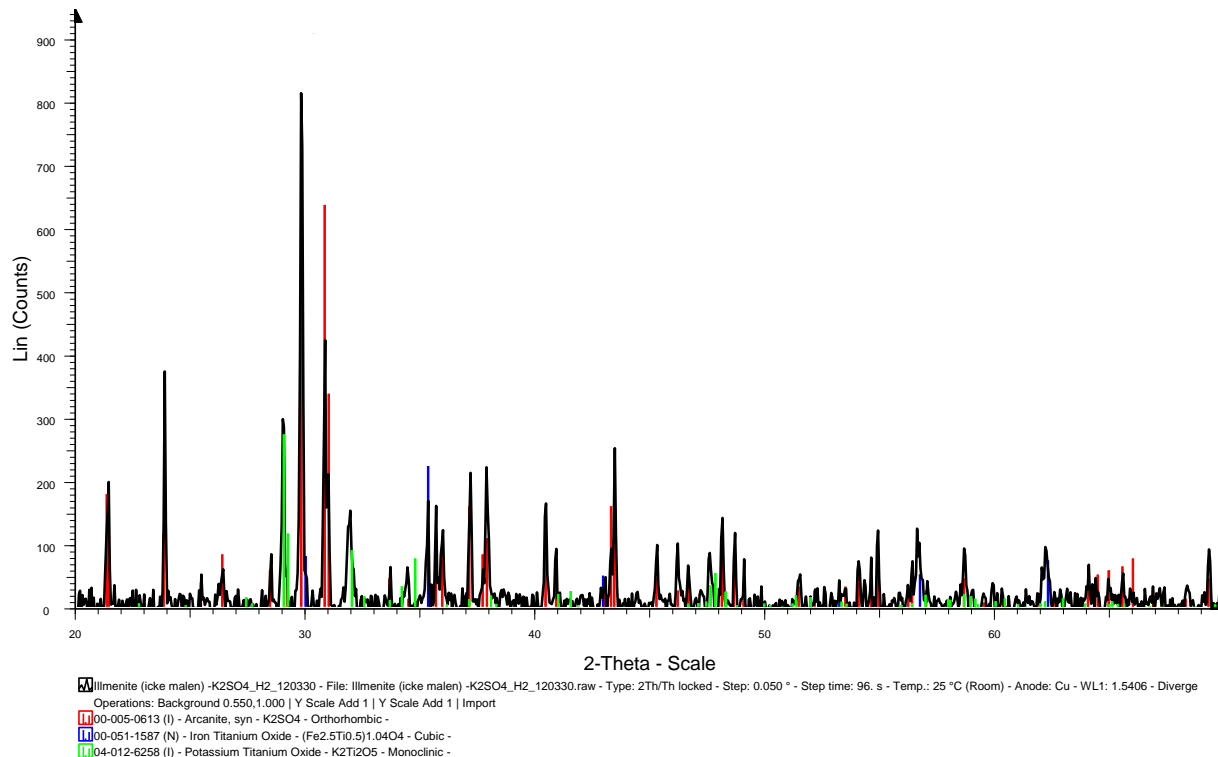
**FIGUR 36. ILMENIT - KCl - LUFT**



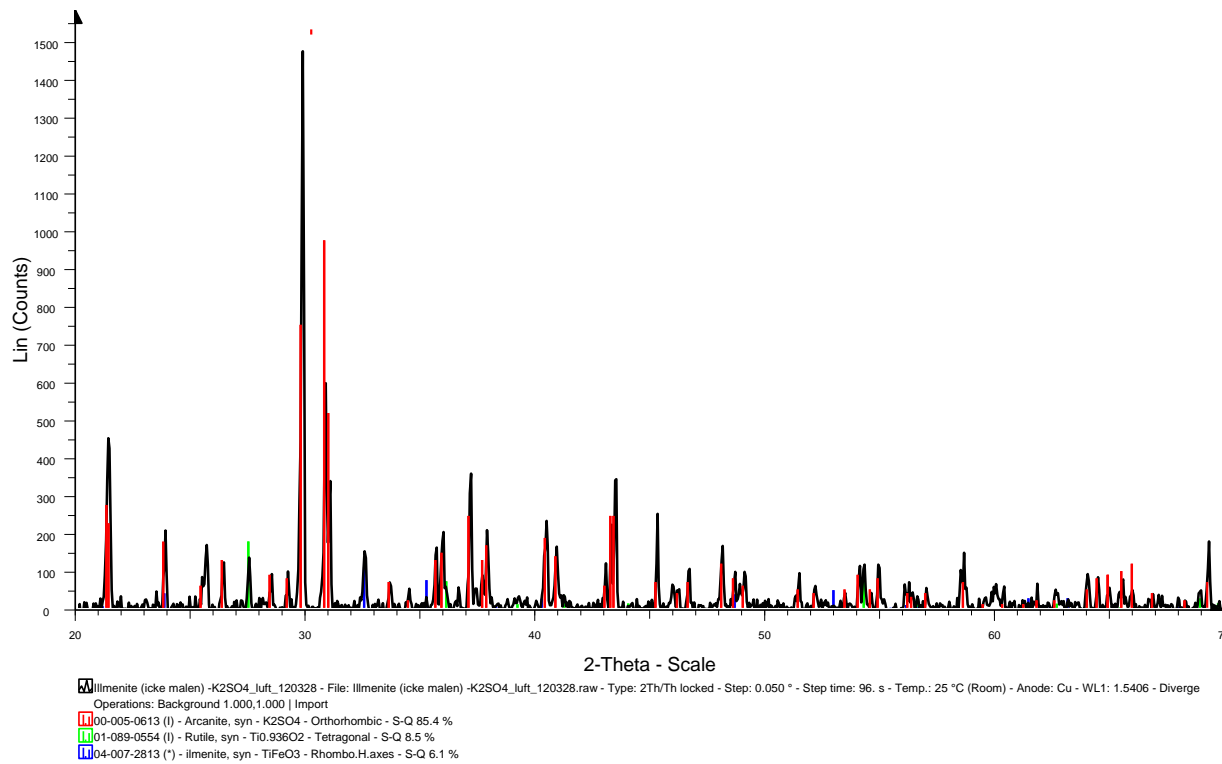
**FIGUR 37. ILMENIT - K<sub>2</sub>CO<sub>3</sub> - H<sub>2</sub>**



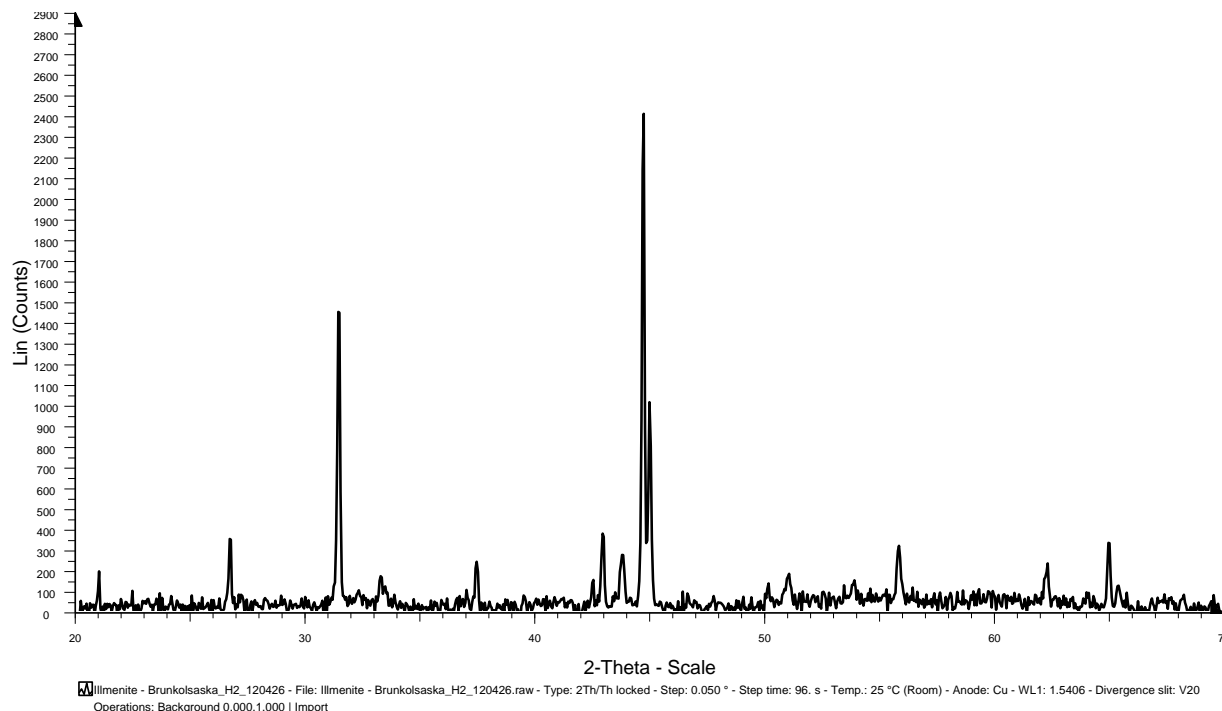
**FIGUR 38. ILMENIT - K<sub>2</sub>CO<sub>3</sub> - LUFT**



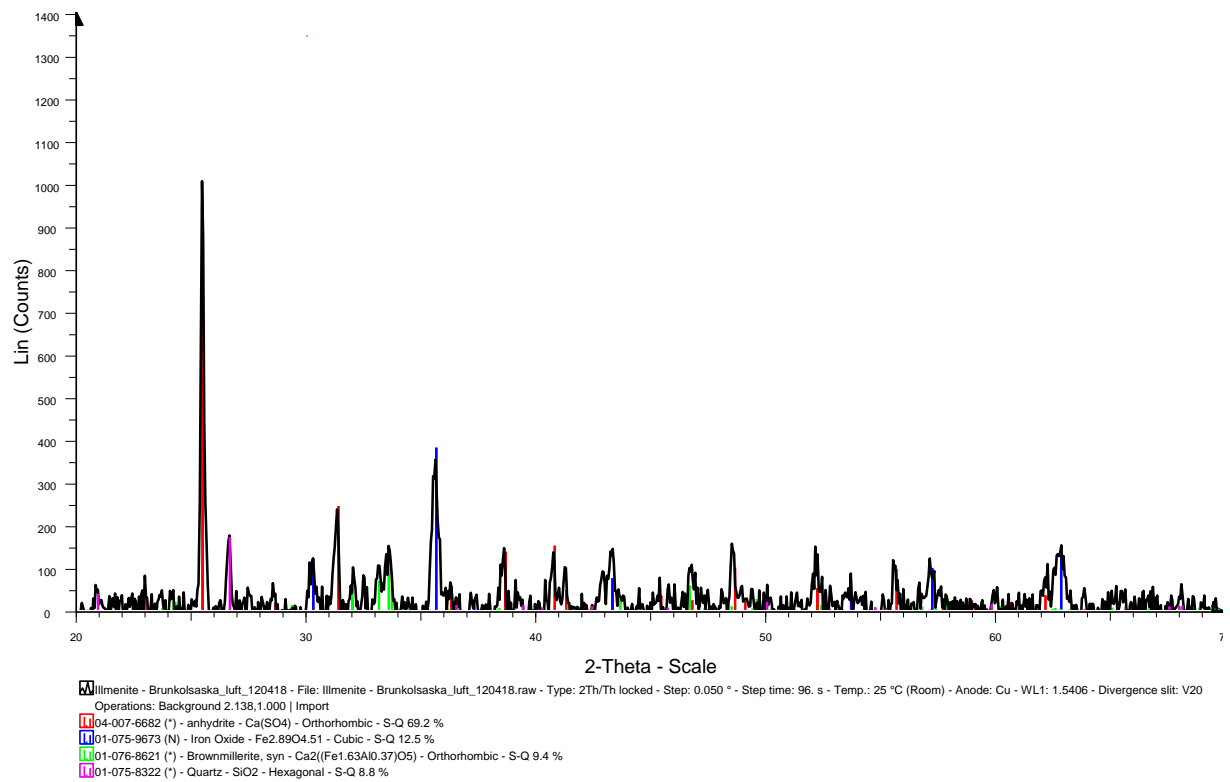
**FIGUR 39. ILMENIT - K<sub>2</sub>SO<sub>4</sub> - H<sub>2</sub>**



**FIGUR 40. ILMENIT - K2SO4 - LUFT**

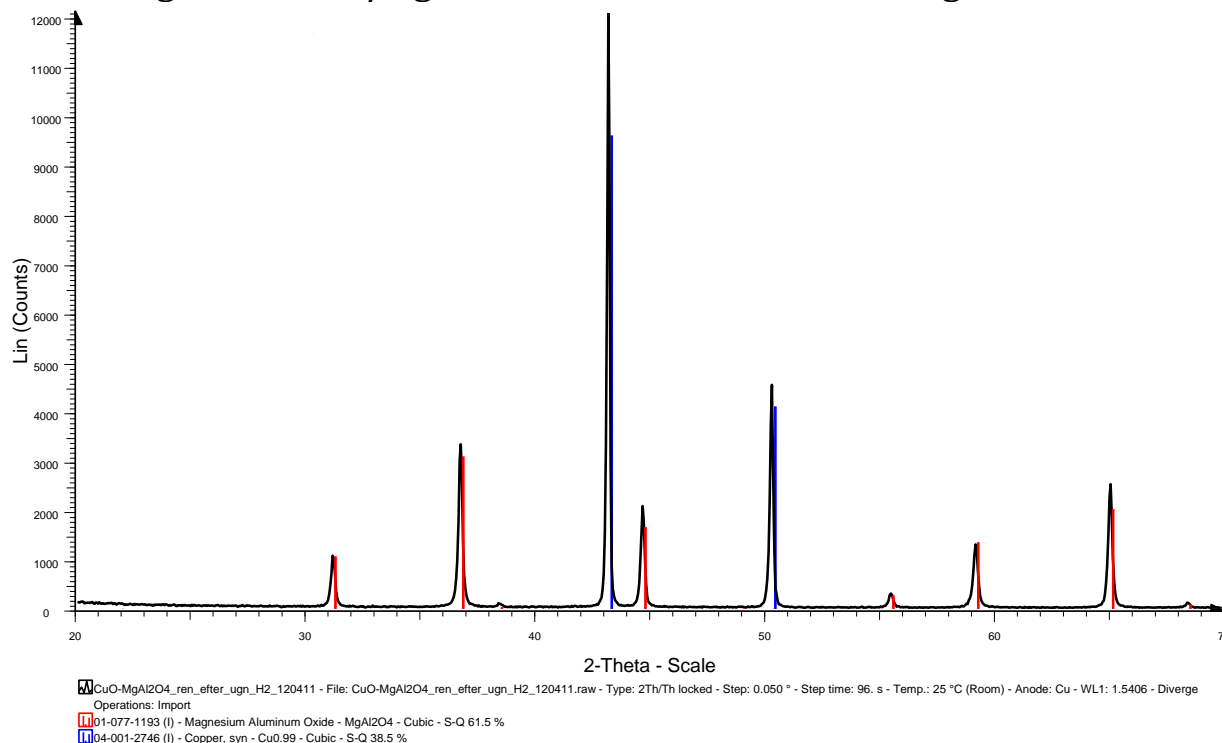


**FIGUR 41. ILMENIT - BRUNKOLSASKA - H2**

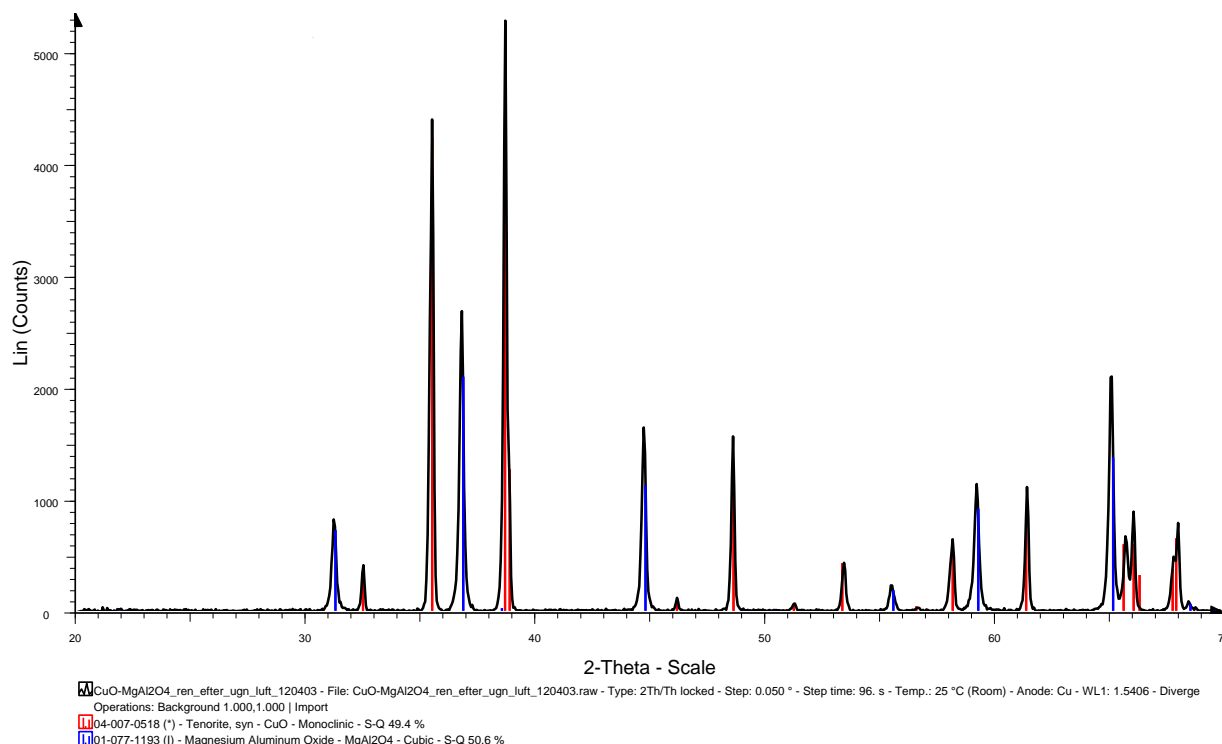


**FIGUR 42. ILMENIT - BRUNKOLSASKA – LUFT**

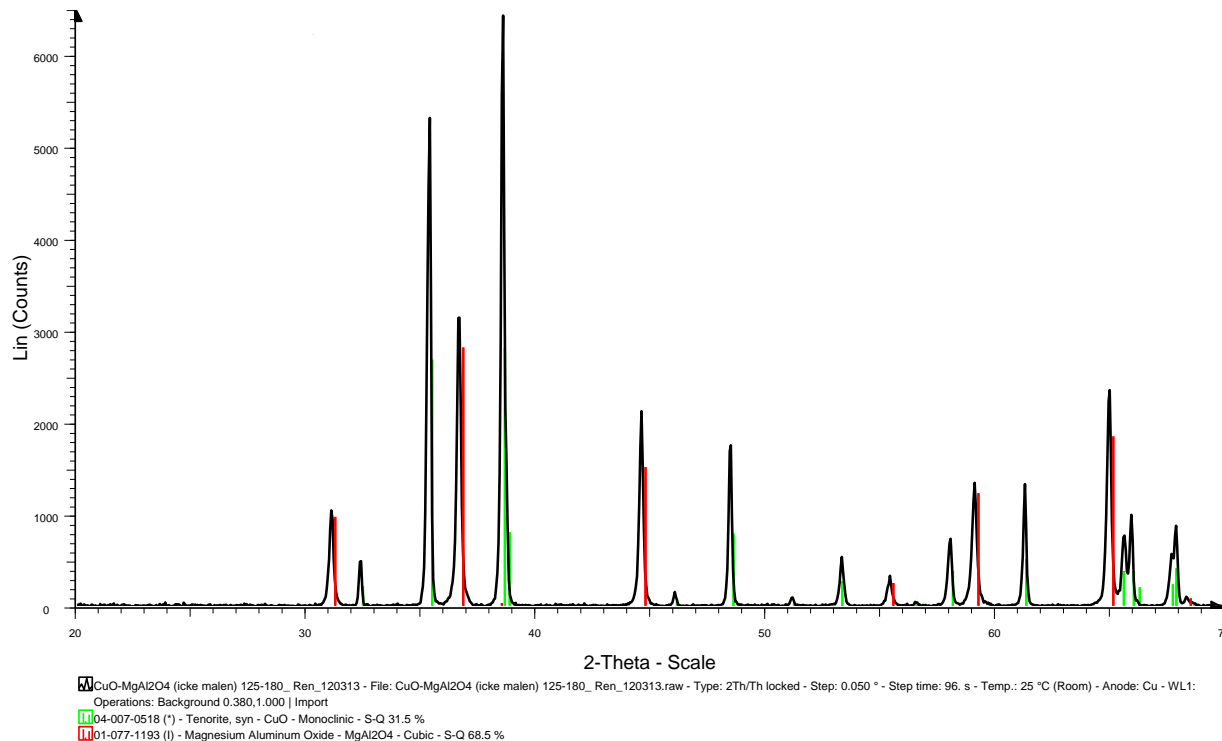
## Diffraktogram för CuO/MgAl<sub>2</sub>O<sub>4</sub> dels ren och dels blandningar



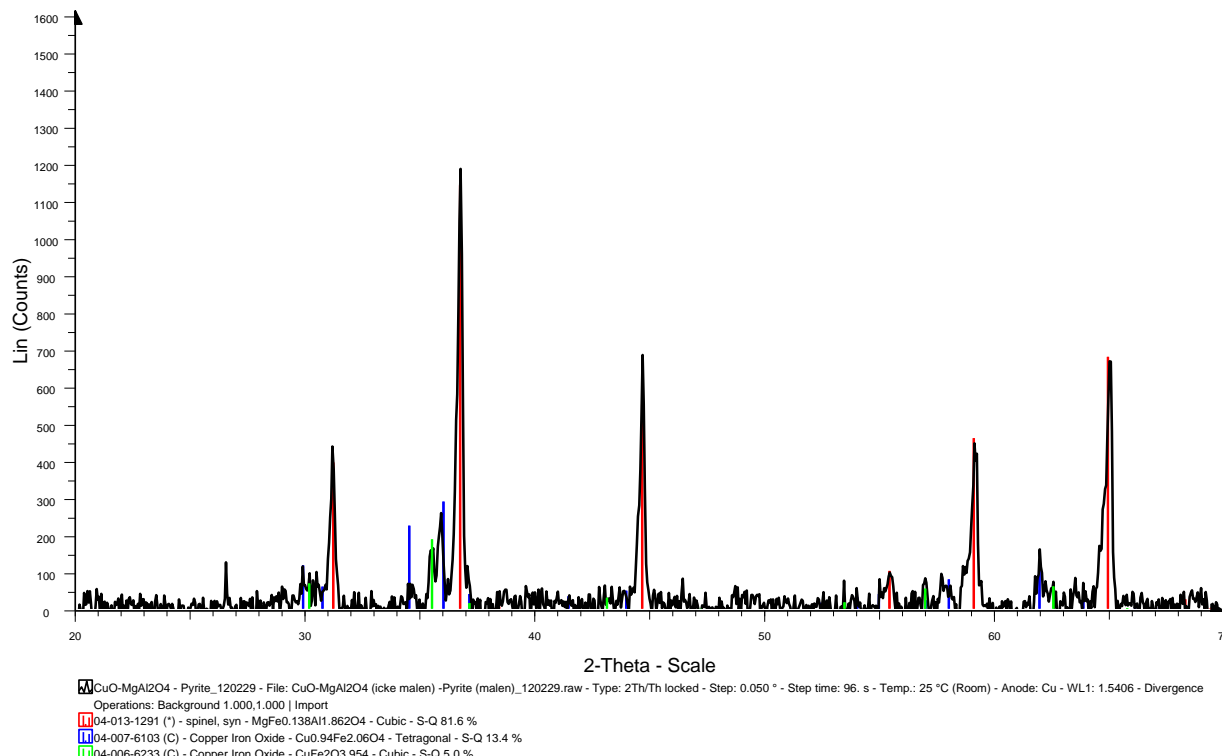
**FIGUR 43. CuO/MGAL2O4 - REN - H2**



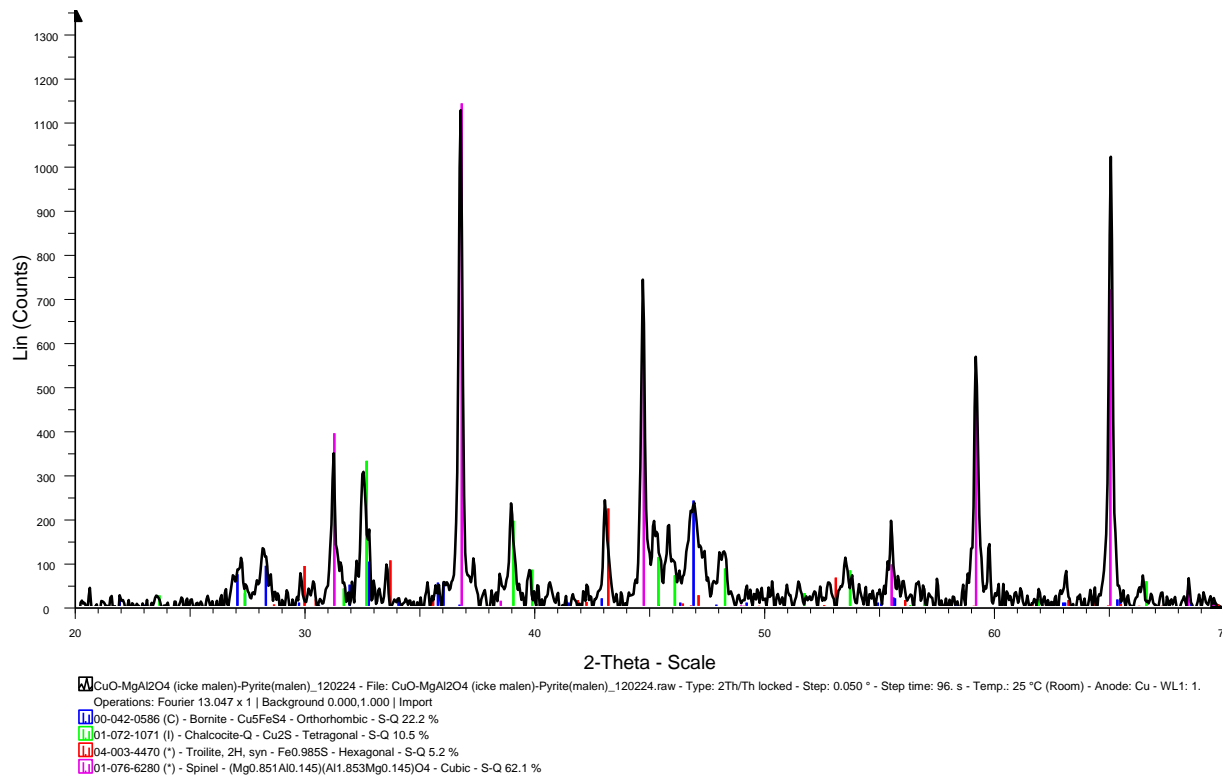
**FIGUR 44. CuO/MGAL2O4 - REN - LUFT**



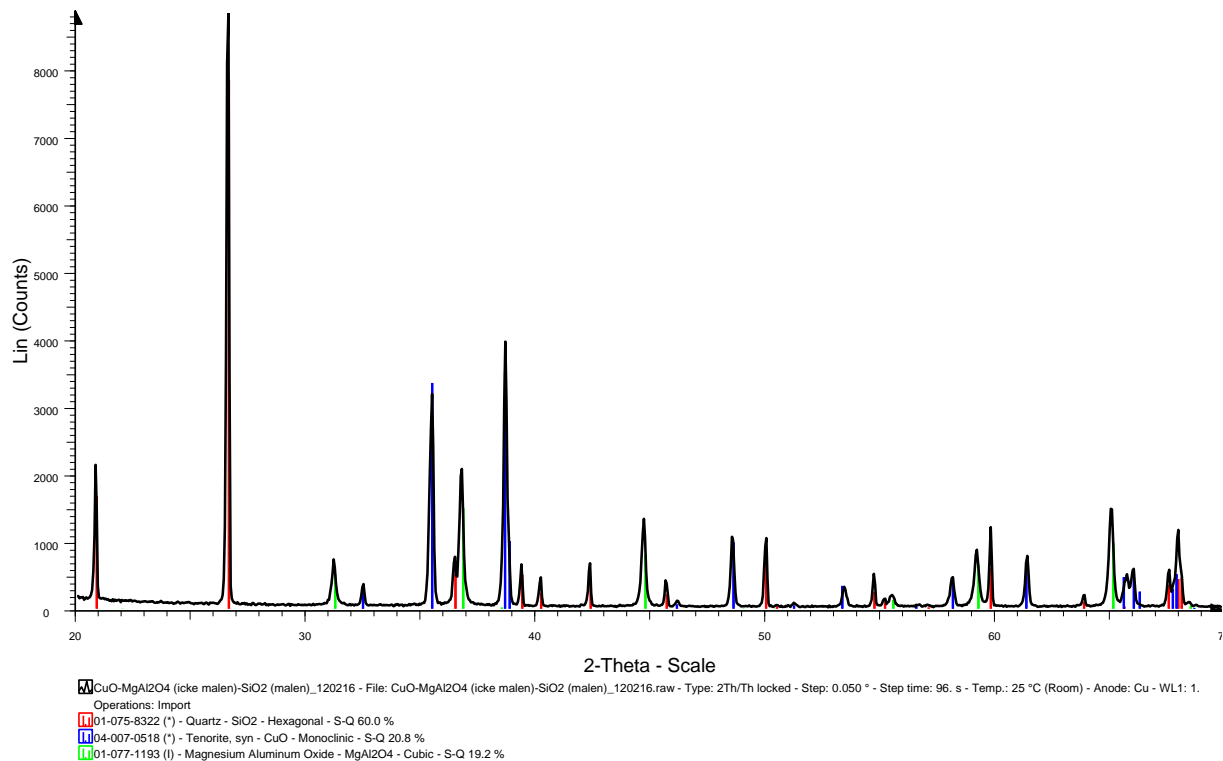
**FIGUR 45. CuO/MgAl<sub>2</sub>O<sub>4</sub> - REN**



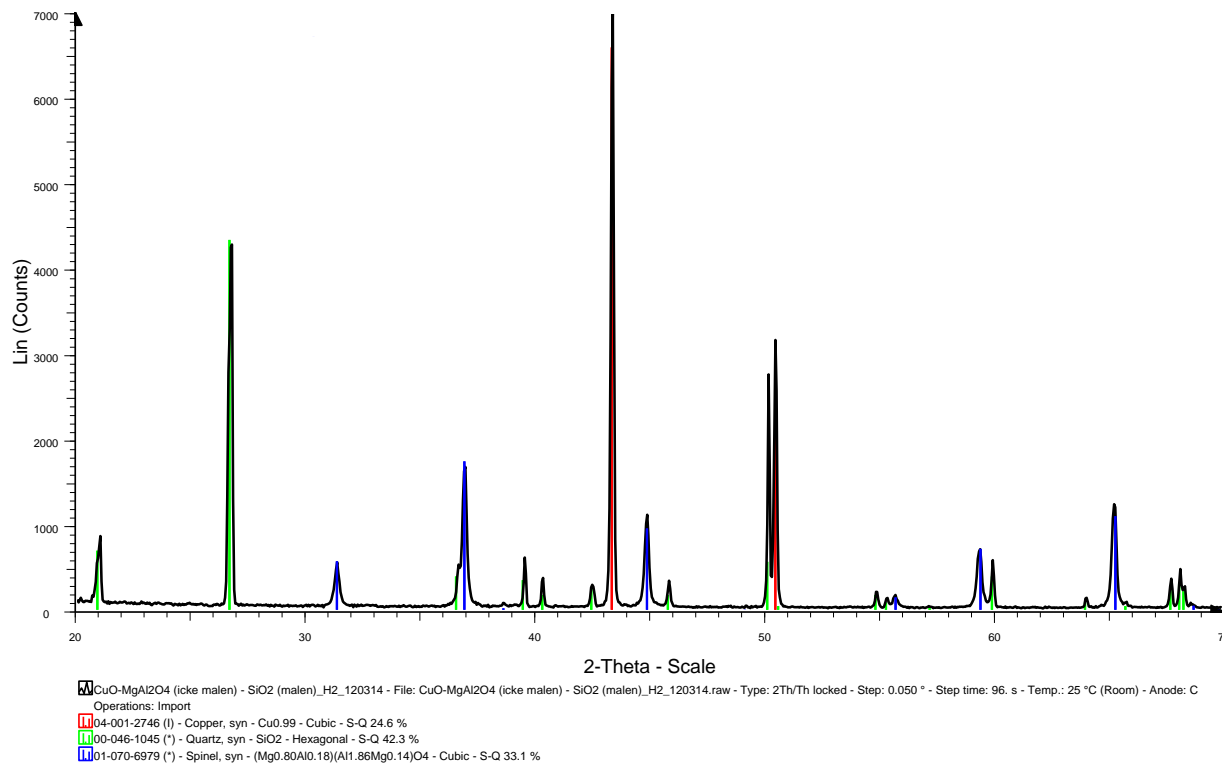
**FIGUR 46. CuO/MgAl<sub>2</sub>O<sub>4</sub> - PYRIT - LUFT**



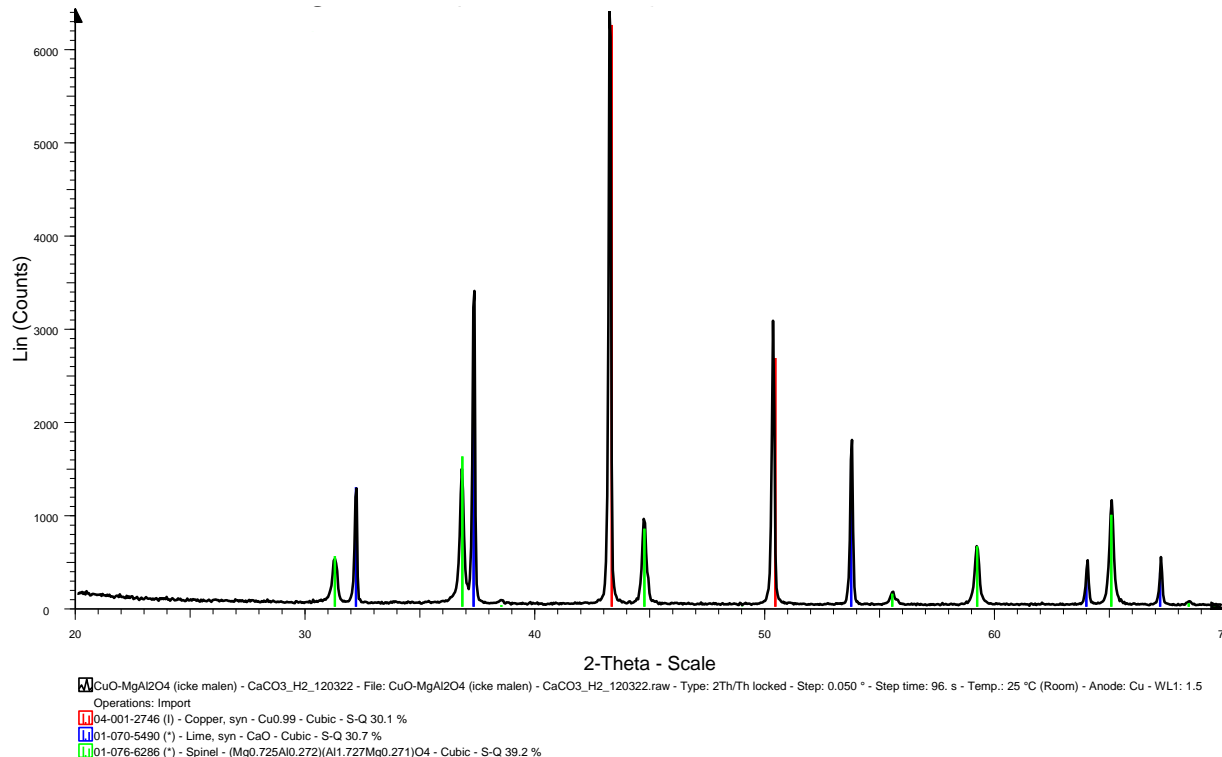
**FIGUR 47. CuO/MgAl<sub>2</sub>O<sub>4</sub> - PYRIT - H2**



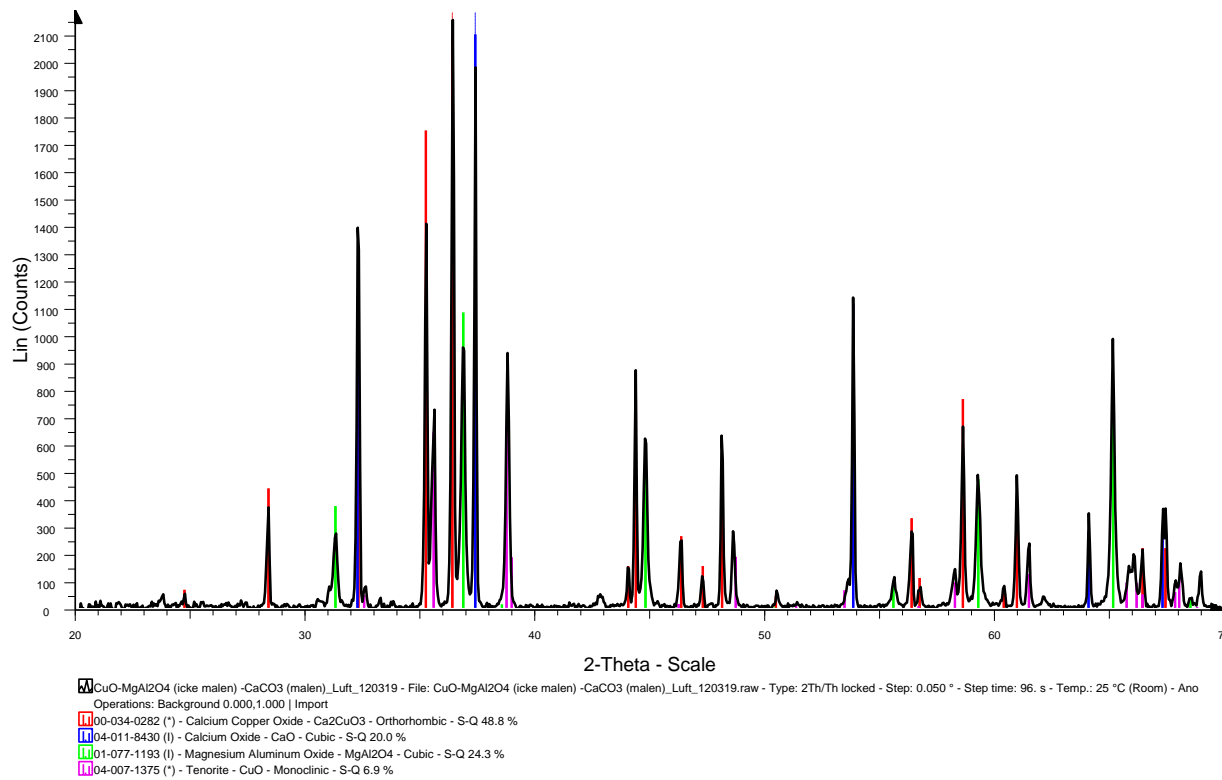
**FIGUR 48. CuO/MgAl<sub>2</sub>O<sub>4</sub> - SiO<sub>2</sub> - LUFT**



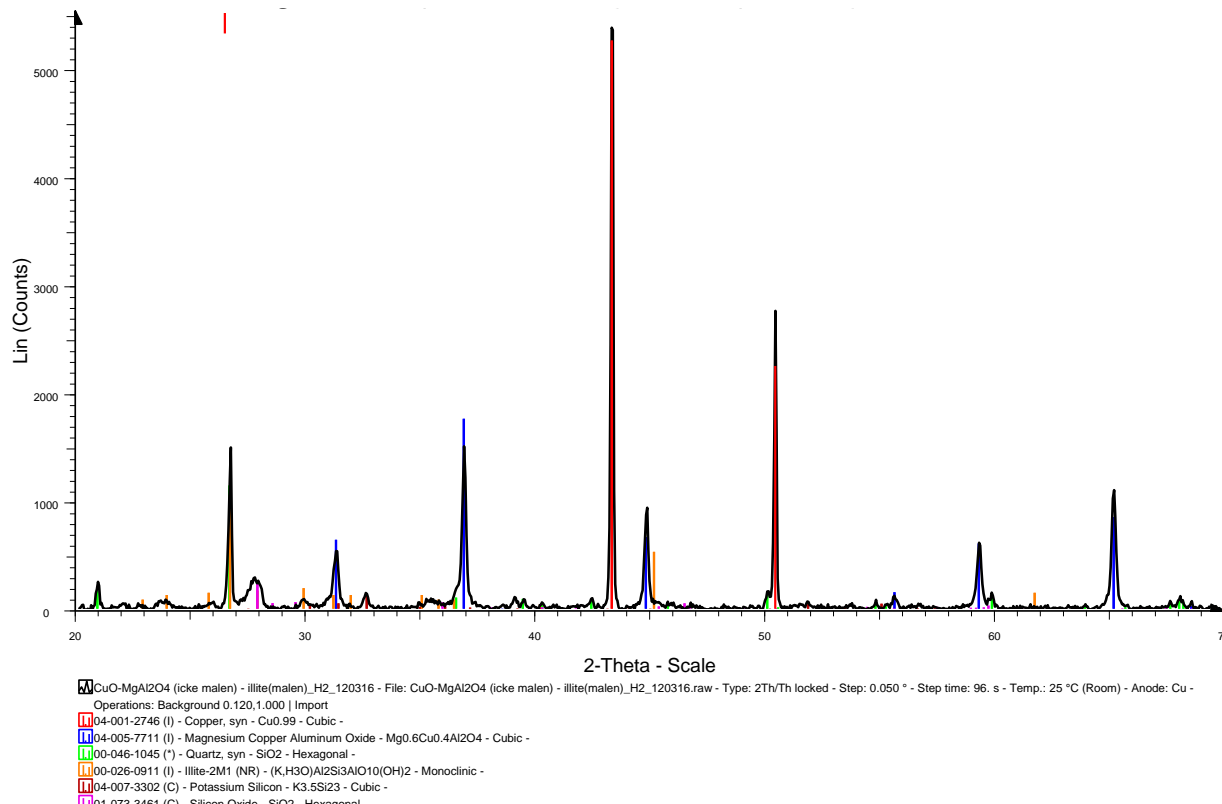
**FIGUR 49. CuO/MgAl<sub>2</sub>O<sub>4</sub> - SiO<sub>2</sub> - H<sub>2</sub>**



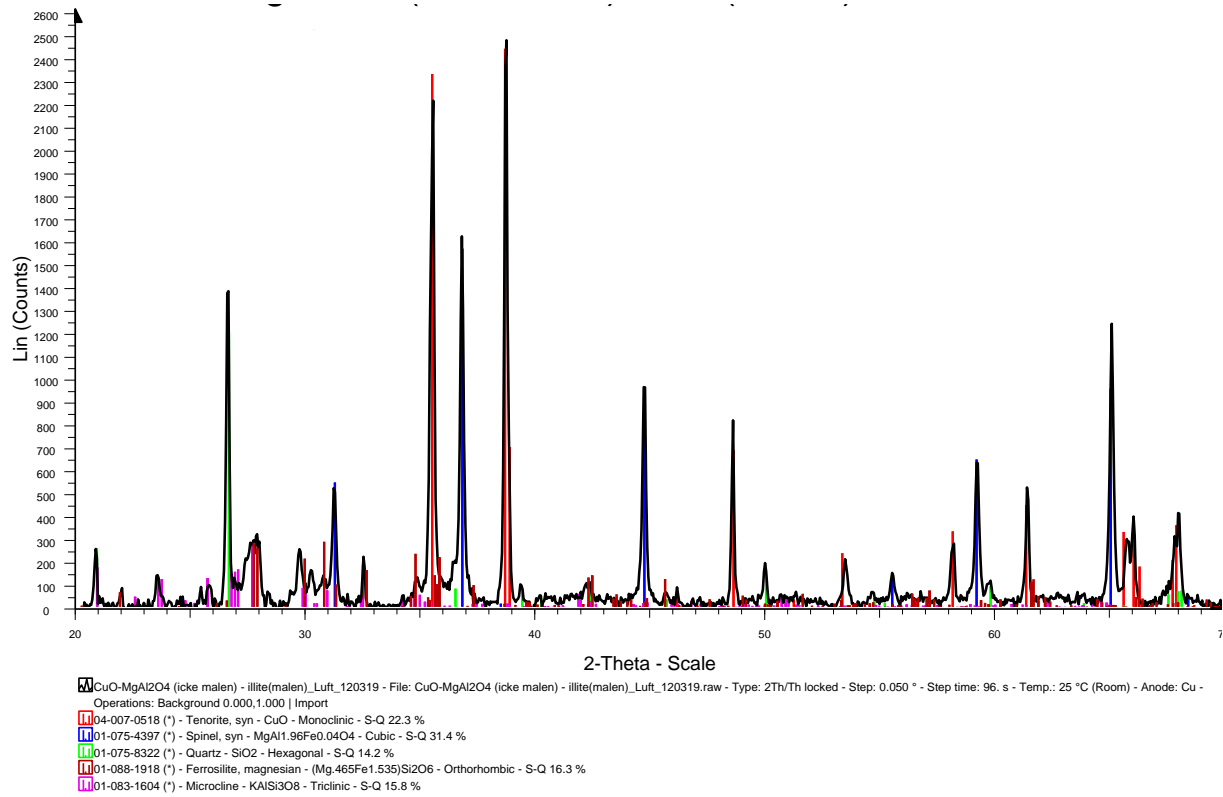
**FIGUR 50. CuO/MgAl<sub>2</sub>O<sub>4</sub> - CaCO<sub>3</sub> - H<sub>2</sub>**



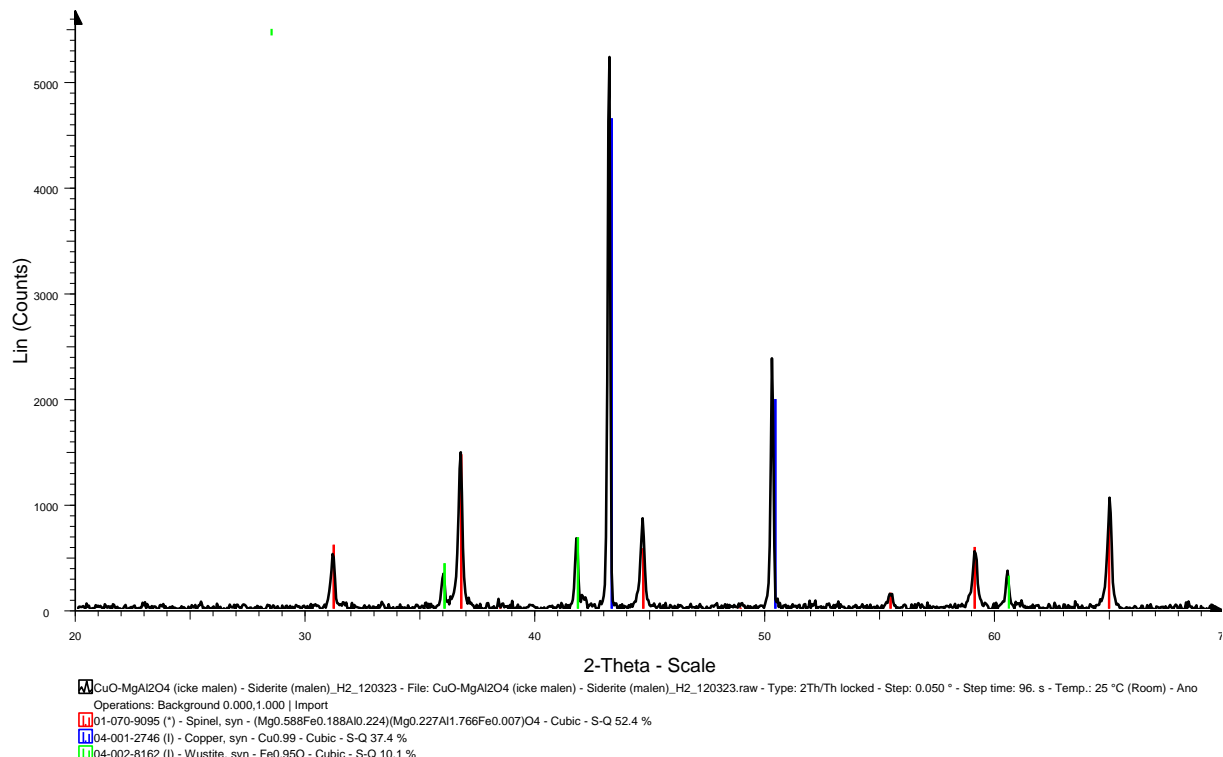
**FIGUR 51. CuO/MgAl<sub>2</sub>O<sub>4</sub> - CaCO<sub>3</sub> - LUFT**



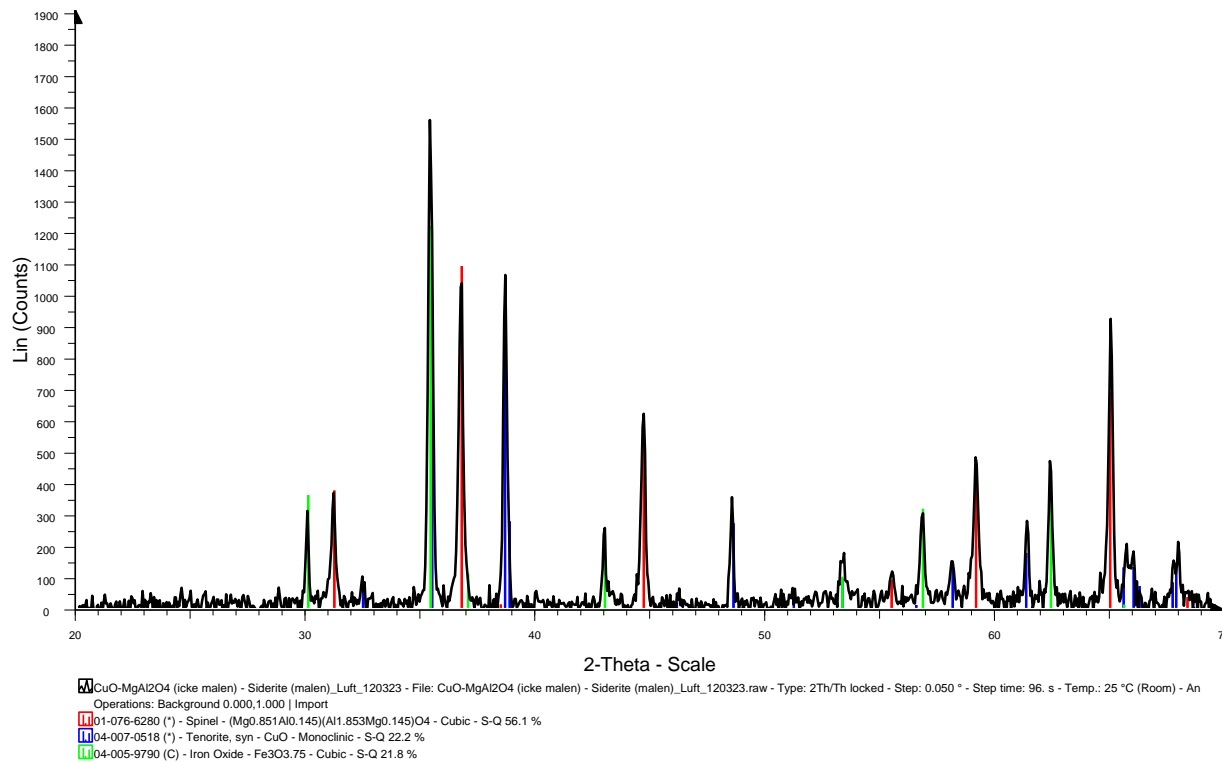
**FIGUR 52. CuO/MgAl<sub>2</sub>O<sub>4</sub> - ILLIT - H2**



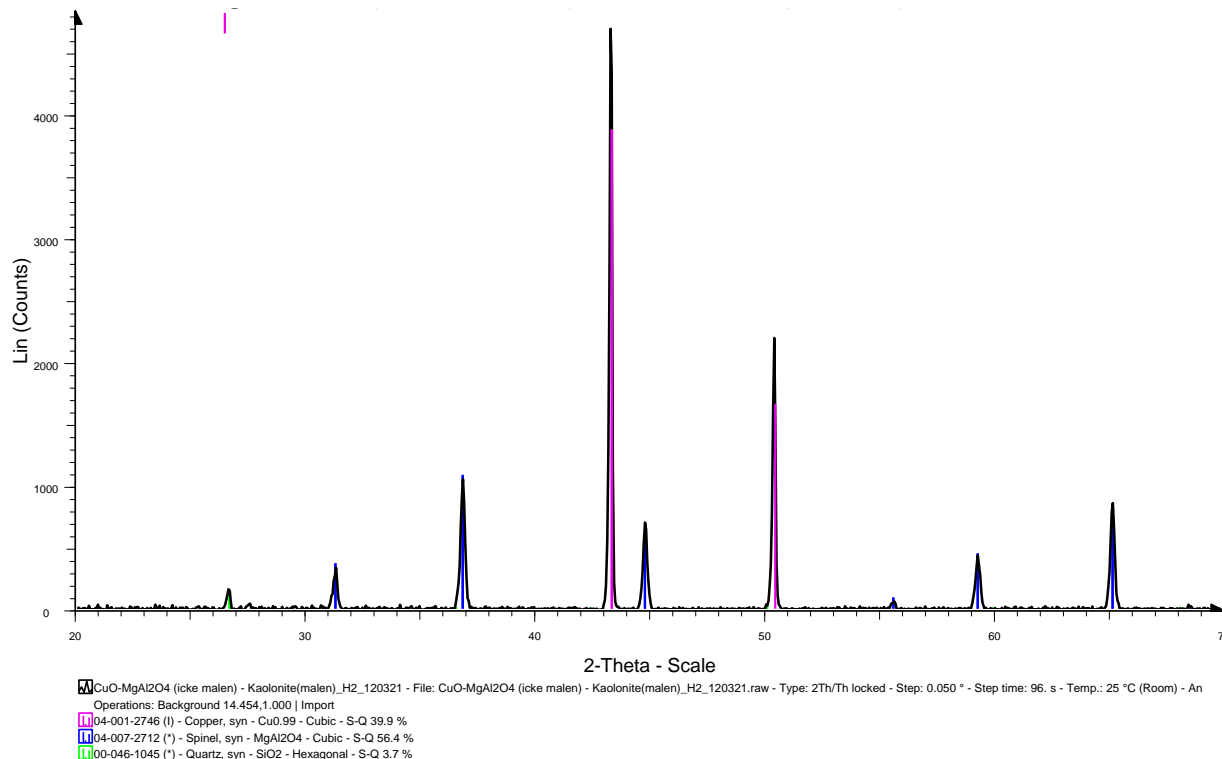
**FIGUR 53. CUO/MGAL2O4 - ILLIT - LUFT**



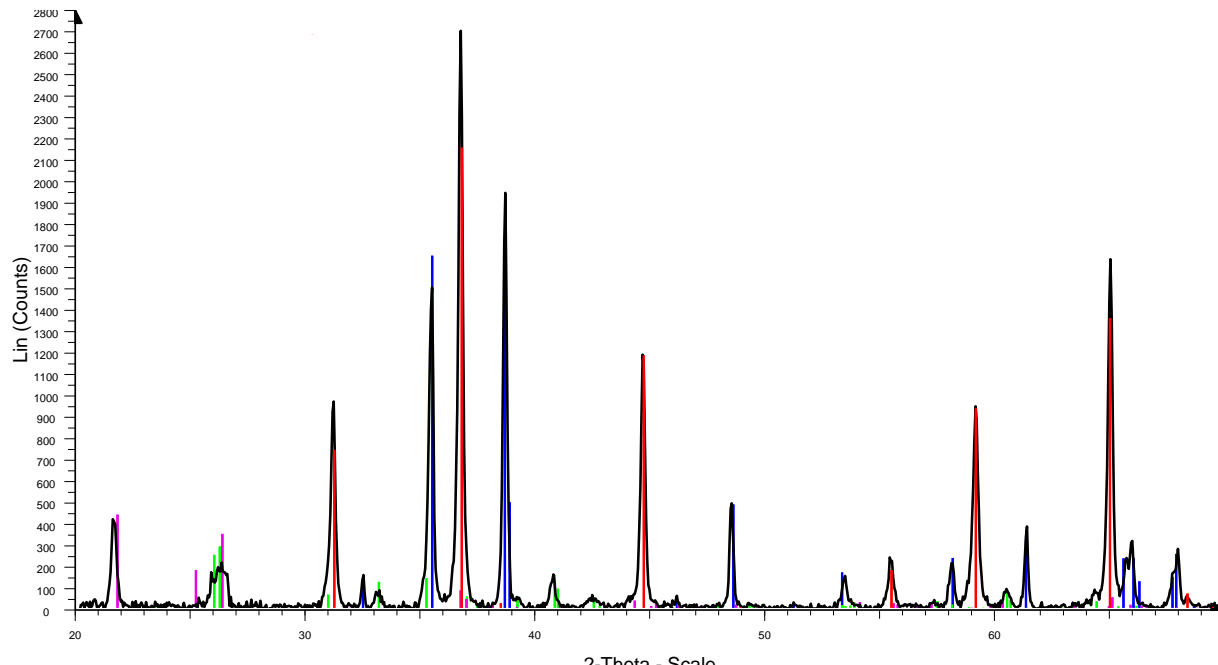
**FIGUR 54. CUO/MGAL2O4 - SIDERIT - H2**



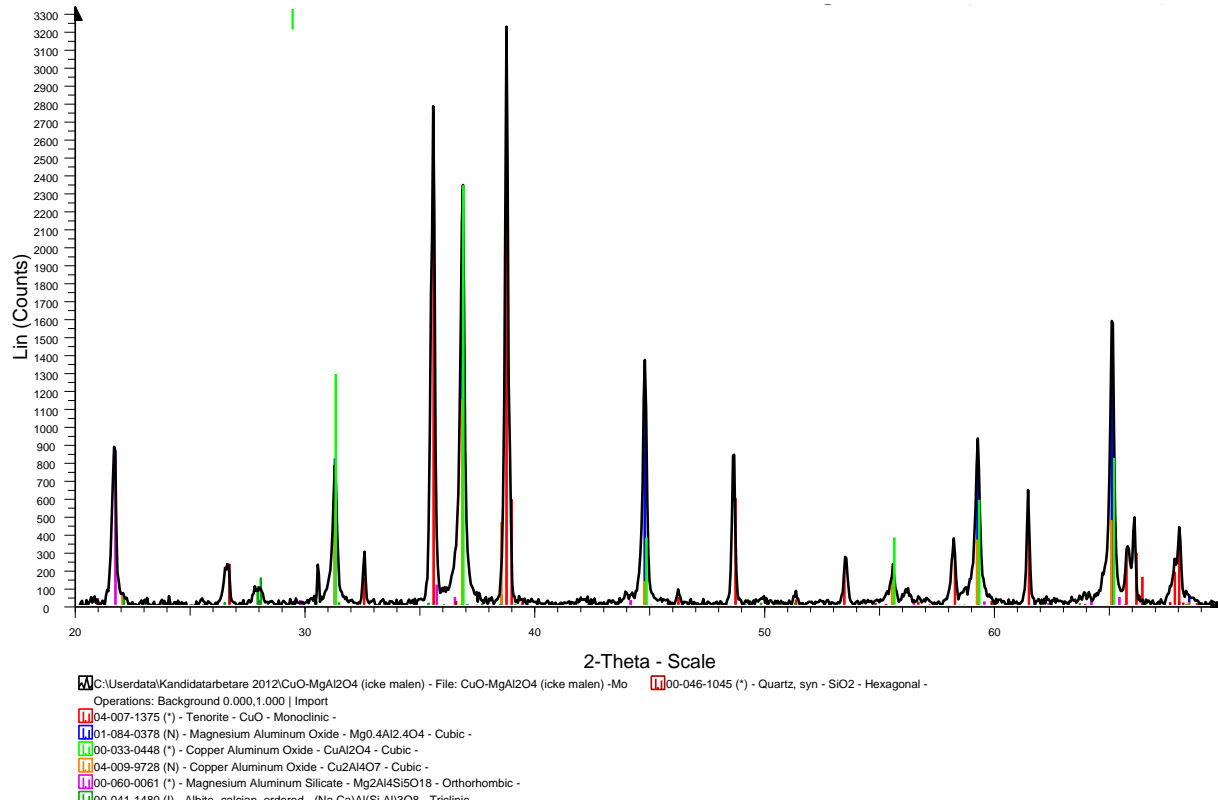
**FIGUR 55. CuO/MgAl<sub>2</sub>O<sub>4</sub> - SIDERIT - LUFT**



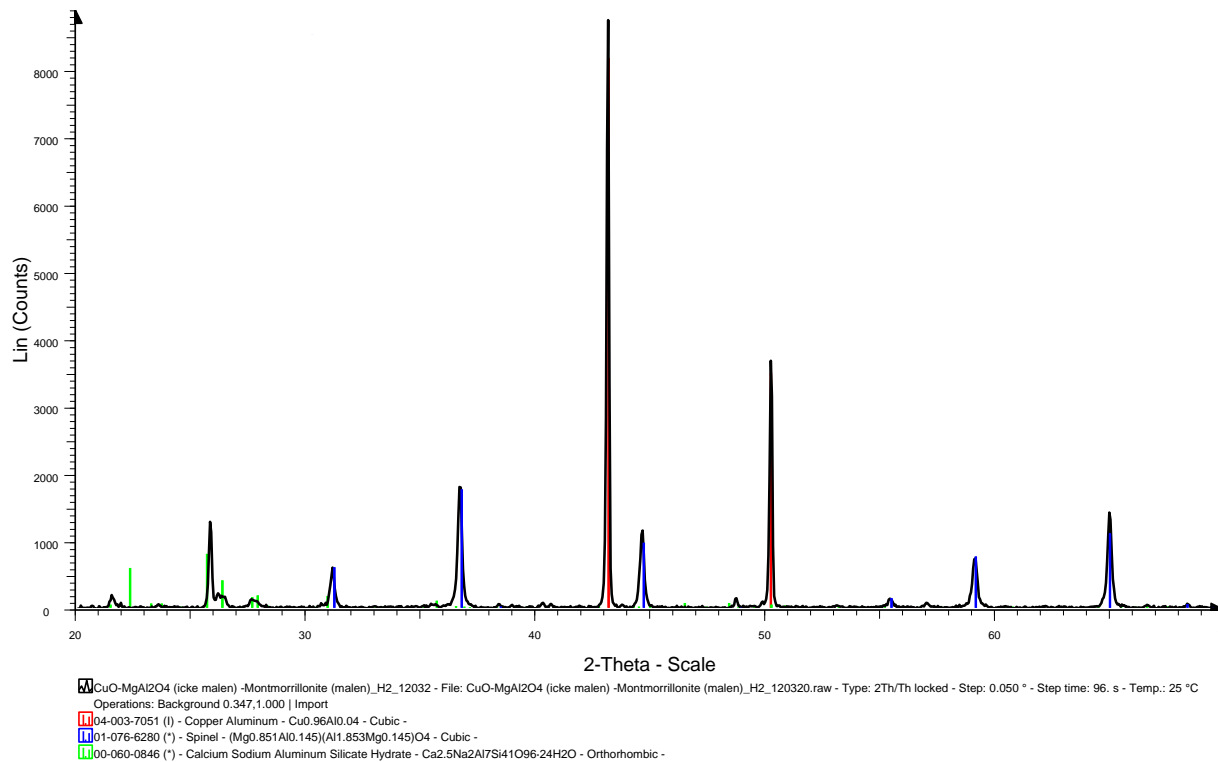
**FIGUR 56. CuO/MgAl<sub>2</sub>O<sub>4</sub> - KAOLONIT - H2**



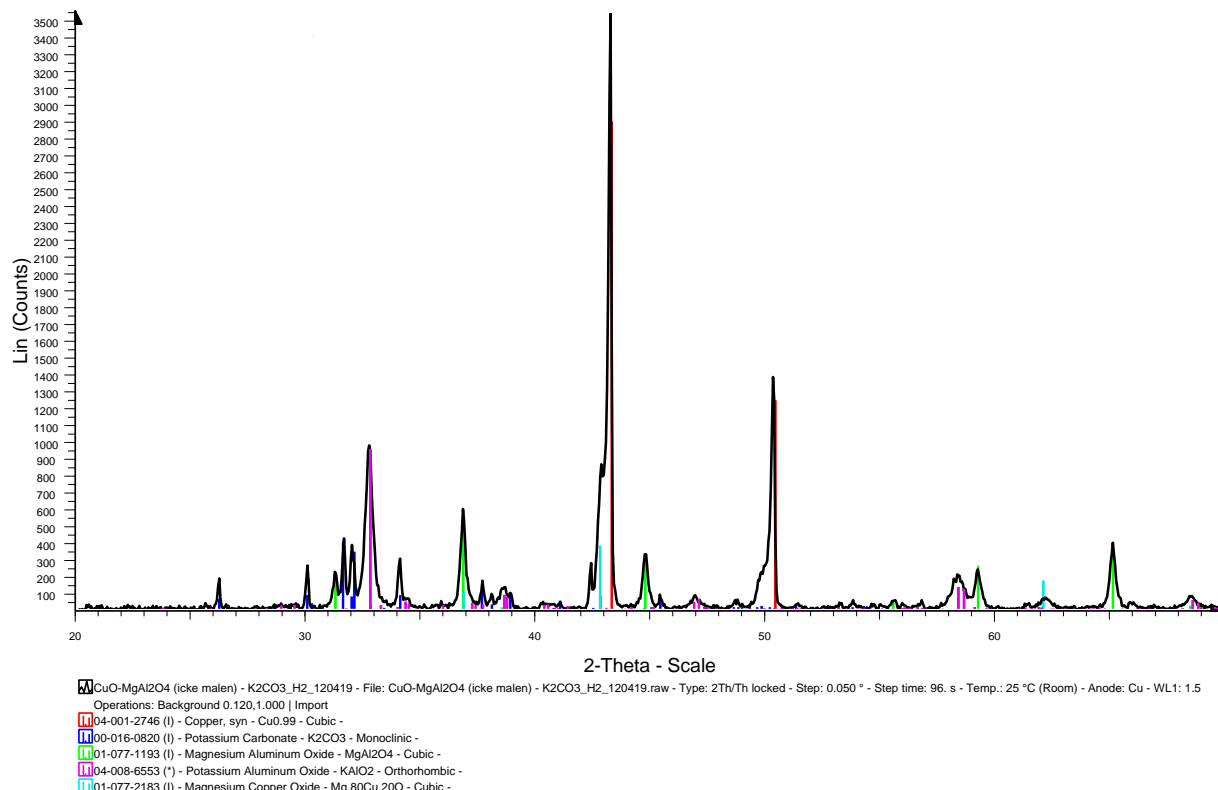
**FIGUR 57. CuO/MgAl<sub>2</sub>O<sub>4</sub> - KAOLINIT – LUFT**



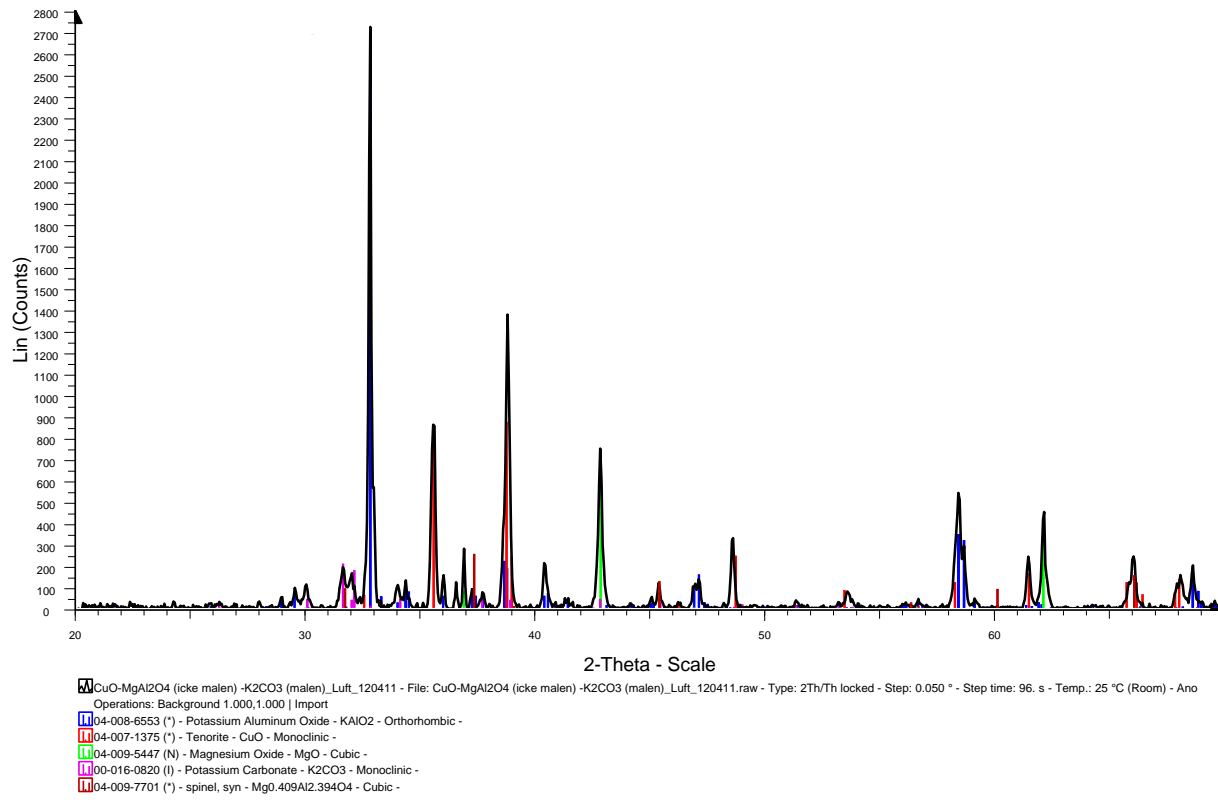
**FIGUR 58. CuO/MgAl<sub>2</sub>O<sub>4</sub> - MONTMORILLONIT – LUFT**



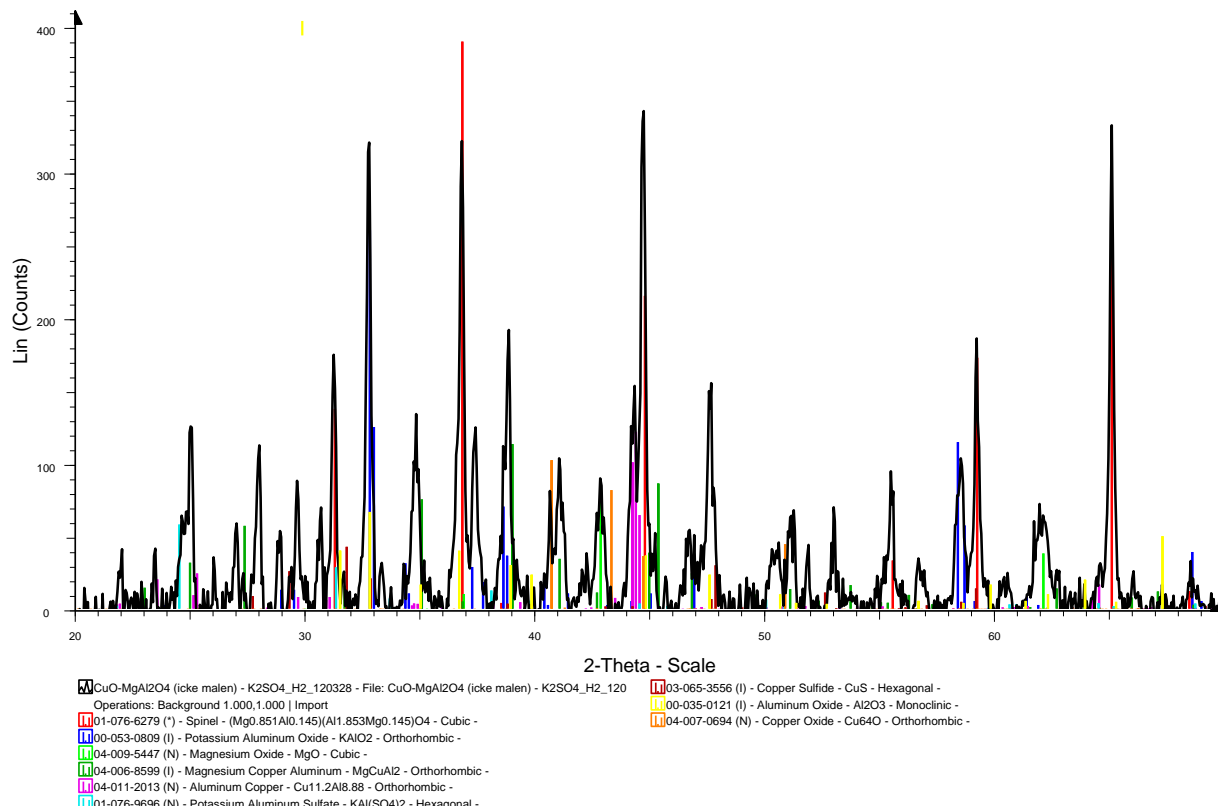
**FIGUR 59. CuO/MgAl<sub>2</sub>O<sub>4</sub> - MONTMORILLONIT - H2**



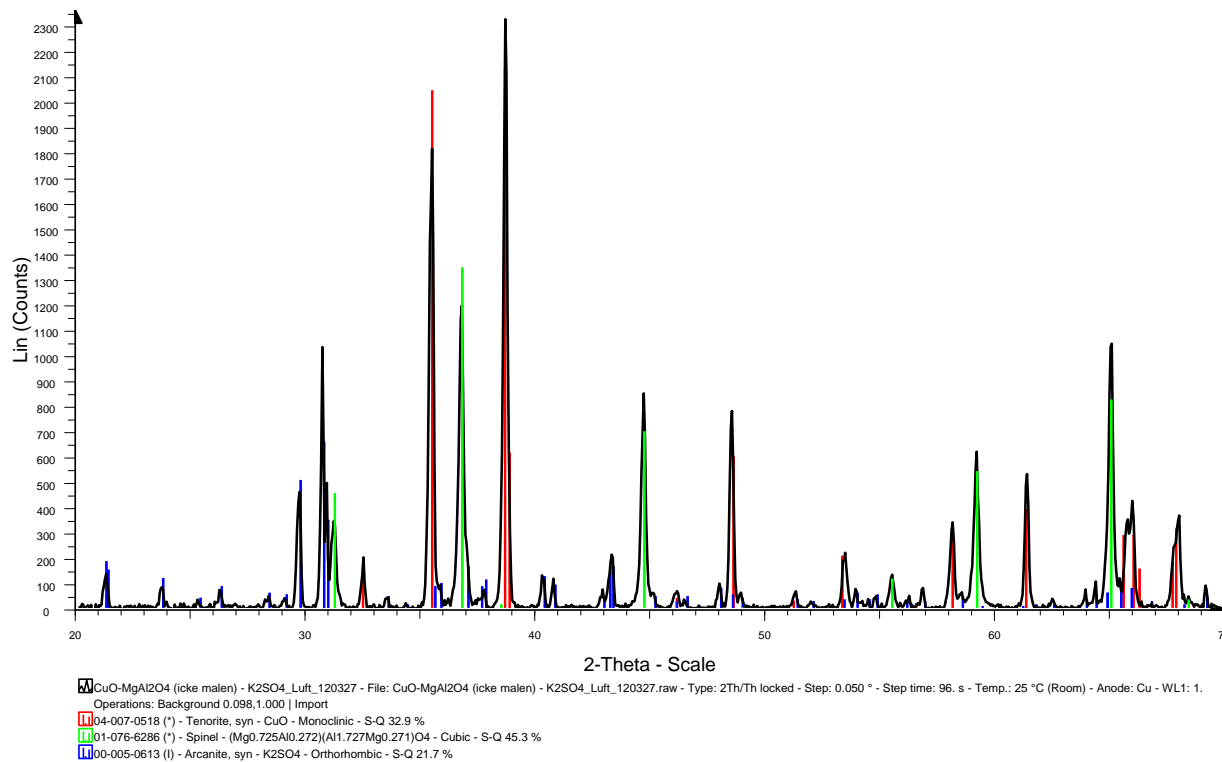
**FIGUR 60. CuO/MgAl<sub>2</sub>O<sub>4</sub> - K<sub>2</sub>CO<sub>3</sub> - H2**



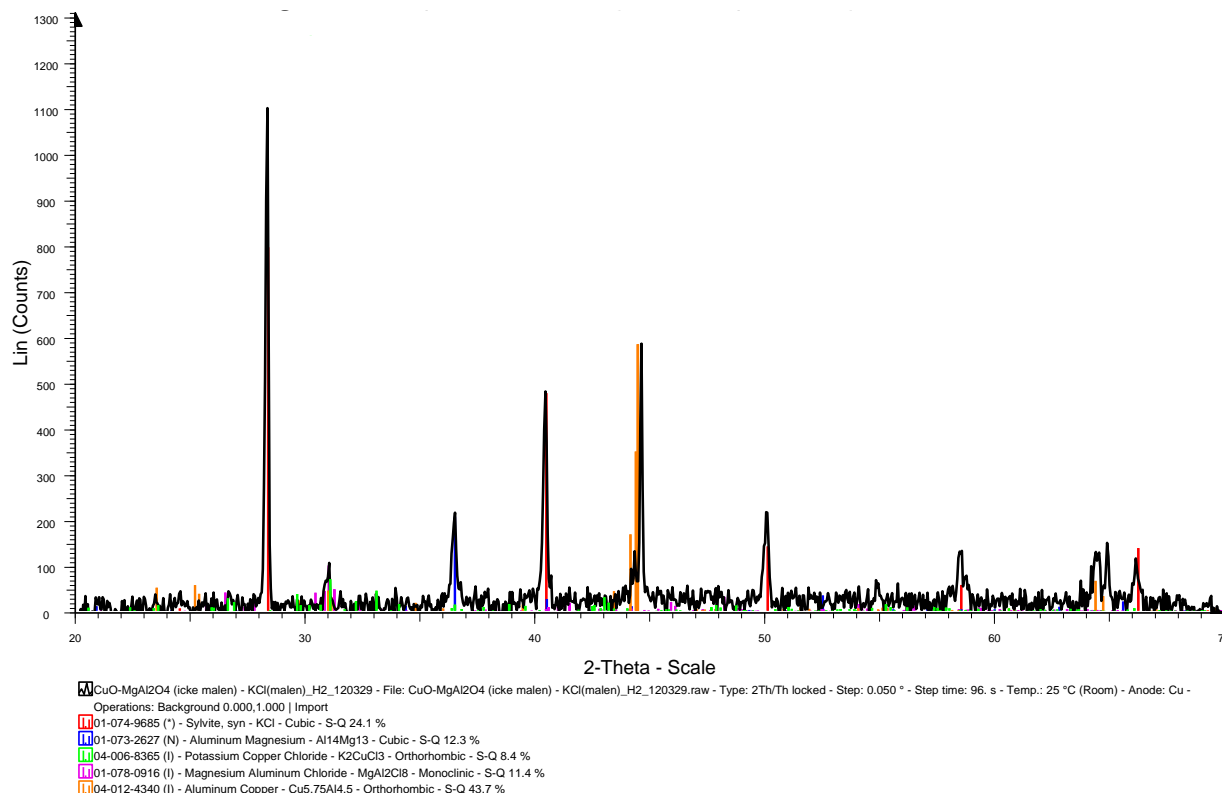
**FIGUR 61. CuO/MgAl<sub>2</sub>O<sub>4</sub> - K<sub>2</sub>CO<sub>3</sub> - LUFT**



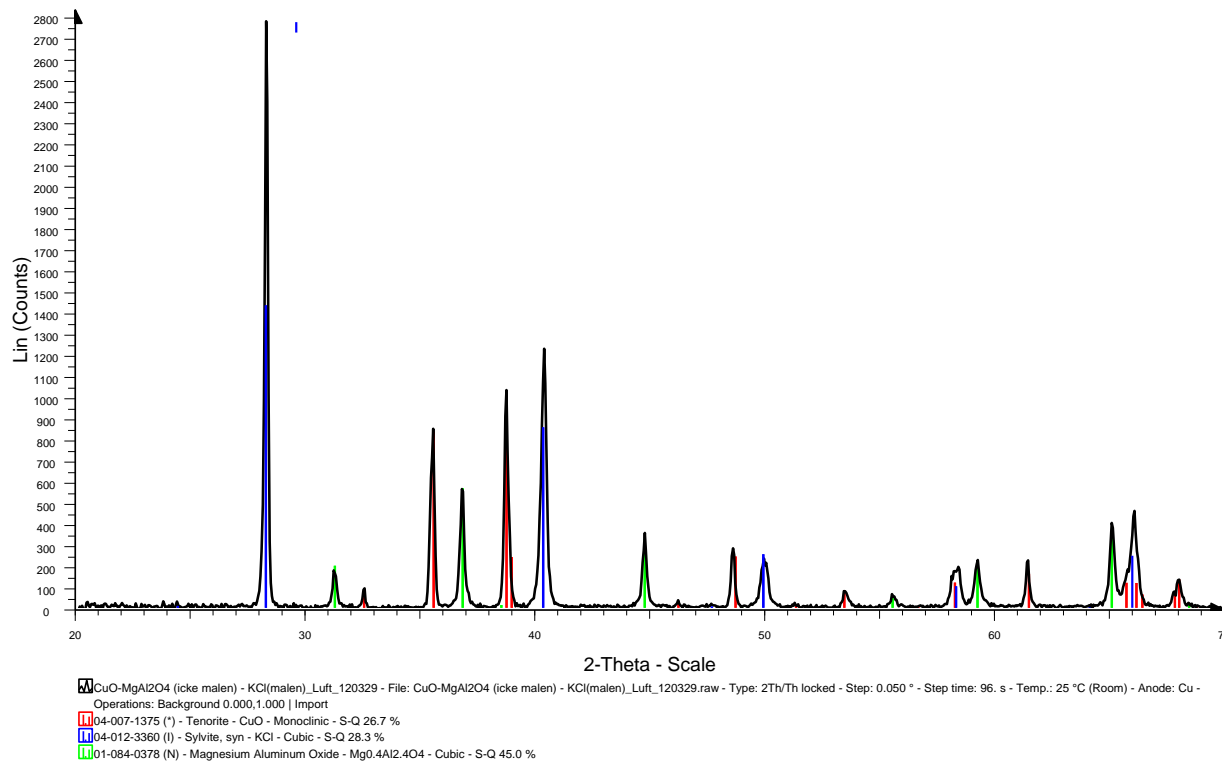
**FIGUR 62. CuO/MgAl<sub>2</sub>O<sub>4</sub> - K<sub>2</sub>SO<sub>4</sub> - H<sub>2</sub>**



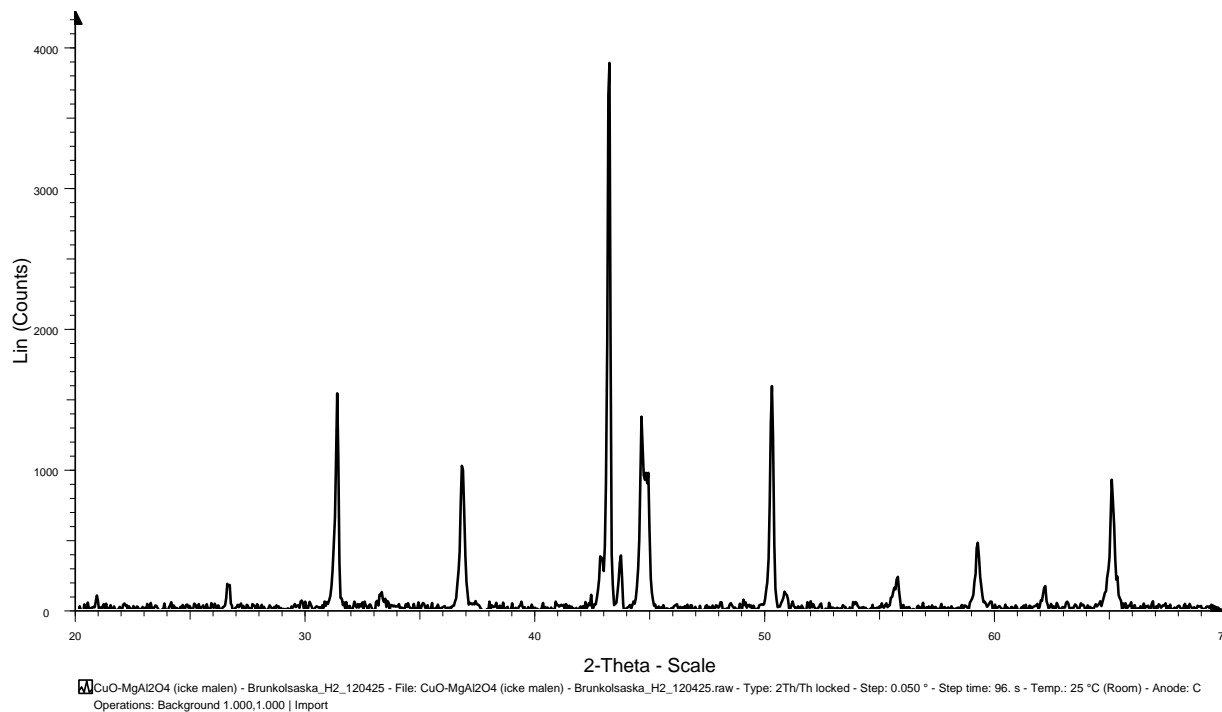
**FIGUR 63. CuO/MgAl<sub>2</sub>O<sub>4</sub> - K<sub>2</sub>SO<sub>4</sub> - LUFT**



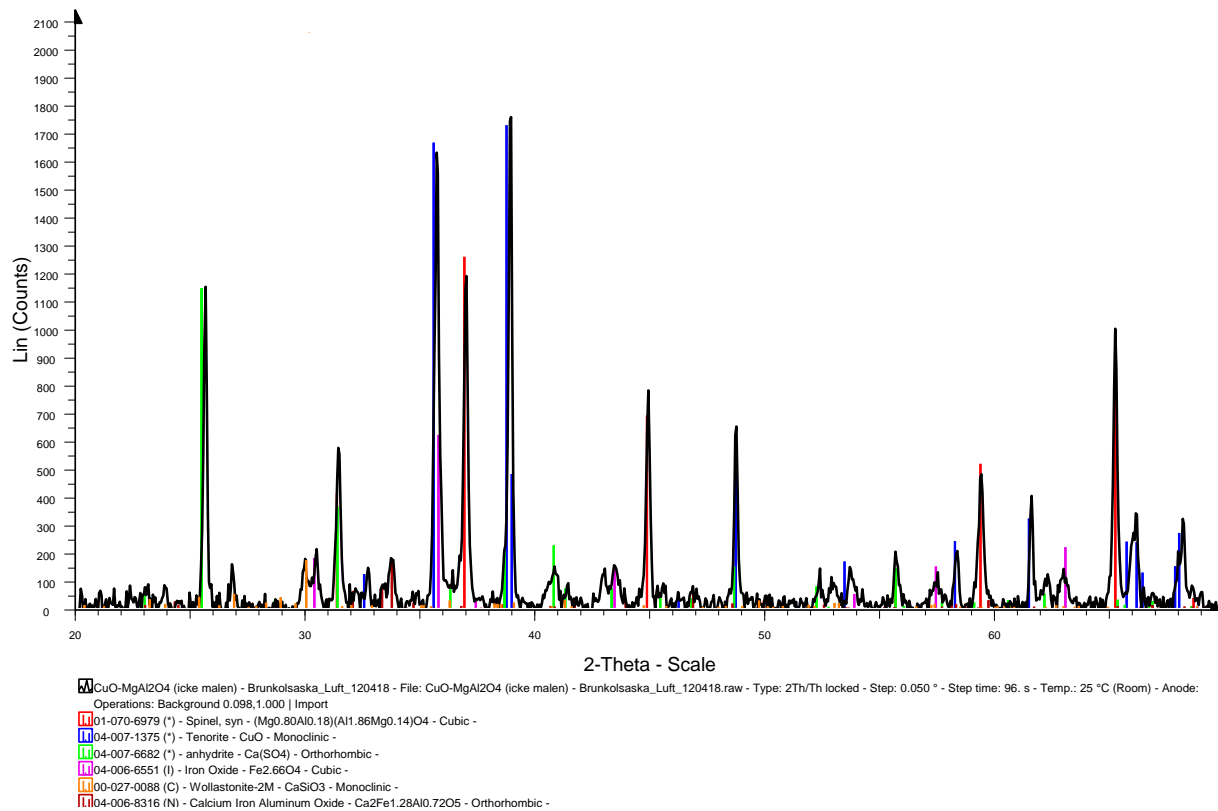
**FIGUR 64. CuO/MgAl<sub>2</sub>O<sub>4</sub> - KCl - H<sub>2</sub>**



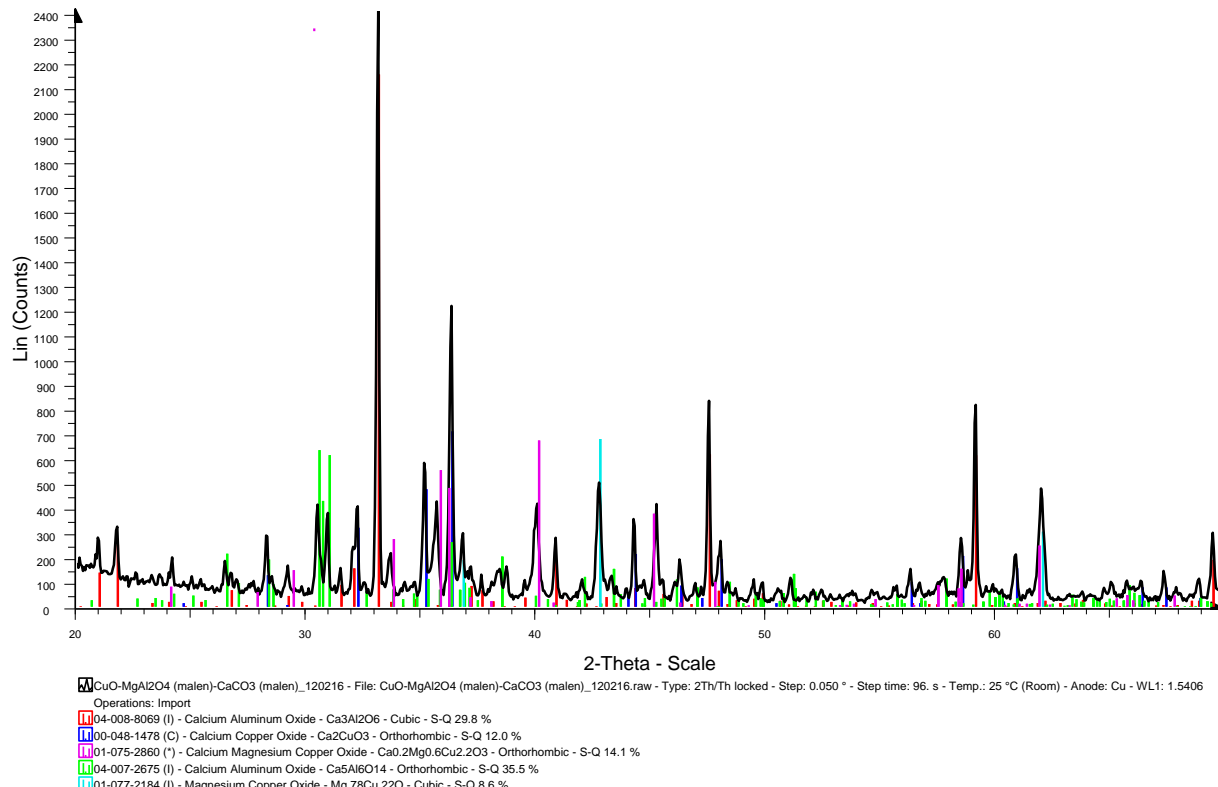
**FIGUR 65. CUO/MGAL2O4 - KCL - LUFT**



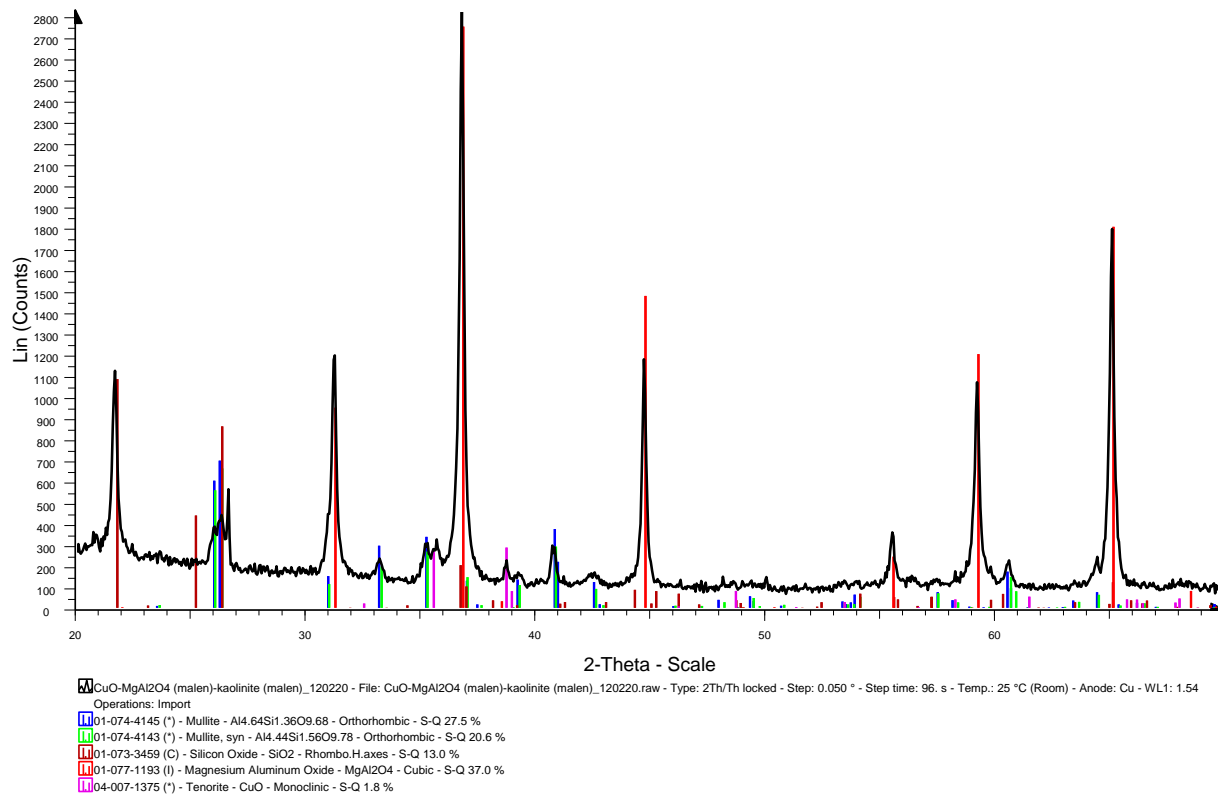
**FIGUR 66. CUO/MGAL2O4 - BRUNKOLSASKA - H2**



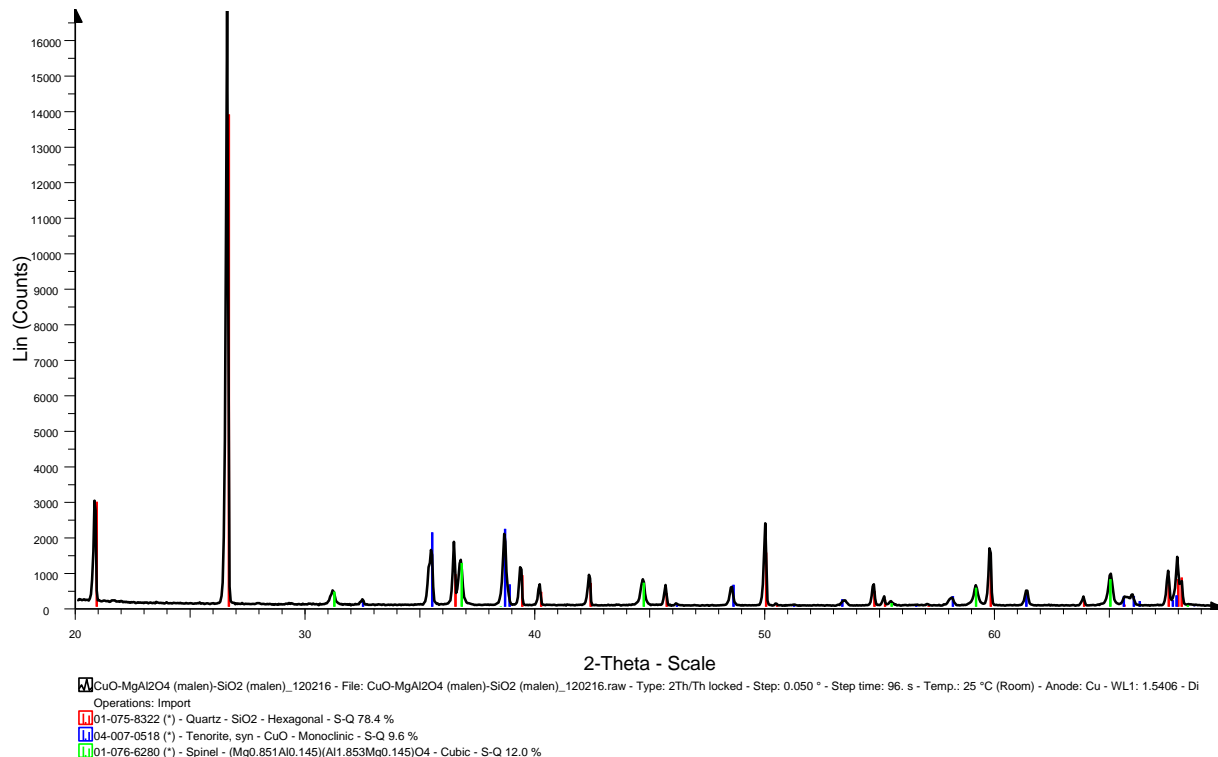
**FIGUR 67. CUO/MGAL2O4 - BRUNKOLASKA - LUFT**



**FIGUR 68. CUO/MGAL2O4 (MALEN) - CACO3 - LUFT**

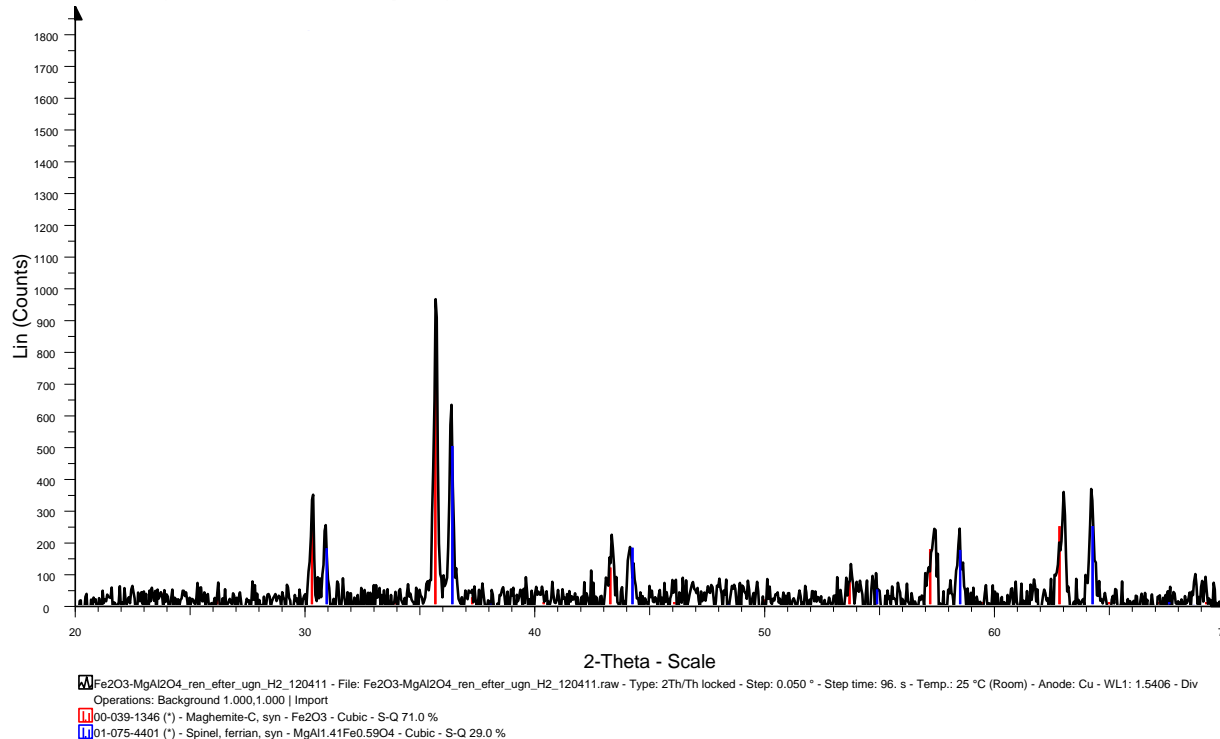


**FIGUR 69. CuO/MgAl<sub>2</sub>O<sub>4</sub> (maLEN) - KAOLINIT - LUFT**

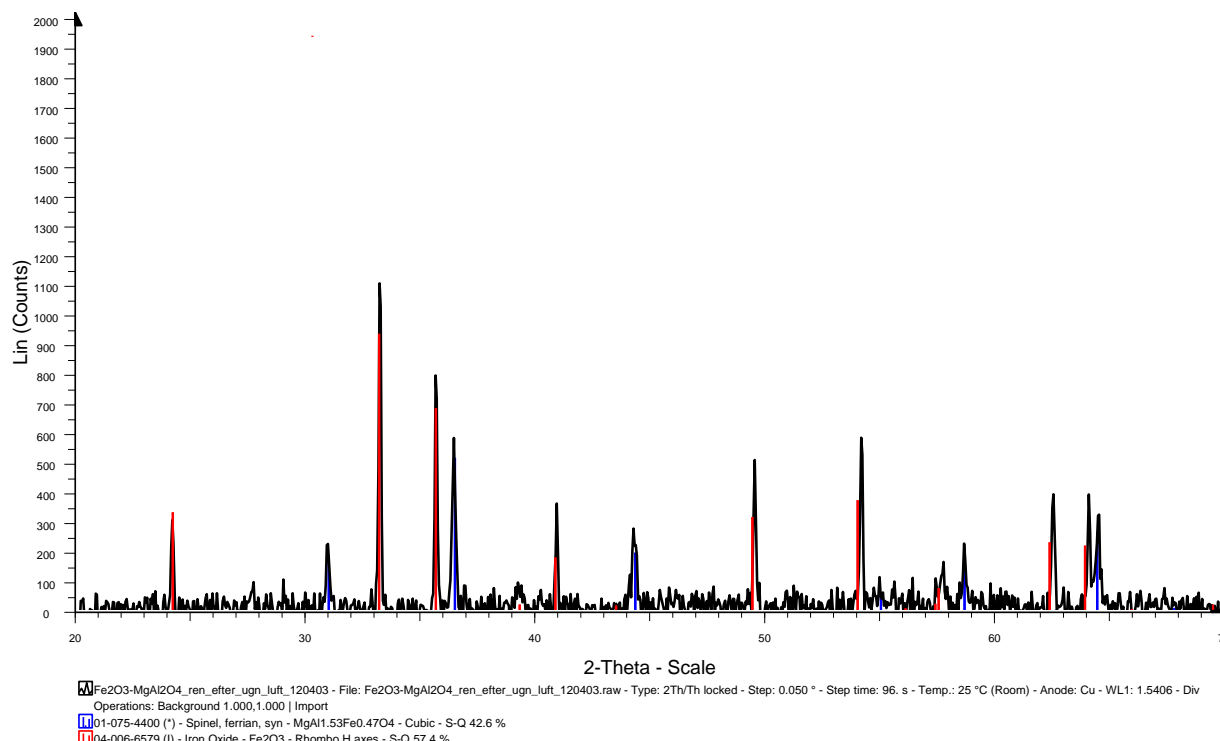


**FIGUR 70. CuO/MgAl<sub>2</sub>O<sub>4</sub> (maLEN) - SiO<sub>2</sub> - LUFT**

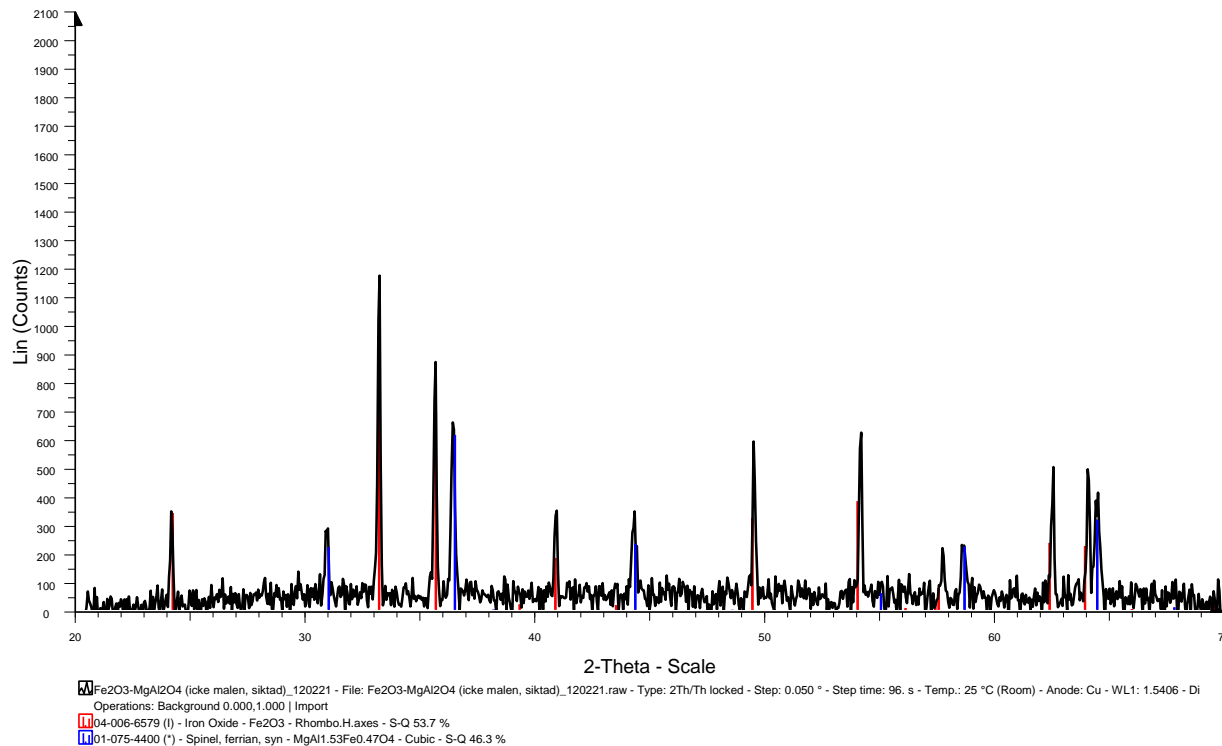
## Diffraktogram för Fe<sub>2</sub>O<sub>3</sub>/MgAl<sub>2</sub>O<sub>4</sub> dels ren och dels blandningar



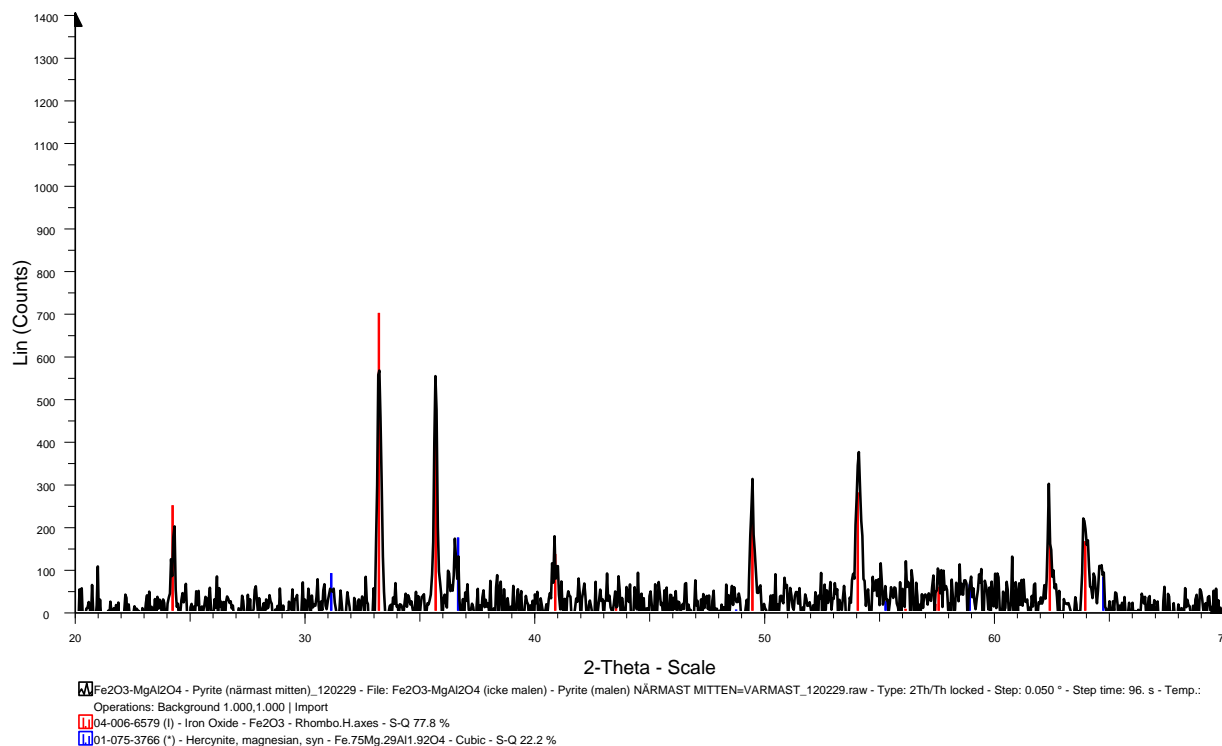
**FIGUR 71. FE<sub>2</sub>O<sub>3</sub>/MgAl<sub>2</sub>O<sub>4</sub> - REN - H2**



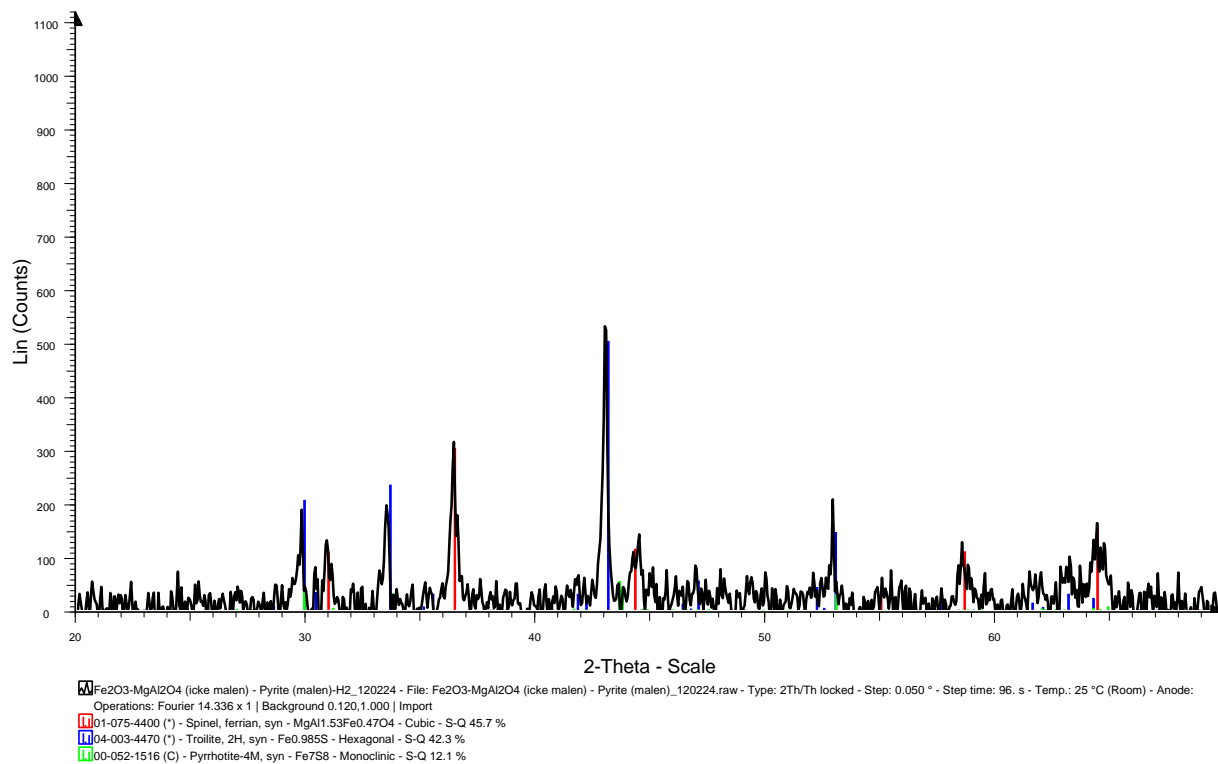
**FIGUR 72. FE<sub>2</sub>O<sub>3</sub>/MgAl<sub>2</sub>O<sub>4</sub> - REN - LUFT**



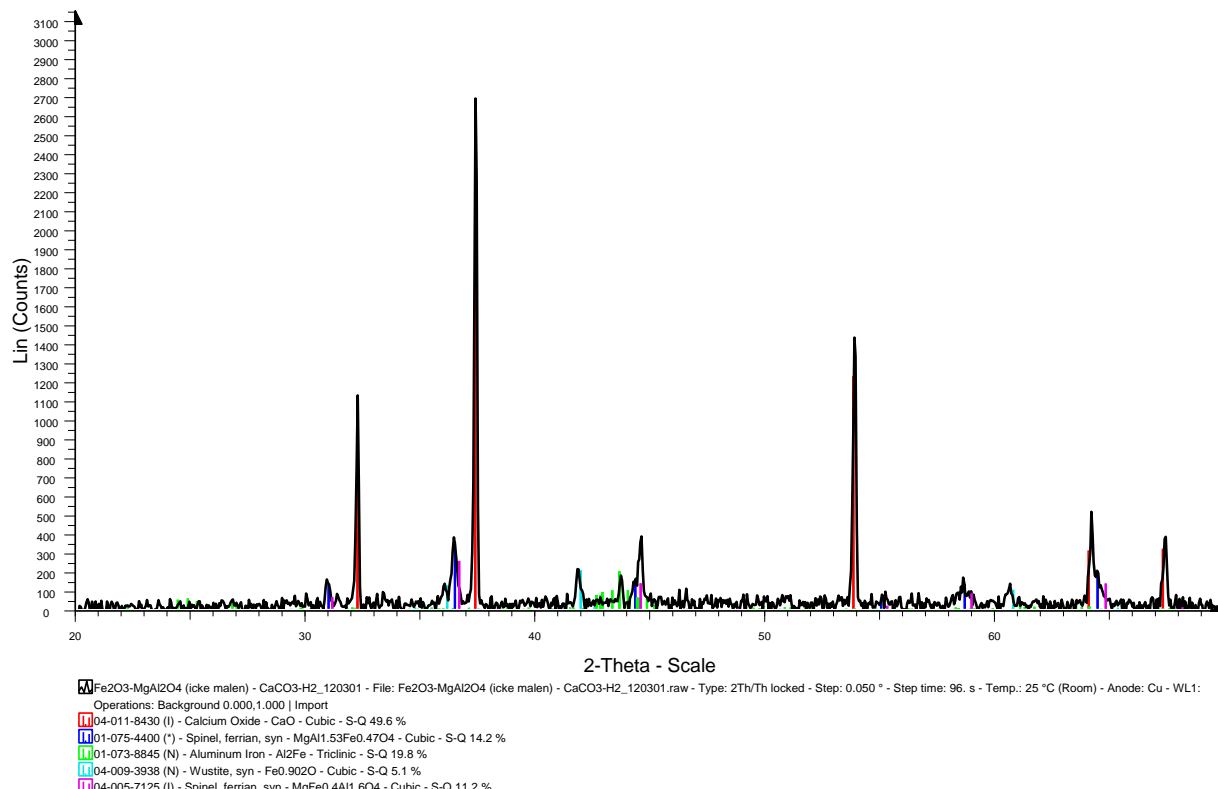
**FIGUR 73. FE<sub>2</sub>O<sub>3</sub>/MgAl<sub>2</sub>O<sub>4</sub> – REN**



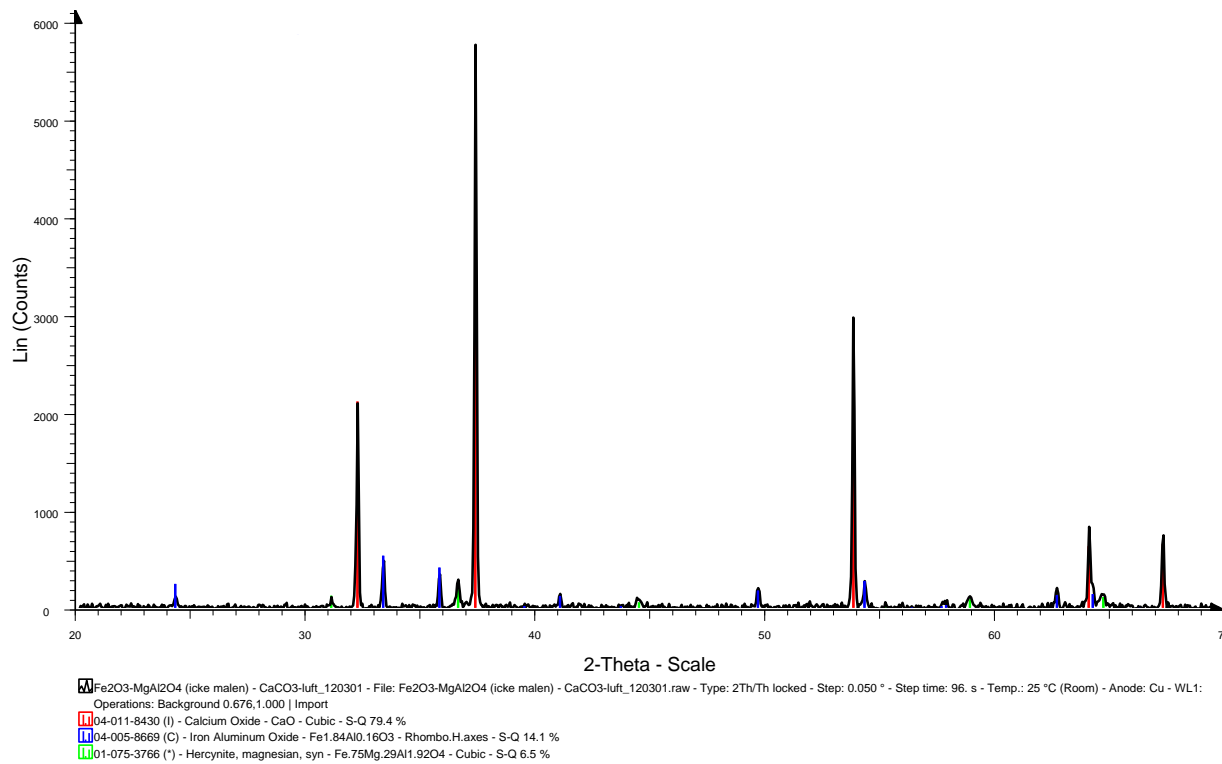
**FIGUR 74. FE<sub>2</sub>O<sub>3</sub>/MgAl<sub>2</sub>O<sub>4</sub> - PYRIT - LUFT**



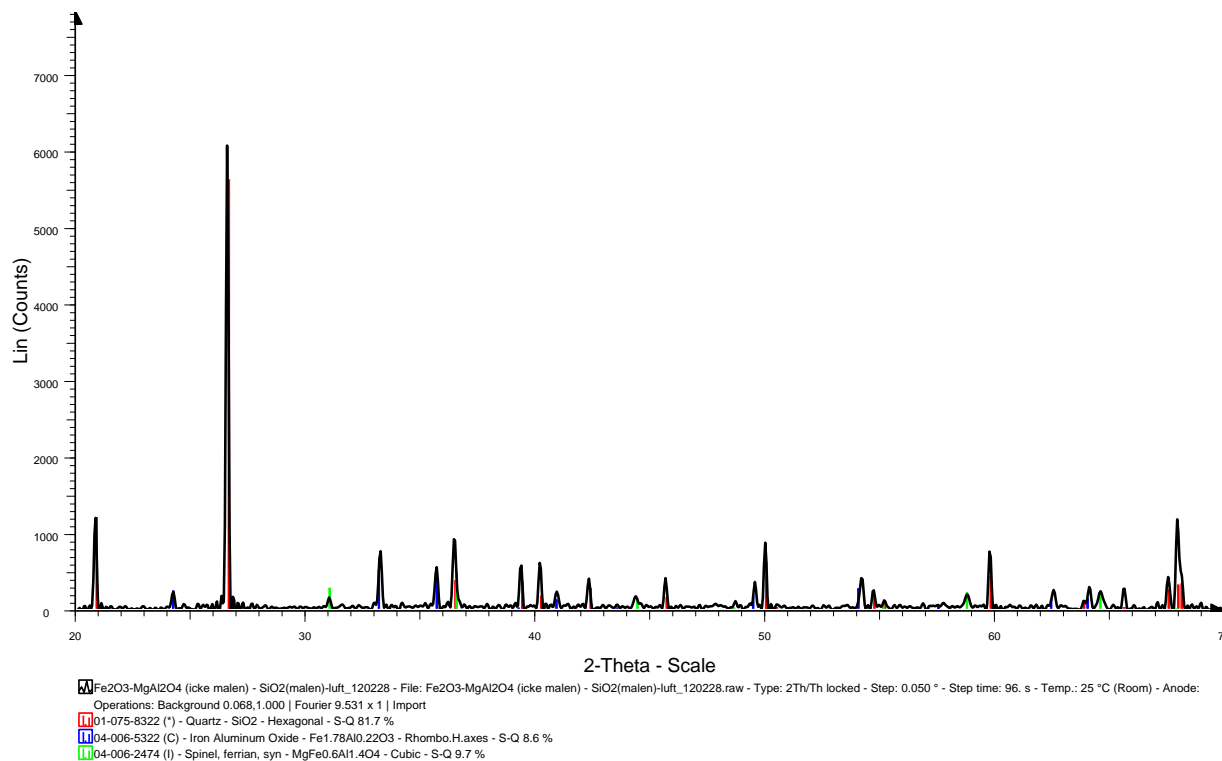
**FIGUR 75. FE<sub>2</sub>O<sub>3</sub>/MgAl<sub>2</sub>O<sub>4</sub> - PYRIT - H2**



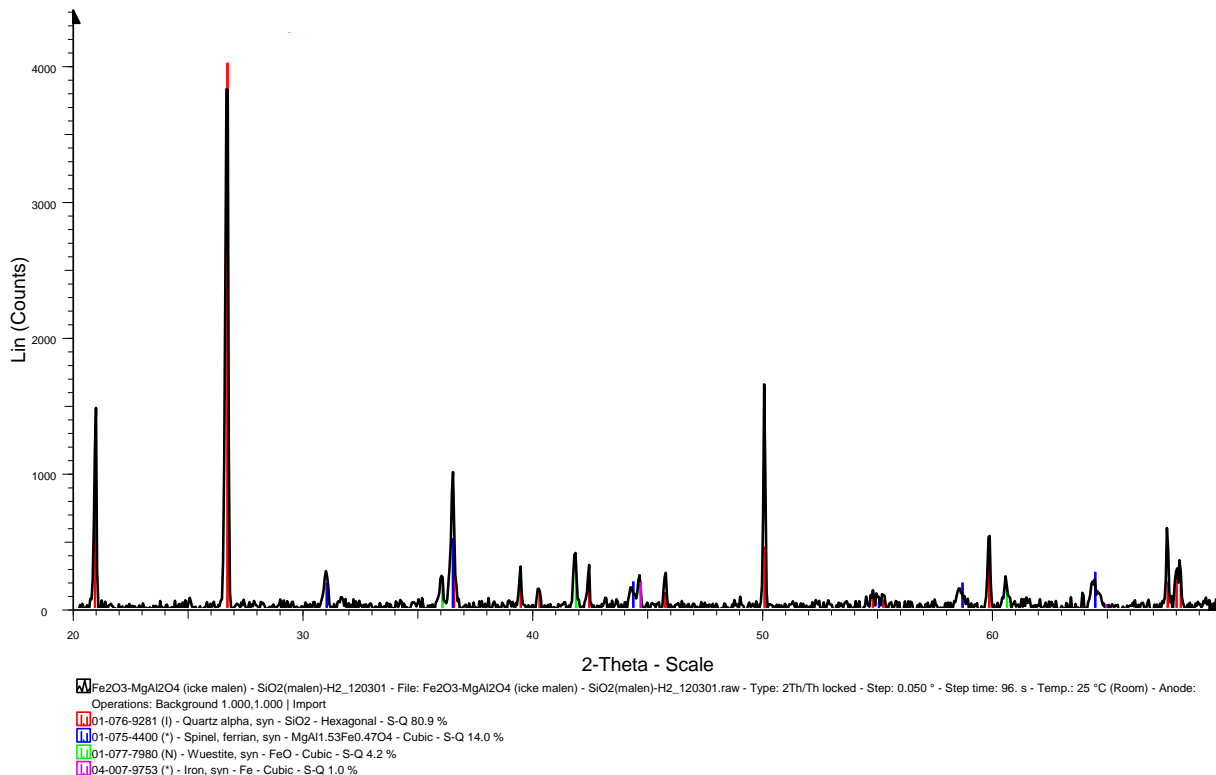
**FIGUR 76. FE<sub>2</sub>O<sub>3</sub>/MgAl<sub>2</sub>O<sub>4</sub> - CACO<sub>3</sub> - H2**



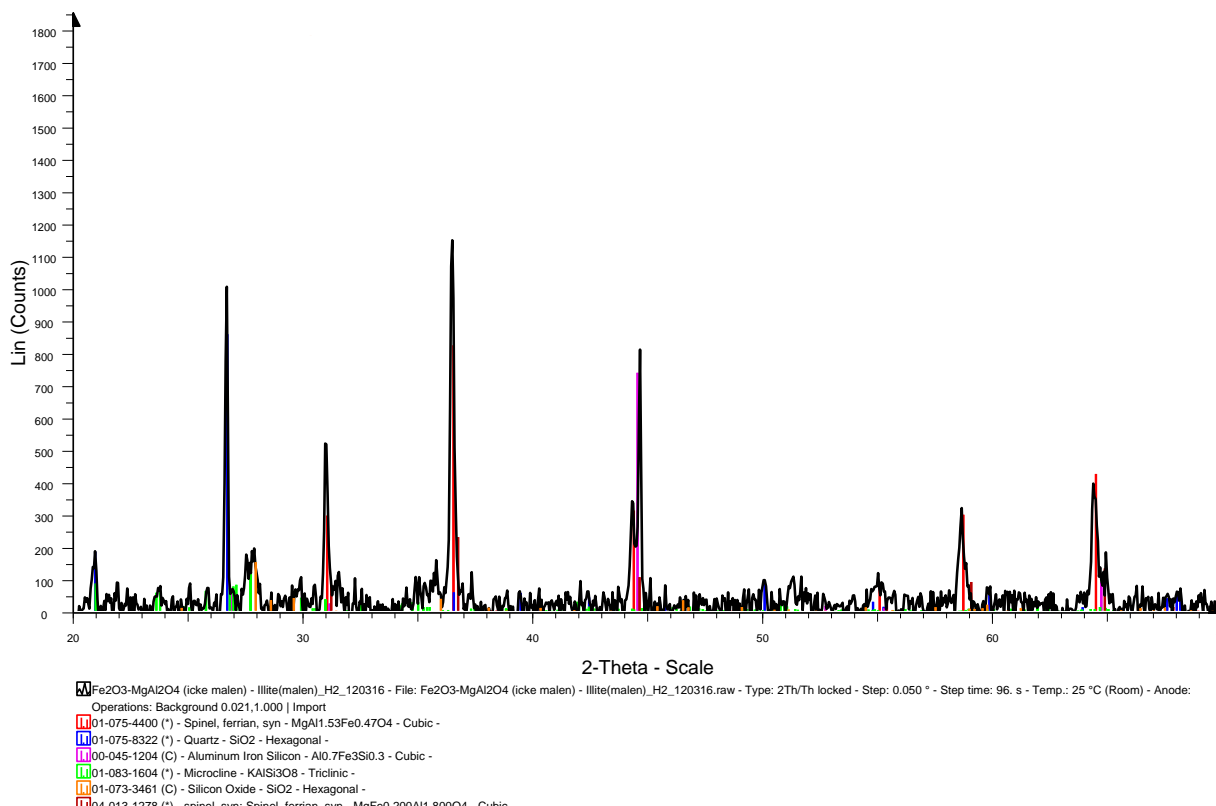
**FIGUR 77. FE<sub>2</sub>O<sub>3</sub>/MgAl<sub>2</sub>O<sub>4</sub> - CaCO<sub>3</sub> - LUFT**



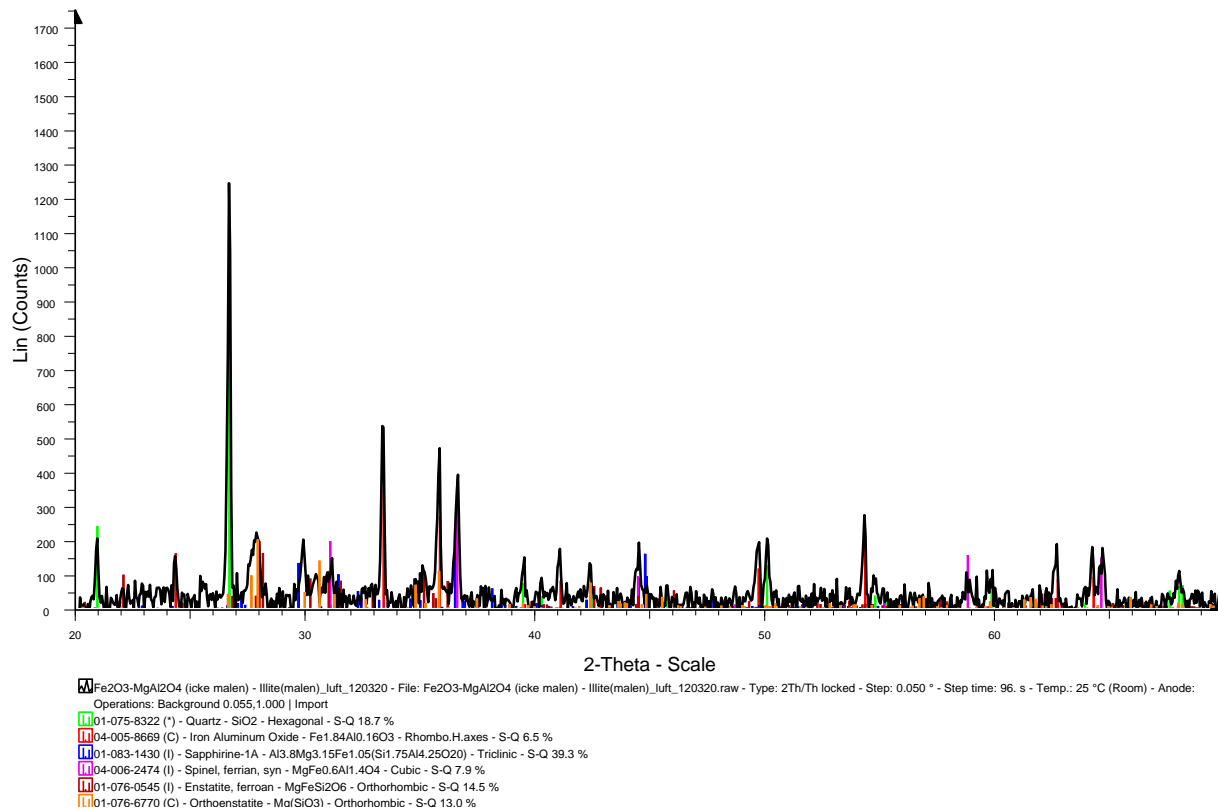
**FIGUR 78. FE<sub>2</sub>O<sub>3</sub>/MgAl<sub>2</sub>O<sub>4</sub> - SiO<sub>2</sub> - LUFT**



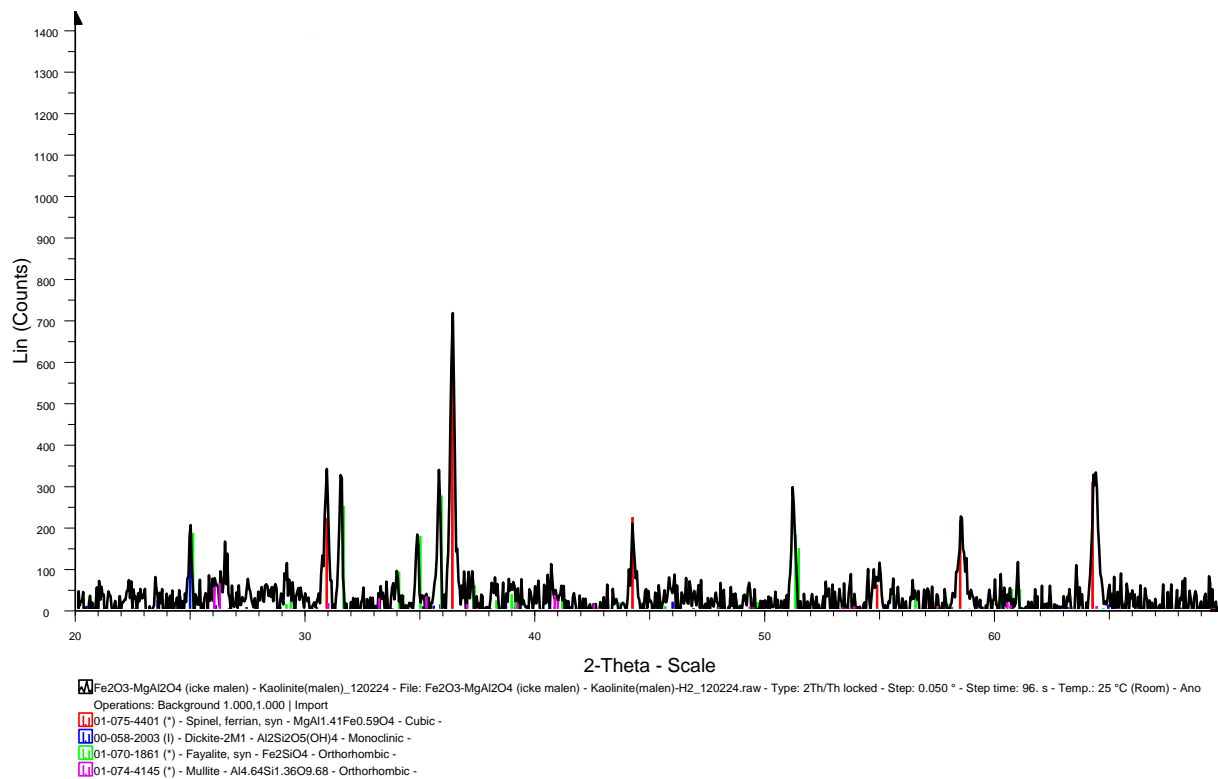
**FIGUR 79. FE2O3/MGAL2O4 - SiO2 - H2**



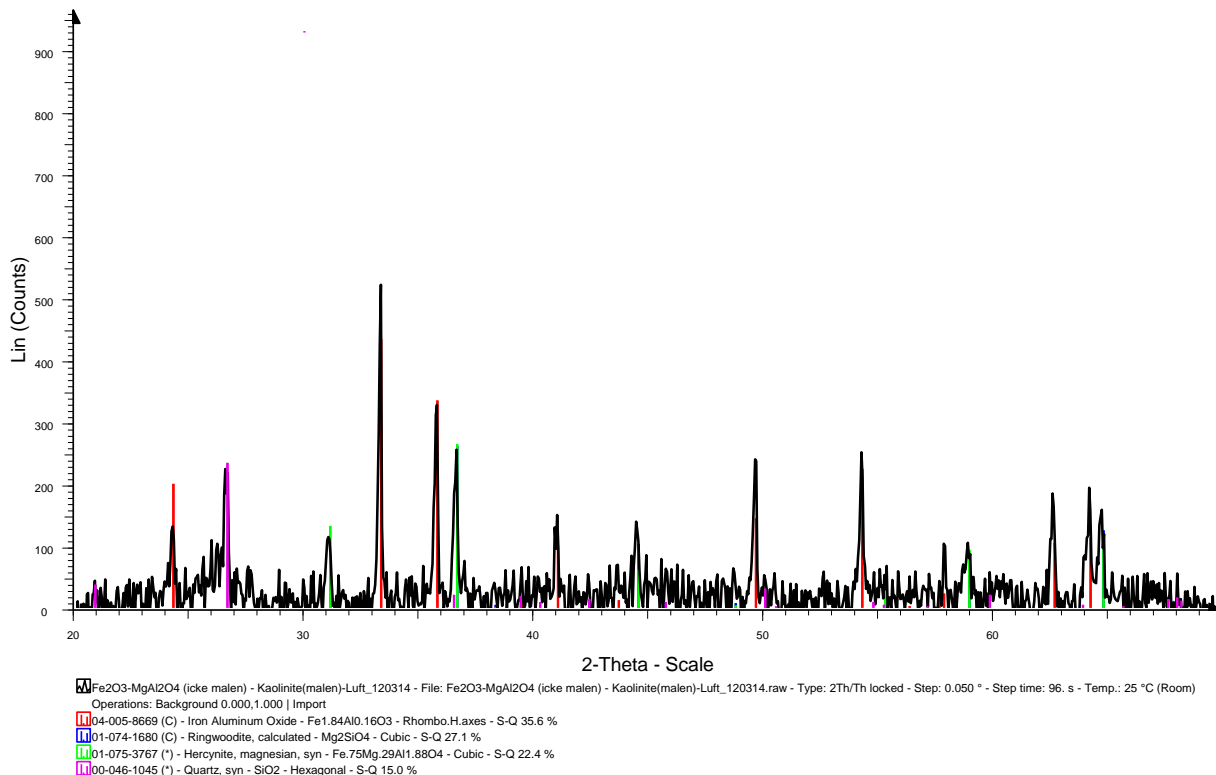
**FIGUR 80. FE2O3/MGAL2O4 - ILLIT - H2**



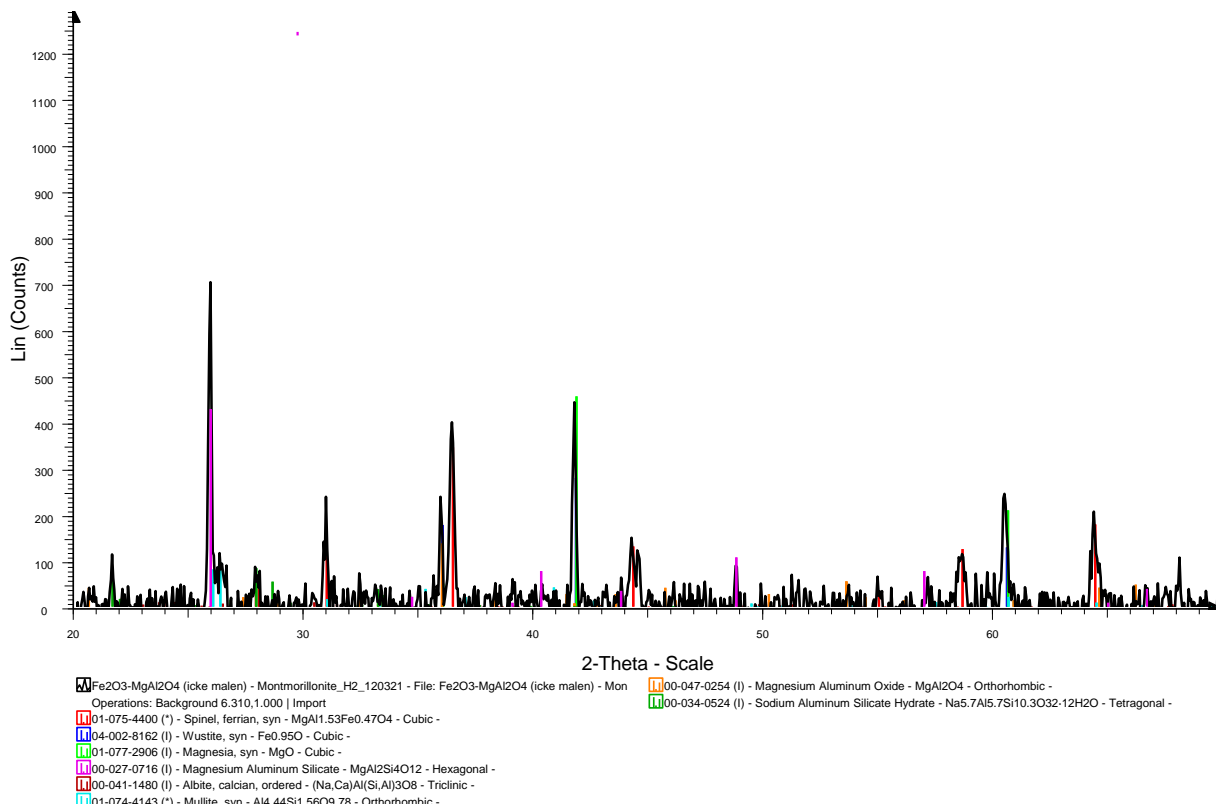
**FIGUR 81. FE<sub>2</sub>O<sub>3</sub>/MgAl<sub>2</sub>O<sub>4</sub> - ILLIT - LUFT**



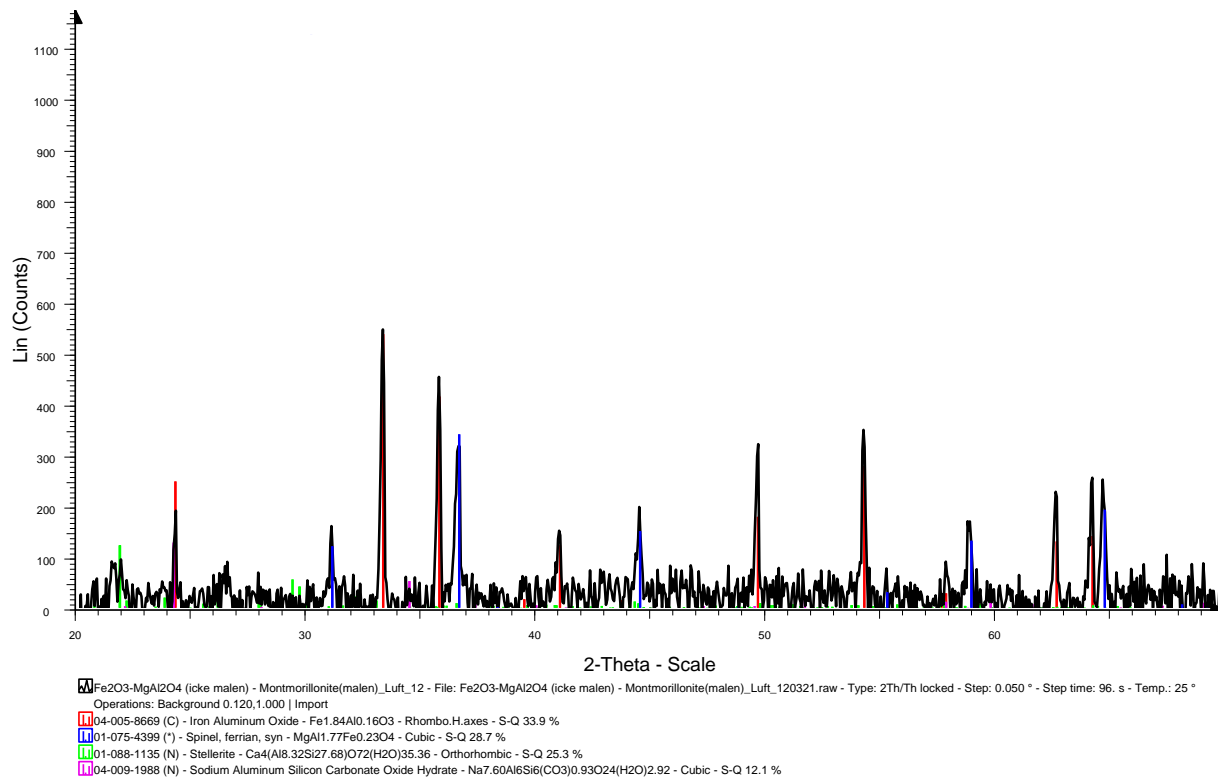
**FIGUR 82. FE<sub>2</sub>O<sub>3</sub>/MgAl<sub>2</sub>O<sub>4</sub> - KAOLINIT - H2**



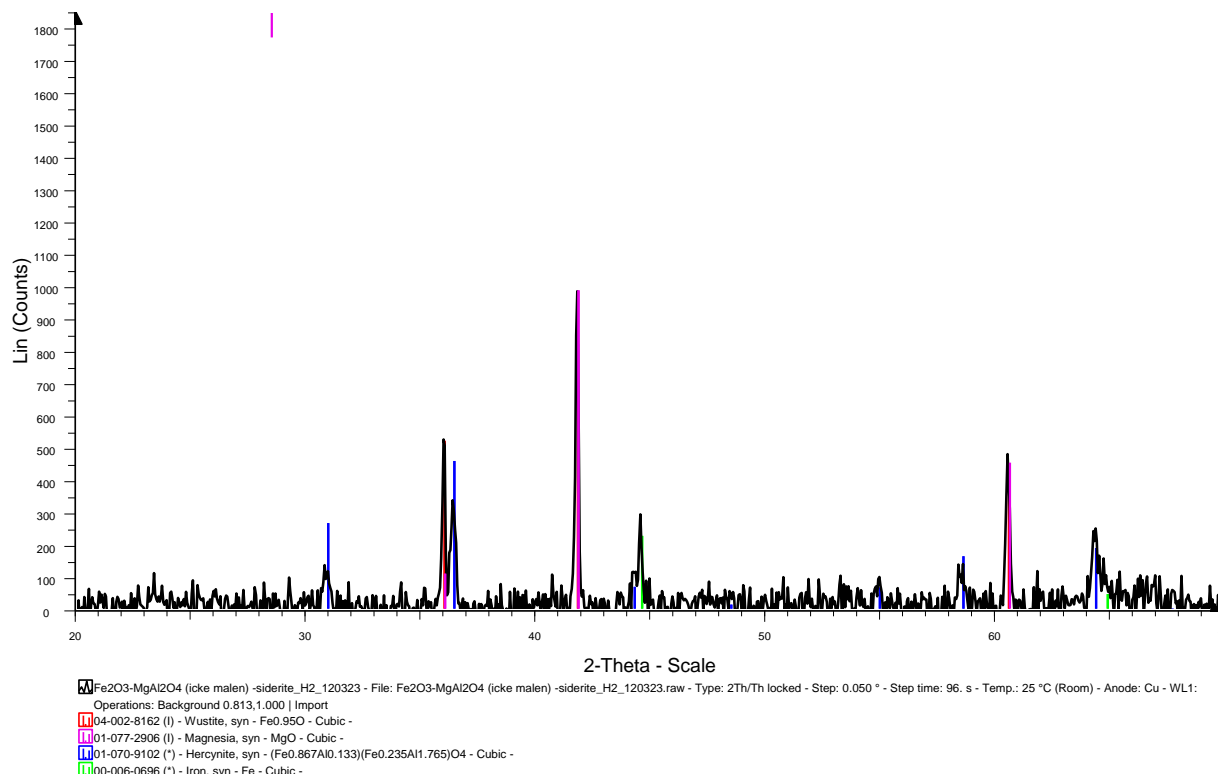
**FIGUR 83. FE<sub>2</sub>O<sub>3</sub>/MgAl<sub>2</sub>O<sub>4</sub> - KAOLINIT – LUFT**



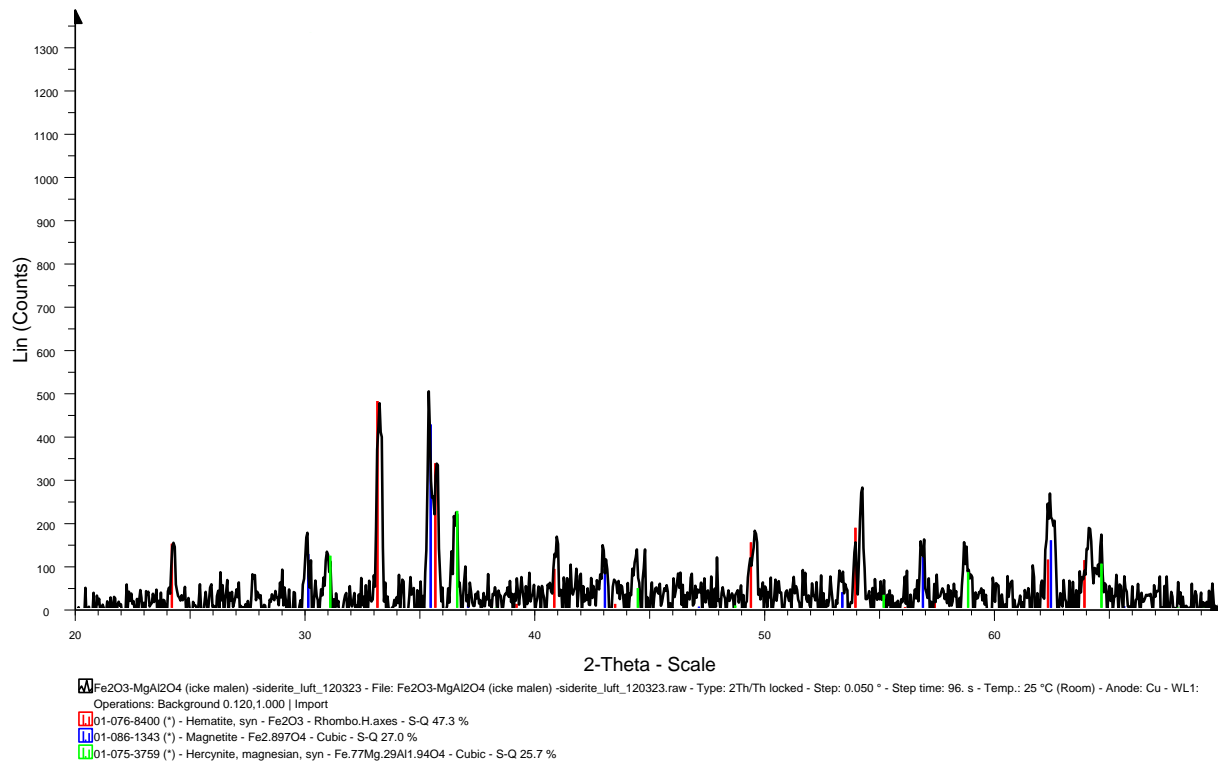
**FIGUR 84. FE<sub>2</sub>O<sub>3</sub>/MgAl<sub>2</sub>O<sub>4</sub> - MONTMORILLONIT - H2**



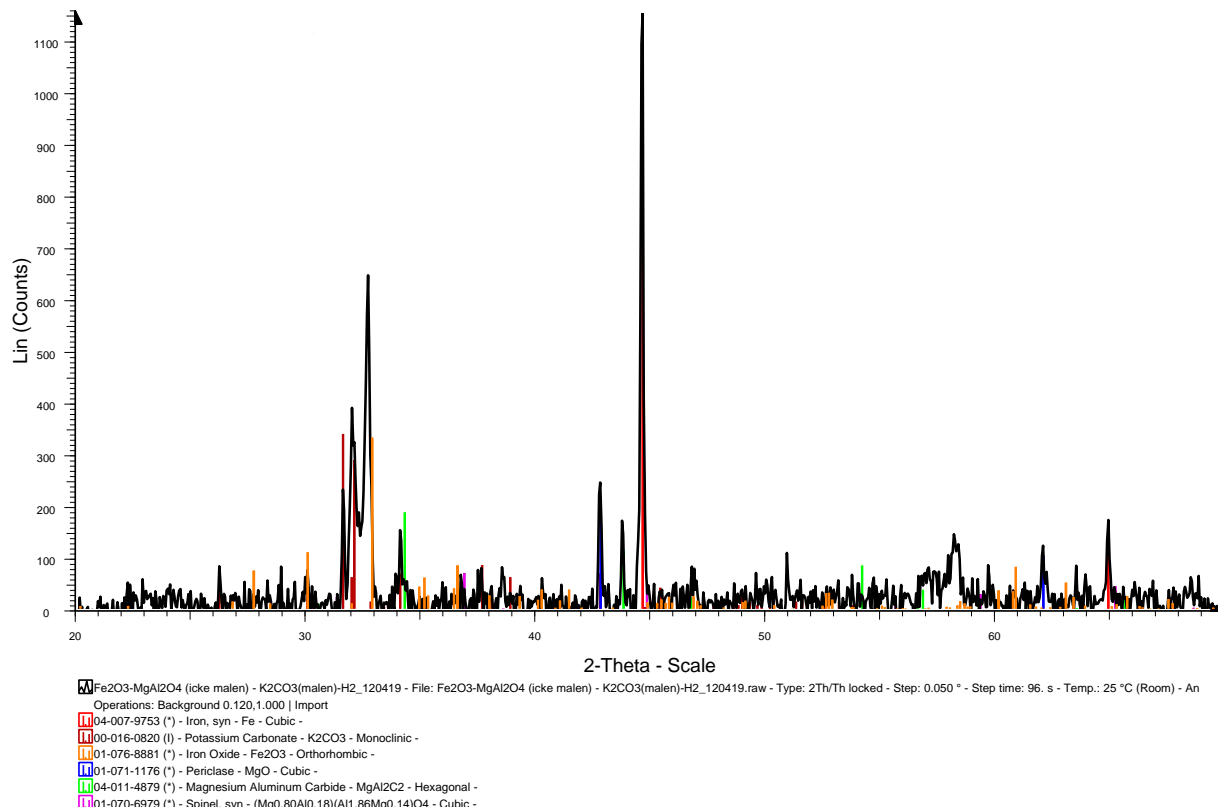
**FIGUR 85. FE<sub>2</sub>O<sub>3</sub>/MgAl<sub>2</sub>O<sub>4</sub> - MONTMORILLONIT - LUFT**



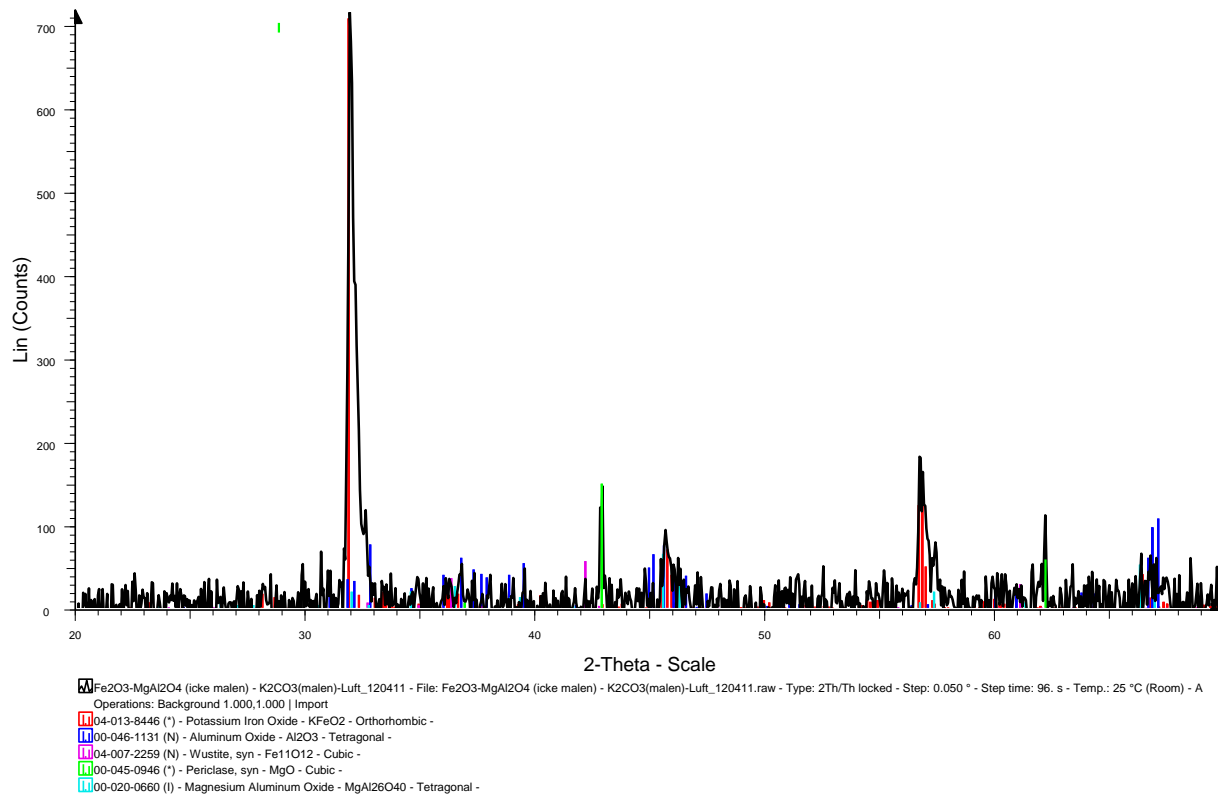
**FIGUR 86. FE<sub>2</sub>O<sub>3</sub>/MgAl<sub>2</sub>O<sub>4</sub> - SIDERIT - H2**



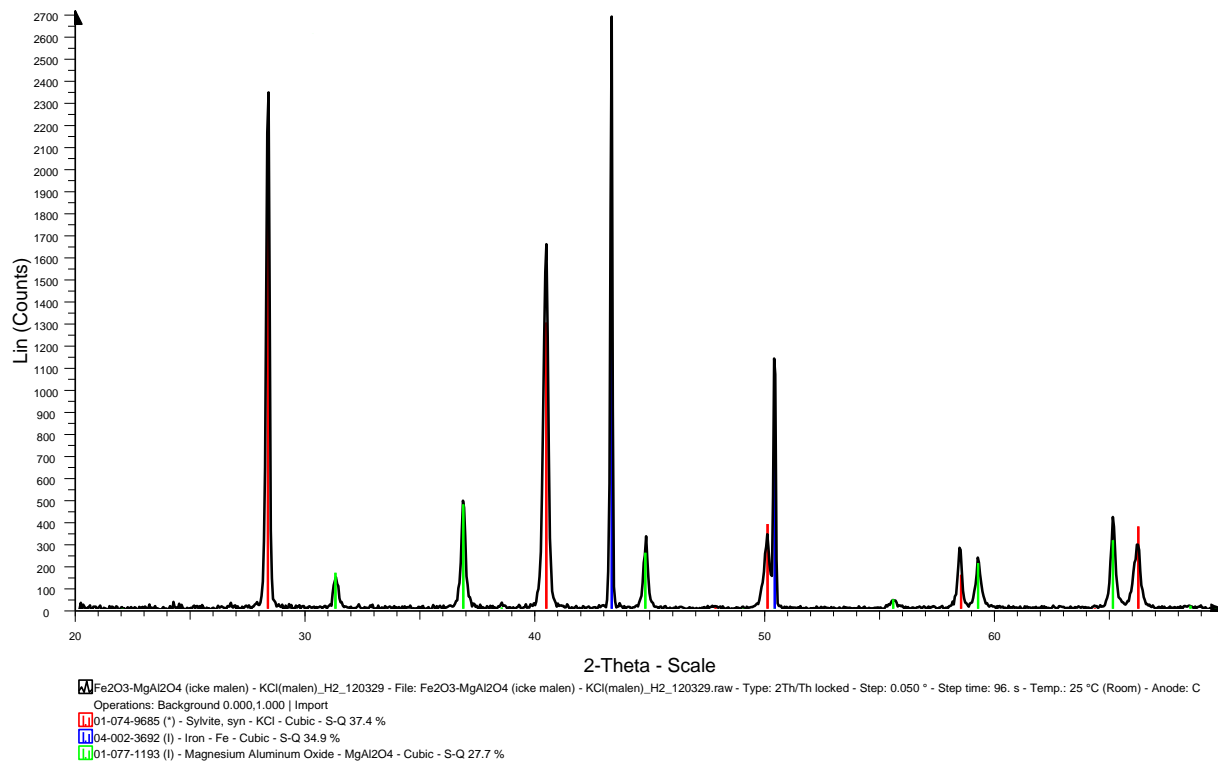
**FIGUR 87. FE<sub>2</sub>O<sub>3</sub>/MgAl<sub>2</sub>O<sub>4</sub> -SIDERIT - LUFT**



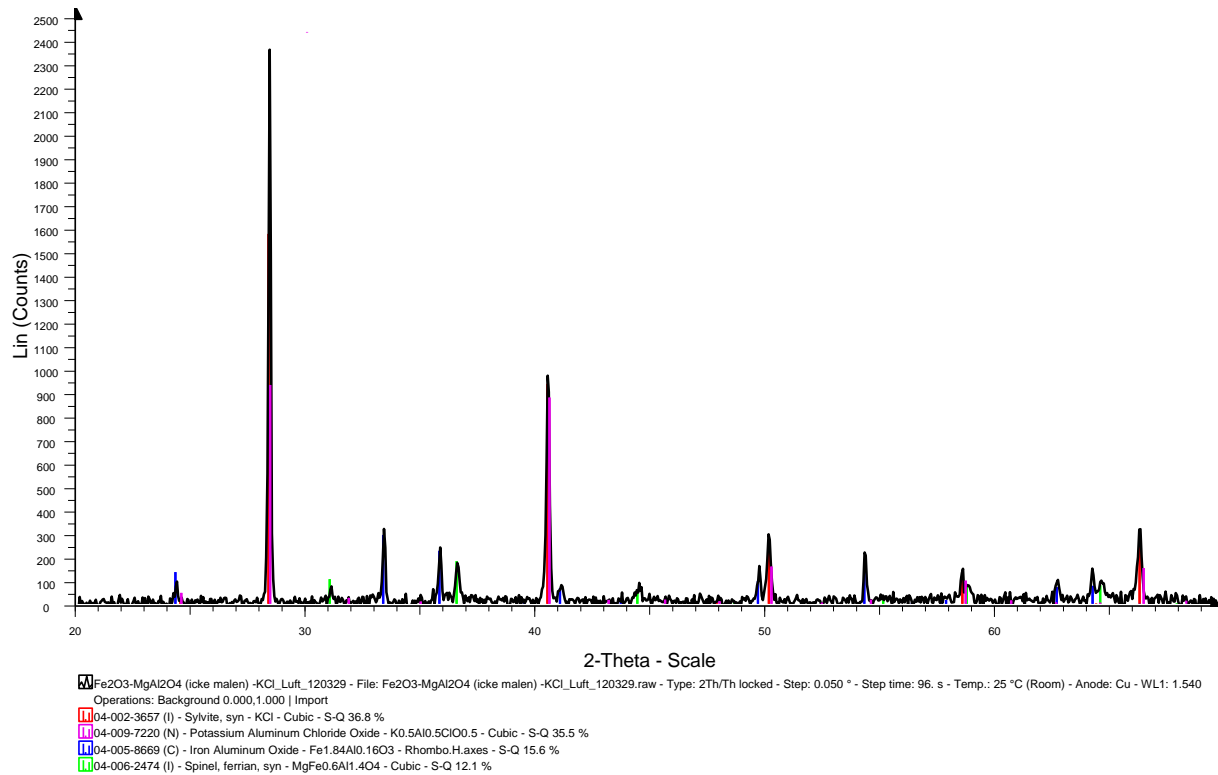
**FIGUR 88. FE<sub>2</sub>O<sub>3</sub>/MgAl<sub>2</sub>O<sub>4</sub> - K<sub>2</sub>CO<sub>3</sub> - H<sub>2</sub>**



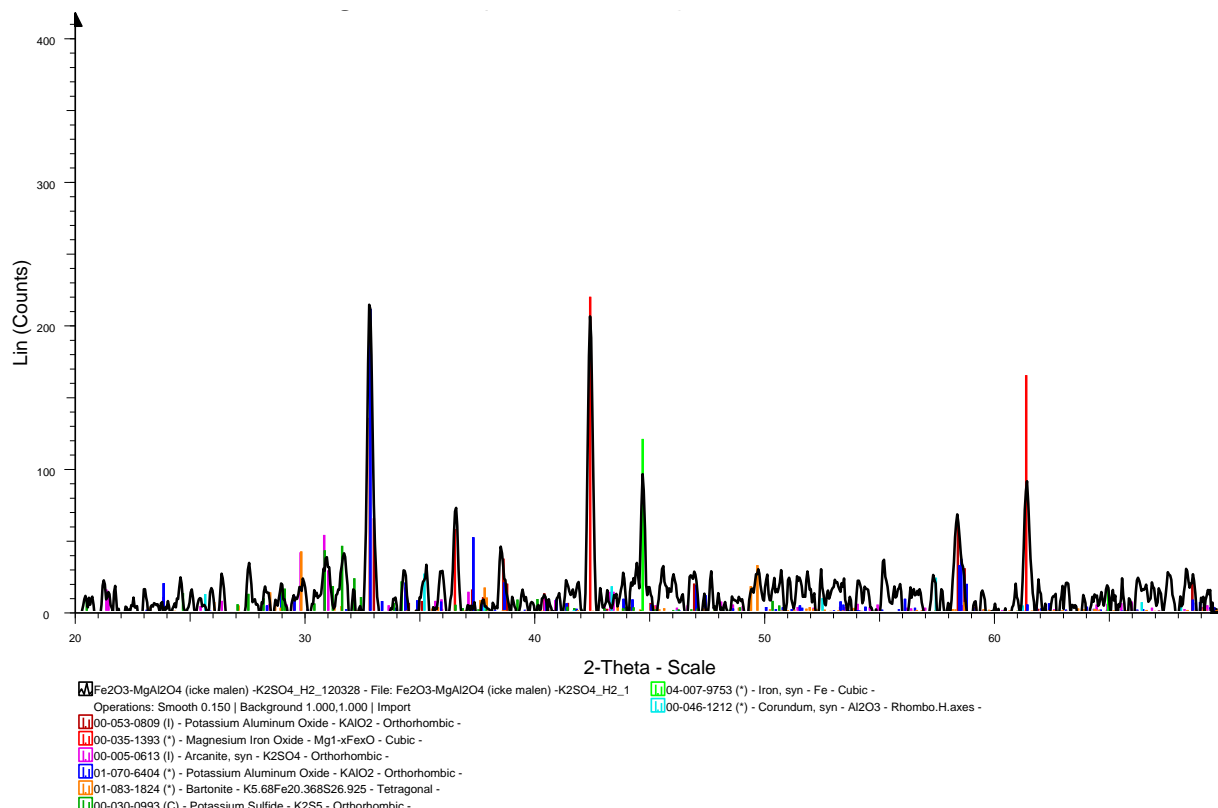
**FIGUR 89. FE2O3/MGAL2O4 - K2CO3 - LUFT**



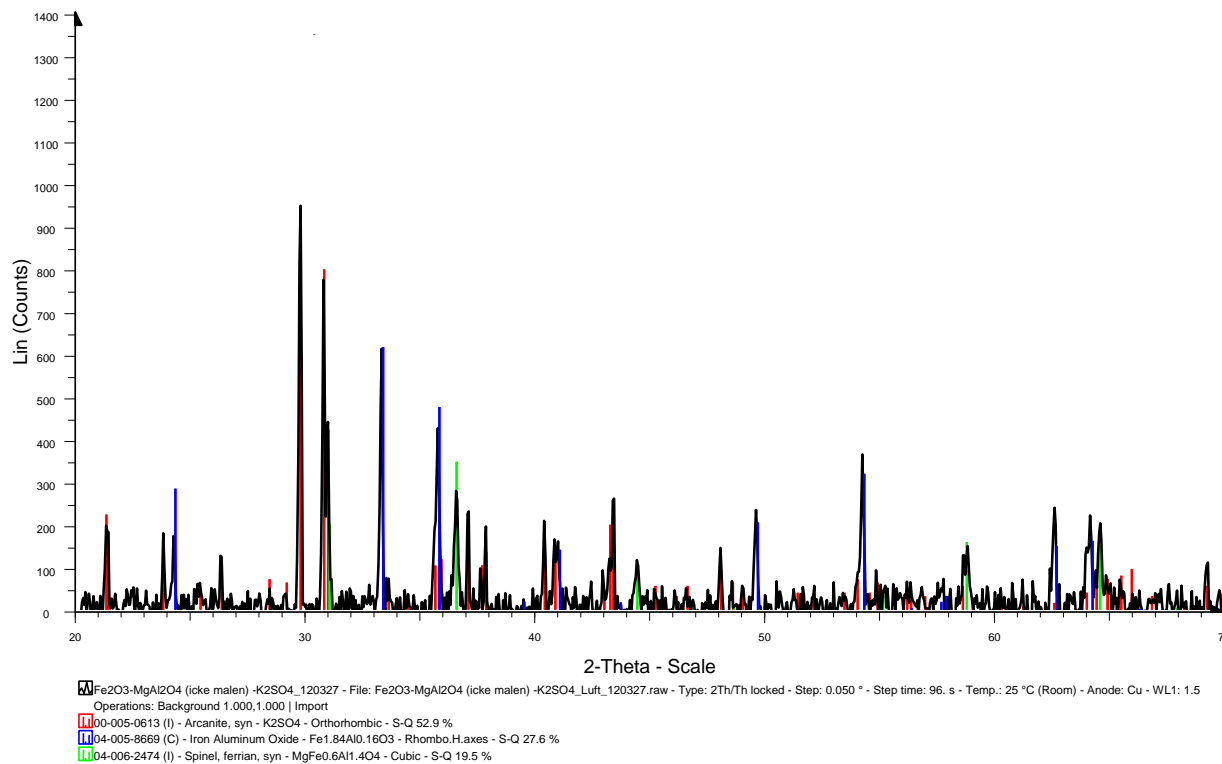
**FIGUR 90. FE2O3/MGAL2O4 - KCL - H2**



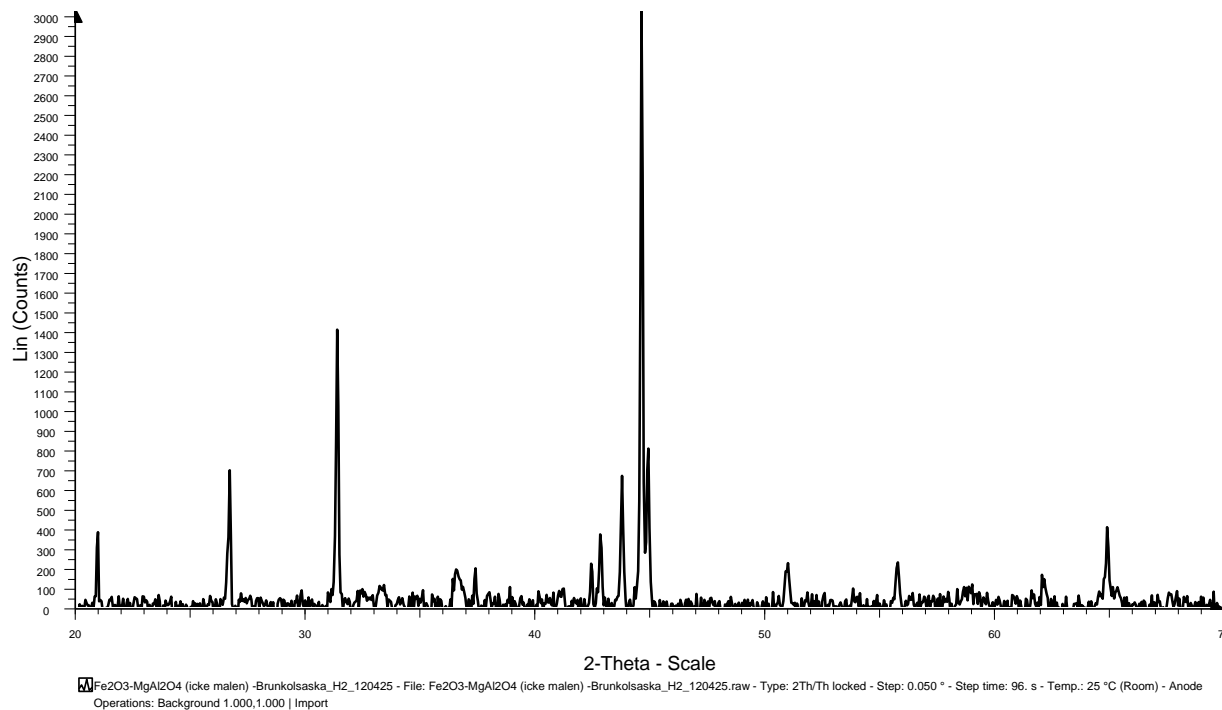
**FIGUR 91. FE2O3/MGAL2O4 -KCL - LUFT**



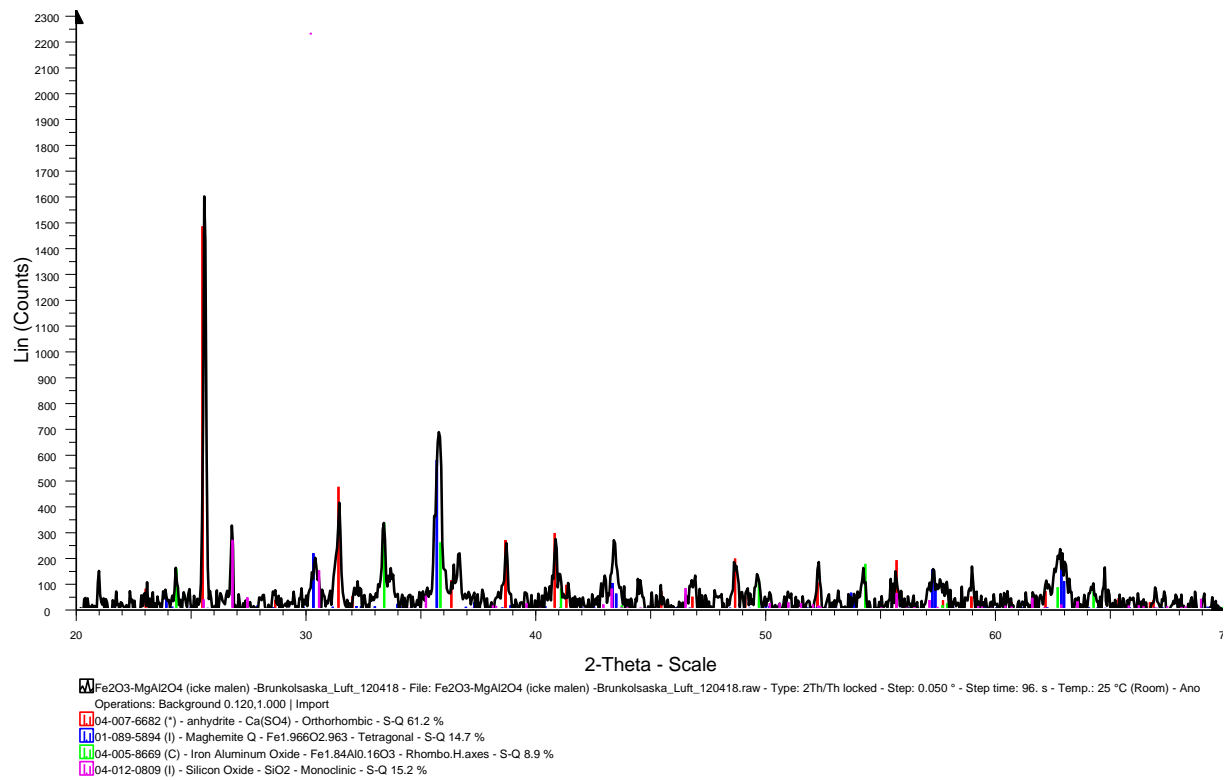
**FIGUR 92. FE2O3/MGAL2O4 -K2SO4 - H2**



**FIGUR 93. FE<sub>2</sub>O<sub>3</sub>-MgAl<sub>2</sub>O<sub>4</sub> (ICKE MALEN) -K<sub>2</sub>SO<sub>4</sub>\_LUFT**

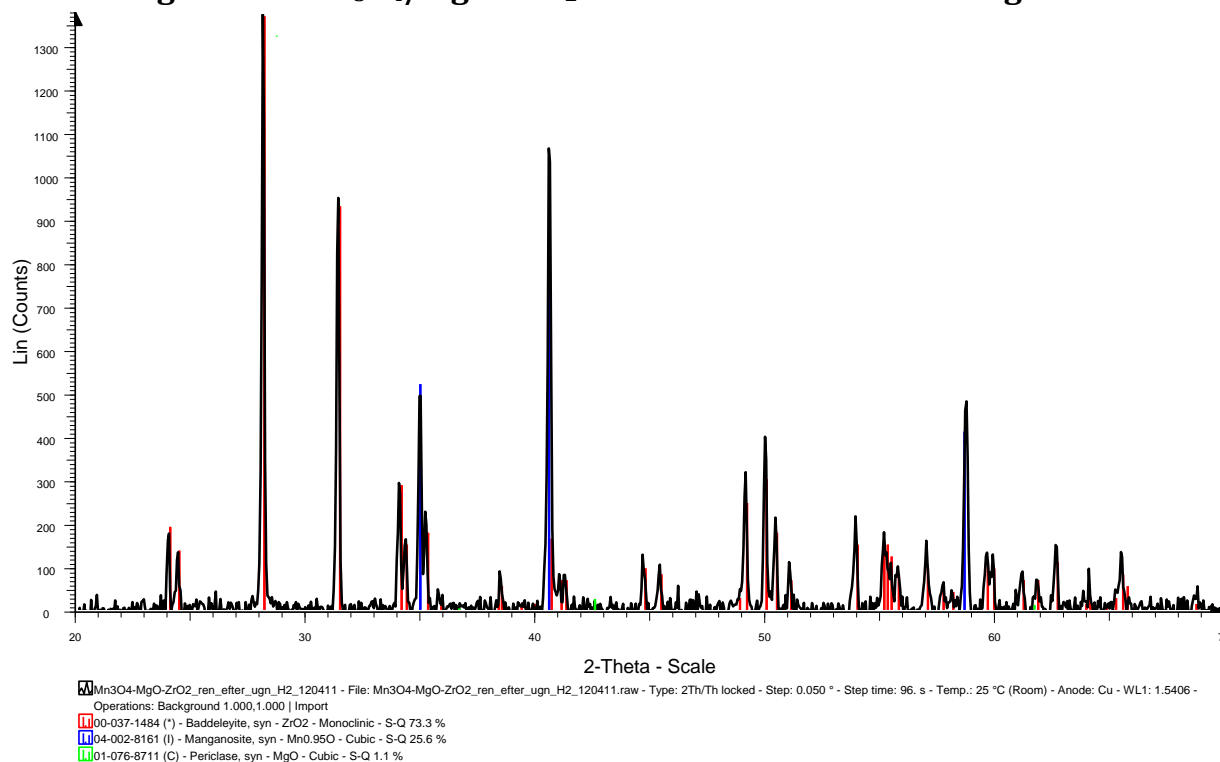


**FIGUR 94. FE<sub>2</sub>O<sub>3</sub>/MgAl<sub>2</sub>O<sub>4</sub> -BRUNKOLSASKA - H2**

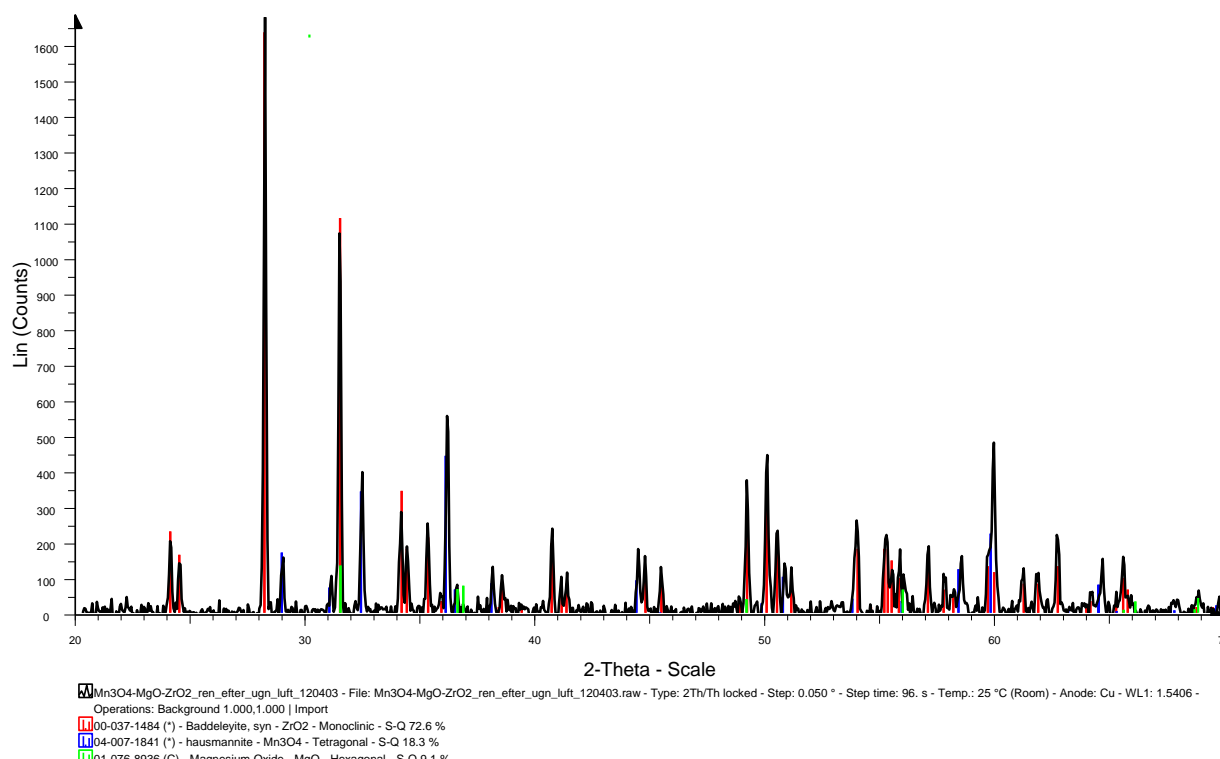


**FIGUR 95. FE<sub>2</sub>O<sub>3</sub>/MgAl<sub>2</sub>O<sub>4</sub> - BRUNKOLSASKA – LUFT**

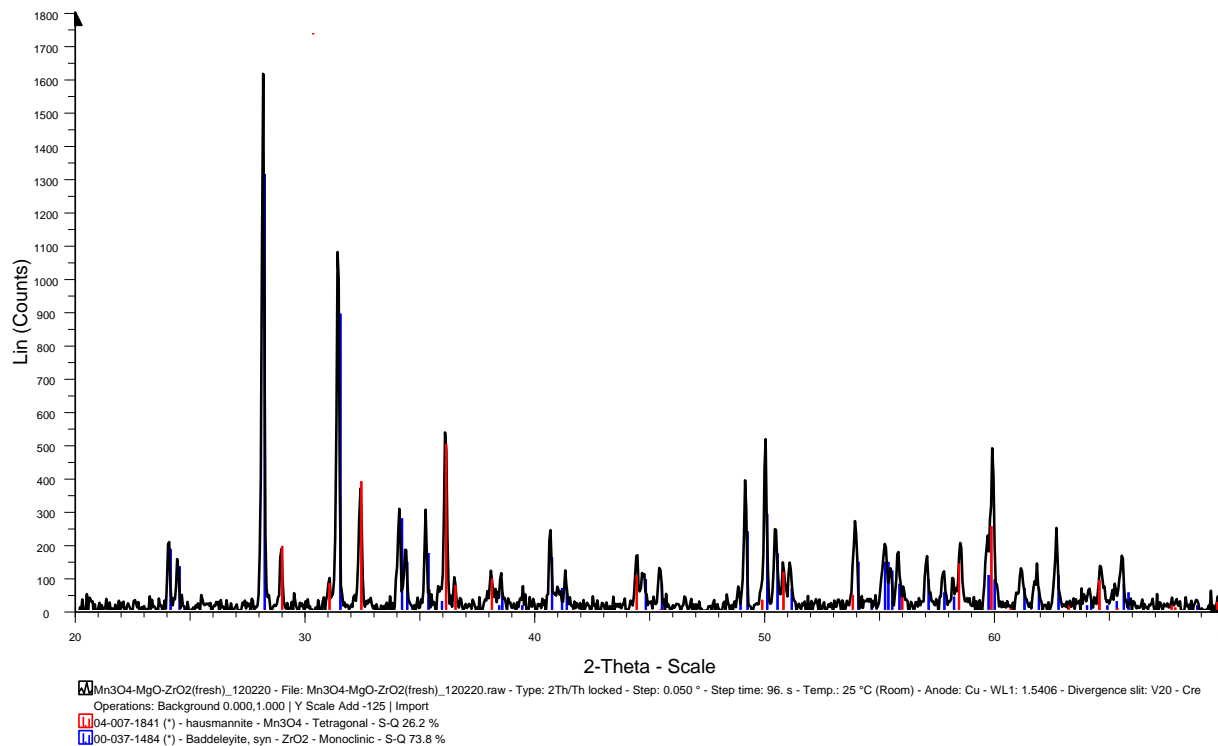
## Diffraktogram för Mn<sub>3</sub>O<sub>4</sub>/MgO-ZrO<sub>2</sub> dels ren och dels blandningar



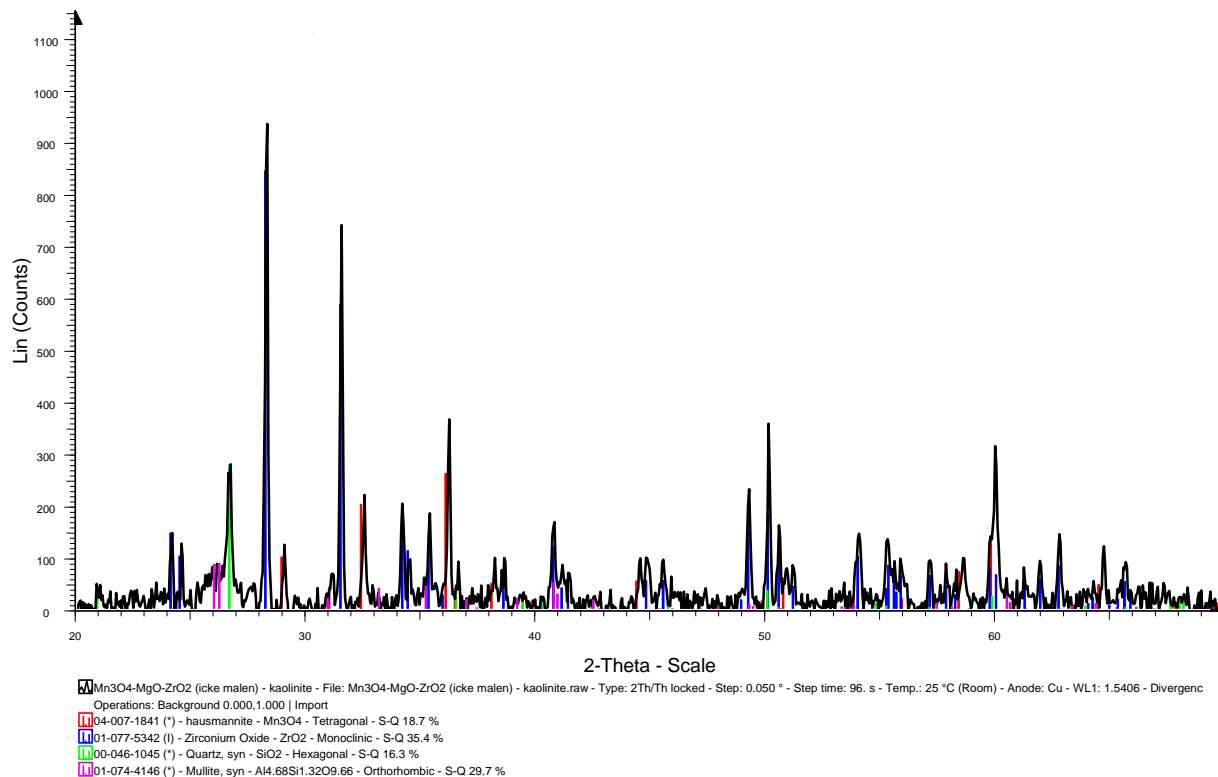
**FIGUR 96. Mn<sub>3</sub>O<sub>4</sub>/MgO-ZrO<sub>2</sub> - REN - H<sub>2</sub>**



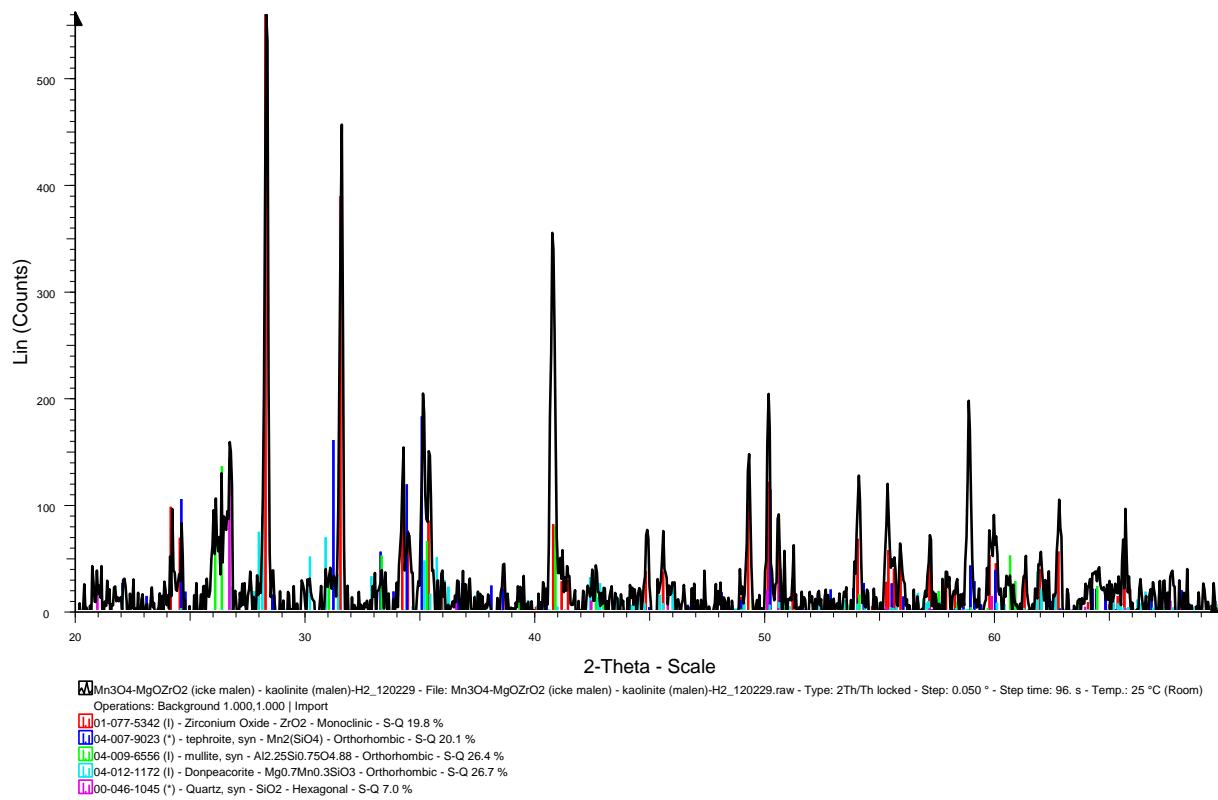
**FIGUR 97. Mn<sub>3</sub>O<sub>4</sub>/MgO-ZrO<sub>2</sub> - REN – LUFT**



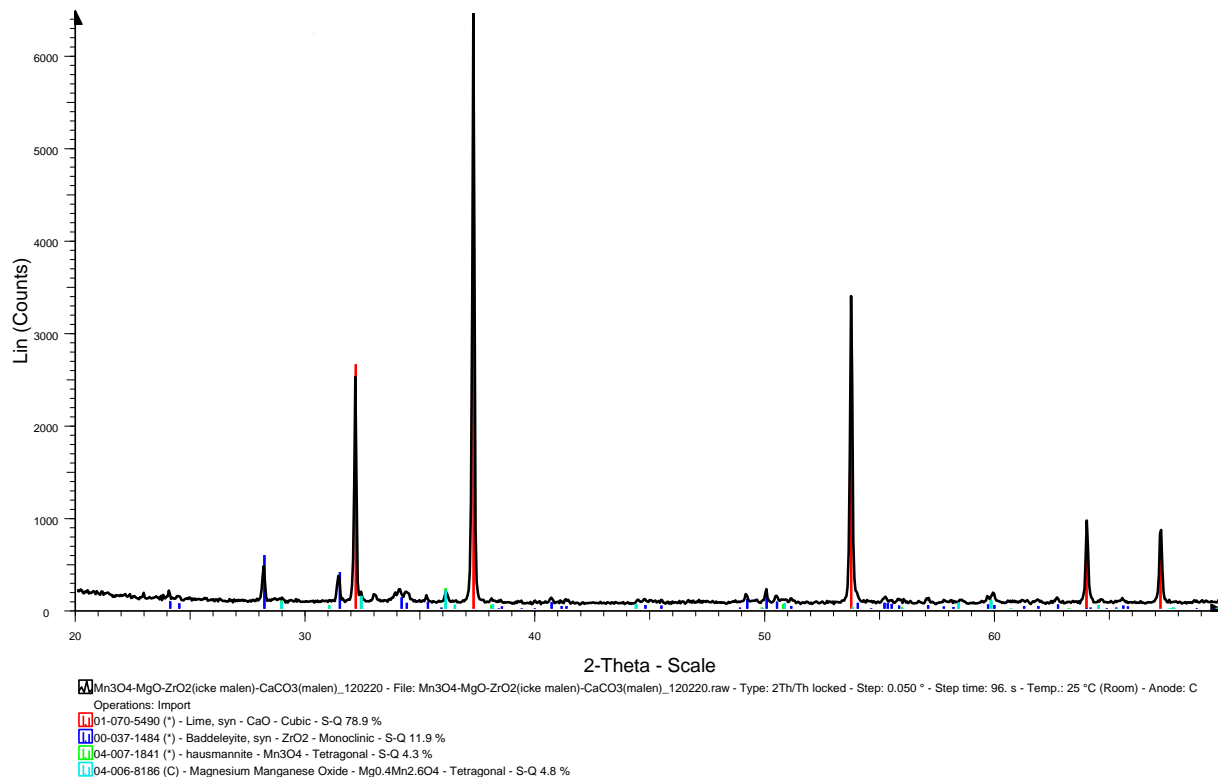
**FIGUR 98. MN3O4/MGO-ZRO2 – REN**



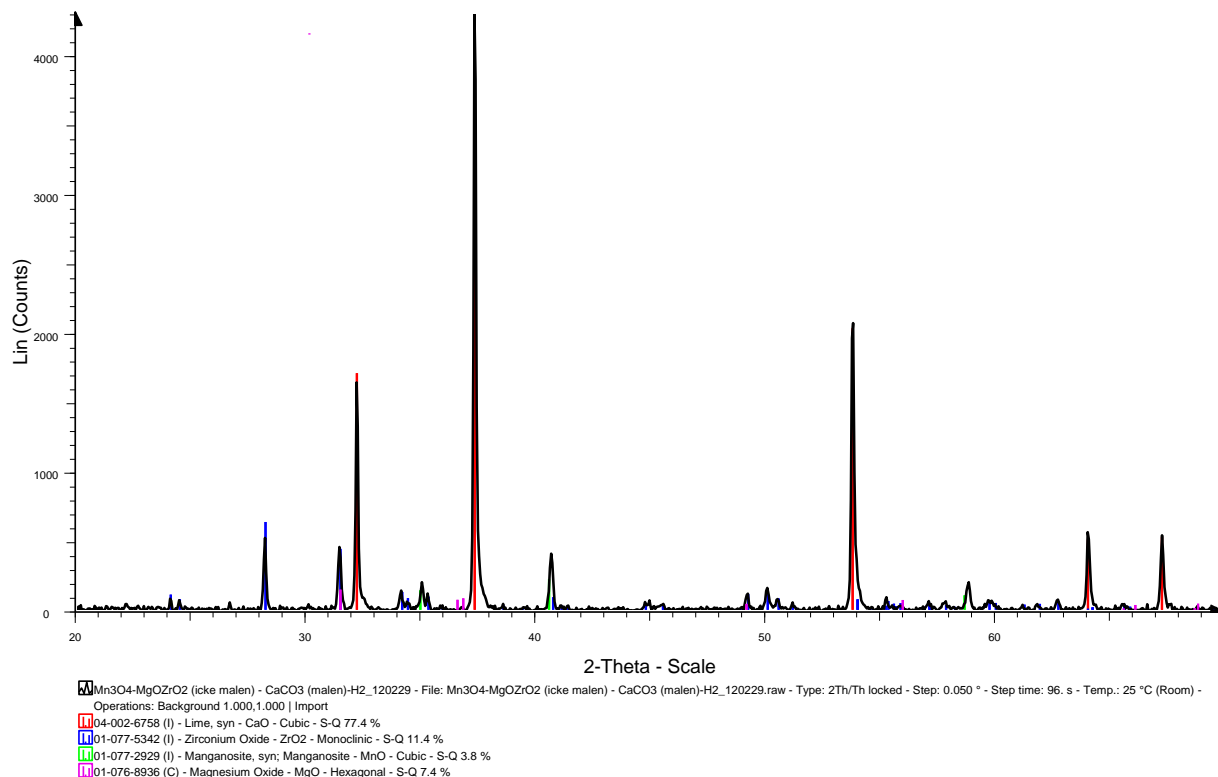
**FIGUR 99. MN3O4/MGO-ZRO2 - KAOLINIT - LUFT**



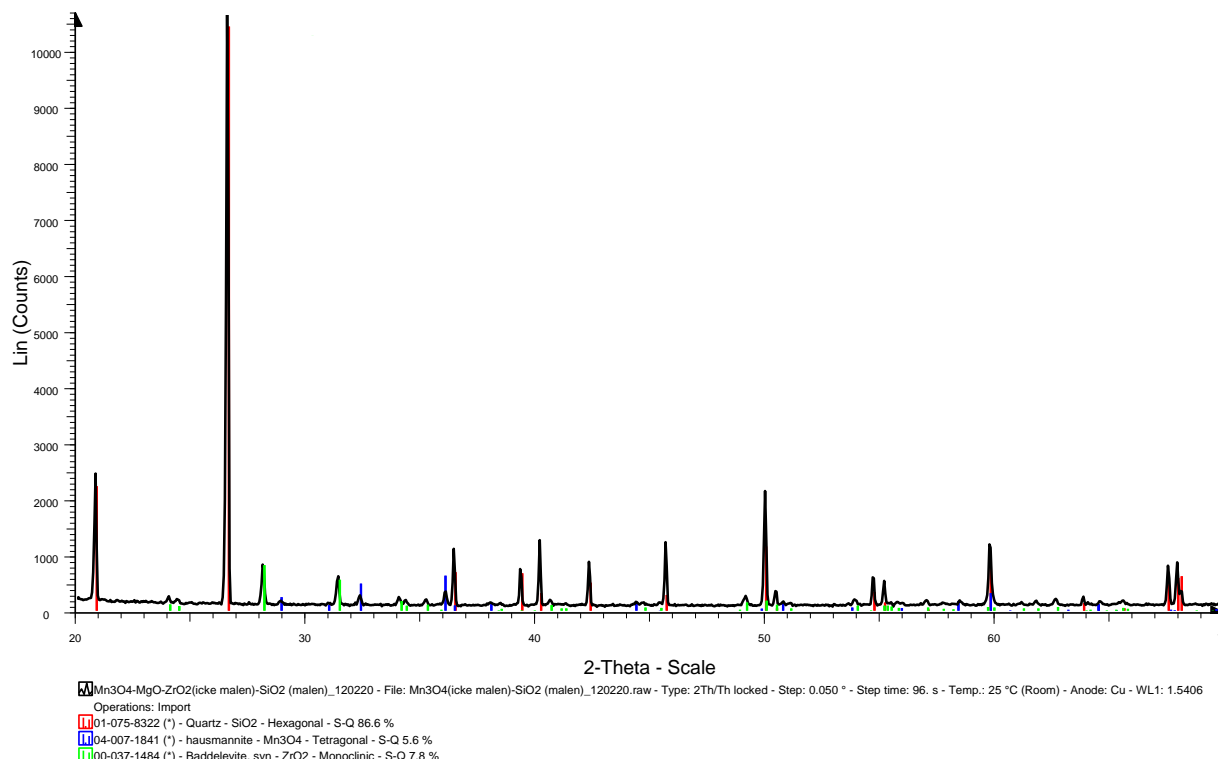
**FIGUR 100. Mn<sub>3</sub>O<sub>4</sub>/MgO-ZrO<sub>2</sub> - KAOLINIT - H2**



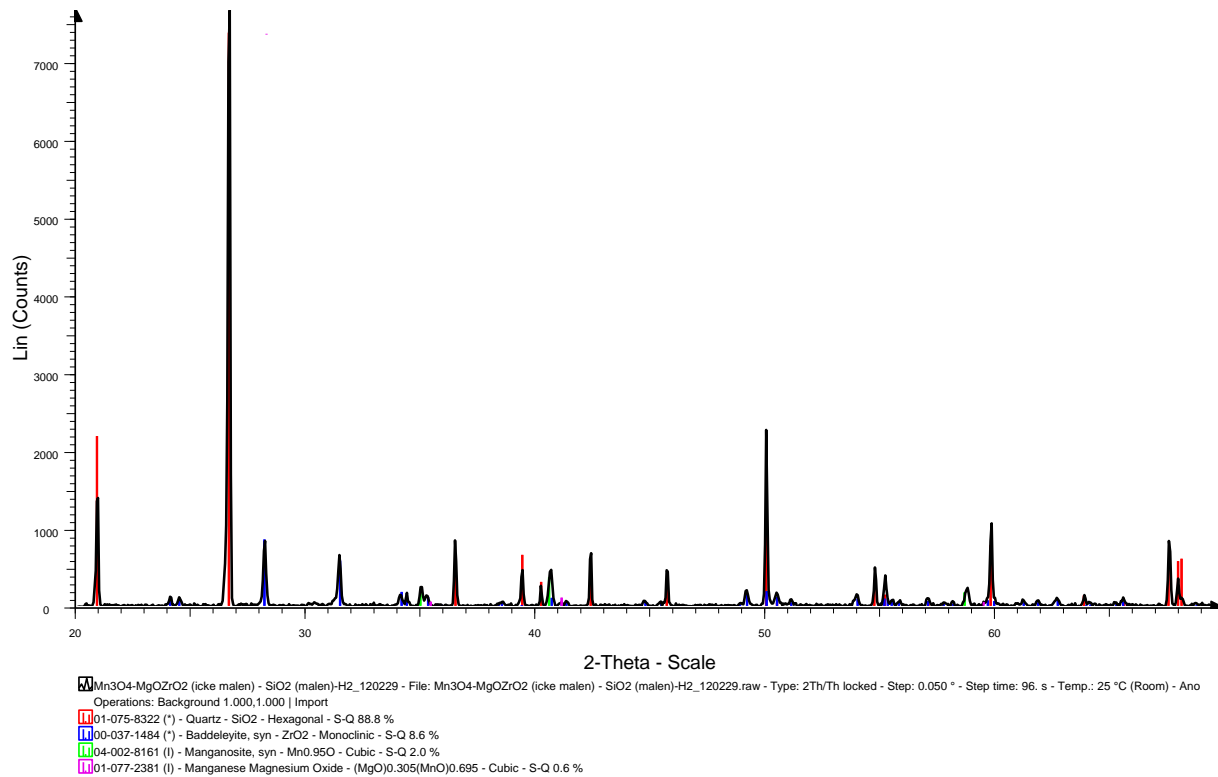
**FIGUR 101. Mn<sub>3</sub>O<sub>4</sub>/MgO-ZrO<sub>2</sub> - CaCO<sub>3</sub> - LUFT**



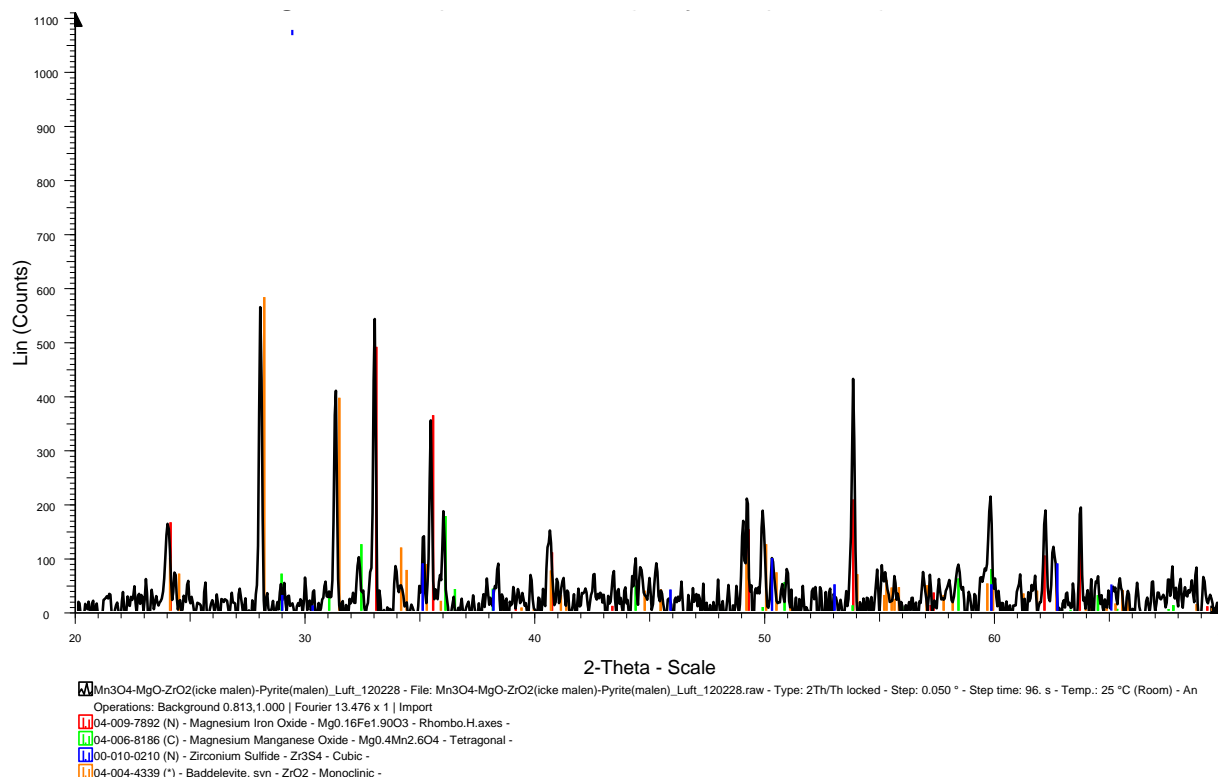
**FIGUR 102. Mn<sub>3</sub>O<sub>4</sub>/MgO-ZrO<sub>2</sub> - CaCO<sub>3</sub> - H<sub>2</sub>**



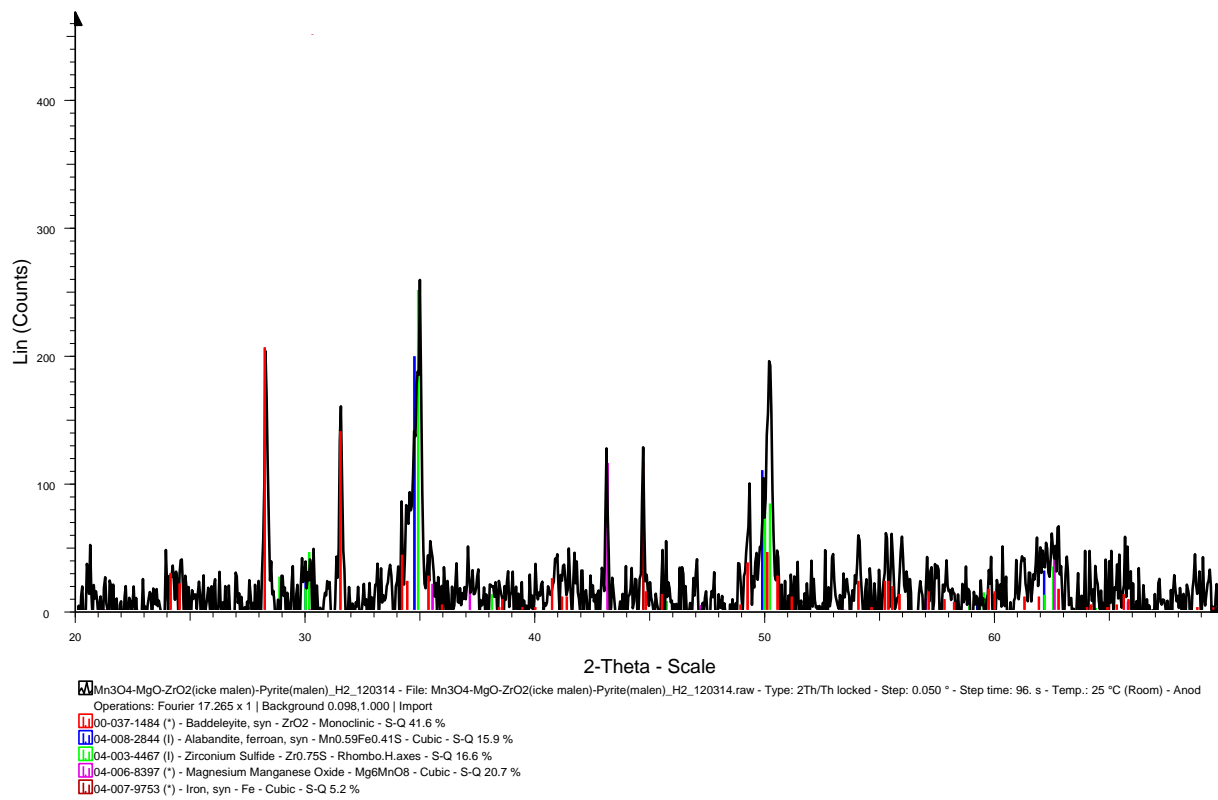
**FIGUR 103. Mn<sub>3</sub>O<sub>4</sub>/MgO-ZrO<sub>2</sub> - SiO<sub>2</sub> - LUFT**



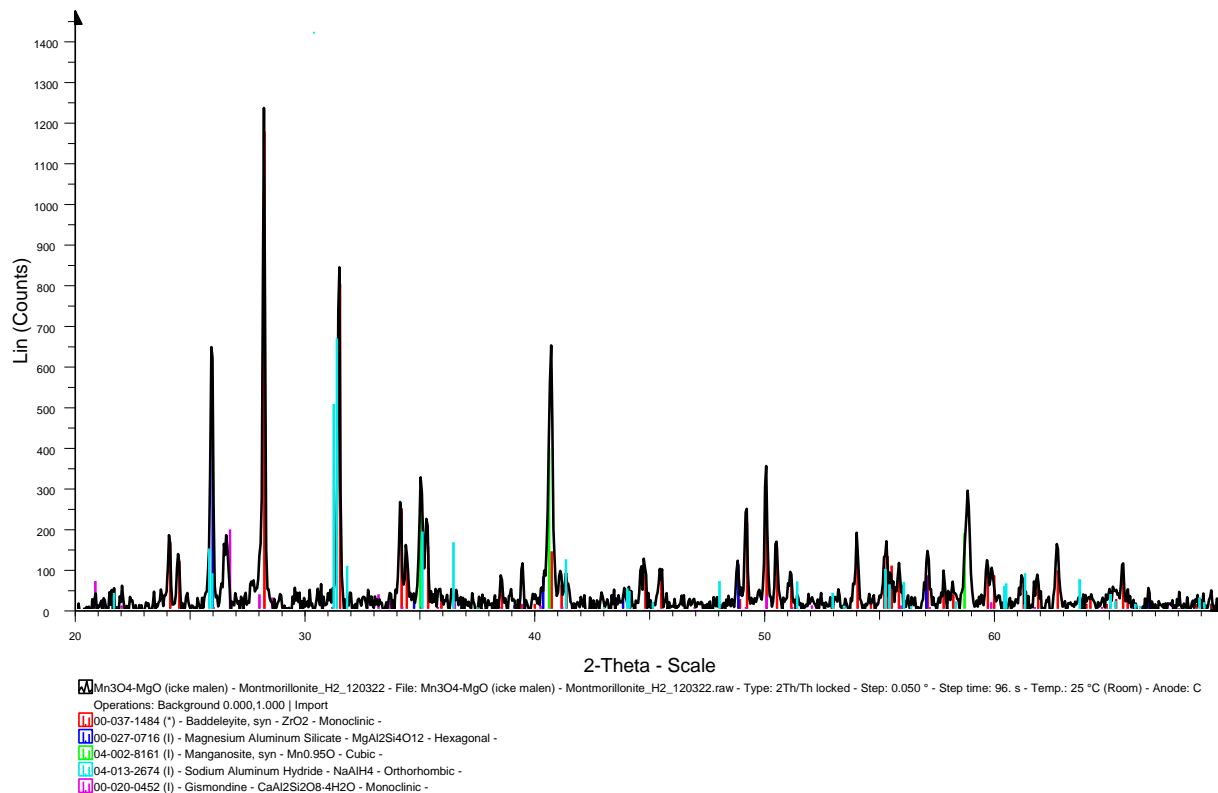
**FIGUR 104. Mn<sub>3</sub>O<sub>4</sub>/MgO-ZrO<sub>2</sub> - SiO<sub>2</sub> - H<sub>2</sub>**



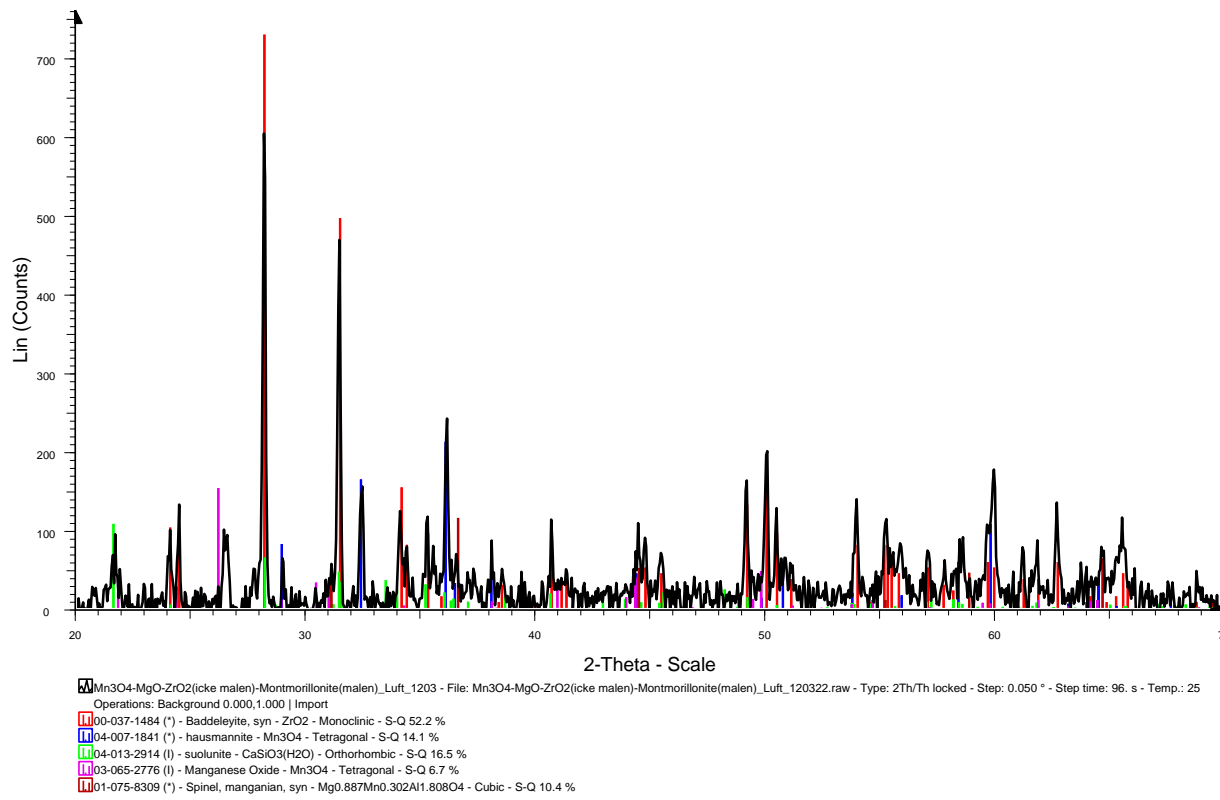
**FIGUR 105. Mn<sub>3</sub>O<sub>4</sub>/MgO-ZrO<sub>2</sub> - PYRIT - LUFT**



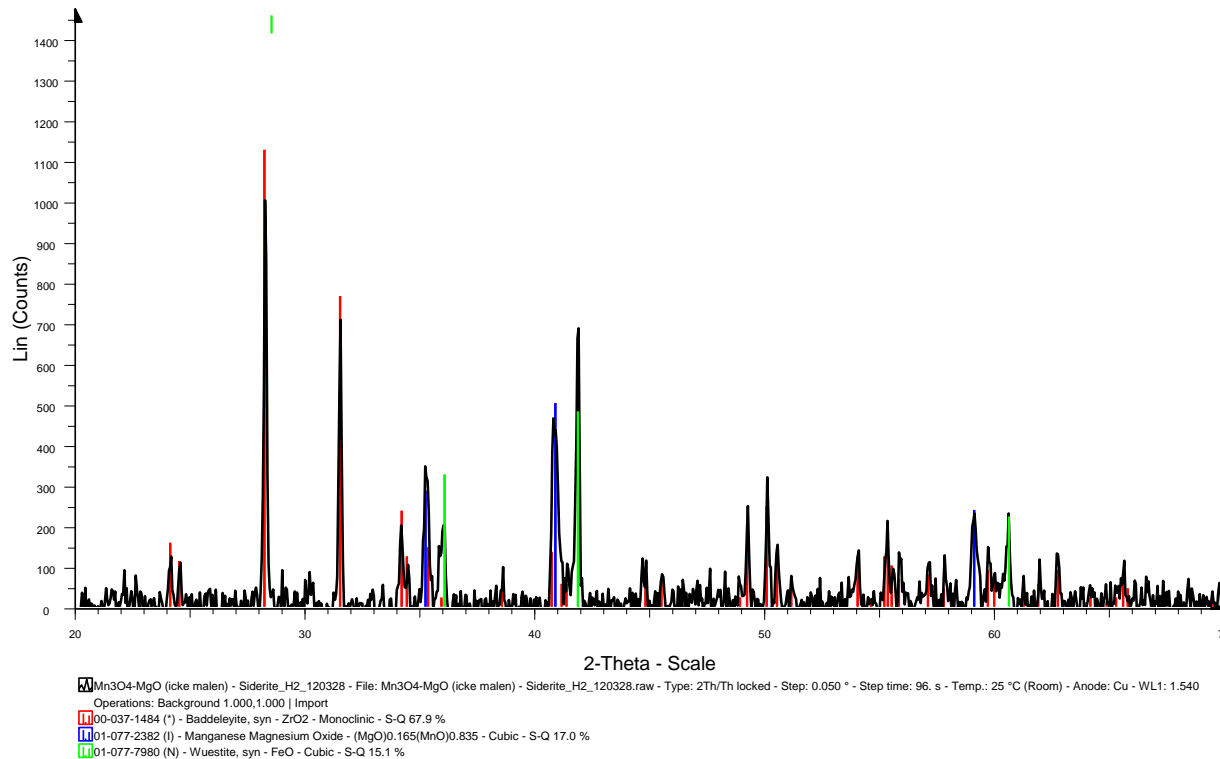
**FIGUR 106. Mn<sub>3</sub>O<sub>4</sub>/MgO-ZrO<sub>2</sub> - PYRIT - H2**



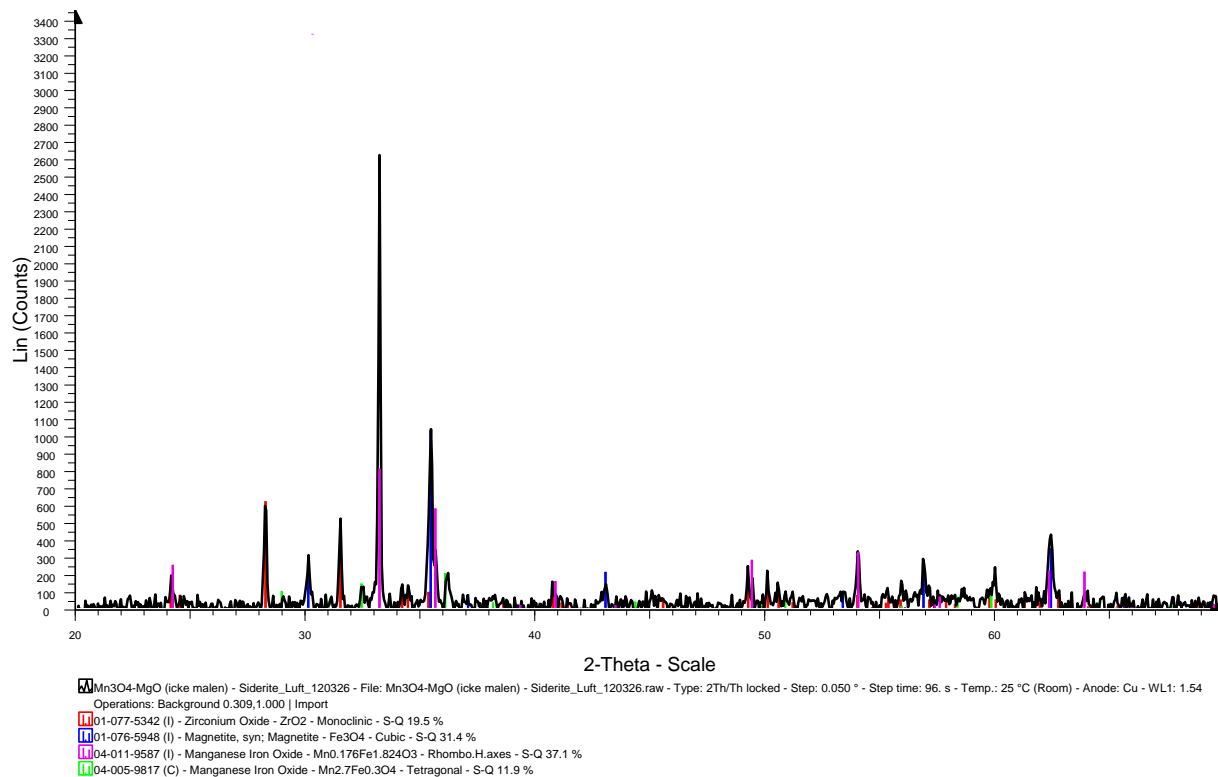
**FIGUR 107. Mn<sub>3</sub>O<sub>4</sub>/MgO-ZrO<sub>2</sub> - MONTMORILLONIT - H2**



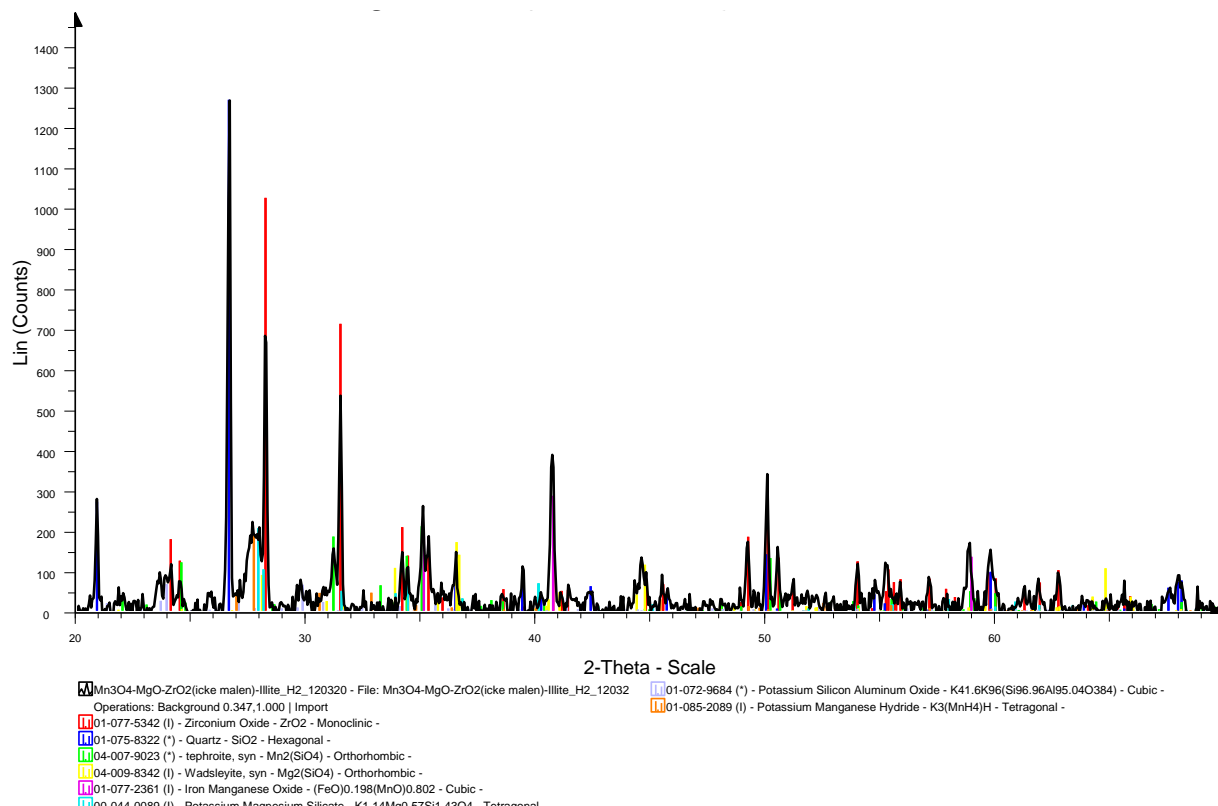
**FIGUR 108. Mn<sub>3</sub>O<sub>4</sub>/MgO-ZrO<sub>2</sub> - MONTMORILLONIT - LUFT**



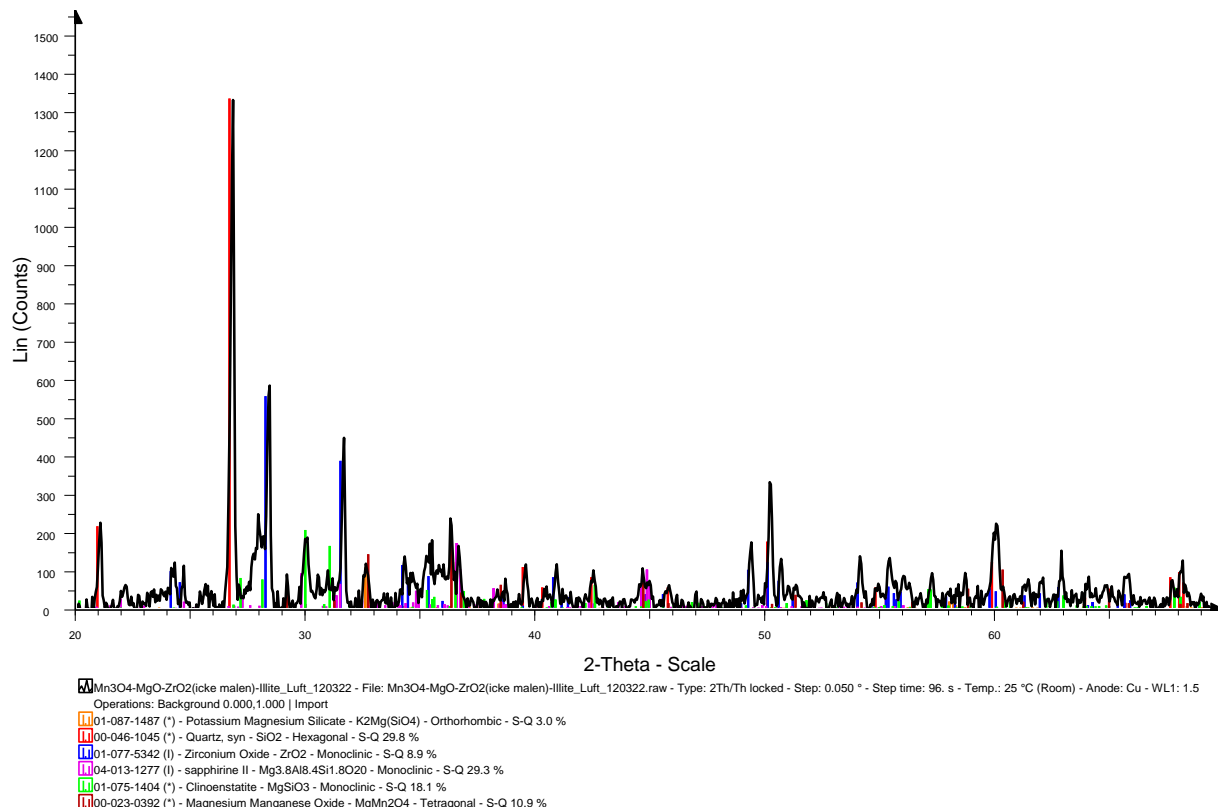
**FIGUR 109. Mn<sub>3</sub>O<sub>4</sub>/MgO-ZrO<sub>2</sub> - SIDERIT - H2**



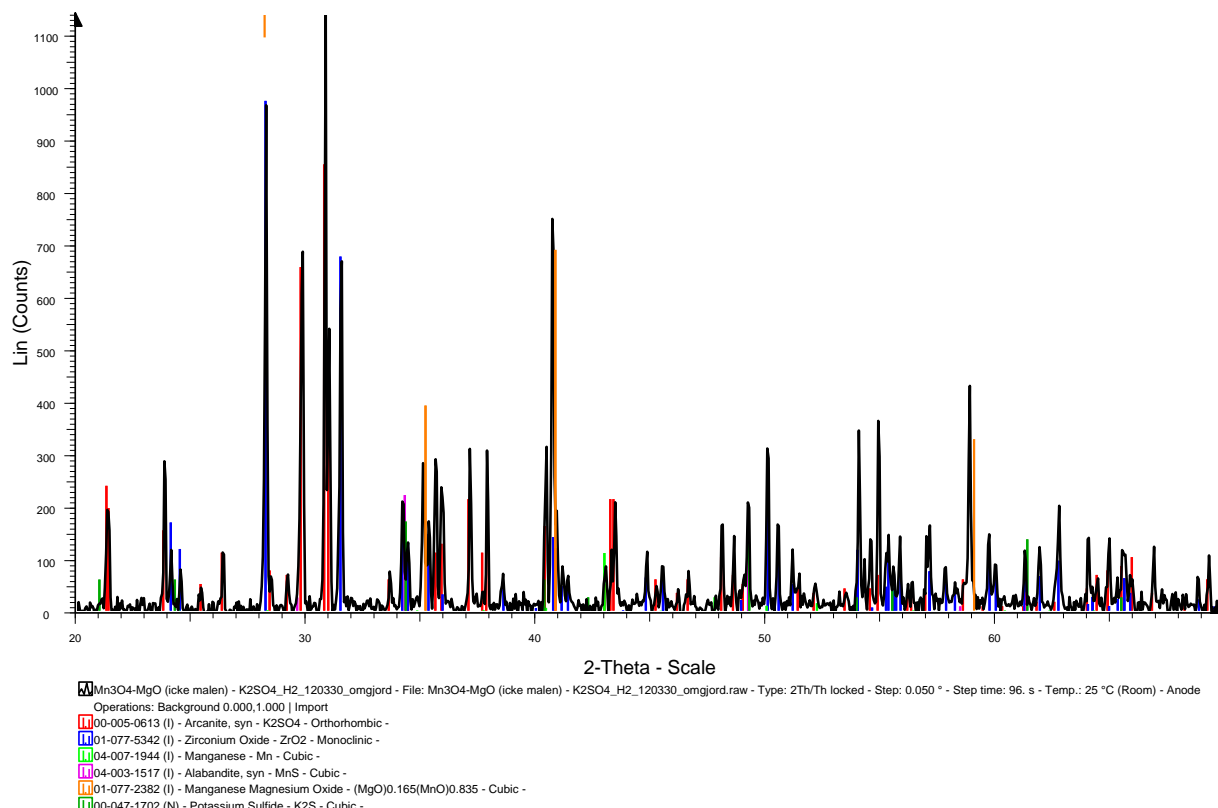
**FIGUR 110. Mn<sub>3</sub>O<sub>4</sub>/MgO-ZrO<sub>2</sub> - SIDERIT - LUFT**



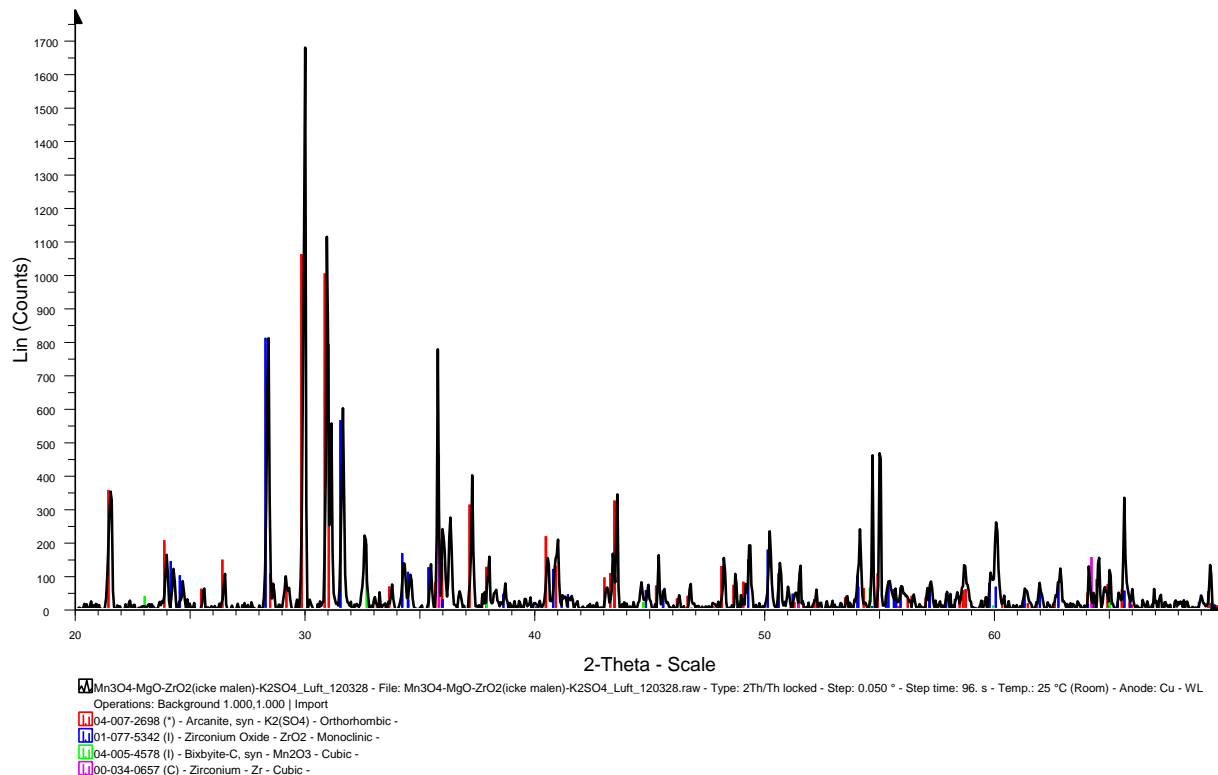
**FIGUR 111. Mn<sub>3</sub>O<sub>4</sub>/MgO-ZrO<sub>2</sub> - ILLIT - H2**



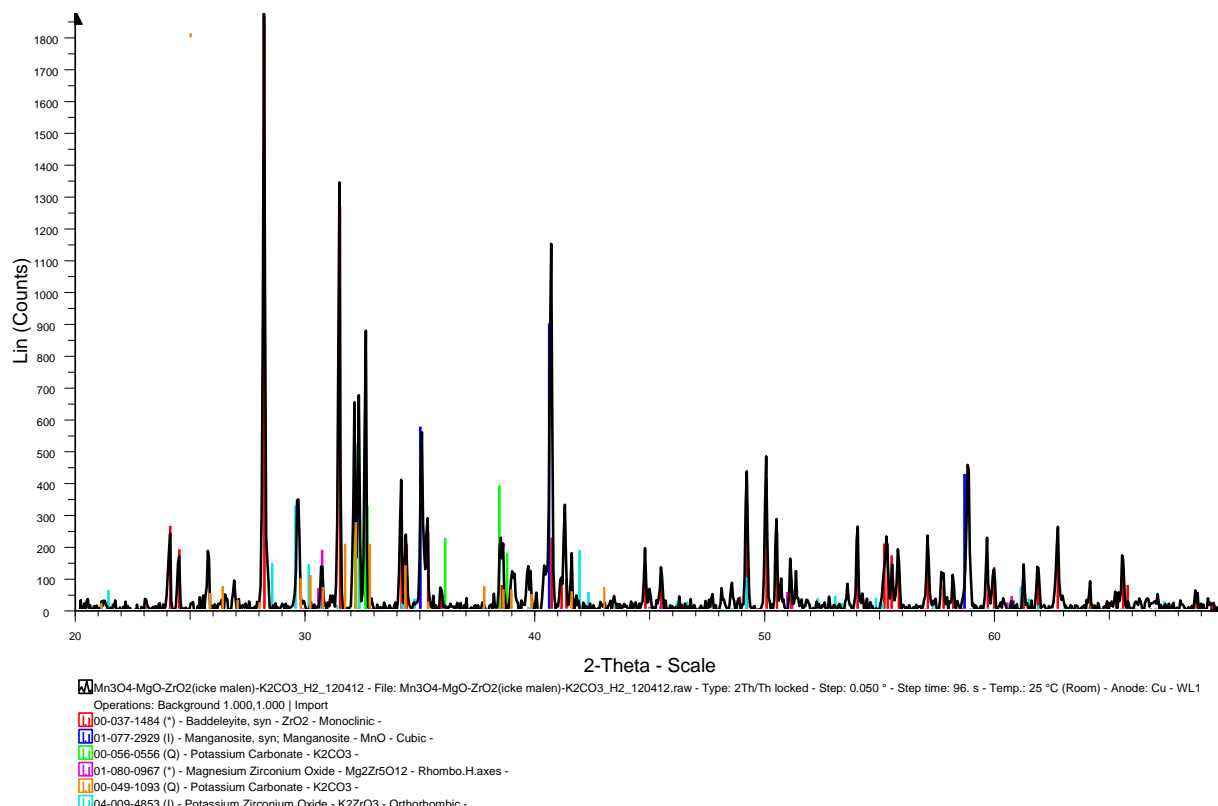
**FIGUR 112. Mn<sub>3</sub>O<sub>4</sub>/MgO-ZrO<sub>2</sub> - ILLIT - LUFT**



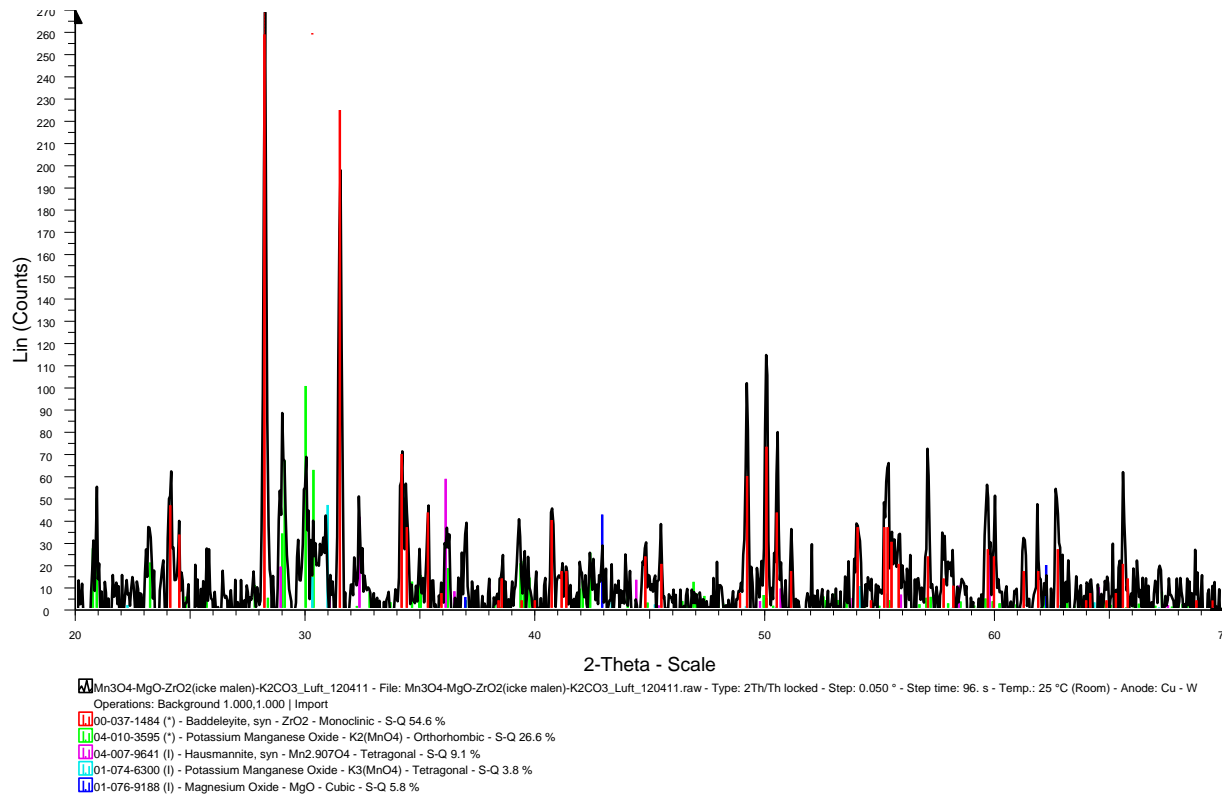
**FIGUR 113. Mn<sub>3</sub>O<sub>4</sub>/MgO-ZrO<sub>2</sub> - K<sub>2</sub>SO<sub>4</sub> - H<sub>2</sub>**



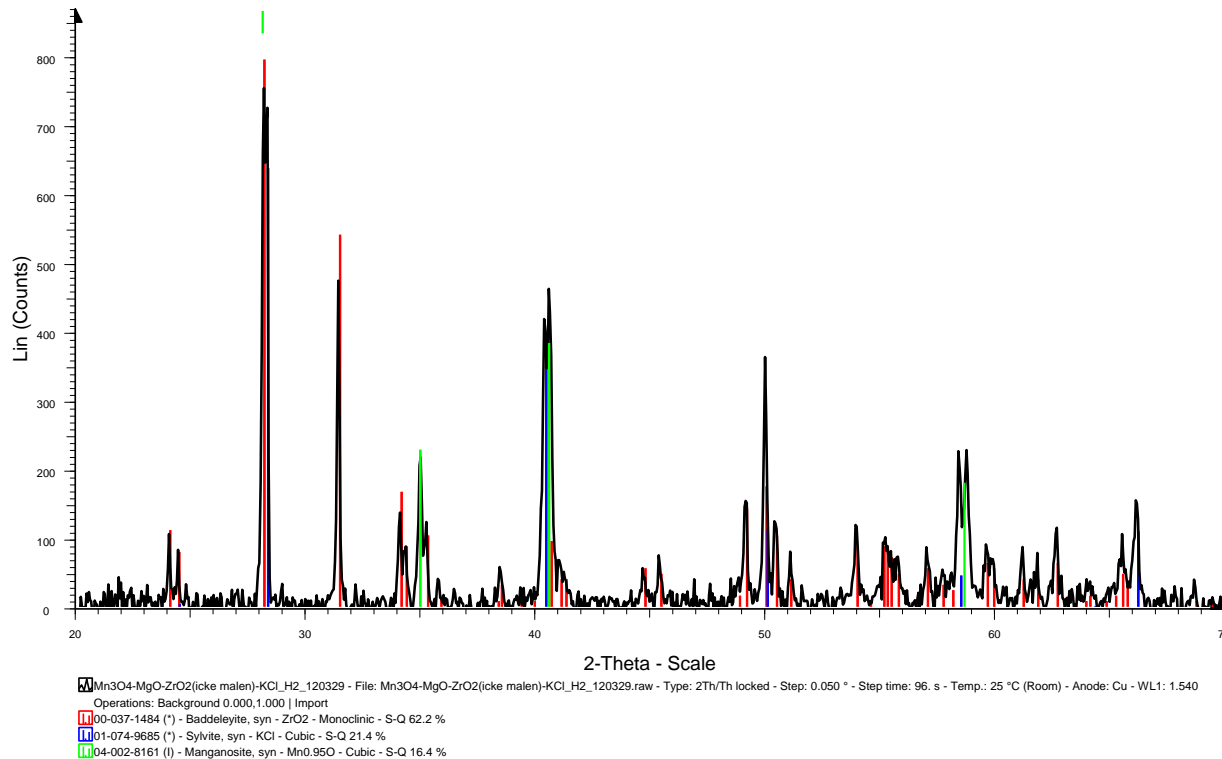
**FIGUR 114. MN3O4/MGO-ZR02 - K2SO4 - LUFT**



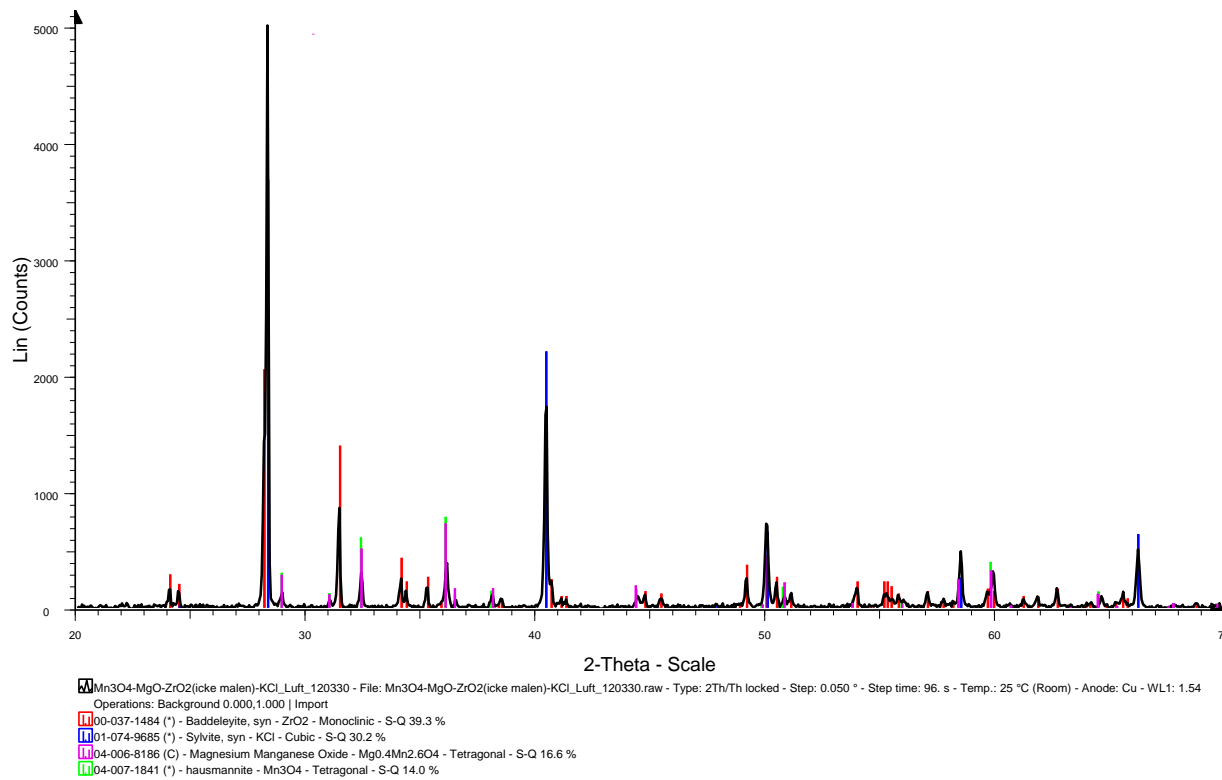
**FIGUR 115. MN3O4/MGO-ZR02 - K2CO3 - H2**



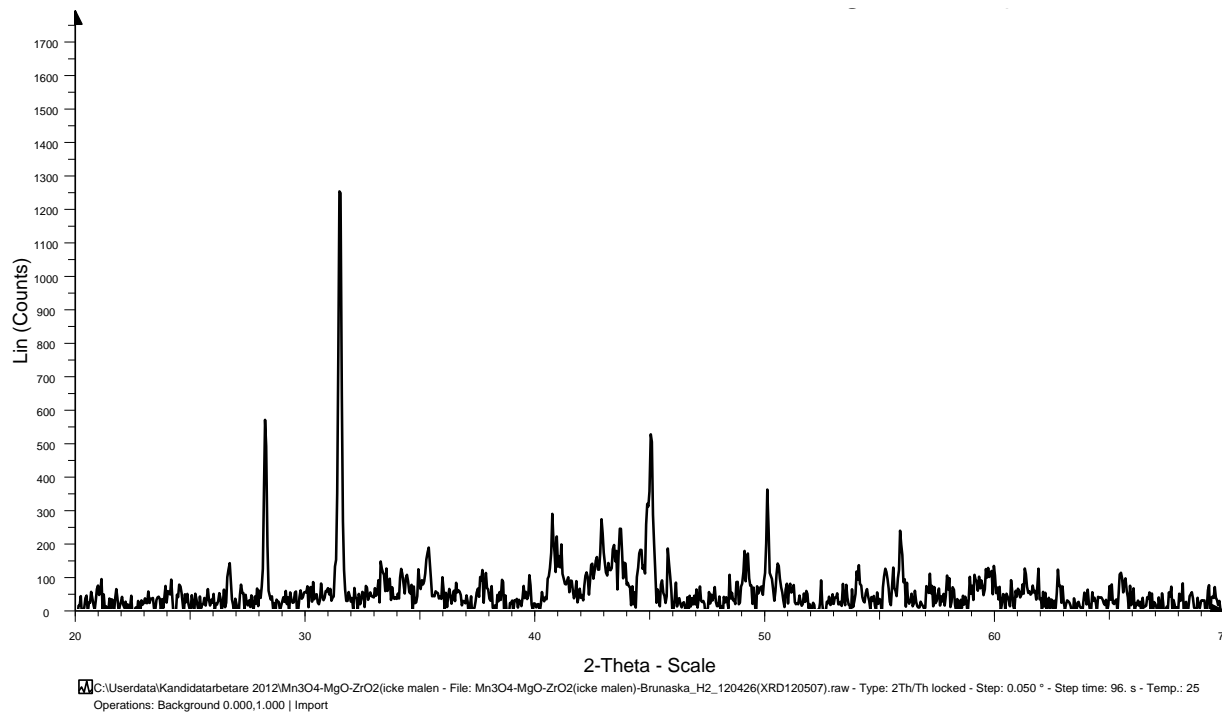
**FIGUR 116. Mn<sub>3</sub>O<sub>4</sub>/MgO-ZrO<sub>2</sub> - K<sub>2</sub>CO<sub>3</sub> - LUFT**



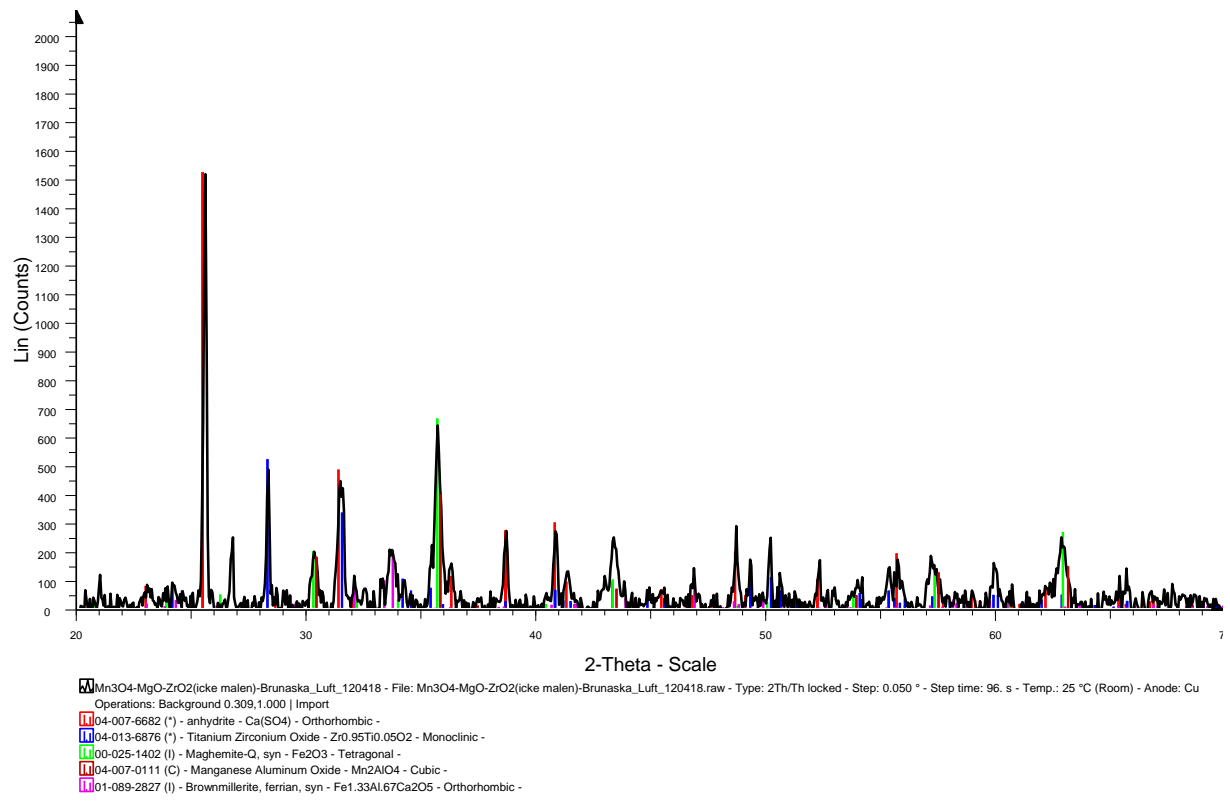
**FIGUR 117. Mn<sub>3</sub>O<sub>4</sub>/MgO-ZrO<sub>2</sub> - KCl - H<sub>2</sub>**



**FIGUR 118. Mn<sub>3</sub>O<sub>4</sub>/MgO-ZrO<sub>2</sub> - KCl - LUFT**

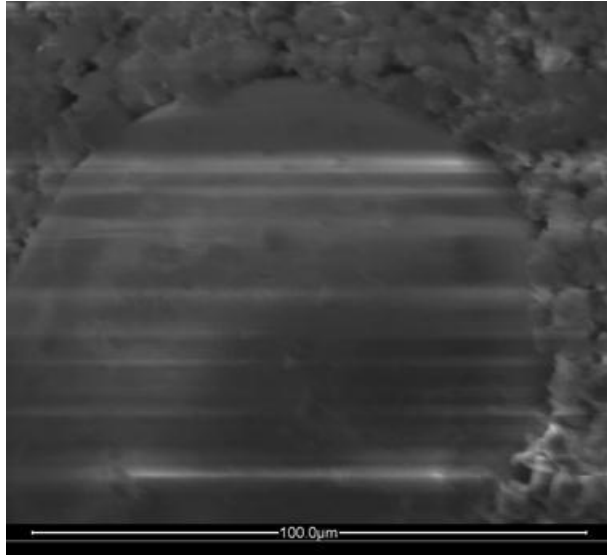


**FIGUR 119. Mn<sub>3</sub>O<sub>4</sub>/MgO-ZrO<sub>2</sub> - BRUNKOLSASKA - H2**

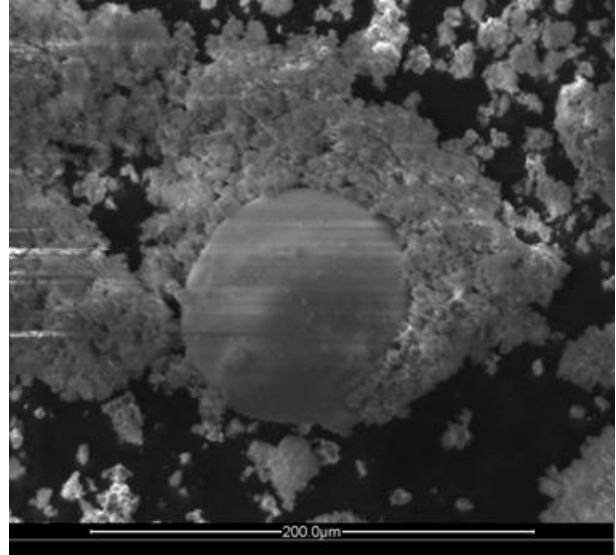


**FIGUR 120. Mn<sub>3</sub>O<sub>4</sub>/MgO-ZrO<sub>2</sub> - BRUNKOLSASKA – LUFT**

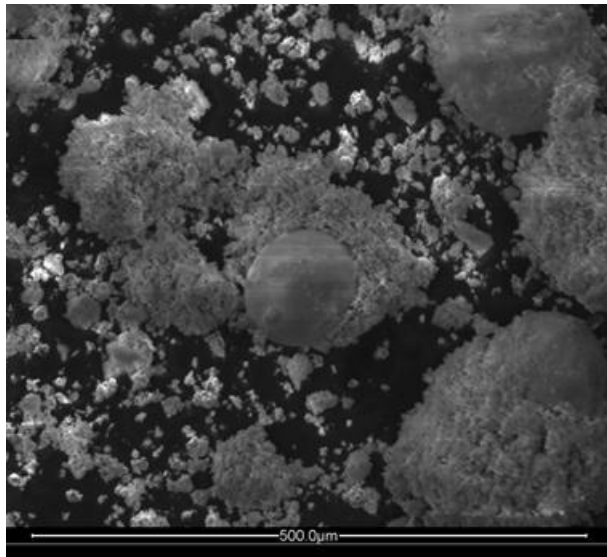
## Bilaga C - SEM-bilder



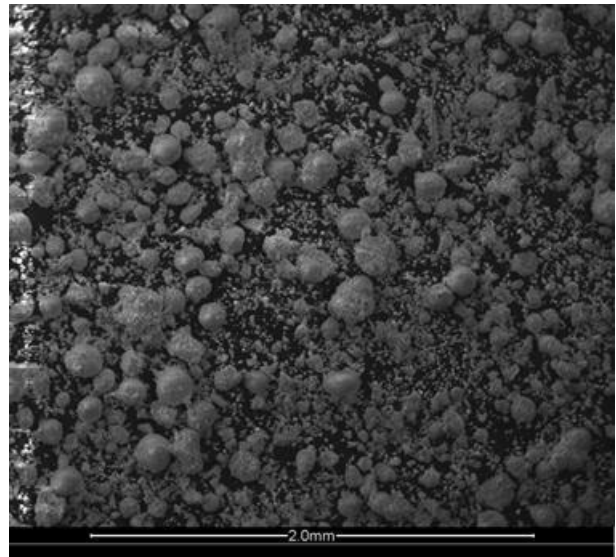
Figur 1. CuO/MgAl<sub>2</sub>O<sub>4</sub> - CaCO<sub>3</sub> - LUFT



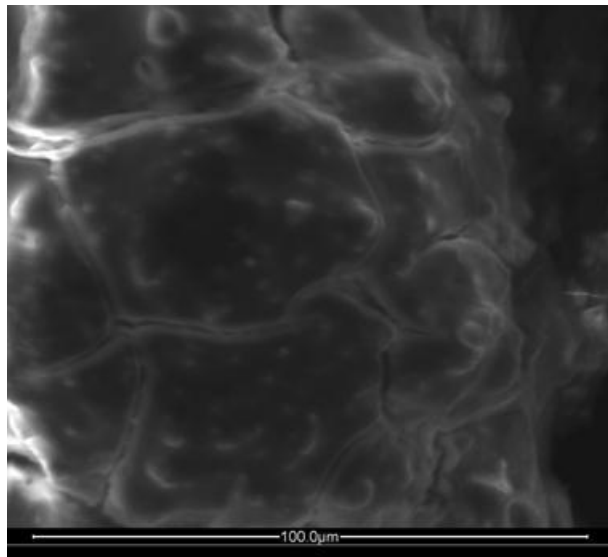
Figur 3. CuO/MgAl<sub>2</sub>O<sub>4</sub> - CaCO<sub>3</sub> - LUFT



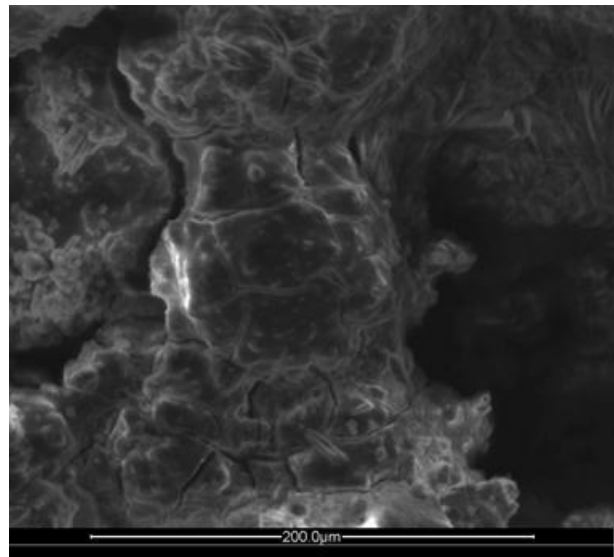
Figur 2. CuO/MgAl<sub>2</sub>O<sub>4</sub> - CaCO<sub>3</sub> - LUFT



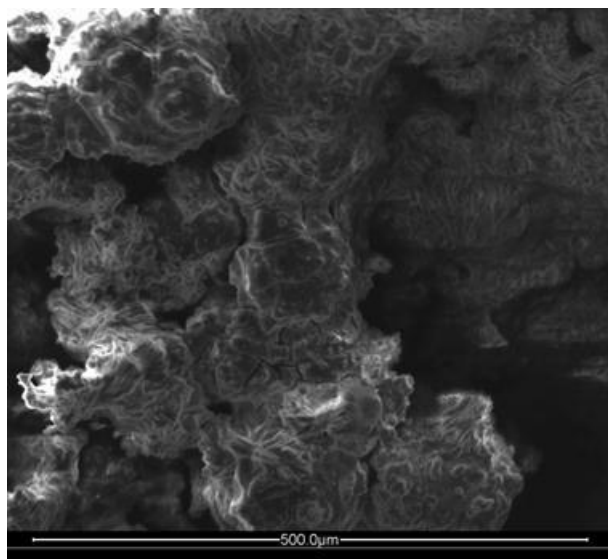
Figur 4. CuO/MgAl<sub>2</sub>O<sub>4</sub> - CaCO<sub>3</sub> - LUFT



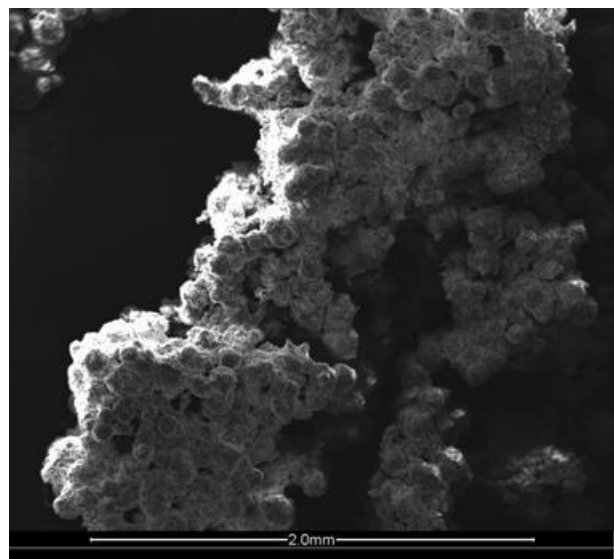
Figur 5. CuO/MgAl<sub>2</sub>O<sub>4</sub> - K<sub>2</sub>CO<sub>3</sub> - LUFT



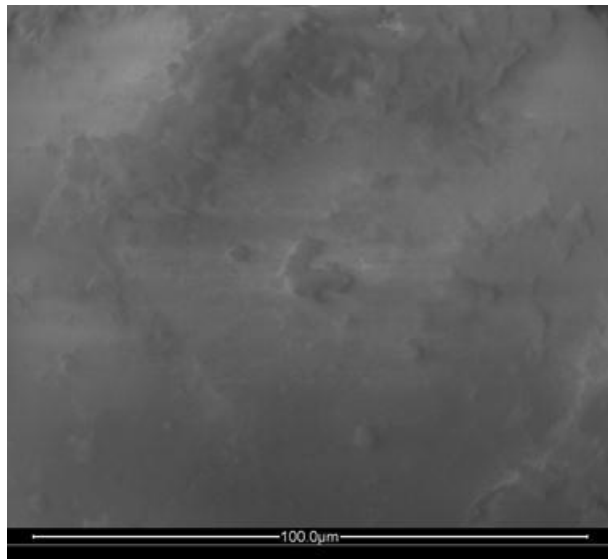
Figur 7. CuO/MgAl<sub>2</sub>O<sub>4</sub> - K<sub>2</sub>CO<sub>3</sub> - LUFT



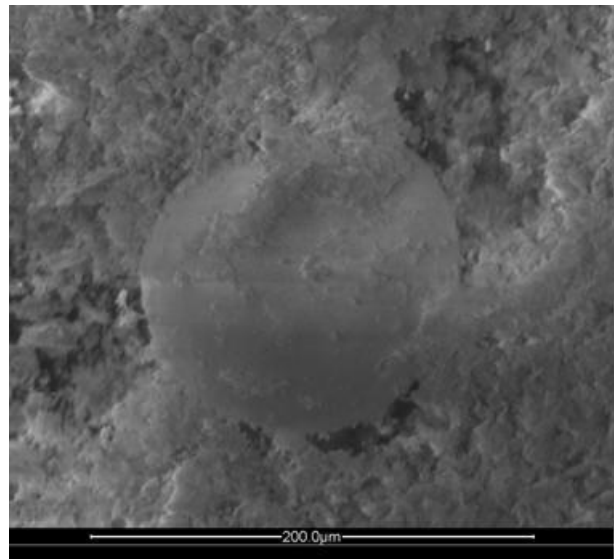
Figur 6. CuO/MgAl<sub>2</sub>O<sub>4</sub> - K<sub>2</sub>CO<sub>3</sub> - LUFT



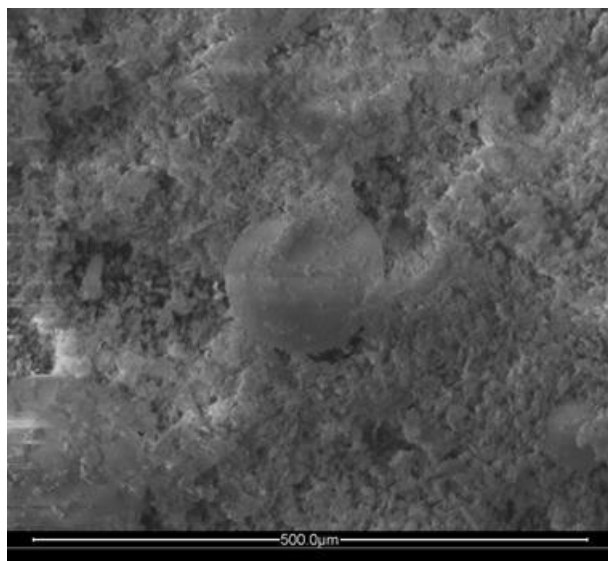
Figur 8. CuO/MgAl<sub>2</sub>O<sub>4</sub> - K<sub>2</sub>CO<sub>3</sub> - LUFT



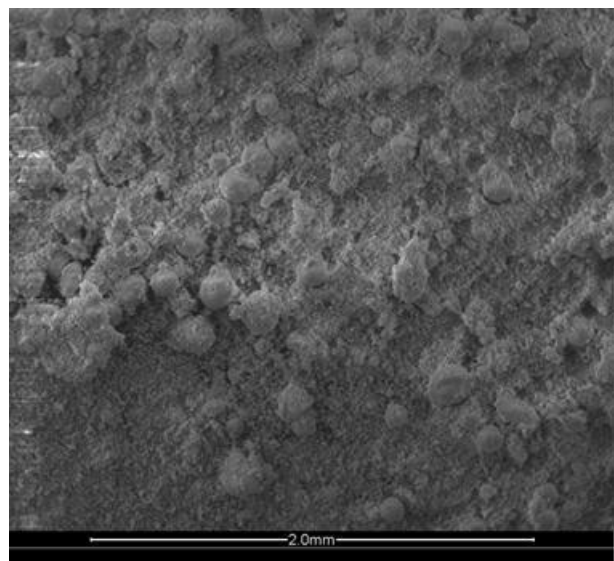
Figur 9. CuO/MgAl<sub>2</sub>O<sub>4</sub> - Kaolinit - H2



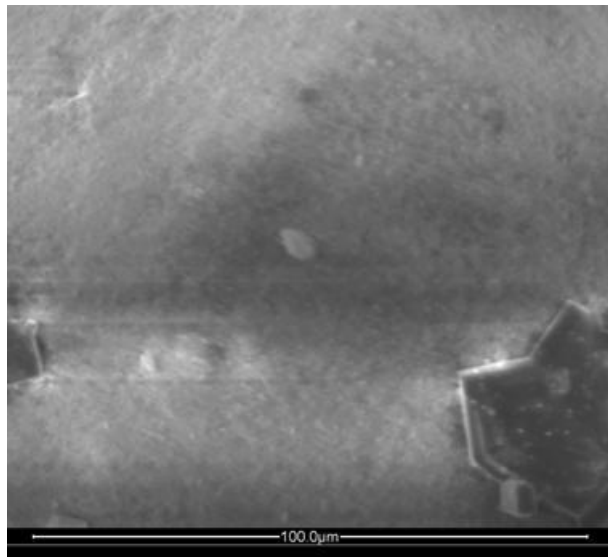
Figur 11. CuO/MgAl<sub>2</sub>O<sub>4</sub> - Kaolinit - H2



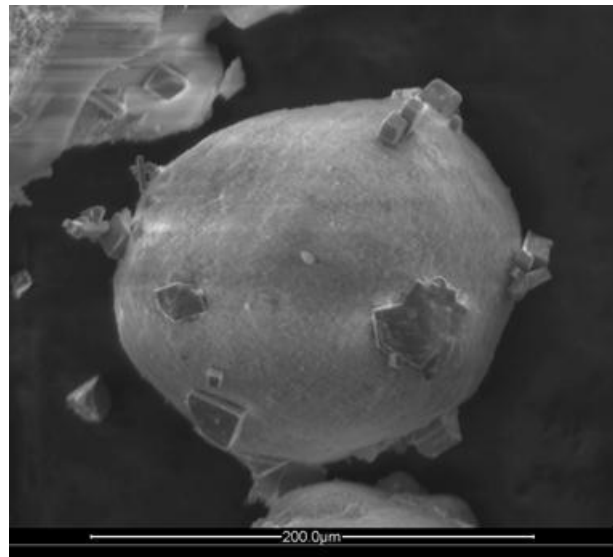
Figur 10. CuO/MgAl<sub>2</sub>O<sub>4</sub> - Kaolinit - H2



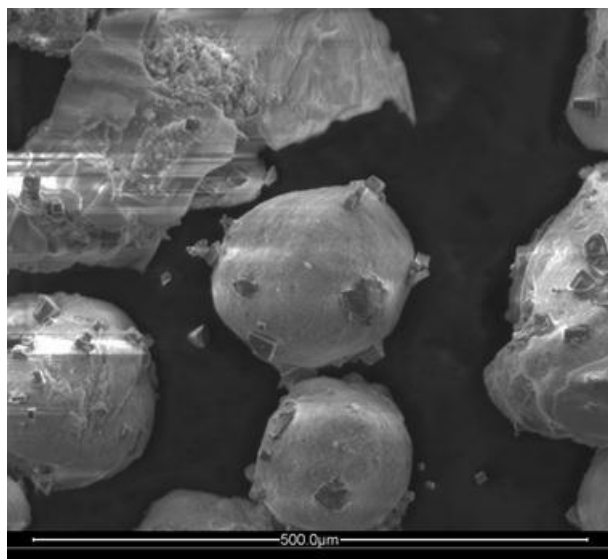
Figur 12. CuO/MgAl<sub>2</sub>O<sub>4</sub> - Kaolinit - H2



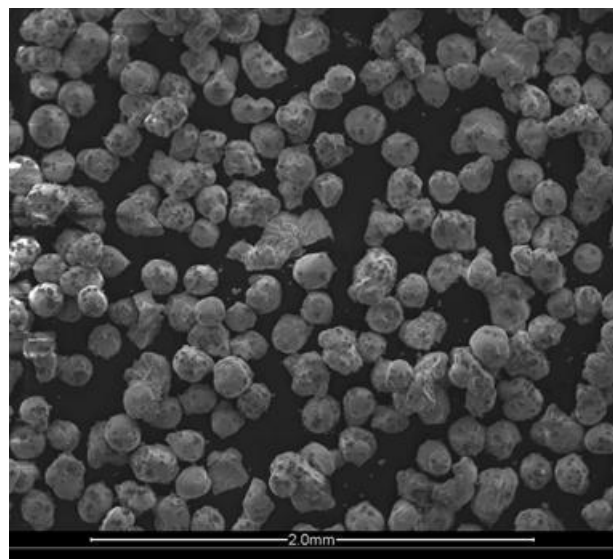
Figur 13. CuO/MgAl<sub>2</sub>O<sub>4</sub> - KCl - H<sub>2</sub>



Figur 15. CuO/MgAl<sub>2</sub>O<sub>4</sub> - KCl - H<sub>2</sub>



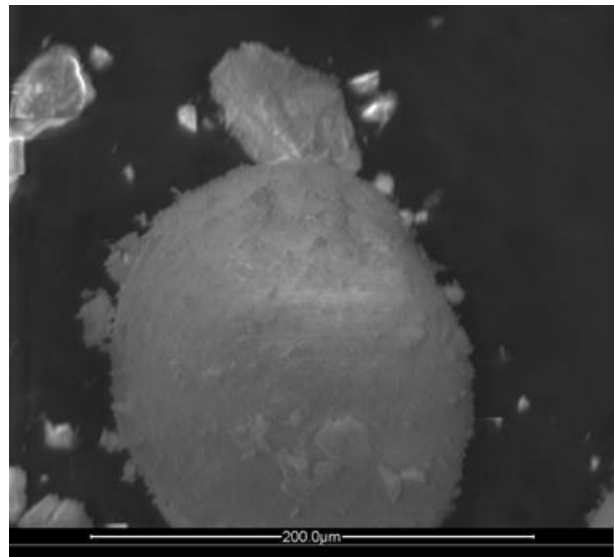
Figur 14. CuO/MgAl<sub>2</sub>O<sub>4</sub> - KCl - H<sub>2</sub>



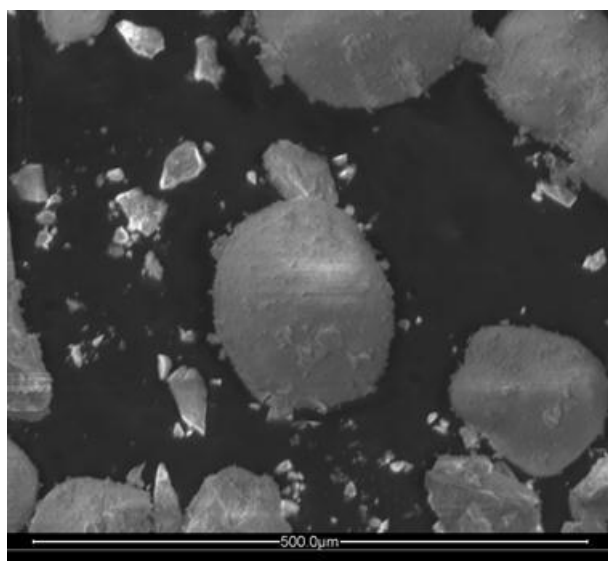
Figur 16. CuO/MgAl<sub>2</sub>O<sub>4</sub> - KCl - H<sub>2</sub>



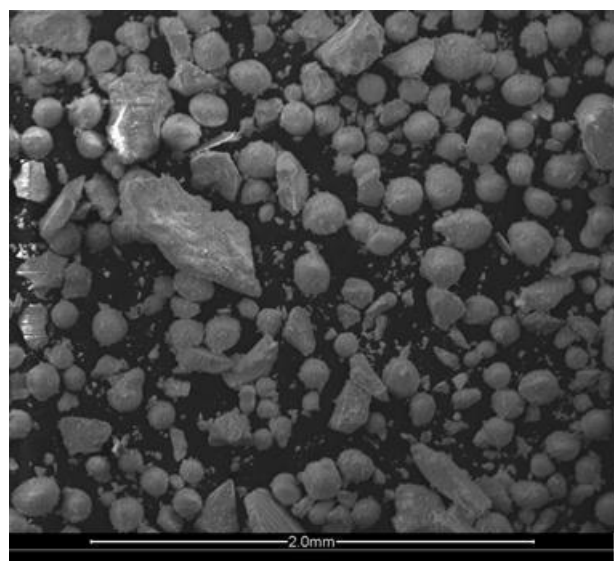
Figur 17. CuO/MgAl<sub>2</sub>O<sub>4</sub> - SiO<sub>2</sub> - H<sub>2</sub>



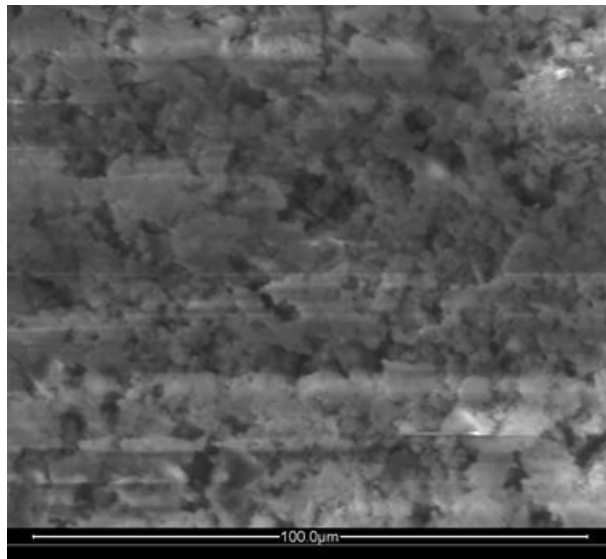
Figur 19. CuO/MgAl<sub>2</sub>O<sub>4</sub> - SiO<sub>2</sub> - H<sub>2</sub>



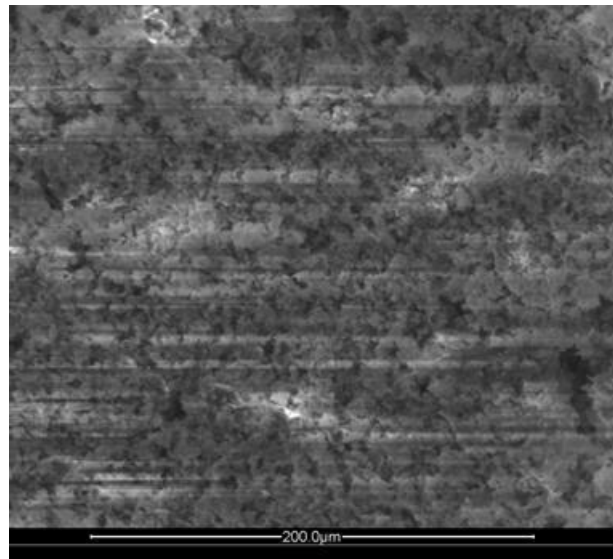
Figur 18. CuO/MgAl<sub>2</sub>O<sub>4</sub> - SiO<sub>2</sub> - H<sub>2</sub>



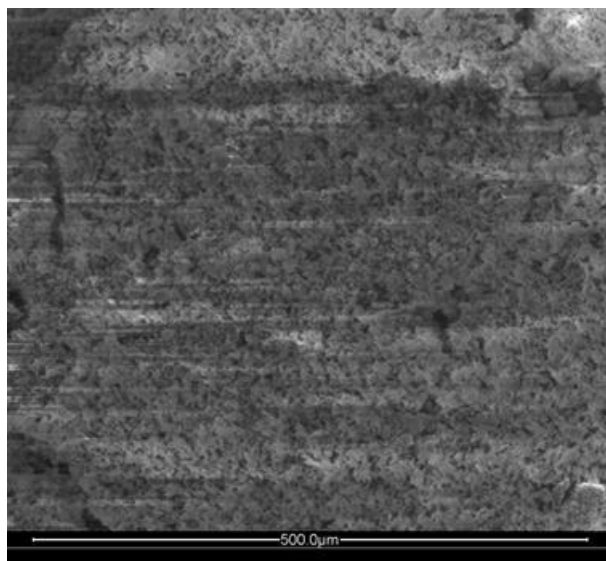
Figur 20. CuO/MgAl<sub>2</sub>O<sub>4</sub> - SiO<sub>2</sub> - H<sub>2</sub>



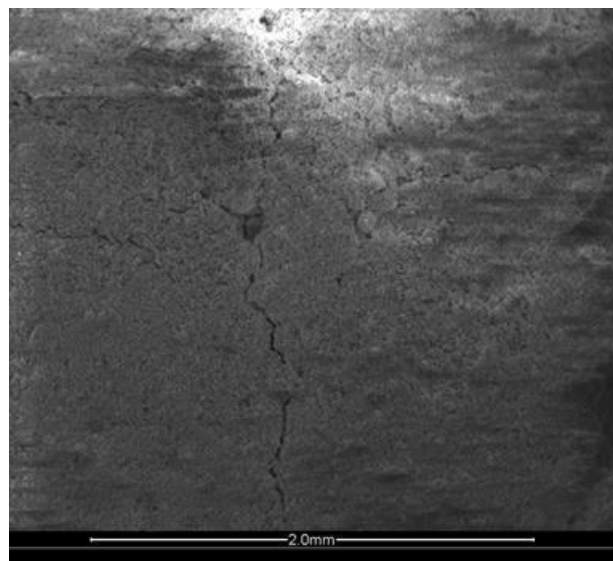
Figur 21. Fe<sub>2</sub>O<sub>3</sub>/MgAl<sub>2</sub>O<sub>4</sub> - Illit - H2



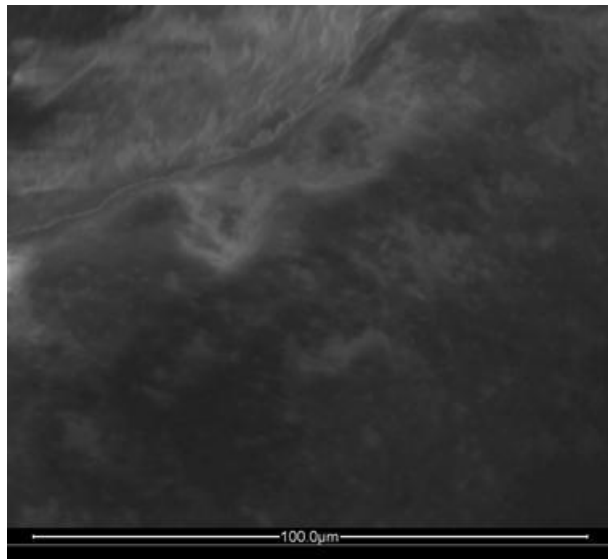
Figur 23. Fe<sub>2</sub>O<sub>3</sub>/MgAl<sub>2</sub>O<sub>4</sub> - Illit - H2



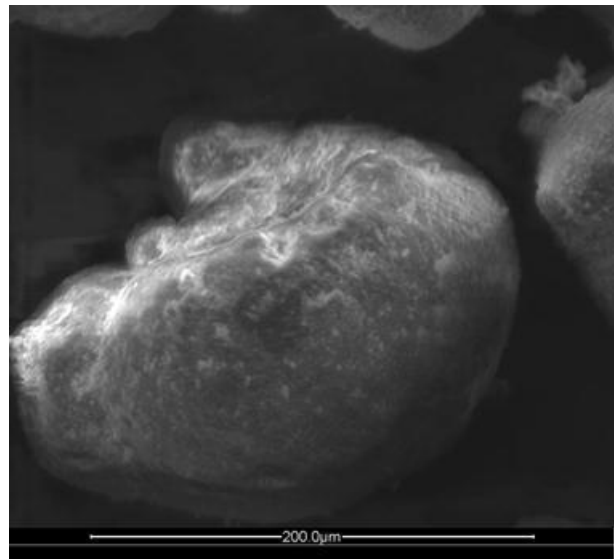
Figur 22. Fe<sub>2</sub>O<sub>3</sub>/MgAl<sub>2</sub>O<sub>4</sub> - Illit - H2



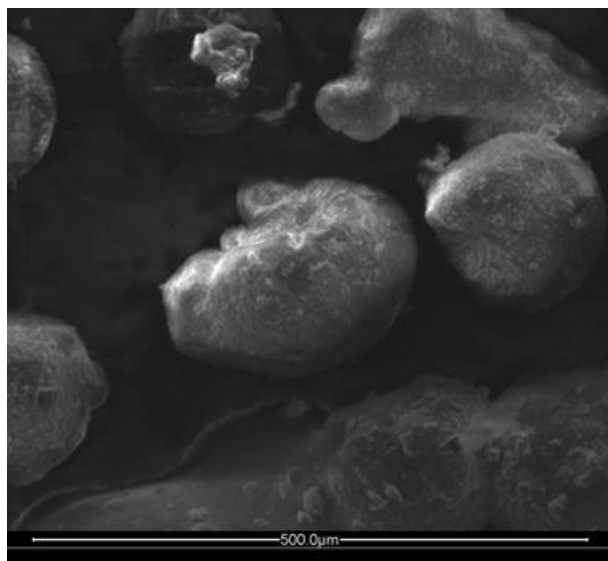
Figur 24. Fe<sub>2</sub>O<sub>3</sub>/MgAl<sub>2</sub>O<sub>4</sub> - Illit - H2



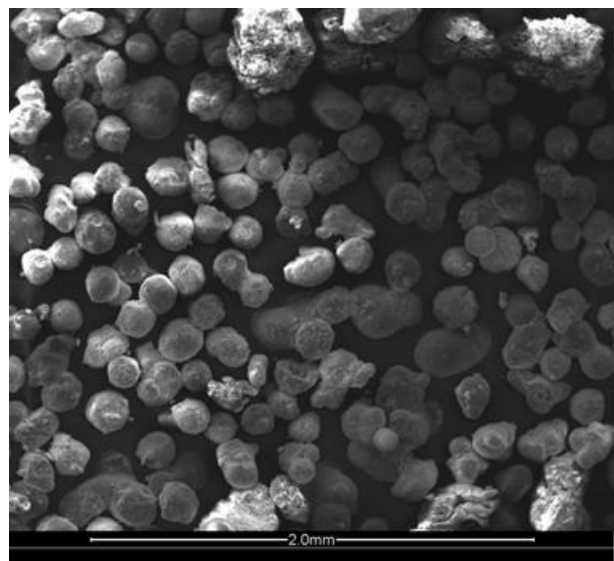
Figur 25. Fe<sub>2</sub>O<sub>3</sub>/MgAl<sub>2</sub>O<sub>4</sub> - K<sub>2</sub>CO<sub>3</sub> - H<sub>2</sub>



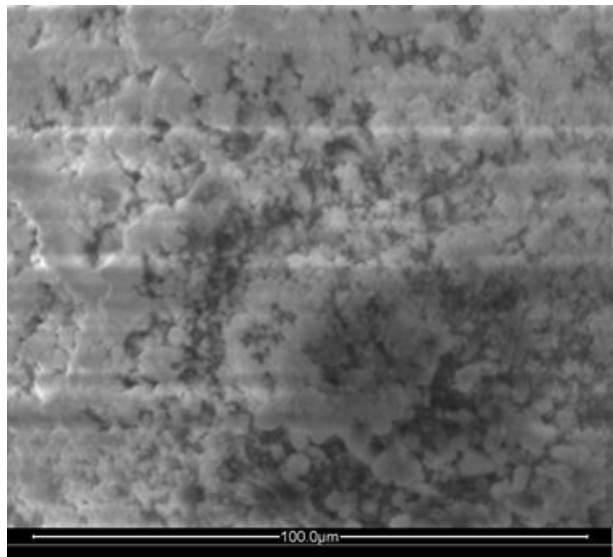
Figur 27. Fe<sub>2</sub>O<sub>3</sub>/MgAl<sub>2</sub>O<sub>4</sub> - K<sub>2</sub>CO<sub>3</sub> - H<sub>2</sub>



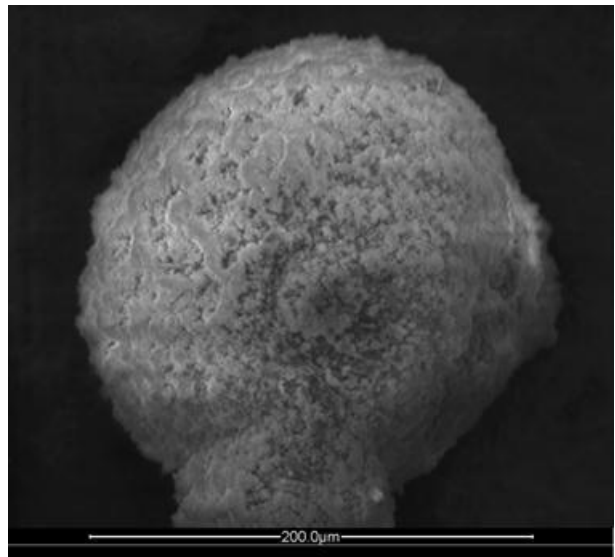
Figur 26. Fe<sub>2</sub>O<sub>3</sub>/MgAl<sub>2</sub>O<sub>4</sub> - K<sub>2</sub>CO<sub>3</sub> - H<sub>2</sub>



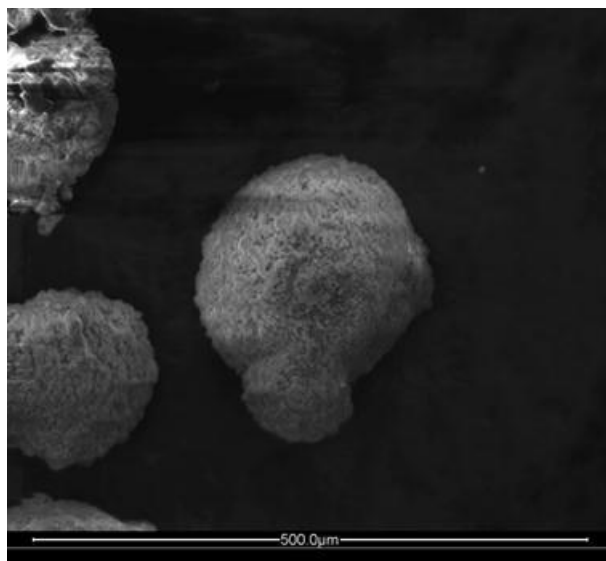
Figur 28. Fe<sub>2</sub>O<sub>3</sub>/MgAl<sub>2</sub>O<sub>4</sub> - K<sub>2</sub>CO<sub>3</sub> - H<sub>2</sub>



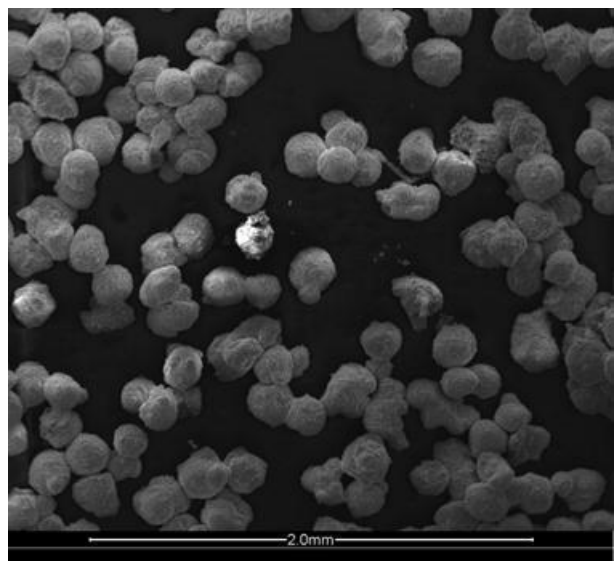
Figur 29. Fe<sub>2</sub>O<sub>3</sub>/MgAl<sub>2</sub>O<sub>4</sub> - K<sub>2</sub>CO<sub>3</sub> - LUFT



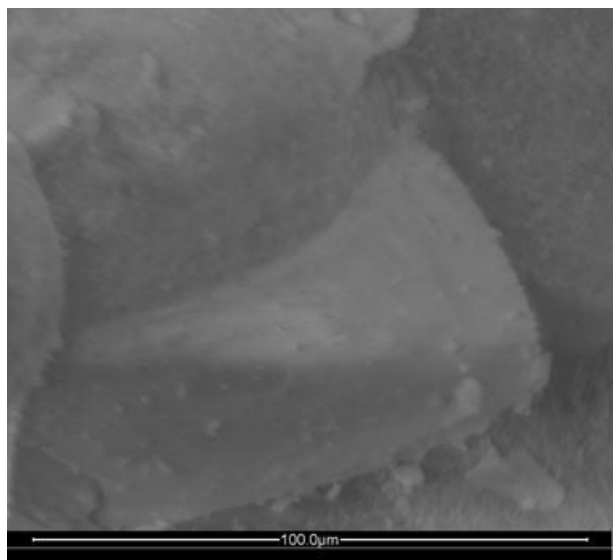
Figur 31. Fe<sub>2</sub>O<sub>3</sub>/MgAl<sub>2</sub>O<sub>4</sub> - K<sub>2</sub>CO<sub>3</sub> - LUFT



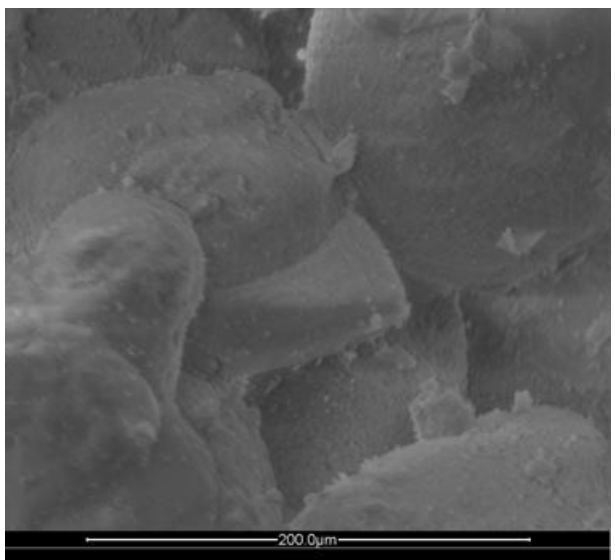
Figur 30. Fe<sub>2</sub>O<sub>3</sub>/MgAl<sub>2</sub>O<sub>4</sub> - K<sub>2</sub>CO<sub>3</sub> - LUFT



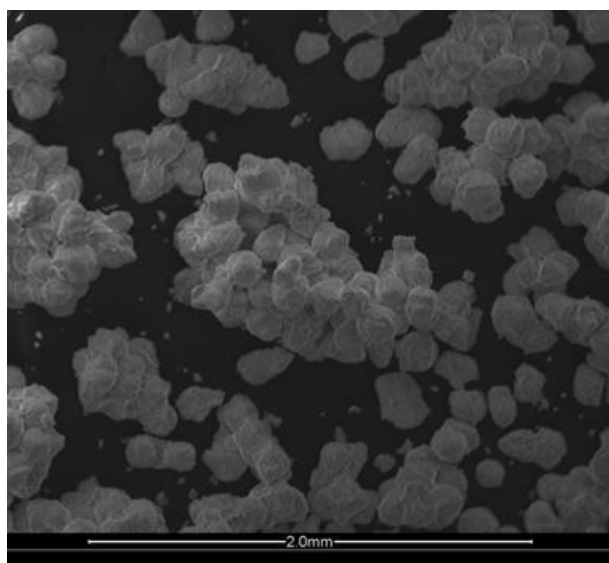
Figur 32. Fe<sub>2</sub>O<sub>3</sub>/MgAl<sub>2</sub>O<sub>4</sub> - K<sub>2</sub>CO<sub>3</sub> - LUFT



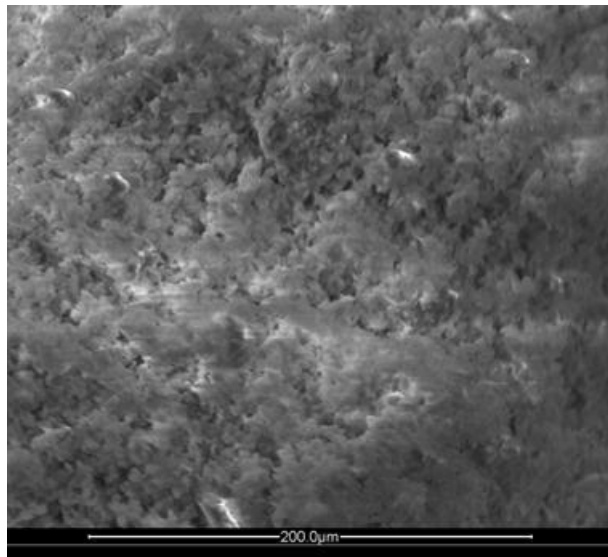
Figur 33. Fe<sub>2</sub>O<sub>3</sub>/MgAl<sub>2</sub>O<sub>4</sub> - KCl - LUFT



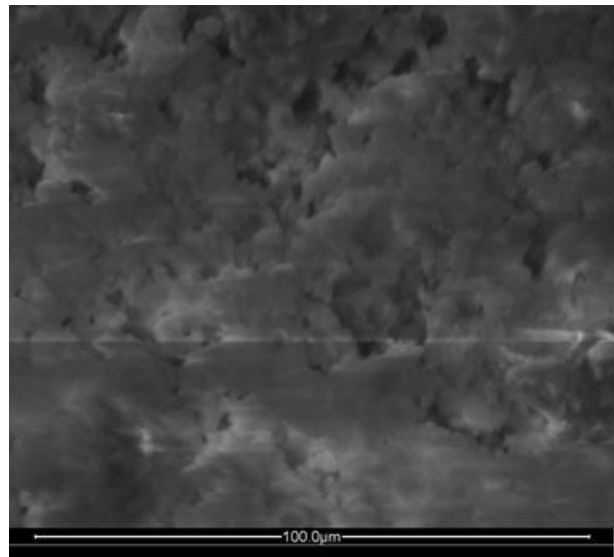
Figur 35. Fe<sub>2</sub>O<sub>3</sub>/MgAl<sub>2</sub>O<sub>4</sub> - KCl - LUFT



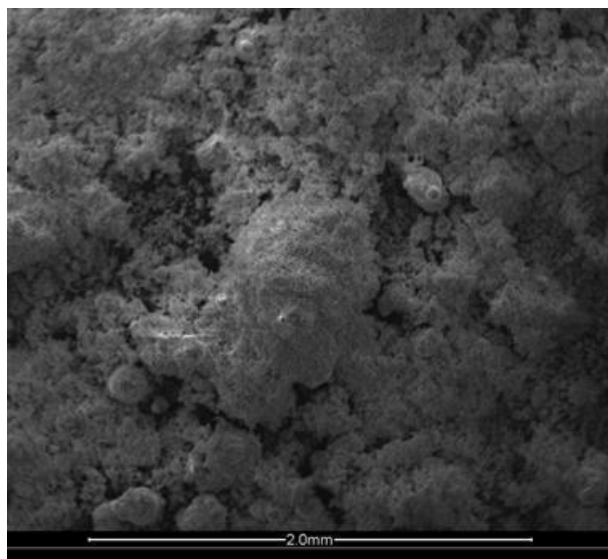
Figur 34. Fe<sub>2</sub>O<sub>3</sub>/MgAl<sub>2</sub>O<sub>4</sub> - KCl - LUFT



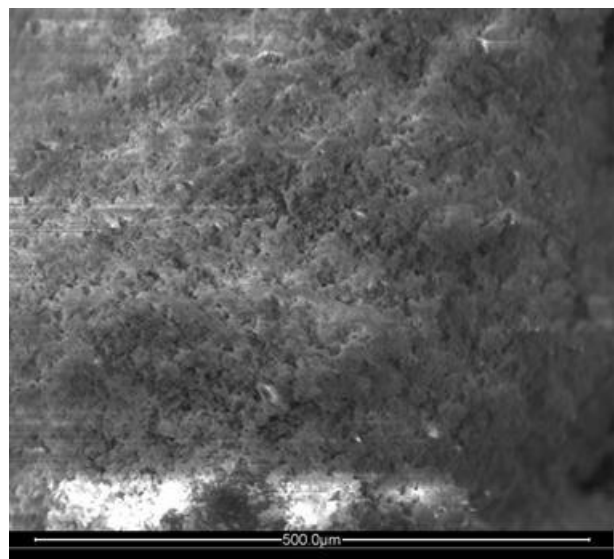
Figur 36. Ilmenit - Illit - LUFT



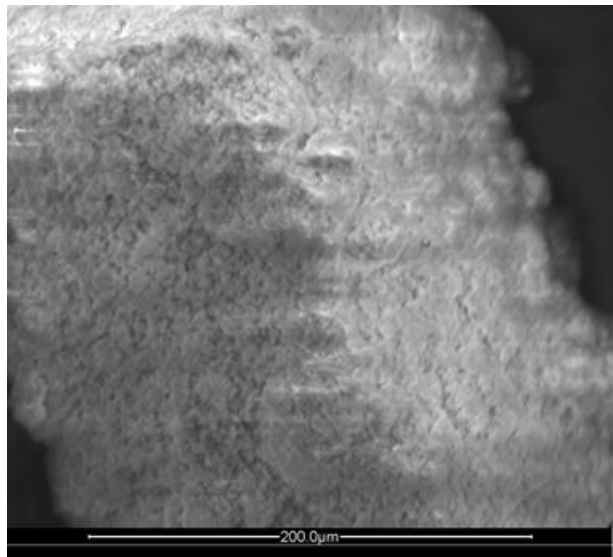
Figur 38. Ilmenit - Illit - LUFT



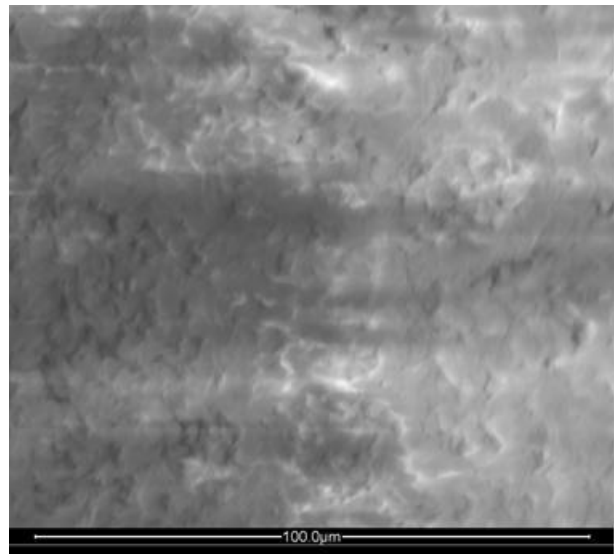
Figur 37. Ilmenit - Illit - LUFT



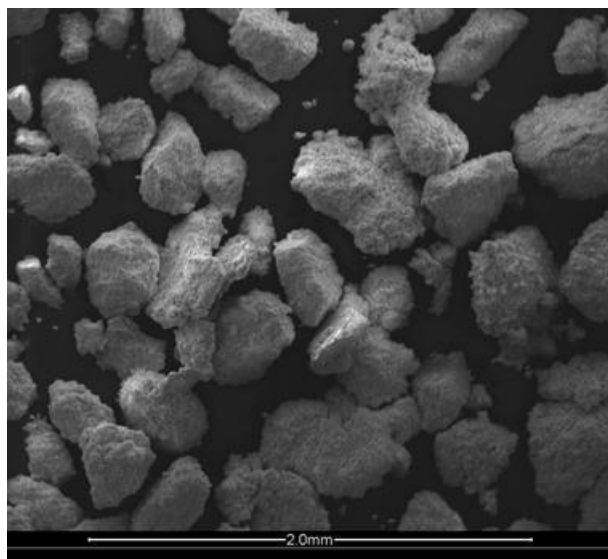
Figur 39. Ilmenit - Illit - LUFT



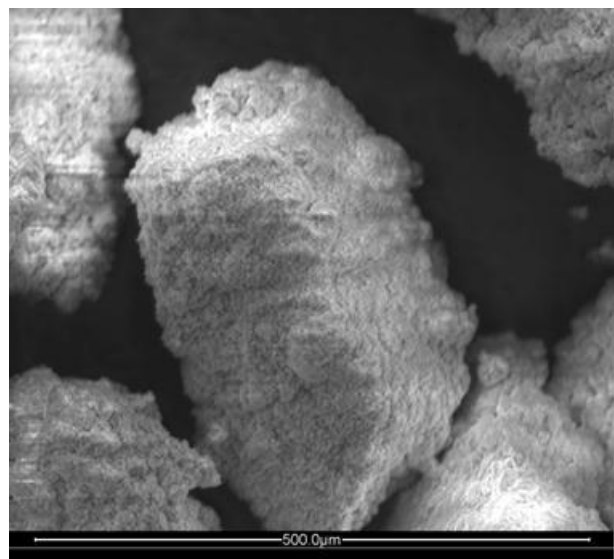
Figur 40. Ilmenit - K<sub>2</sub>CO<sub>3</sub> - H<sub>2</sub>



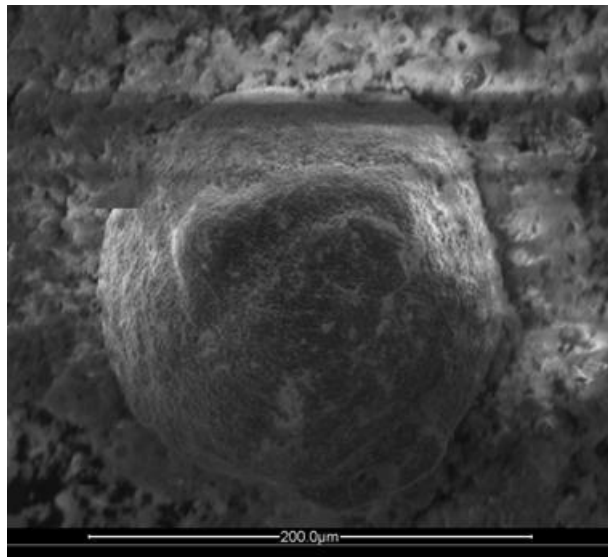
Figur 42. Ilmenit - K<sub>2</sub>CO<sub>3</sub> - H<sub>2</sub>



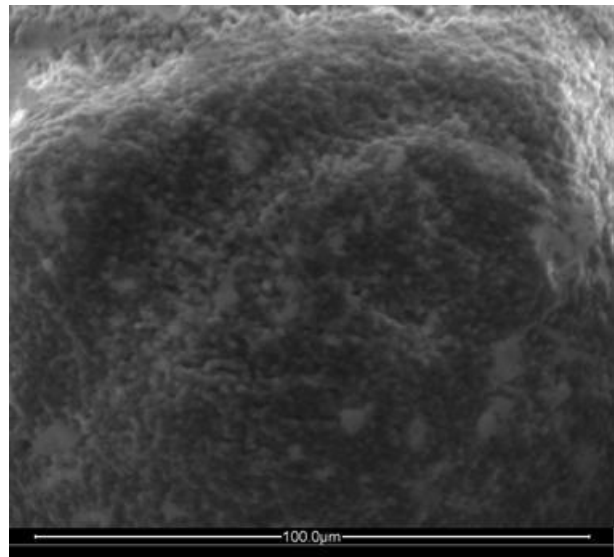
Figur 41. Ilmenit - K<sub>2</sub>CO<sub>3</sub> - H<sub>2</sub>



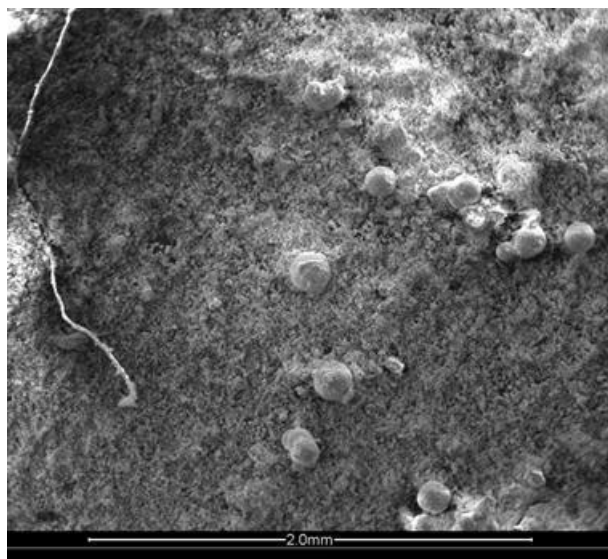
Figur 43. Ilmenit - K<sub>2</sub>CO<sub>3</sub> - H<sub>2</sub>



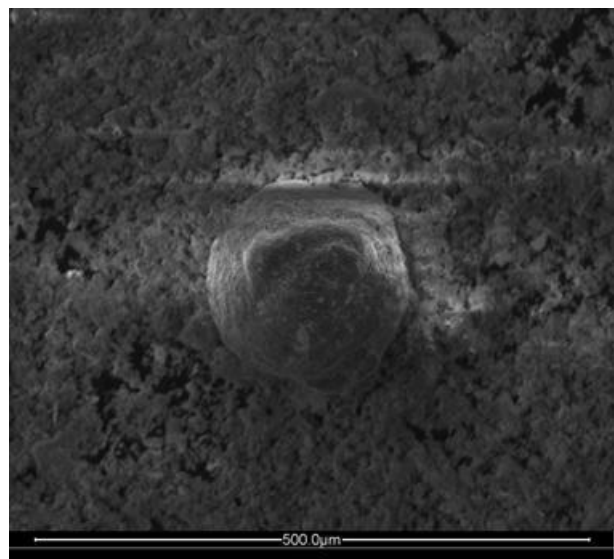
Figur 44. Ilmenit - Kolaska - LUFT



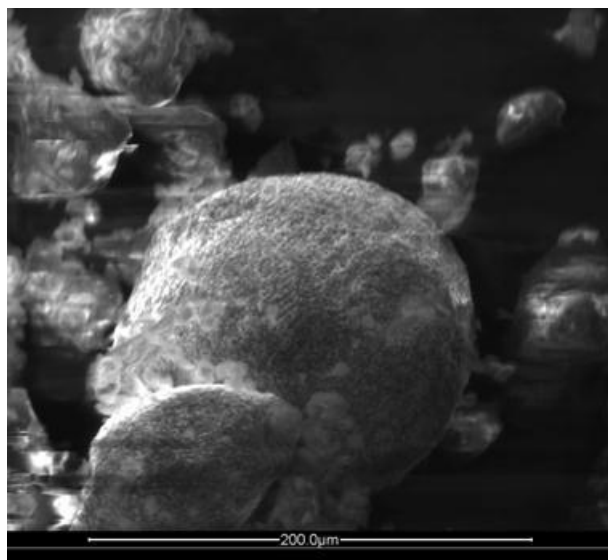
Figur 46. Ilmenit - Kolaska - LUFT



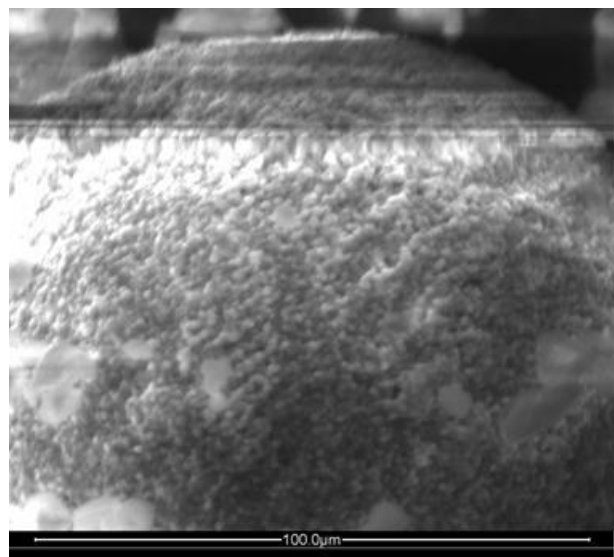
Figur 45. Ilmenit - Kolaska - LUFT



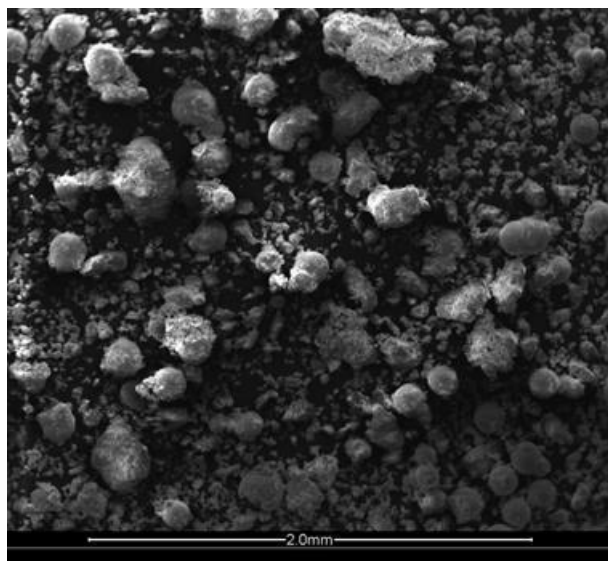
Figur 47. Ilmenit - Kolaska - LUFT



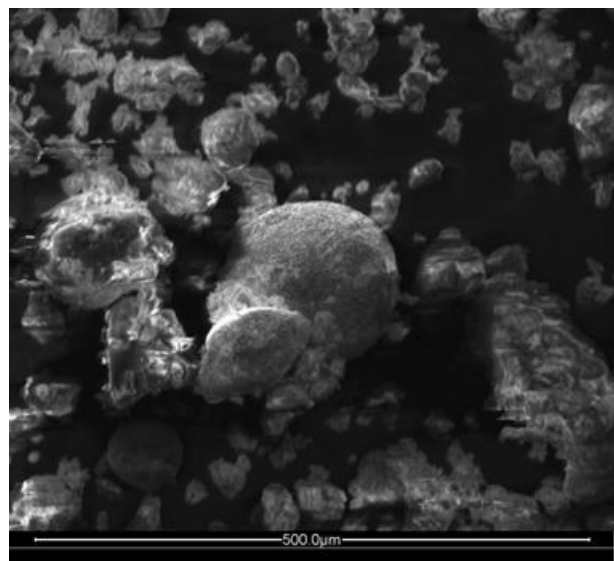
Figur 48. Ilmenit - Montmorillonit - LUFT



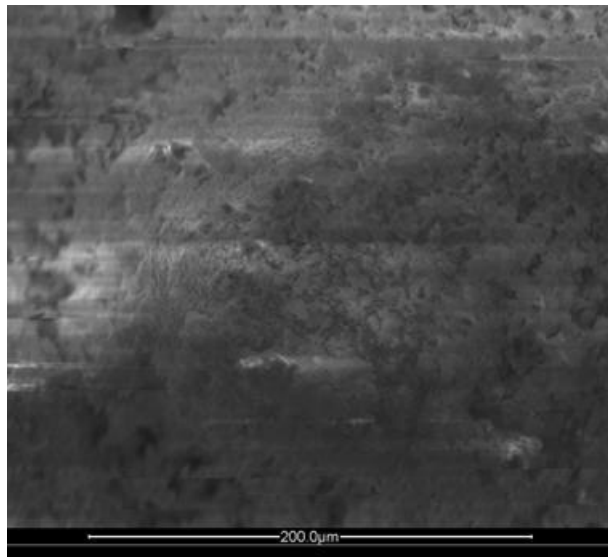
Figur 50. Ilmenit - Montmorillonit - LUFT



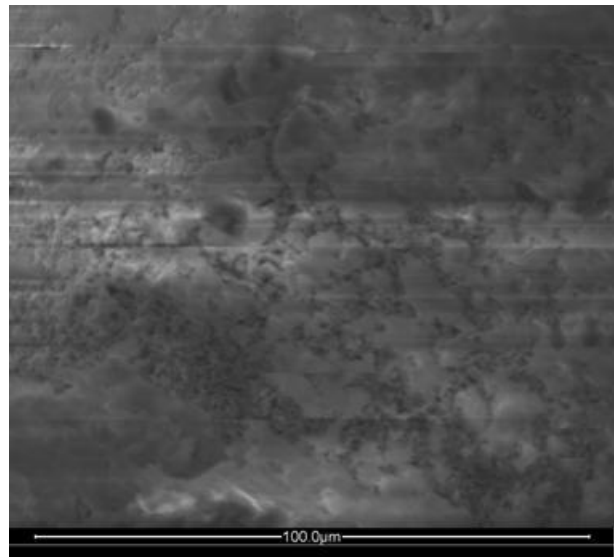
Figur 49. Ilmenit - Montmorillonit - LUFT



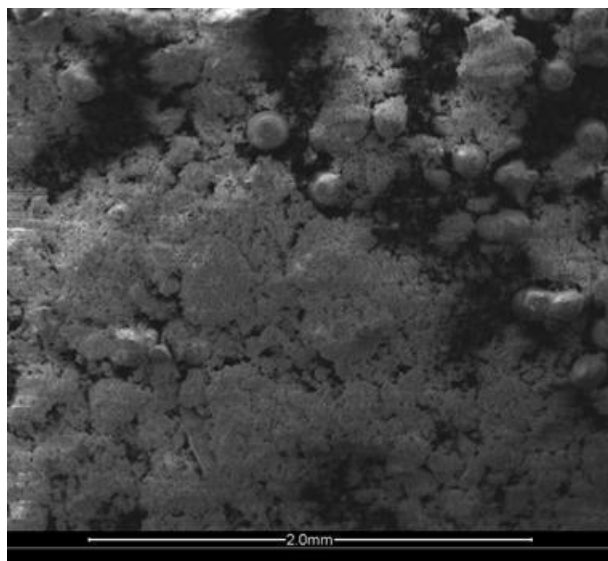
Figur 51. Ilmenit - Montmorillonit - LUFT



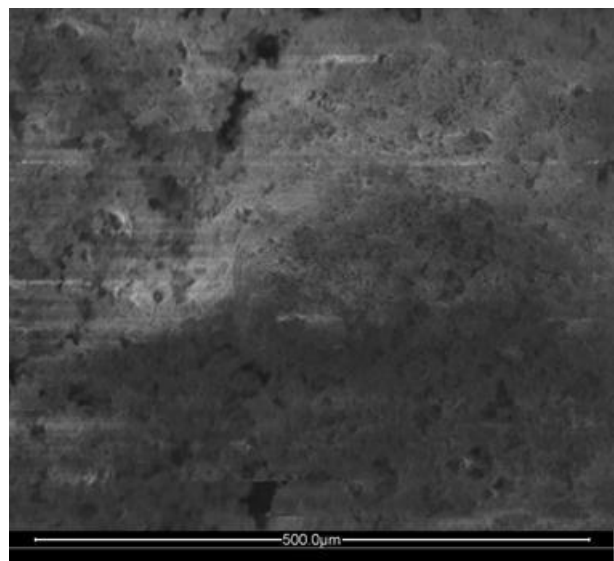
Figur 52. Mn<sub>3</sub>O<sub>4</sub>/MgO-ZrO<sub>2</sub> - Illit - H2



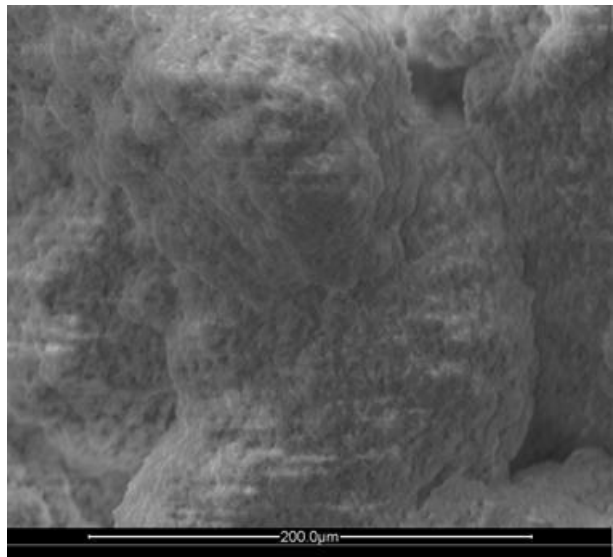
Figur 54. Mn<sub>3</sub>O<sub>4</sub>/MgO-ZrO<sub>2</sub> - Illit - H2



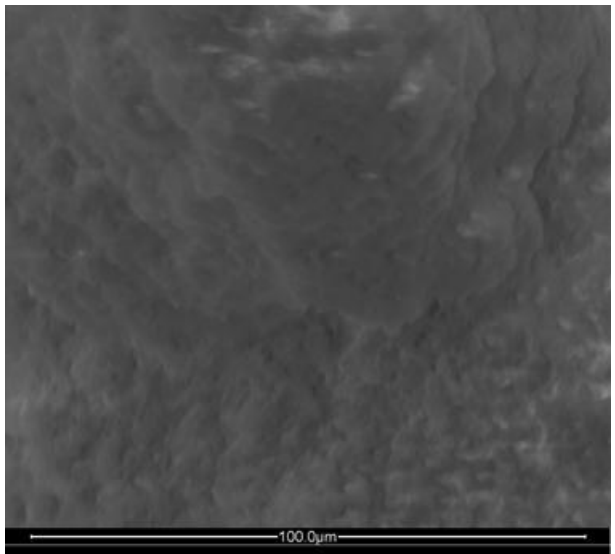
Figur 53. Mn<sub>3</sub>O<sub>4</sub>/MgO-ZrO<sub>2</sub> - Illit - H2



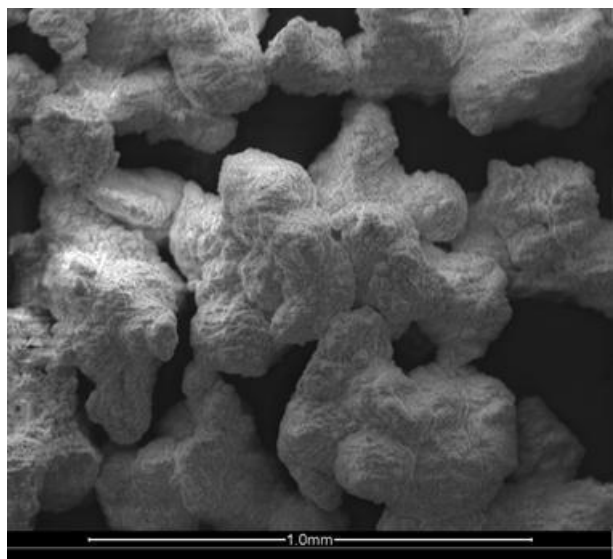
Figur 55. Mn<sub>3</sub>O<sub>4</sub>/MgO-ZrO<sub>2</sub> - Illit - H2



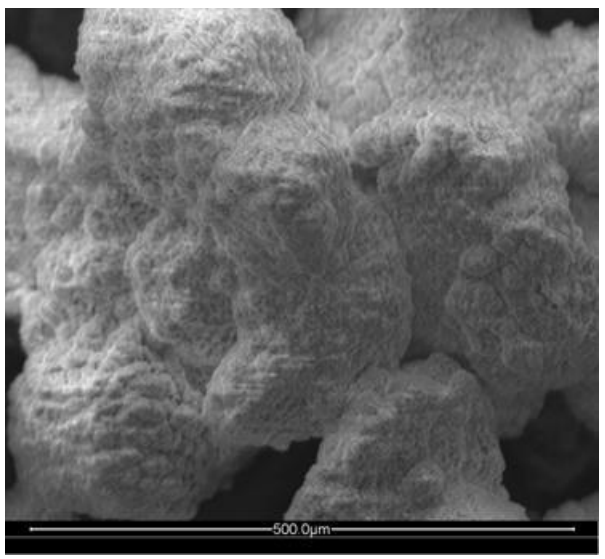
Figur 56. Mn<sub>3</sub>O<sub>4</sub>/MgO-ZrO<sub>2</sub> - K<sub>2</sub>CO<sub>3</sub> - LUFT



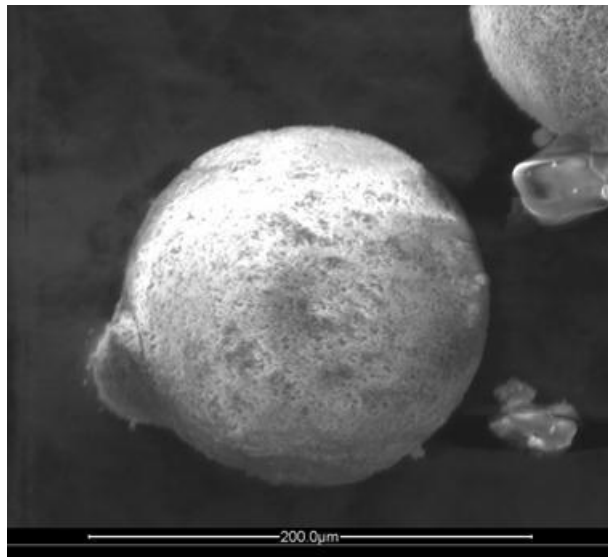
Figur 58. Mn<sub>3</sub>O<sub>4</sub>/MgO-ZrO<sub>2</sub> - K<sub>2</sub>CO<sub>3</sub> - LUFT



Figur 57. Mn<sub>3</sub>O<sub>4</sub>/MgO-ZrO<sub>2</sub> - K<sub>2</sub>CO<sub>3</sub> - LUFT



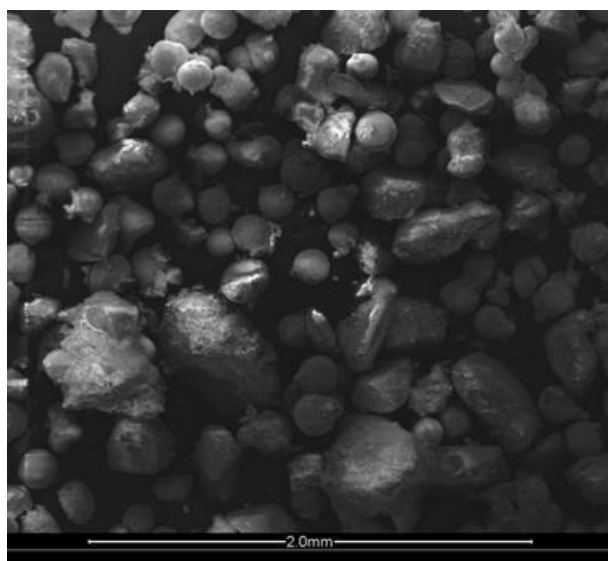
Figur 59. Mn<sub>3</sub>O<sub>4</sub>/MgO-ZrO<sub>2</sub> - K<sub>2</sub>CO<sub>3</sub> - LUFT



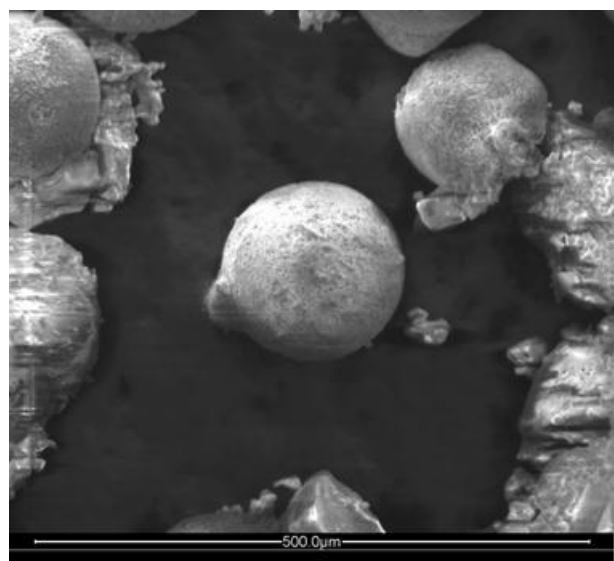
Figur 60. Mn<sub>3</sub>O<sub>4</sub>/MgO-ZrO<sub>2</sub> - K<sub>2</sub>SO<sub>4</sub> - H<sub>2</sub>



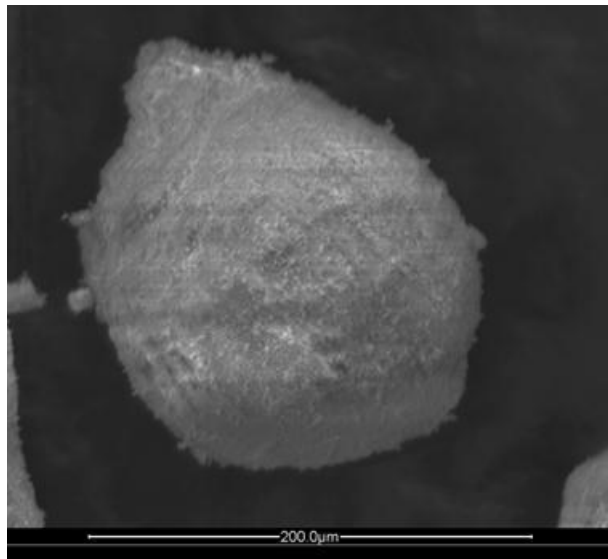
Figur 62. Mn<sub>3</sub>O<sub>4</sub>/MgO-ZrO<sub>2</sub> - K<sub>2</sub>SO<sub>4</sub> - H<sub>2</sub>



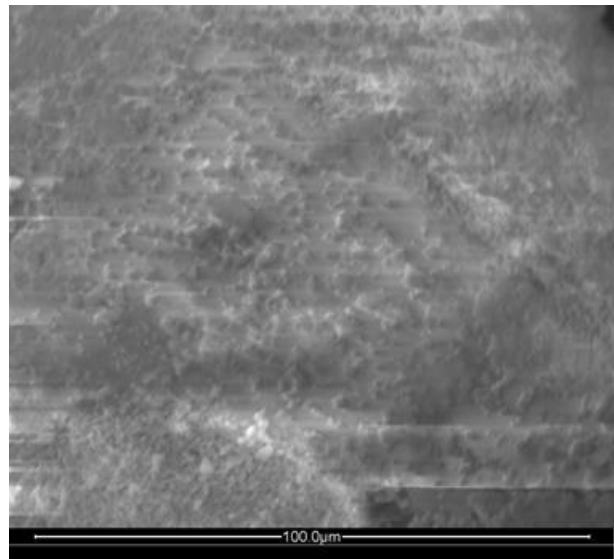
Figur 61. Mn<sub>3</sub>O<sub>4</sub>/MgO-ZrO<sub>2</sub> - K<sub>2</sub>SO<sub>4</sub> - H<sub>2</sub>



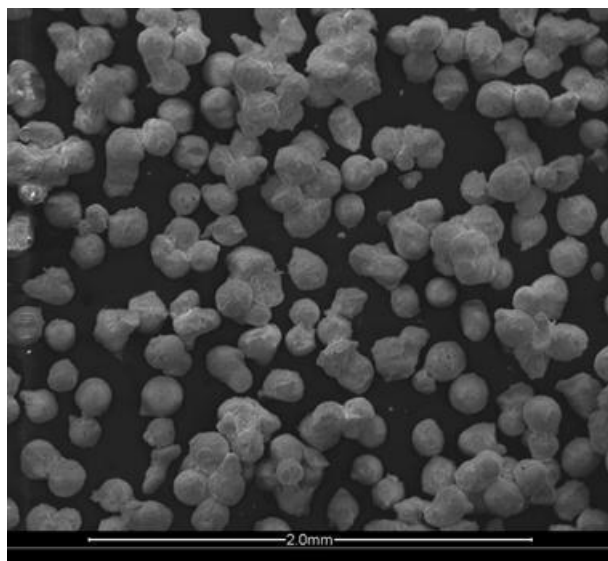
Figur 63. Mn<sub>3</sub>O<sub>4</sub>/MgO-ZrO<sub>2</sub> - K<sub>2</sub>SO<sub>4</sub> - H<sub>2</sub>



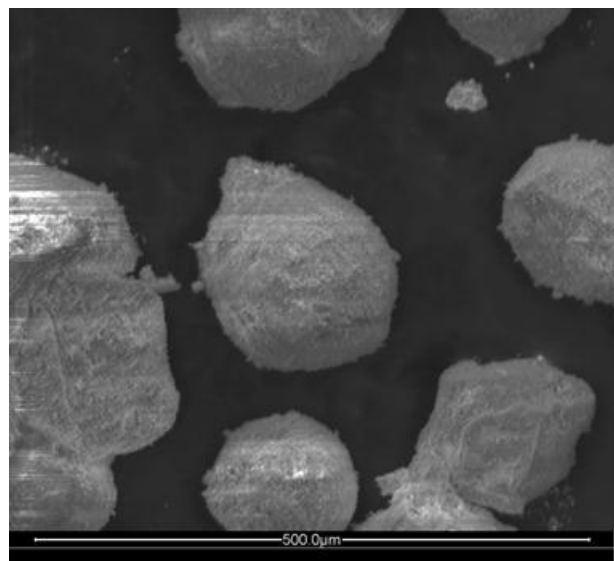
Figur 64. Mn<sub>3</sub>O<sub>4</sub>/MgO-ZrO<sub>2</sub> - KCl - H<sub>2</sub>



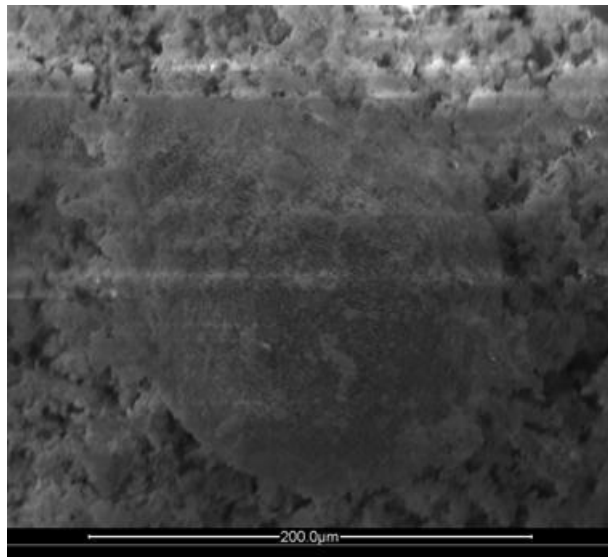
Figur 66. Mn<sub>3</sub>O<sub>4</sub>/MgO-ZrO<sub>2</sub> - KCl - H<sub>2</sub>



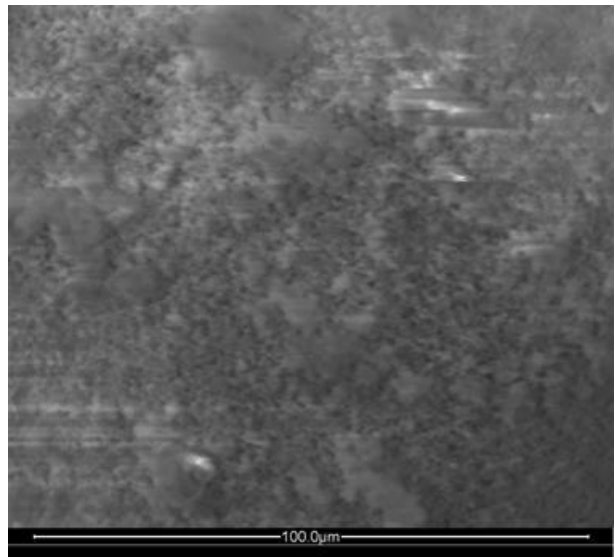
Figur 65. Mn<sub>3</sub>O<sub>4</sub>/MgO-ZrO<sub>2</sub> - KCl - H<sub>2</sub>



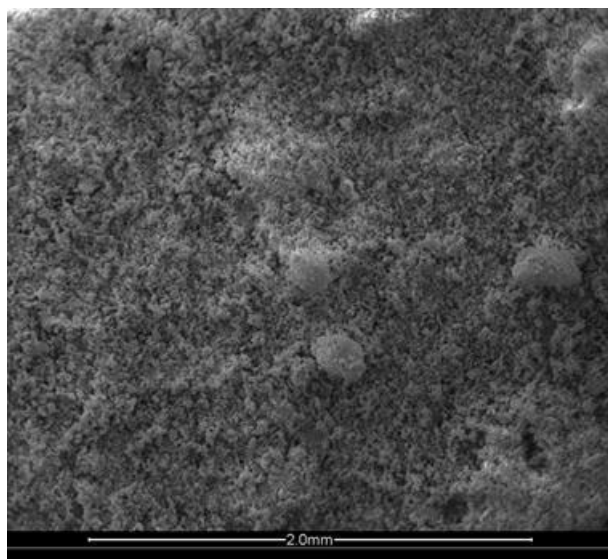
Figur 67. Mn<sub>3</sub>O<sub>4</sub>/MgO-ZrO<sub>2</sub> - KCl - H<sub>2</sub>



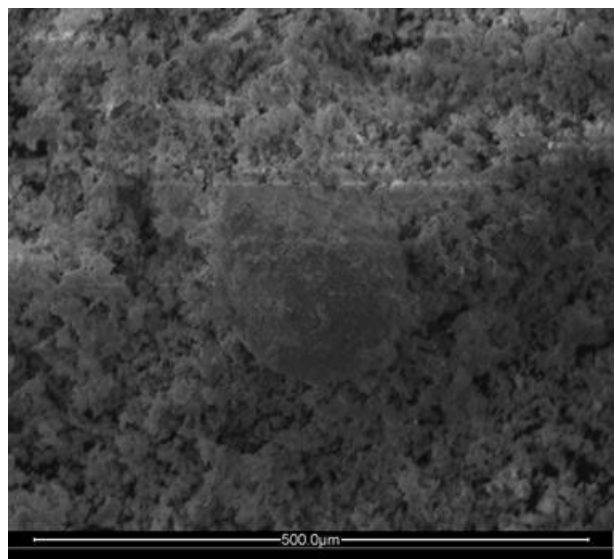
Figur 68. Mn<sub>3</sub>O<sub>4</sub>/MgO-ZrO<sub>2</sub> - Kolaska - LUFT



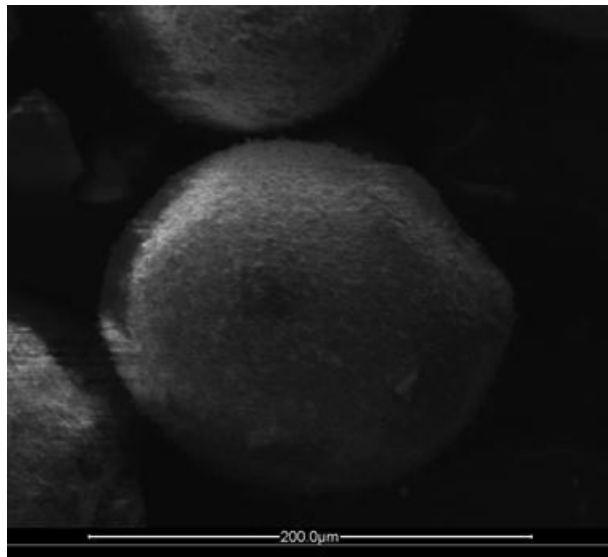
Figur 70. Mn<sub>3</sub>O<sub>4</sub>/MgO-ZrO<sub>2</sub> - Kolaska - LUFT



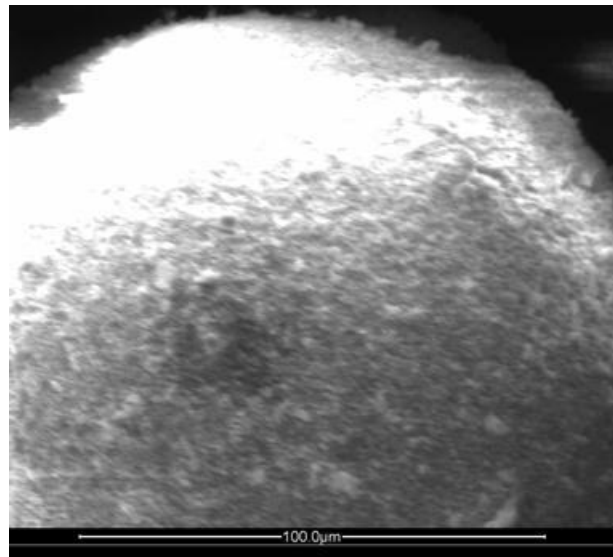
Figur 69. Mn<sub>3</sub>O<sub>4</sub>/MgO-ZrO<sub>2</sub> - Kolaska - LUFT



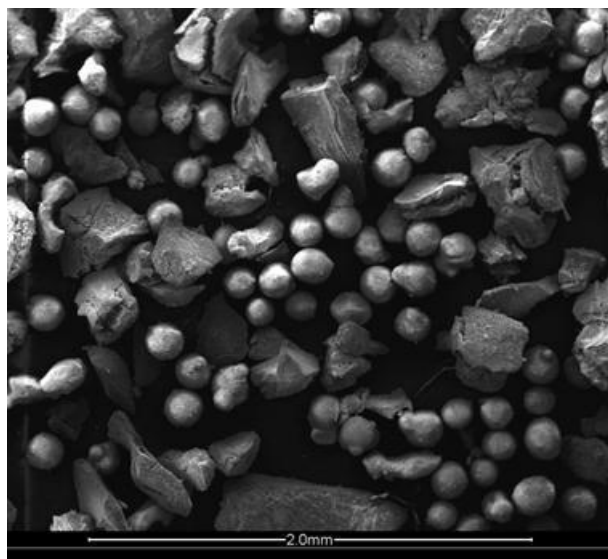
Figur 71. Mn<sub>3</sub>O<sub>4</sub>/MgO-ZrO<sub>2</sub> - Kolaska - LUFT



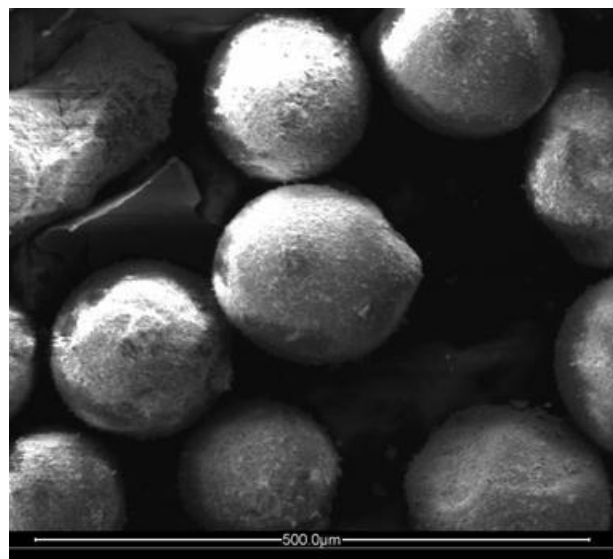
Figur 72. Mn<sub>3</sub>O<sub>4</sub>/MgO-ZrO<sub>2</sub> - Pyrit - LUFT



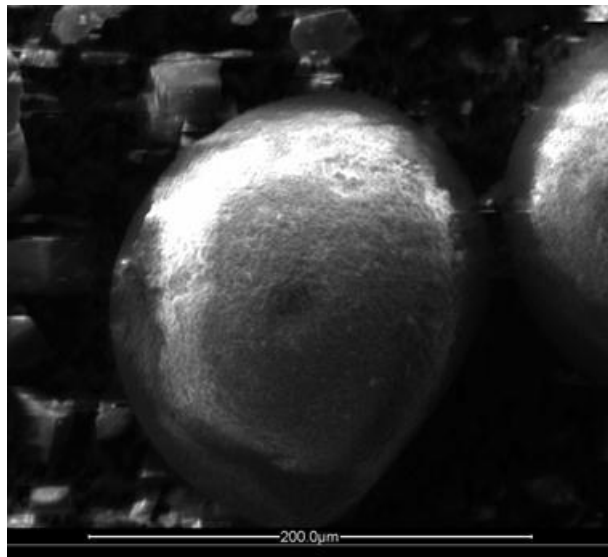
Figur 74. Mn<sub>3</sub>O<sub>4</sub>/MgO-ZrO<sub>2</sub> - Pyrit - LUFT



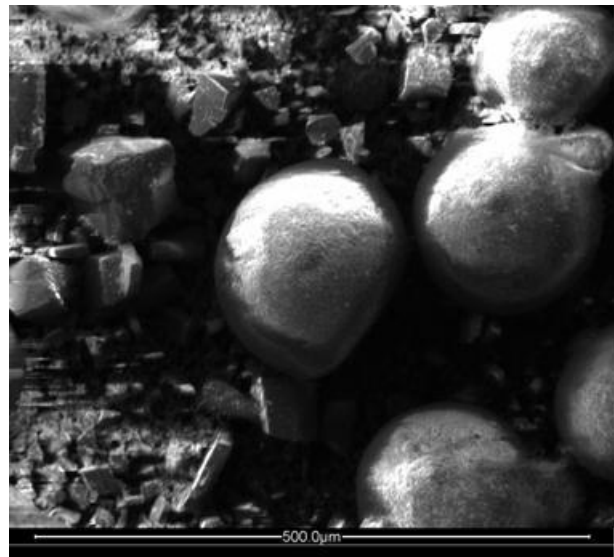
Figur 73. Mn<sub>3</sub>O<sub>4</sub>/MgO-ZrO<sub>2</sub> - Pyrit - LUFT



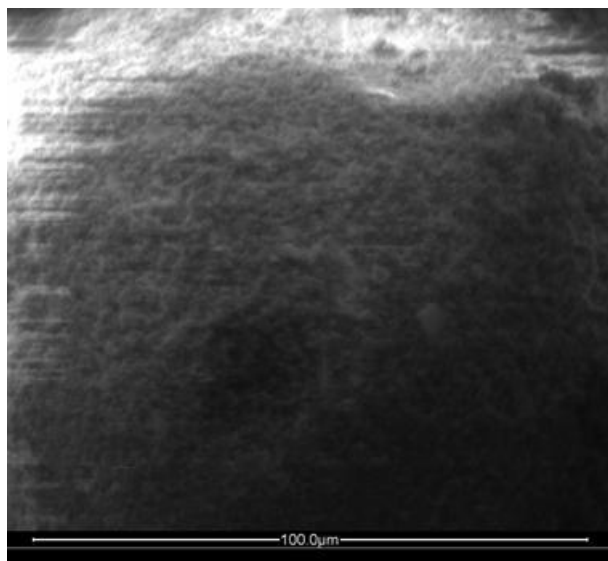
Figur 75. Mn<sub>3</sub>O<sub>4</sub>/MgO-ZrO<sub>2</sub> - Pyrit - LUFT



Figur 76. Mn<sub>3</sub>O<sub>4</sub>/MgO-ZrO<sub>2</sub> - Siderit - LUFT



Figur 78. Mn<sub>3</sub>O<sub>4</sub>/MgO-ZrO<sub>2</sub> - Siderit - LUFT



Figur 77. Mn<sub>3</sub>O<sub>4</sub>/MgO-ZrO<sub>2</sub> - Siderit - LUFT